



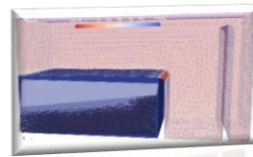
TOMO II

ANEXOS

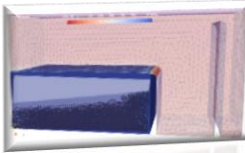
TOMO II

INDICE

ANEXO I	126
SIMULACION COMPUTACIONAL INTERFOAM	127
MODELACION EN OPENFOAM8 – TERMINAL BLUE CFD	127
ANEXO II	160
SIMULACION DPMFOAM - Goldschmidt.....	160
MODELACION EN OPENFOAM8 – TERMINAL BLUE CFD	160
ANEXO III	182
ESTRUCTURA METALICA:.....	182
RESULTADOS DE CALCULO CYPE 3D	182
ANEXO IV	285
COMPUTO Y PRESUPUESTO:.....	285
ANALISIS DE PRECIOS ESTRUCTURA DE HORMIGON ARMADO:	286
COMPUTO Y PRESUPUESTO ESTRUCTURA HºAº	291
PLAN DE TRABAJO ESTRUCTURA HºAº	292
ANALISIS DE PRECIOS ESTRUCTURA METALICA:.....	293
COMPUTO Y PRESUPUESTO ESTRUCTURA METALICA	298
PLAN DE TRABAJO ESTRUCTURA METALICA	299
ANEXO V	300
PLANOS:.....	300
PLANO N°1 CAMARA ROMPECARGA ESTRUCTURA EXISTENTE	301
PLANO N°2 RECOMENDACIONES OBRAS COMPLEMENTARIAS	302
PLANO N°3 RECOMENDACIONES OBRAS COMPLEMENTARIAS HºAº	303
PLANO N°4 PANTALLA - ESTRUCTURA HORMIGON ARMADO	304
PLANO N°5 PANTALLA - ESTRUCTURA METALICA	305



ANEXO I



ANEXO I

SIMULACION COMPUTACIONAL INTERFOAM

MODELACION EN OPENFOAM8 – TERMINAL BLUE CFD

Si nos dirigimos blueCFD tendremos 3 iconos:



Abre el terminal



Emulador
Windows-
Archivos y
Tutorial



Visualizador de
los resultados

Screenshot of the Windows File Explorer showing the contents of the 'blueCFD-Core 2020' folder on drive C:

Nombre	Fecha de modificación	Tipo	Tamaño
GUI	19/1/2024 19:10	Carpeta de archivos	
blueCFD-Core folder	19/1/2024 19:10	Acceso directo	2 KB
blueCFD-Core terminal	19/1/2024 19:10	Acceso directo	2 KB
Extended Start Menu	19/1/2024 19:10	Acceso directo	2 KB

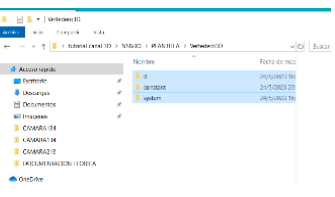
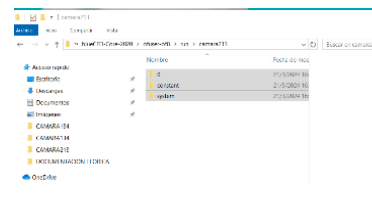
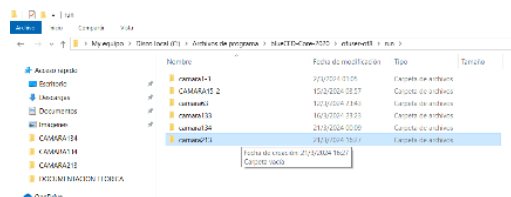
Screenshot of the Windows File Explorer showing the contents of the 'blueCFD-Core-2020' folder on drive C:

Nombre	Fecha de modificación	Tipo	Tamaño
AddOns	19/1/2024 19:10	Carpeta de archivos	
docs	19/1/2024 19:06	Carpeta de archivos	
msys64	19/1/2024 19:08	Carpeta de archivos	
ofuser-ofB	2/3/2024 00:00	Carpeta de archivos	
OpenFOAM-8	19/1/2024 19:09	Carpeta de archivos	
shortcuts	19/1/2024 19:10	Carpeta de archivos	
Start Menu	19/1/2024 19:10	Carpeta de archivos	
ThirdParty-8	19/1/2024 19:10	Carpeta de archivos	
uninstall	19/1/2024 19:06	Carpeta de archivos	
blueCFD-Core_MSys2_mingw64	27/8/2020 09:47	Archivo por lotes ...	3 KB
blueCFD-Core-Portable	13/4/2021 12:27	Aplicación	391 KB
DOS Mode OF8	15/10/2020 18:41	Archivo por lotes ...	2 KB
LocalDrive_OF8	27/8/2020 09:47	Archivo por lotes ...	1 KB
LocalDrive_ON	27/8/2020 09:47	Archivo por lotes ...	1 KB
README	27/8/2020 09:47	Documento de tex...	1 KB
setvars_OF8	15/10/2020 18:42	Archivo por lotes ...	5 KB

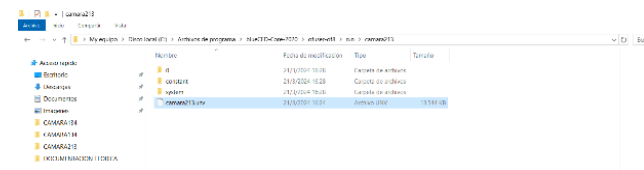
Abriremos el Emulador:



Esta carpeta se debe crear con el nombre de “**run**” y copio en ella, de la carpeta del tutorial las 3 carpetas que se encuentran en plantilla (que contiene las carpetas 0, constan y system), en

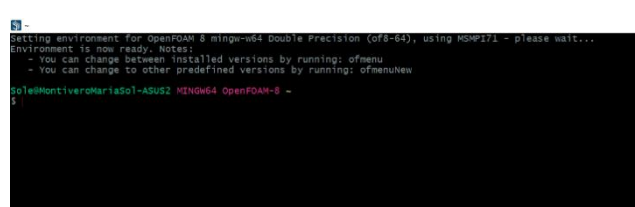


esta misma carpeta también pegaremos el archivo “camara133.unv” creado anteriormente”



En este caso podemos observar las carpetas mencionadas, la carpeta cero es donde están las condiciones iniciales, la carpeta constant donde están las propiedades del transporte y los materiales, densidades y viscosidades y la carpeta system donde está la solución el esquema y la configuración para la simulación transitoria.

También observamos el archivo de la malla creado en salome “camara213.unv”



Abriendo el terminal (ícono azul)

Lo primero que debo hacer es dirigirme a la carpeta “run” usando el comando “**\$ cd \$FOAM_RUN**”(enter)

```
Setting environment for OpenFOAM 8 mingw-w64 Double Precision (of8-64), using MSMP171 - please wait...
Environment is now ready. Notes:
- You can change between installed versions by running: ofmenu
- You can change to other predefined versions by running: ofmenuNew
sole@Montivero-MariaSol:~/OpenFOAM-8 ~
$ cd $FOAM_RUN
```

```
Setting environment for OpenFOAM 8 mingw-w64 Double Precision (of8-64), using MSMP171 - please wait...
Environment is now ready. Notes:
- You can change between installed versions by running: ofmenu
- You can change to other predefined versions by running: ofmenuNew
sole@Montivero-MariaSol:~/OpenFOAM-8 ~
$ cd $FOAM_RUN
$ ls
```

Se puede observar que el terminal está en la carpeta “**run**” ubicada en ofuser-of8 de la carpeta en blueCFD. Ahora para poder ver que hay dentro de cada carpeta se utiliza el comando lista

```
Setting environment for OpenFOAM 8 mingw-w64 Double Precision (of8-64), using MSMP171 - please wait...
Environment is now ready. Notes:
- You can change between installed versions by running: ofmenu
- You can change to other predefined versions by running: ofmenuNew
sole@Montivero-MariaSol:~/OpenFOAM-8 ~
$ cd $FOAM_RUN
$ ls
```

que en el terminal es “**ls**” (enter)

Aparecerán todas las plantillas que están dentro de la carpeta **run**

```
Setting environment for OpenFOAM 8 mingw-w64 Double Precision (of8-64), using MSMP171 - please wait...
Environment is now ready. Notes:
- You can change between installed versions by running: ofmenu
- You can change to other predefined versions by running: ofmenuNew
sole@Montivero-MariaSol:~/OpenFOAM-8 ~
$ cd $FOAM_RUN
$ ls
camara133 camara134 CAMARA13-2 camara213 camara363
sole@Montivero-MariaSol:~/OpenFOAM-8 ~
```

Luego deberemos abrir la plantilla creada en salome con nombre “camara213” con la que vamos a hacer la modelacion, para esto en el terminal usamos el comando “**cd camara134**” (enter). Es

muy importante escribir el nombre de la plantilla tal cual esta guardada con mayusculas y minusculas ya que de lo contrario el programa no encontrara coincidencias y dara error al encontrar.

```
~/blueCFD/ofuser-of8/run
Setting environment for OpenFOAM 8 mingw-w64 Double Precision (of8-64), using MSMP171 - please wait...
Environment is now ready. Notes:
- You can change between installed versions by running: ofmenu
- You can change to other predefined versions by running: ofmenuNew
SoledadMontivero@MariaSol-ASUS2 MINGW64 OpenFOAM-8 ~
$ cd $FOAM_RUN
SoledadMontivero@MariaSol-ASUS2 MINGW64 OpenFOAM-8 ~/blueCFD/ofuser-of8/run
$ ls
camara13 camara133 camara134 CAMARA15-2 camara213 camara63
SoledadMontivero@MariaSol-ASUS2 MINGW64 OpenFOAM-8 ~/blueCFD/ofuser-of8/run
$ cd camara213
SoledadMontivero@MariaSol-ASUS2 MINGW64 OpenFOAM-8 ~/blueCFD/ofuser-of8/run/camara213
$
```

Podemos observar que el terminal ya se encuentra dentro de la carpeta run en la plantilla camara134,

```
~/blueCFD/ofuser-of8/run/camara213
Setting environment for OpenFOAM 8 mingw-w64 Double Precision (of8-64), using MSMP171 - please wait...
Environment is now ready. Notes:
- You can change between installed versions by running: ofmenu
- You can change to other predefined versions by running: ofmenuNew
SoledadMontivero@MariaSol-ASUS2 MINGW64 OpenFOAM-8 ~
$ cd $FOAM_RUN
SoledadMontivero@MariaSol-ASUS2 MINGW64 OpenFOAM-8 ~/blueCFD/ofuser-of8/run
$ ls
camara13 camara133 camara134 CAMARA15-2 camara213 camara63
SoledadMontivero@MariaSol-ASUS2 MINGW64 OpenFOAM-8 ~/blueCFD/ofuser-of8/run
$ cd camara213
SoledadMontivero@MariaSol-ASUS2 MINGW64 OpenFOAM-8 ~/blueCFD/ofuser-of8/run/camara213
$ ls
```

Ahora para poder visualizar el contenido usamos el comando "ls" (enter)

```
~/blueCFD/ofuser-of8/run/camara213
Setting environment for OpenFOAM 8 mingw-w64 Double Precision (of8-64), using MSMP171 - please wait...
Environment is now ready. Notes:
- You can change between installed versions by running: ofmenu
- You can change to other predefined versions by running: ofmenuNew
SoledadMontivero@MariaSol-ASUS2 MINGW64 OpenFOAM-8 ~
$ cd $FOAM_RUN
SoledadMontivero@MariaSol-ASUS2 MINGW64 OpenFOAM-8 ~/blueCFD/ofuser-of8/run
$ ls
camara13 camara133 camara134 CAMARA15-2 camara213 camara63
SoledadMontivero@MariaSol-ASUS2 MINGW64 OpenFOAM-8 ~/blueCFD/ofuser-of8/run
$ cd camara213
SoledadMontivero@MariaSol-ASUS2 MINGW64 OpenFOAM-8 ~/blueCFD/ofuser-of8/run/camara213
$ ls
```

```
~/blueCFD/ofuser-of8/run/camara213
Setting environment for OpenFOAM 8 mingw-w64 Double Precision (of8-64), using MSMP171 - please wait...
Environment is now ready. Notes:
- You can change between installed versions by running: ofmenu
- You can change to other predefined versions by running: ofmenuNew
SoledadMontivero@MariaSol-ASUS2 MINGW64 OpenFOAM-8 ~
$ cd $FOAM_RUN
SoledadMontivero@MariaSol-ASUS2 MINGW64 OpenFOAM-8 ~/blueCFD/ofuser-of8/run
$ ls
camara13 camara133 camara134 CAMARA15-2 camara213 camara63
SoledadMontivero@MariaSol-ASUS2 MINGW64 OpenFOAM-8 ~/blueCFD/ofuser-of8/run
$ cd camara213
SoledadMontivero@MariaSol-ASUS2 MINGW64 OpenFOAM-8 ~/blueCFD/ofuser-of8/run/camara213
$ ls
$ camara213.unv constant system
SoledadMontivero@MariaSol-ASUS2 MINGW64 OpenFOAM-8 ~/blueCFD/ofuser-of8/run/camara213
$
```



Proyecto Final: Aplicaciòn de Software de Càlculo y Diseño en Càmara Rompecarga
CFD - OPEN FOAM

Se observa que están las carpetas 0 , constant, system y la malla camara213.unv, ahora estamos ubicado en el interior de la plantilla

Ahora se debe convertir la malla en un archivo compatible con OpenFOAM, ya que el formato ***.unv*** no lo tomara al modelarlo OpenFOAM. Para esto utilizaremos una linea de comando ***"ideasunvtofoam camara213.unv"*** (enter). El nombre del archivo incluido el formato; lo que se está pidiendo a OpenFOAM es que convierta este archivo unv en un formato reconocido por él, con ello empezara a trabajar para convertir la malla.

```
[5] ~\blueCFD\user-of8/run/cams213
setting environment for OpenFOAM 8 mingw-w64 Double Precision (of8-64), using MSMP17i - please wait...
Environment is now ready. Notes:
- You can change between installed versions by running: ofmenu
- You can change to other predefined versions by running: ofmenuNew

Sole@MontiveroMariasol-ASUS2 MINGW64 OpenFOAM-8 ~
$ cd $FOAM_RUN

Sole@MontiveroMariasol-ASUS2 MINGW64 OpenFOAM-8 ~/blueCFD/ofuser-of8/run
$ ls
camara1-3 camara133 camara134 CAMARA15-2 camara213 camara63

Sole@MontiveroMariasol-ASUS2 MINGW64 OpenFOAM-8 ~/blueCFD/ofuser-of8/run
$ cd camara213

Sole@MontiveroMariasol-ASUS2 MINGW64 OpenFOAM-8 ~/blueCFD/ofuser-of8/run/camara213
$ ls
0 camara213.unv constant system

Sole@MontiveroMariasol-ASUS2 MINGW64 OpenFOAM-8 ~/blueCFD/ofuser-of8/run/camara213
$ lsasUnvToFoam camara213.unv
```

Este archivo de malla esta convertido de “unv” a OpenFOAM, este archivo se encuentra dentro de la carpeta constant, dentro de la carpeta “**polymesh**”, ahí esta toda la informacion de la malla creada en salome, se debera hacer modificacion en las fronteras de las paredes para ello nos dirigimos a la carpeta “constant, y abrimos el archivo “boundary” con el lector de block de notas



Proyecto Final: Aplicaciòn de Software de Càlculo y Diseño en Càmara Rompecarga
CFD - OPEN FOAM

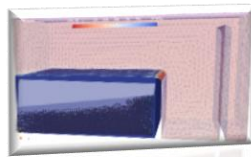
File Explorer window showing the contents of the 'camara213' folder:

Nombre	Fecha de modificación	Tipo	Tamaño
constant	21/3/2024 16:28	Carpetas de archivos	
system	21/3/2024 16:35	Carpetas de archivos	
camara213.unv	21/3/2024 16:24	Archivo UNV	13.544 KB
camara213			

My equipo > Disco local (C) > Archivos de programa > blueCFD-Core-2020 > cfuser-05 > run > camara213 > constant >

Nombre	Fecha de modificación	Tipo	Tamaño
polyMesh	21/3/2024 16:35	Carpetas de archivo	
g	18/5/2023 04:20	Archivo	1 KB
momentumTransport	15/9/2020 13:56	Archivo	1 KB
transportProperties	24/5/2023 02:56	Archivo	1 KB

A screenshot of a Windows File Explorer window showing a context menu for a file named 'Abrir con'. The menu includes options like 'Abrir con', 'Abrir en nuevo explorador', 'Abrir en Notepad', 'Abrir en Microsoft Defender...', 'Abrir en PowerShell...', 'Abrir en el archivo...', 'Mover a "Reciclaje"', 'Añadir a "Reciclaje"', 'Añadir a carpeta de escritorio', 'Añadir a favoritos' (disabled), and 'Remover vínculo o enviar por correo electrónico'. Below the menu, there are standard options: 'Eliminar', 'Cortar', 'Copiar', 'Clear acceso directo', 'Revisar', 'Centrar nombre', and 'Propiedades'. A status bar at the bottom right indicates 'No hay ninguna vista previa disponible'.



Proyecto Final: Aplicaciòn de Software de Càlculo y Diseño en Càmara Rompecarga
CFD - OPEN FOAM

Una vez abierto el archivo se realizaran algunas modificaciones, podemos observar que el archivo nos muestra que existen 4 condiciones de fronteras creadas en salome [inlet(entrada) – outlet (salida) – atmosphere(sup en contacto con la atmosfera tapa) – walls(paredes y base)]. es importante verificar que las condiciones de frontera esten bien escritas, en caso de que no esten bien los nombre sobre todo en minuscula, se puede hacer el cambio de los mismos. una vez realizada esta modifciacion se cieera el block de nota guardando el cambio

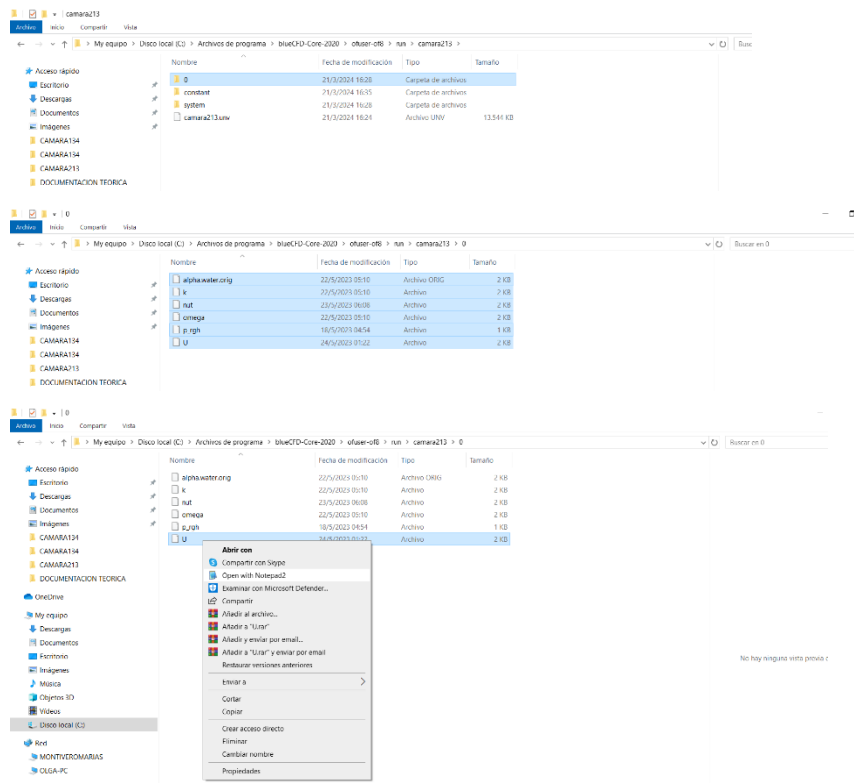
Se modificara en la condicion de frontera "walls"

{

type patch; [patch se cambia por "wall"]

A continuacion se detallaran un poco mas el contenido de las carpetas,

carpeta 0: condiciones de frontera



El archivo mas importante es el block "u" al abrirlo con block de notas par explicar el contenido

```

u Notepad
File Edit View Insert Tools Help
File: u - 1 tab(s) - My equipo - Disco local (C) - Archivos de programa - blueCFD-Core-2020 - openfoam - run - camara213 - u
OpenFOAM: The Open Source CFD Toolbox
Version: 8
Website: https://openfoam.org

version 2.0;
FoamFile version 2.0;
class volVectorField;
object u;
// * * * * * //

dimensions (0 1 0 0 0 0);
internalField uniform (1 0 0);
boundaryField
    inlet
        type fixedValue;
        value uniform (0 0 0);
    atmosphere
        type pressureInletOutlet;
        value uniform (0 0 0);
    outlet
        type inletOutlet;
        value uniform (0 0 0);
        uniform (0 0 0);

}

```





podemos observar que en

```
20
21 boundaryField
22 {
23     inlet
24     {
25         type          flowRateInletVelocity;
26         volumetricFlowRate constant 2;
27     }
28 }
```

Por defecto en “volumetricflowrate constant 2;” lo que nos indica que el caudal es de 2 m³/seg (todas las unidades estarán en el sistema internacional).

Este valor se deberá modificar por el caudal propio del proyecto, en este caso el caudal equivalente es de $0.28 \text{ m}^3/\text{s}$. Cabe destacar que como “inlet” entrada de agua el proyecto de la cámara cuenta con dos cañerías de acero de $\varnothing 550\text{mm}$, los mismos incorporan a la cámara un caudal parcial de $500 \text{ m}^3/\text{hs}$, para el proyecto se trabajó con un caño equivalente de $\varnothing 1100\text{mm}$ y un caudal total de $1000 \text{ m}^3/\text{hs}$, con la conversión de m^3/hs a m^3/s .

```
#include "OpenFOAM"
FoamFile
{
    version 2.0;
    format binary;
    class vectorField;
    type dimensionedVector;
    location "/home/foam/OpenFOAM/OpenFOAM-4.1/0";
    object boundaryField;
}

dimensions [0 1 0 0 0];
internalField uniform (0 0 0);
boundaryField

    inlet
    {
        type pressureletkEulerVelocity;
        volumetricFluxOnDemand 1000;
    }

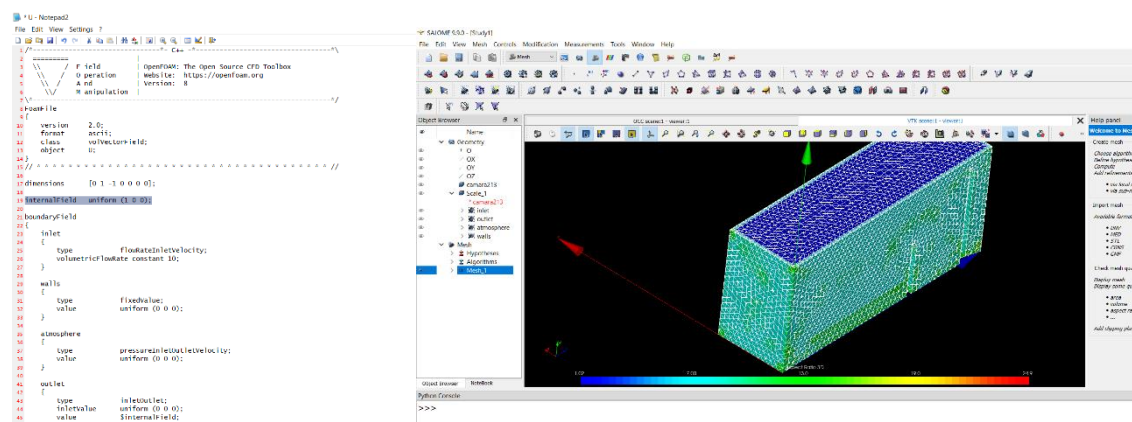
    walls
    {
        type fixedValue;
        j value uniform (0 0 0);
    }

    atmosphere
    {
        type pressureletkEulerVelocity;
        j value uniform (0 0 0);
    }

    outlet
    {
        type internal;
        interval 0 0;
        value $internalField;
    }
}
```

Otro dato importante a tener en cuenta es la dirección del flujo, en este sentido se buscará marcar en qué dirección según nuestros ejes cartesianos se dirigirá el fluido de entrada, para el proyecto estará en dirección del eje “+x”, se debe tener en cuenta que este dato es sumamente importante verificarlo con el gráfico en salome, ya que al indicar mal el sentido el flujo tendrá otra dirección, para esto nos dirigimos a salome y verificamos antes de hacer la modificación en el block

Projecto Final: Aplicaciòn de Software de Càlculo y Diseño en Càmara Rompecarga CFD - OPEN FOAM

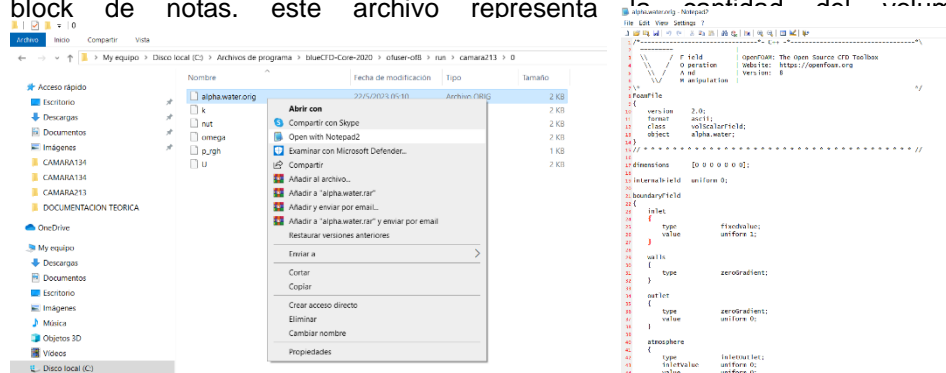


En este caso se puede observar que está marcado con el valor de 1 en el eje x, en caso de que la dirección del flujo sea en sentido negativo del eje, o que este dirigido en otro eje se deberá colocar el valor de 1 vectorial en el eje positivo correspondiente, o el valor de -1 vectorial en el eje negativo correspondiente, teniendo en cuenta que el vector está compuesto por (x,y,z)

```
.7 dimensions      [0 1 -1 0 0 0];
.8
.9 internalField   uniform (-1 0 0);
.10
.11 boundaryField
```



Ahora nos dirigimos al archivo “alpha.water” ubicado en la misma carpeta 0, y los abrimos con el block de notas. este archivo representa la cantidad del volumen de agua.



para poder apreciar la malla nos dirigimos al terminal y utilizamos el comando “parafoam” el cual me abrirá el visualizador “para view”

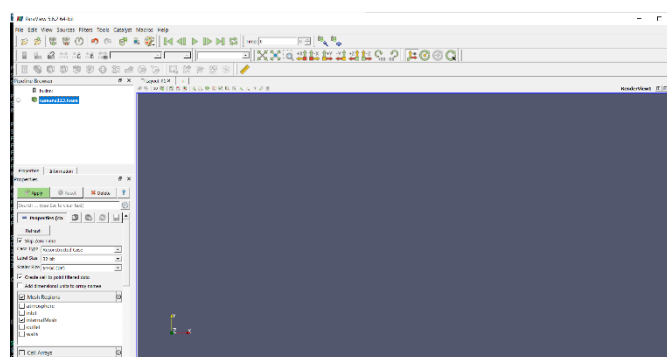
```

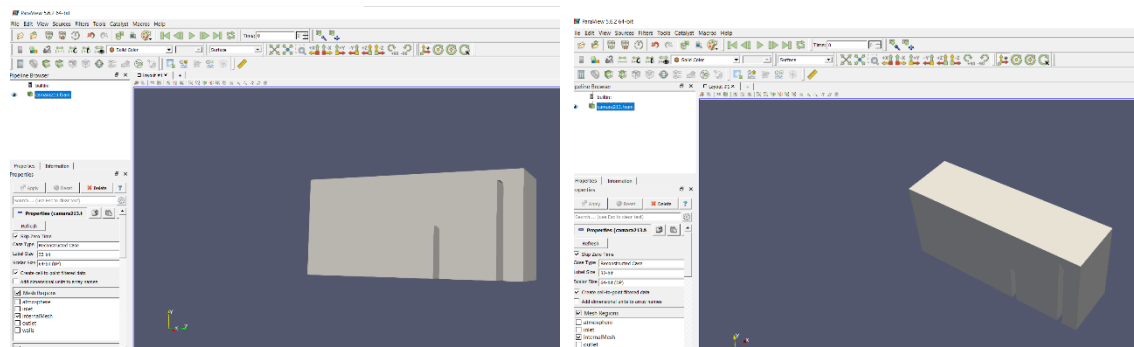
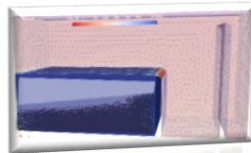
$ paraFoam alpha.water
Time step 1
Temperature offset = 273.15
Processing top2420
Starting section at Time 0
Processing top3111
Reading 21000 points at Time 20.
Read 21000 points.
Processing top3423
Reading 21000 points at Time 3313.
First occurrence of element type 11 for cell 4458 at Time 55154
First occurrence of element type 11 for cell 4459 at Time 55154
First occurrence of element type 44 for cell 44598 at Time 76539
First occurrence of element type 44 for cell 44599 at Time 76539
First occurrence of element type 111 for cell 44582 at Time 54160
First occurrence of element type 111 for cell 44583 at Time 54160.
Processing top4267
Starting reading patches at Time 20000.
For group 1 named 'bottom' trying to read 92 patch face indices.
For group 2 named 'bottom' trying to read 92 patch face indices.
For group 3 named 'bottom' trying to read 980 patch face indices.
For group 4 named 'walls' trying to read 8980 patch face indices.
Patches read.
Patch bottom has non-default patches of size:
    maxSize 10
    minSize 10
    averageSize 1726
    totalSize 1726
End

Warning: livepatch is disabled. Hint: Set OpenFOAM_CLOUD=1 to enable it.
$ paraView camara134.foam
Created temporary 'camara134.foam'

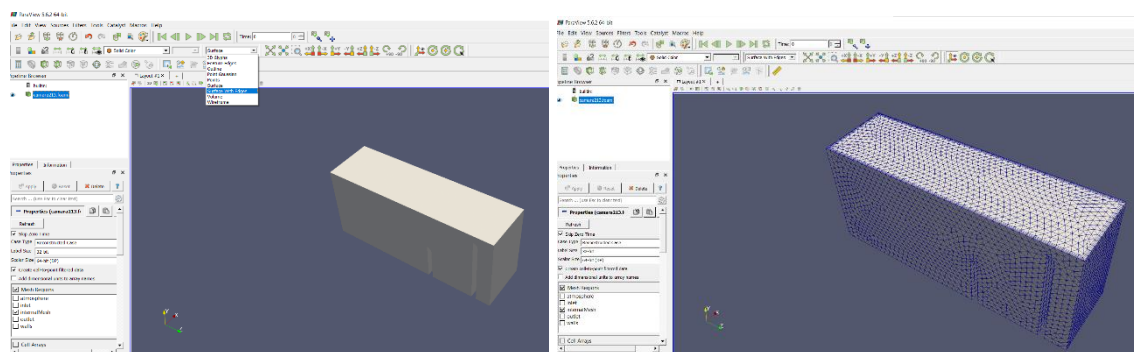
```

una vez abierto para view seleccionamos nuestro archivo “camara134.foam” y le damos en la tecla “apply”(en el arbol de trabajo a la izquierda)



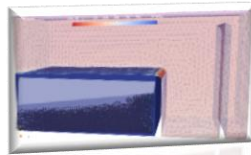


se puede apreciar la geometria, ahora para poder ver el mallado cambio de “surface” a [surface with edges]



Esta es la malla ya compatible con OpenFOAM, ahora se explicara que es el archivo del block “alpha.water” como anteriormente se explico este me indicara la cantidad del volumen de agua que hay dentro de mi dominio computacional.

El valor cero 0 indica que esta vacio al inicio de la modelacion 0% fluido (vacio) asi se considerara para esta modelacion “camara213”, si esta con el valor de 1 significara que al comienzo estara lleno al 100%



Proyecto Final: Aplicaciòn de Software de Càlculo y Diseño en Càmara Rompecarga
CFD - OPEN FOAM

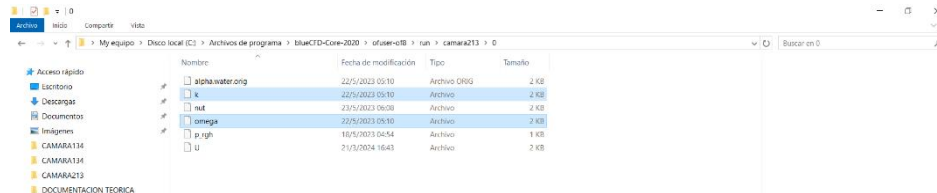
En las condiciones de fronteras en inlet se observa que posee el valor de 1, esto significa que por el orificio de entrada solo ingresara fluido al 100%, el caudal sera el definido en el archivo "u", y tambien observamos que en outlet el valor es 0 que me indica que inicialmente se considera que no habra salida de fluido.

Al igual que en atmosphere, tambien tendra el valor de cero, ya que por la zona superior no saldra agua. una vez realizados los cambios guardamos los mismos y cerramos el block.

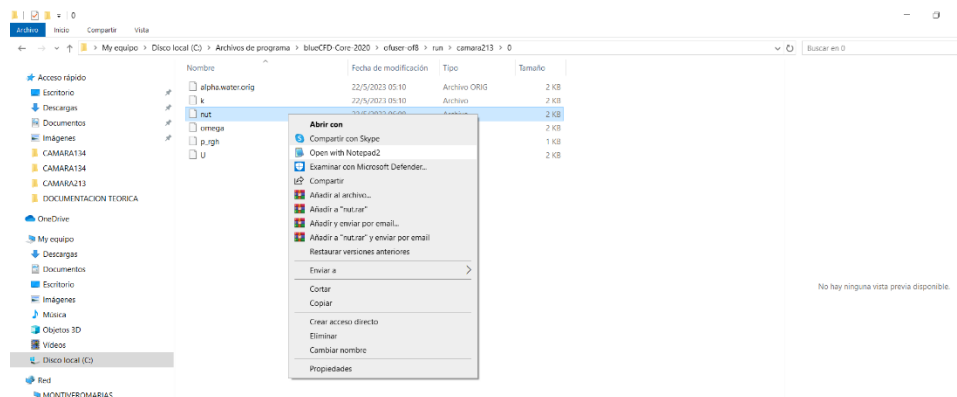


Proyecto Final: Aplicaciòn de Software de Càlculo y Diseño en Càmara Rompecarga
CFD - OPEN FOAM

los demás archivos k y omega, son del modelo de flujo turbulencia utilizando para este caso,



Luego el archivo “nut” es la viscosidad cinematica turbulenta, abriremos el mismo con el block de notas



En este archivo colocaremos los valores de la rugosidad, estara representada como "ks" que seria la rugosidad absoluta con un valor de 0.003m, que serian 3mm. si se trabaja con el coeficiente de manning se buscara para el concreto su valor de rugosidad absoluta para ese coeficiente de manning en unidades de metro. "cs" sera la uniformidad de la rugosidad, por ejemplo una pared de concreto que seria uniforme entonces el valor es de 0.5, en caso de no ser uniforme este valor cambiara segun el comportamiento del flujo en la pared. se recomienda dejar el valor de "cs" por defecto y solo modificar el valor de "ks"

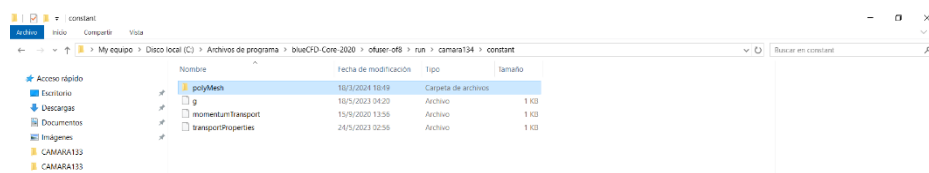
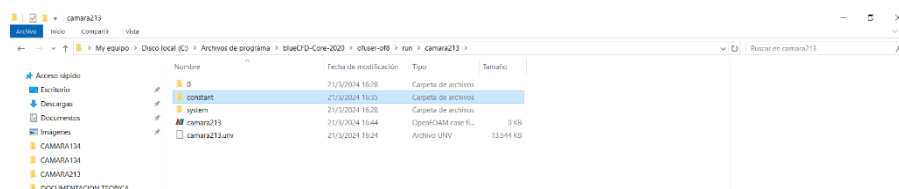
RUGOSIDAD ABSOLUTA DE MATERIALES			
Material	K (mm)	Material	K (mm)
Plástico (PE, PVC)	0,0015	Fundición asfaltada	0,06-0,18
Poliéster reforzado con fibra de vidrio	0,01	Fundición	0,12-0,60
Tubos estirados de acero	0,0024	Acero comercial y soldado	0,03-0,09
Tubos de latón o cobre	0,0015	Hierro forjado	0,03-0,09
Fundición revestida de cemento	0,0024	Hierro galvanizado	0,06-0,24
Fundición con revestimiento bituminoso	0,0024	Madera	0,18-0,90
Fundición centrifugada	0,003	Hormigón	0,3-3,0

```
File: Neumann2
# File: View: Settings: 7
1 //-----| F field | OpenFOAM: The Open Source CFD Toolbox
2 //-----| Version: 8 | Website: https://openfoam.org
3 //-----| A nd | Version: 8 |
4 //-----| R manipulation | Version: 8 |
5 //-----| Xs |
6 //-----| Examples |
7 //-----| C |
8 //-----| version 2.0;
9 //-----| format ascii;
10 //-----| Class volScalarField;
11 //-----| location "in";
12 //-----| object nut;
13 //-----| // * * *
14 dimensions [0 2 -1 0 0 0 0];
15 internalField uniform 0;
16 boundaryField uniform 0;
17 walls
18 {
19     type nutKtowallFunction;
20     Ks uniform 0.005;
21     Cs uniform 0.5;
22     value internalField;
23 }
24
25
26
27
28
29
30
31
32
33
34
35
36
37
38
39
40
41
42
43
44
45
46
47
48
49
50
51
52
53
54
55
56
57
58
59
59 }
```

```
File: Neumann
# File: View: Settings: 7
1 //-----| F field | OpenFOAM: The Open Source CFD Toolbox
2 //-----| Version: 8 | Website: https://openfoam.org
3 //-----| A nd | Version: 8 |
4 //-----| R manipulation | Version: 8 |
5 //-----| Xs |
6 //-----| Examples |
7 //-----| C |
8 //-----| version 2.0;
9 //-----| format ascii;
10 //-----| Class volScalarField;
11 //-----| location "in";
12 //-----| object nut;
13 //-----| // * * *
14 dimensions [0 2 -1 0 0 0 0];
15 internalField uniform 0;
16 boundaryField uniform 0;
17 walls
18 {
19     type nutKtowallFunction;
20     Ks uniform 0.002;
21     Cs uniform 0.5;
22     value internalField;
23 }
24
25
26
27
28
29
30
31
32
33
34
35
36
37
38
39
39 }
```

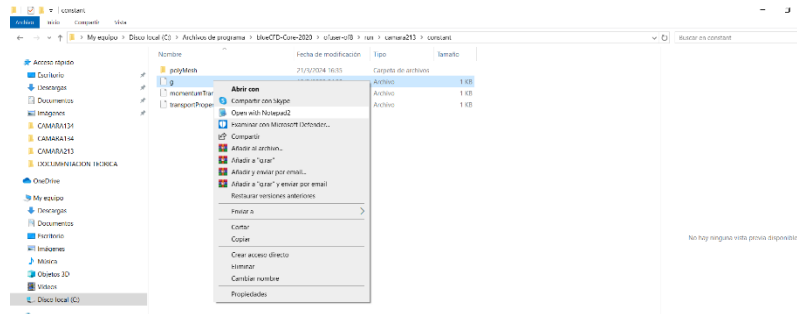
Ahora nos dirigimos a la carpeta “constant”

Proyecto Final: Aplicaciòn de Software de Cálculo y Diseño en Càmara Rompecarga CFD - OPEN FOAM



Se observa que en la carpeta polymesh, que vendria a ser la malla compatible con OpenFOAM

abriremos el archivo "g"

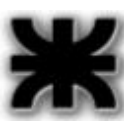


```

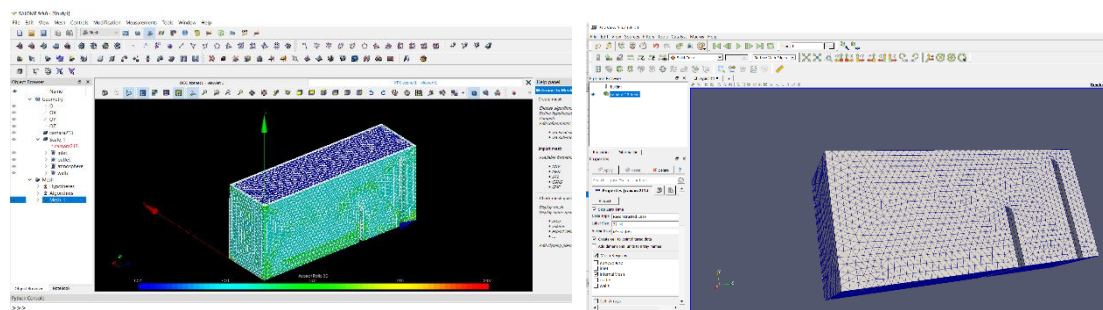
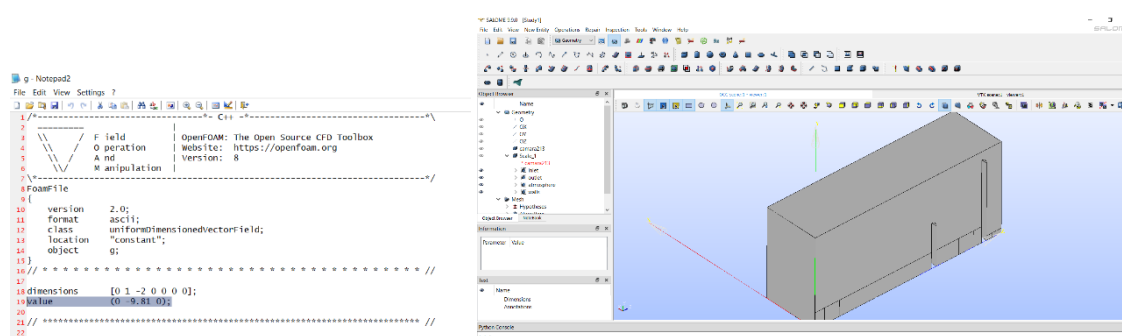
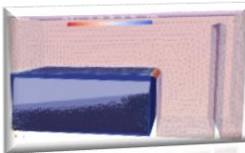
File Edit View Settings ?
OpenFOAM: The Open Source CFD Toolbox
Website: https://openfoam.org
Version: 8
field
version 2.0;
format ascii;
class uniformDimensionedVectorField;
dimensions [0 1 -2 0 0 0];
value (0 9.81 0);
// ****

```

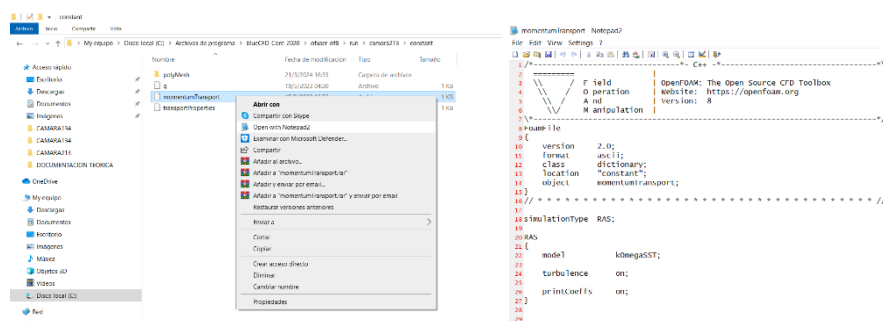
El archivo de g es la gravedad, podemos observar que tiene un valor de -9.81 en el eje y, en el eje x y el eje z tiene un valor de cero, esto es importante verififcar con la geometria en salome para poder ubicarla en el eje correcto.



Proyecto Final: Aplicaciòn de Software de Cálculo y Diseño en Càmara Rompecarga CFD - OPEN FOAM



Nos dirigiremos a abrir el archivo “momentumtransport”



```

momentumtransport - Notepad2
File Edit View Search
1 // * * * * *
2   /| Field | OpenFOAM: The Open Source CFD Toolbox
3   / \ Operation | website: https://openfoam.org
4   / \ And | Version: 8
5   / \ Manipulation |
6   / \ 
7   \* Name: momentumtransport
8   \*
9   version 2.0;
10  format ascii;
11  class dictionary;
12  location "constant";
13  object momentumTransport;
14  }
15  // * * * * *
16 simulationType RAS;
17 RAS
18 {
19   model kOmegaSST;
20   turbulence on;
21   printCoeffs on;
22 }
23
24 // * * * * *

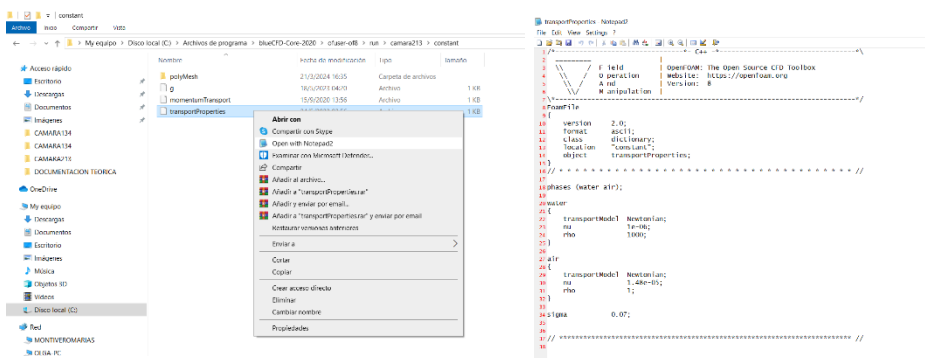
```

Podemos observar que el modelo de turbulencia que estamos usando es “komegasst” por ultimo nos dirigimos al archivo “transportproperties”

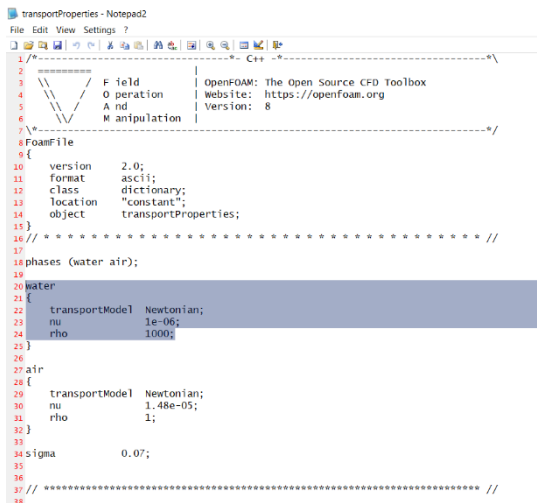




Proyecto Final: Aplicaciòn de Software de Càlculo y Diseño en Càmara Rompecarga
CFD - OPEN FOAM



Se puede observar que en esta modelacion como fluido se trabajara con agua y aire, en donde el agua es un fluido newtoniano que su viscosidad cinematica es 1×10^{-6} y "rho" que es la densidad tiene un valor de 1000



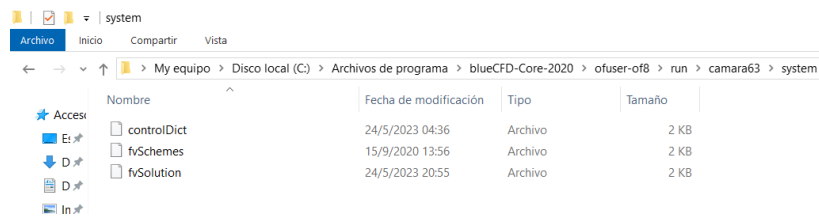
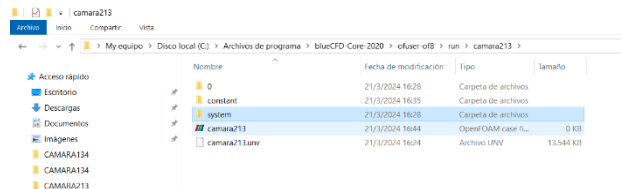
Luego en "air" de igual forma es un fluido newtoniano su viscosidad cinematica es 1.48×10^{-5} y su densidad es igual a 1.



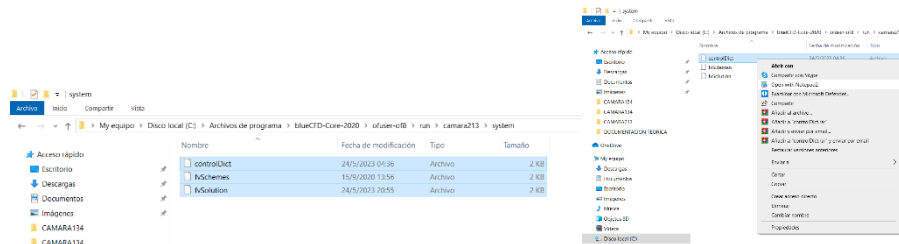
Proyecto Final: Aplicaciòn de Software de Càlculo y Diseño en Càmara Rompecarga
CFD - OPEN FOAM

Sigma sera la tension superficial que tendra un valor de 0.07

por ultimo nos dirigimos a la carpeta "system"



En system tenemos 3 archivos



abirmos “controldict”



Proyecto Final: Aplicaciòn de Software de Càlculo y Diseño en Càmara Rompecarga
CFD - OPEN FOAM

```
 1 // OpenFOAM-NeuroS2
 2 // The Edit View Settings ? 
 3 // 
 4 // Field          openFOAM: The Open Source C++ toolbox
 5 // Operation      Website: https://openfoam.org
 6 // Manipulation   Version: 8
 7 // 
 8 // 
 9 // 
10 // 
11 // 
12 // 
13 // 
14 // 
15 // 
16 // 
17 // 
18 // 
19 // application interFoam;
20 // startFrom latestTime;
21 // startTime 0;
22 // stopTime endTime;
23 // endTime 64;
24 // deltaT 0.01;
25 // writeControl adjustableRunTime;
26 // writeInterval 0.2;
27 // purgeWrite 0;
28 // writeFormat binary;
29 // writePrecision 6;
30 // writeCompression off;
31 // iuniform general;
32 // dtTimePrecision 6;
33 // 
34 // 
35 // 
36 // 
37 // 
38 // 
39 // 
40 // 
41 // 
42 // 
43 // 
44 // 
45 // 
46 // 
47 // 
48 // 
49 // 
50 // 
51 // 
52 // 
53 // 
54 // 
55 // 
56 // 
57 // 
58 // 
59 // 
60 // 
61 // 
62 // 
63 // 
64 // 
65 // 
66 // 
67 // 
68 // 
69 // 
70 // 
71 // 
72 // 
73 // 
74 // 
75 // 
76 // 
77 // 
78 // 
79 // 
80 // 
81 // 
82 // 
83 // 
84 // 
85 // 
86 // 
87 // 
88 // 
89 // 
90 // 
91 // 
92 // 
93 // 
94 // 
95 // 
96 // 
97 // 
98 // 
99 // 
100 // 
101 // 
102 // 
103 // 
104 // 
105 // 
106 // 
107 // 
108 // 
109 // 
110 // 
111 // 
112 // 
113 // 
114 // 
115 // 
116 // 
117 // 
118 // 
119 // 
120 // 
121 // 
122 // 
123 // 
124 // 
125 // 
126 // 
127 // 
128 // 
129 // 
130 // 
131 // 
132 // 
133 // 
134 // 
135 // 
136 // 
137 // 
138 // 
139 // 
140 // 
141 // 
142 // 
143 // 
144 // 
145 // 
146 // 
147 // 
148 // 
149 // 
150 // 
151 // 
152 // 
153 // 
154 // 
155 // 
156 // 
157 // 
158 // 
159 // 
160 // 
161 // 
162 // 
163 // 
164 // 
165 // 
166 // 
167 // 
168 // 
169 // 
170 // 
171 // 
172 // 
173 // 
174 // 
175 // 
176 // 
177 // 
178 // 
179 // 
180 // 
181 // 
182 // 
183 // 
184 // 
185 // 
186 // 
187 // 
188 // 
189 // 
190 // 
191 // 
192 // 
193 // 
194 // 
195 // 
196 // 
197 // 
198 // 
199 // 
200 // 
201 // 
202 // 
203 // 
204 // 
205 // 
206 // 
207 // 
208 // 
209 // 
210 // 
211 // 
212 // 
213 // 
214 // 
215 // 
216 // 
217 // 
218 // 
219 // 
220 // 
221 // 
222 // 
223 // 
224 // 
225 // 
226 // 
227 // 
228 // 
229 // 
230 // 
231 // 
232 // 
233 // 
234 // 
235 // 
236 // 
237 // 
238 // 
239 // 
240 // 
241 // 
242 // 
243 // 
244 // 
245 // 
246 // 
247 // 
248 // 
249 // 
250 // 
251 // 
252 // 
253 // 
254 // 
255 // 
256 // 
257 // 
258 // 
259 // 
260 // 
261 // 
262 // 
263 // 
264 // 
265 // 
266 // 
267 // 
268 // 
269 // 
270 // 
271 // 
272 // 
273 // 
274 // 
275 // 
276 // 
277 // 
278 // 
279 // 
280 // 
281 // 
282 // 
283 // 
284 // 
285 // 
286 // 
287 // 
288 // 
289 // 
290 // 
291 // 
292 // 
293 // 
294 // 
295 // 
296 // 
297 // 
298 // 
299 // 
300 // 
301 // 
302 // 
303 // 
304 // 
305 // 
306 // 
307 // 
308 // 
309 // 
310 // 
311 // 
312 // 
313 // 
314 // 
315 // 
316 // 
317 // 
318 // 
319 // 
320 // 
321 // 
322 // 
323 // 
324 // 
325 // 
326 // 
327 // 
328 // 
329 // 
330 // 
331 // 
332 // 
333 // 
334 // 
335 // 
336 // 
337 // 
338 // 
339 // 
340 // 
341 // 
342 // 
343 // 
344 // 
345 // 
346 // 
347 // 
348 // 
349 // 
350 // 
351 // 
352 // 
353 // 
354 // 
355 // 
356 // 
357 // 
358 // 
359 // 
360 // 
361 // 
362 // 
363 // 
364 // 
365 // 
366 // 
367 // 
368 // 
369 // 
370 // 
371 // 
372 // 
373 // 
374 // 
375 // 
376 // 
377 // 
378 // 
379 // 
380 // 
381 // 
382 // 
383 // 
384 // 
385 // 
386 // 
387 // 
388 // 
389 // 
390 // 
391 // 
392 // 
393 // 
394 // 
395 // 
396 // 
397 // 
398 // 
399 // 
400 // 
401 // 
402 // 
403 // 
404 // 
405 // 
406 // 
407 // 
408 // 
409 // 
410 // 
411 // 
412 // 
413 // 
414 // 
415 // 
416 // 
417 // 
418 // 
419 // 
420 // 
421 // 
422 // 
423 // 
424 // 
425 // 
426 // 
427 // 
428 // 
429 // 
430 // 
431 // 
432 // 
433 // 
434 // 
435 // 
436 // 
437 // 
438 // 
439 // 
440 // 
441 // 
442 // 
443 // 
444 // 
445 // 
446 // 
447 // 
448 // 
449 // 
450 // 
451 // 
452 // 
453 // 
454 // 
455 // 
456 // 
457 // 
458 // 
459 // 
460 // 
461 // 
462 // 
463 // 
464 // 
465 // 
466 // 
467 // 
468 // 
469 // 
470 // 
471 // 
472 // 
473 // 
474 // 
475 // 
476 // 
477 // 
478 // 
479 // 
480 // 
481 // 
482 // 
483 // 
484 // 
485 // 
486 // 
487 // 
488 // 
489 // 
490 // 
491 // 
492 // 
493 // 
494 // 
495 // 
496 // 
497 // 
498 // 
499 // 
500 // 
501 // 
502 // 
503 // 
504 // 
505 // 
506 // 
507 // 
508 // 
509 // 
510 // 
511 // 
512 // 
513 // 
514 // 
515 // 
516 // 
517 // 
518 // 
519 // 
520 // 
521 // 
522 // 
523 // 
524 // 
525 // 
526 // 
527 // 
528 // 
529 // 
530 // 
531 // 
532 // 
533 // 
534 // 
535 // 
536 // 
537 // 
538 // 
539 // 
540 // 
541 // 
542 // 
543 // 
544 // 
545 // 
546 // 
547 // 
548 // 
549 // 
550 // 
551 // 
552 // 
553 // 
554 // 
555 // 
556 // 
557 // 
558 // 
559 // 
560 // 
561 // 
562 // 
563 // 
564 // 
565 // 
566 // 
567 // 
568 // 
569 // 
570 // 
571 // 
572 // 
573 // 
574 // 
575 // 
576 // 
577 // 
578 // 
579 // 
580 // 
581 // 
582 // 
583 // 
584 // 
585 // 
586 // 
587 // 
588 // 
589 // 
590 // 
591 // 
592 // 
593 // 
594 // 
595 // 
596 // 
597 // 
598 // 
599 // 
600 // 
601 // 
602 // 
603 // 
604 // 
605 // 
606 // 
607 // 
608 // 
609 // 
610 // 
611 // 
612 // 
613 // 
614 // 
615 // 
616 // 
617 // 
618 // 
619 // 
620 // 
621 // 
622 // 
623 // 
624 // 
625 // 
626 // 
627 // 
628 // 
629 // 
630 // 
631 // 
632 // 
633 // 
634 // 
635 // 
636 // 
637 // 
638 // 
639 // 
640 // 
641 // 
642 // 
643 // 
644 // 
645 // 
646 // 
647 // 
648 // 
649 // 
650 // 
651 // 
652 // 
653 // 
654 // 
655 // 
656 // 
657 // 
658 // 
659 // 
660 // 
661 // 
662 // 
663 // 
664 // 
665 // 
666 // 
667 // 
668 // 
669 // 
670 // 
671 // 
672 // 
673 // 
674 // 
675 // 
676 // 
677 // 
678 // 
679 // 
680 // 
681 // 
682 // 
683 // 
684 // 
685 // 
686 // 
687 // 
688 // 
689 // 
690 // 
691 // 
692 // 
693 // 
694 // 
695 // 
696 // 
697 // 
698 // 
699 // 
700 // 
701 // 
702 // 
703 // 
704 // 
705 // 
706 // 
707 // 
708 // 
709 // 
710 // 
711 // 
712 // 
713 // 
714 // 
715 // 
716 // 
717 // 
718 // 
719 // 
720 // 
721 // 
722 // 
723 // 
724 // 
725 // 
726 // 
727 // 
728 // 
729 // 
730 // 
731 // 
732 // 
733 // 
734 // 
735 // 
736 // 
737 // 
738 // 
739 // 
740 // 
741 // 
742 // 
743 // 
744 // 
745 // 
746 // 
747 // 
748 // 
749 // 
750 // 
751 // 
752 // 
753 // 
754 // 
755 // 
756 // 
757 // 
758 // 
759 // 
760 // 
761 // 
762 // 
763 // 
764 // 
765 // 
766 // 
767 // 
768 // 
769 // 
770 // 
771 // 
772 // 
773 // 
774 // 
775 // 
776 // 
777 // 
778 // 
779 // 
780 // 
781 // 
782 // 
783 // 
784 // 
785 // 
786 // 
787 // 
788 // 
789 // 
790 // 
791 // 
792 // 
793 // 
794 // 
795 // 
796 // 
797 // 
798 // 
799 // 
800 // 
801 // 
802 // 
803 // 
804 // 
805 // 
806 // 
807 // 
808 // 
809 // 
810 // 
811 // 
812 // 
813 // 
814 // 
815 // 
816 // 
817 // 
818 // 
819 // 
820 // 
821 // 
822 // 
823 // 
824 // 
825 // 
826 // 
827 // 
828 // 
829 // 
830 // 
831 // 
832 // 
833 // 
834 // 
835 // 
836 // 
837 // 
838 // 
839 // 
840 // 
841 // 
842 // 
843 // 
844 // 
845 // 
846 // 
847 // 
848 // 
849 // 
850 // 
851 // 
852 // 
853 // 
854 // 
855 // 
856 // 
857 // 
858 // 
859 // 
860 // 
861 // 
862 // 
863 // 
864 // 
865 // 
866 // 
867 // 
868 // 
869 // 
870 // 
871 // 
872 // 
873 // 
874 // 
875 // 
876 // 
877 // 
878 // 
879 // 
880 // 
881 // 
882 // 
883 // 
884 // 
885 // 
886 // 
887 // 
888 // 
889 // 
890 // 
891 // 
892 // 
893 // 
894 // 
895 // 
896 // 
897 // 
898 // 
899 // 
900 // 
901 // 
902 // 
903 // 
904 // 
905 // 
906 // 
907 // 
908 // 
909 // 
910 // 
911 // 
912 // 
913 // 
914 // 
915 // 
916 // 
917 // 
918 // 
919 // 
920 // 
921 // 
922 // 
923 // 
924 // 
925 // 
926 // 
927 // 
928 // 
929 // 
930 // 
931 // 
932 // 
933 // 
934 // 
935 // 
936 // 
937 // 
938 // 
939 // 
940 // 
941 // 
942 // 
943 // 
944 // 
945 // 
946 // 
947 // 
948 // 
949 // 
950 // 
951 // 
952 // 
953 // 
954 // 
955 // 
956 // 
957 // 
958 // 
959 // 
960 // 
961 // 
962 // 
963 // 
964 // 
965 // 
966 // 
967 // 
968 // 
969 // 
970 // 
971 // 
972 // 
973 // 
974 // 
975 // 
976 // 
977 // 
978 // 
979 // 
980 // 
981 // 
982 // 
983 // 
984 // 
985 // 
986 // 
987 // 
988 // 
989 // 
990 // 
991 // 
992 // 
993 // 
994 // 
995 // 
996 // 
997 // 
998 // 
999 // 
1000 // 
```

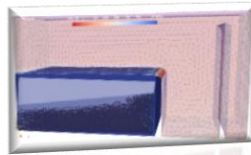
Lo primero que podremos visualizar es el solver a utilizar para la simulación “InterFOAM”

```
controlDict - Notepad2
File Edit View Settings ?

1 // * * * * *
2
3   F eld          | openFOAM: The Open Source CFD Toolbox
4   O peration    | website: https://openfoam.org
5   A nd          | version: 8
6   M anipulation |
7
8
9 foamfile
9 {
10   version      2.0;
11   format       ascii;
12   class        dictionary;
13   location     "system";
14   object       controlDict;
15 }
16
17 // * * * * *
18 application interFoam;
19
20 startFrom   latestTime;
21 startTime    0;
22 stopAt      endTime;
23 endtime     64;
24 deltaT      0.01;
25 writeControl adjustableRunTime;
26 writeInterval 0.2;
27 purgeWrite   0;
28 writeFormat binary;
29 writePrecision 6;
30 writeCompression off;
31
32
33 timeroman   general;
34 timePrecision 6;
35
36 runTimeModifiable yes;
37
38 adjustTimeStep yes;
39
40 naxco        60;
41 naxalphaoco  60;
42 naxbetaTat  1;

```

Luego observamos que la simulación va a empezar desde cero [“starttime 0;”] ya que la simulación es transitoria, es decir un flujo no permanente, y el tiempo final es de 64seg



Proyecto Final: Aplicaciòn de Software de Càlculo y Diseño en Càmara Rompecarga
CFD - OPEN FOAM

```
controlDict - Notepad2
File Edit View Settings ?
1 //----  
2 controlDict | OpenFOAM: The open Source CFD Toolbox  
3 | operation | website: https://openfoam.org  
4 | And | Version: 8  
5 | Manipulation |  
6 //----  
7 foamFile  
8 {  
9     version    2.0;  
10    format     ascii;  
11    class      dictionary;  
12    location   "system";  
13    object     controlDict;  
14 }  
15 //----  
16 application    interFoam;  
17 startFrom        latestTime;  
18 startTime        0;  
19 stopAt          endTime;  
20 endTime          64;  
21 deltaT           0.01;  
22 writeControl    adjustableRunTime;  
23 writeInterval   0;  
24 purgeWrite    0;  
25 writeFormat     binary;  
26 writePrecision 6;  
27 writeCompression off;  
28 timeFormat     general;  
29 timePrecision  6;  
30 runTimeModifiable yes;  
31 adjustTimeStep yes;  
32 nxco           60;  
33 maxAlphaCo    60;  
34 maxBetaCo     1;
```

el delta de tiempo sera de 0.01segundo y se guardara informacion cada 0.2seg, o sea la maquina va a ir integrando de 0.01 en 0.01 y cuando llegue a la integracion 0.2 va a guardar informacion luego seguira integrando hasta llegar a 0.4 que volvera a guardar informacion, este proceso lo hara hasta llegar al final de tiempo “endtime 64seg”

```
controlDict - Notepad2
File Edit View Settings ?
1 // * * * * *
2
3 //-----
4 // Field          | OpenFOAM: The open Source CFD Toolbox
5 // operation     | website: https://openfoam.org
6 // And           | version: 8
7 // \Manipulation |
8
9 /*FoamFile
10 version         2.0;
11 format          ascii;
12 class           dictionary;
13 location        "system";
14 object          controlDict;
15 }
16
17 application    interFoam;
18 startFrom       latestTime;
19 startTime       0;
20 stopAt          endTime;
21 endTime         64;
22 deltaT          0.01;
23 writeControl   adjustableRunTime;
24 writeInterval  0.2;
25
26 purgeWrite    0;
27 writeFormat    binary;
28 writePrecision 6;
29 writeCompression off;
30
31 timestep      general;
32 timePrecision  6;
33 runTimeModifiable yes;
34 adjustTimeStep yes;
35
36 naxco          60;
37 maxAlphaCo    60;
38 maxBetaTaf   1;
```

En la parte inferior nos encontramos con el numero de coulond por defecto se colocaran valores de 60, esto nos generara que la simulacion no sea demasiado precisa pero si sera apropiada



Proyecto Final: Aplicaciòn de Software de Càlculo y Diseño en Càmara Rompecarga
CFD - OPEN FOAM

para la simulacion que se esta realizando (valores mas pequeños se utiliza para turbinas de aviones o situacion en donde la modelacion generara un factor de riesgo mayores a 1.5 – esta en juego la perdida de vidas humanas)

```
controlDict - Notepad2
File Edit View Settings ?
13 location "system";
14 object controlDict;
15 }
16 //
17 application interFoam;
18 startFrom latestTime;
19 startTime 0;
20 stopAt endTime;
21 endTime 64;
22 deltaT 0.01;
23 writeControl adjustableRunTime;
24 writeInterval 0.2;
25 purgeWrit 0;
26 writeFormat binary;
27
28 writePrecision 6;
29
30 writeCompression off;
31 timeFormat general;
32 timePrecision 6;
33 runTimeModifiable yes;
34 adjustTimeStep yes;
35
36 naxco 60;
37 naxlphco 60;
38 naxlbetaf 1;
39
40
41 functions
42 {
43     inletFlux
44     {
45         type surfacelFieldValue;
46         libs ("libfieldfunctionobjects.so");
47         writeControl timeStep;
48         log true;
49         // output field values as well
50         writeFields false;
51         regionType patch;
52         selector select;
53     }
54 }
```

Los demás archivos ubicados en la carpeta system serán archivos netamente numéricos propios de la modelación de la malla generada desde un formato “unv” a un formato “foam”, estos no se modificarán.



Teniendo ya las modificaciones realizadas acorde a nuestro proyecto, en conjunto la malla creada y compatible con OpenFOAM, [cerraremos para view](#), nos encontramos en condiciones de ejecutar el solver con el comando en el terminal de OpenFOAM “InterFOAM” (como se pudo visualizar en el block “controlDict”) este solver es el utilizado para modelaciones hidraulicas.

Projecto Final: Aplicaciòn de Software de Càlculo y Diseño en Càmara Rompecarga CFD - OPEN FOAM



```

-0xuCD700000000000000000000000000000
Temperature scale : 1
Temperature offset: 273.15

Processing tag2420
Skipping section at line 9
Skipping section at line 9.

Processing tag2411
starting reading points at line 20.
read 27065 points.

Starting reading cells at line 55353.
First occurrence of element type 11 For cell 3 at line 55353
First occurrence of element type 43 For cell 628 at line 57235
First occurrence of element type 44 For cell 44098 at line 57630
First occurrence of element type 45 For cell 44099 at line 57687
First occurrence of element type 111 For cell 44562 at line 545105
read 81249 cells and 10186 boundary faces.

Processing tag2467
Interpreting patches at line 240067.
For group 1 named inlet trying to read 30 patch face indices.
For group 2 named outlet trying to read 30 patch face indices.
For group 3 named atmosphere trying to read 1734 patch face indices.
For group 4 named walls trying to read 8380 patch face indices.

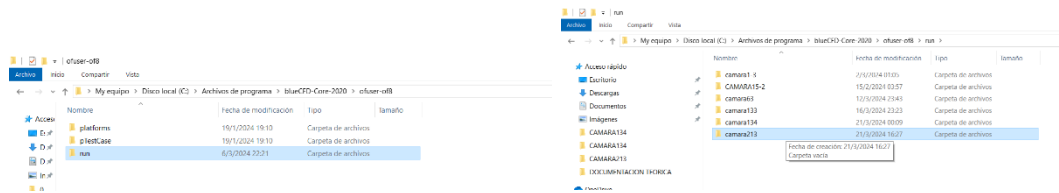
Sorting boundary faces according to group (patch)
 1) inlet
 2) outlet
 3) atmosphere patch
 4) walls 15 patch

Constructing mesh with non-default patches of size:
  inlet   30
  outlet  12
  atmosphere 1724
  walls   8380
End

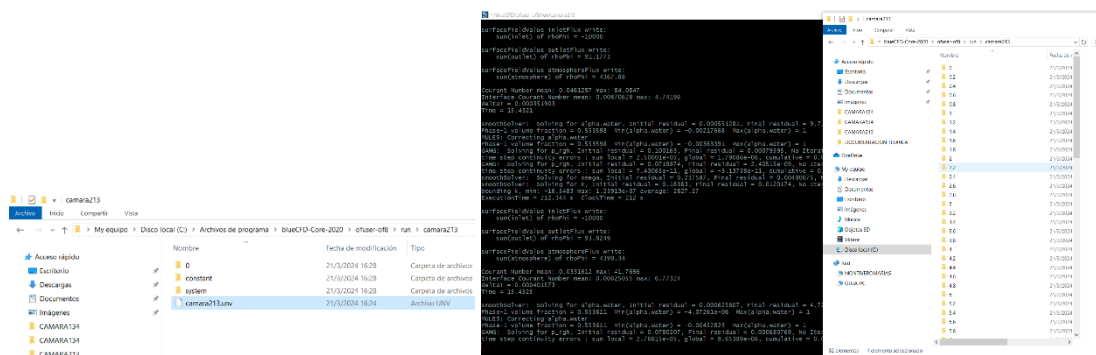
cameraventiveroMariaSol-ASUS2 MINGW64 openFOAM-8 ~/blueCFD/ofuser-of8/run/camara213
$ parmon
Created temporary 'camara213' folder
cameraventiveroMariaSol-ASUS2 MINGW64 openFOAM-8 ~/blueCFD/ofuser-of8/run/camara211
$ rm -rf camara213

```

Al dar enter el programa empezara a guardar la informacion de la modelacion esto tomara tiempo aproximado de 18hs hasta tener la modelacion completa, para poder visualizar estas carpetas de informacion nos dirigimos a la carpeta “camara213” dentro de la carpeta “run”



Inicialmente tendra estos archivos, pero al ir realizandose la modelacion veremos que se incorporaran mas carpetas propias de la modelacion.





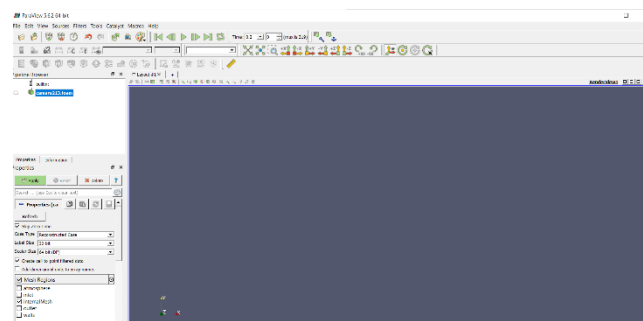
**Proyecto Final: Aplicaciòn de Software de Càlculo y Diseño en Càmara Rompecarga
CFD - OPEN FOAM**

Podemos observar que la iteración se fue creando en carpetas cada 0.2segundos, y se ha creado una nueva carpeta llamada “postprocessing”

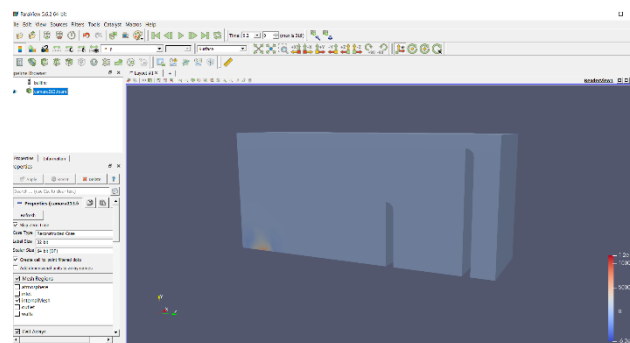
El pos procesamiento, para poder visualizar la modelacion tendremos que abrir en el terminar para foam con el comando “parafoam”

Se nos abrirá una ventana y deberemos modificar las visualizaciones para poder crear una buena y adecuada visualización de lo modelado.

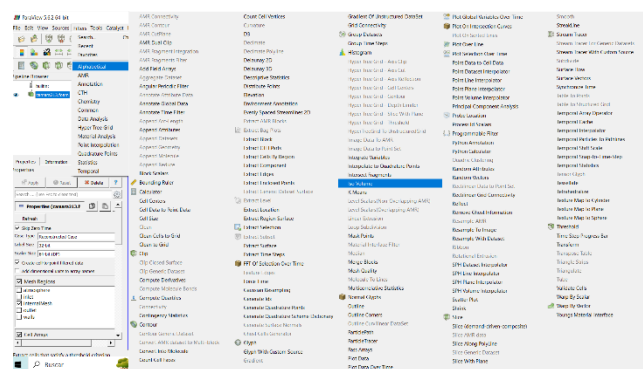
Proyecto Final: Aplicaciòn de Software de Càculo y Diseño en Càmara Rompecarga CFD - OPEN FOAM



Al ingresar a la ventana de para foam, inmediatamente nos sale la simulacion creada en el arbol de tareas, manteniendo seleccionado “camara134.foam” se debe clickear en “apply” (izq-media), podemos observar nuestro dominio computacional



Para poder visualizarlo mejor nos dirigimos a los comandos en la parte superior de la pantalla “filters – alphabetical – iso volumen”

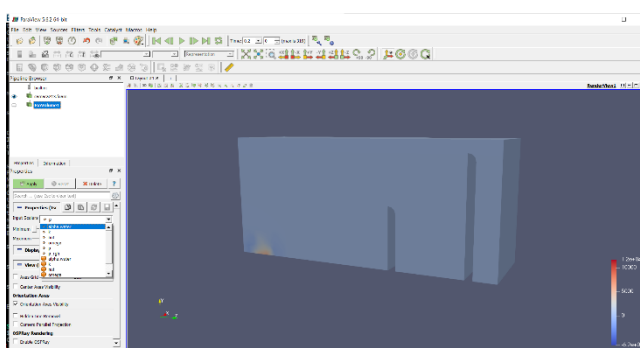
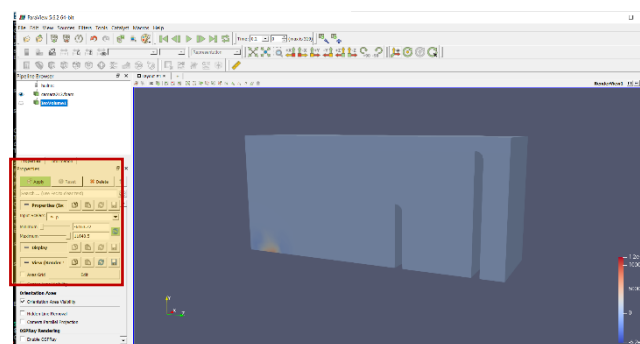


Dentro de iso volume (debe estar seleccionado en el arbol de trabajo) se haran modificaciones para poder visualizar la modelacion,

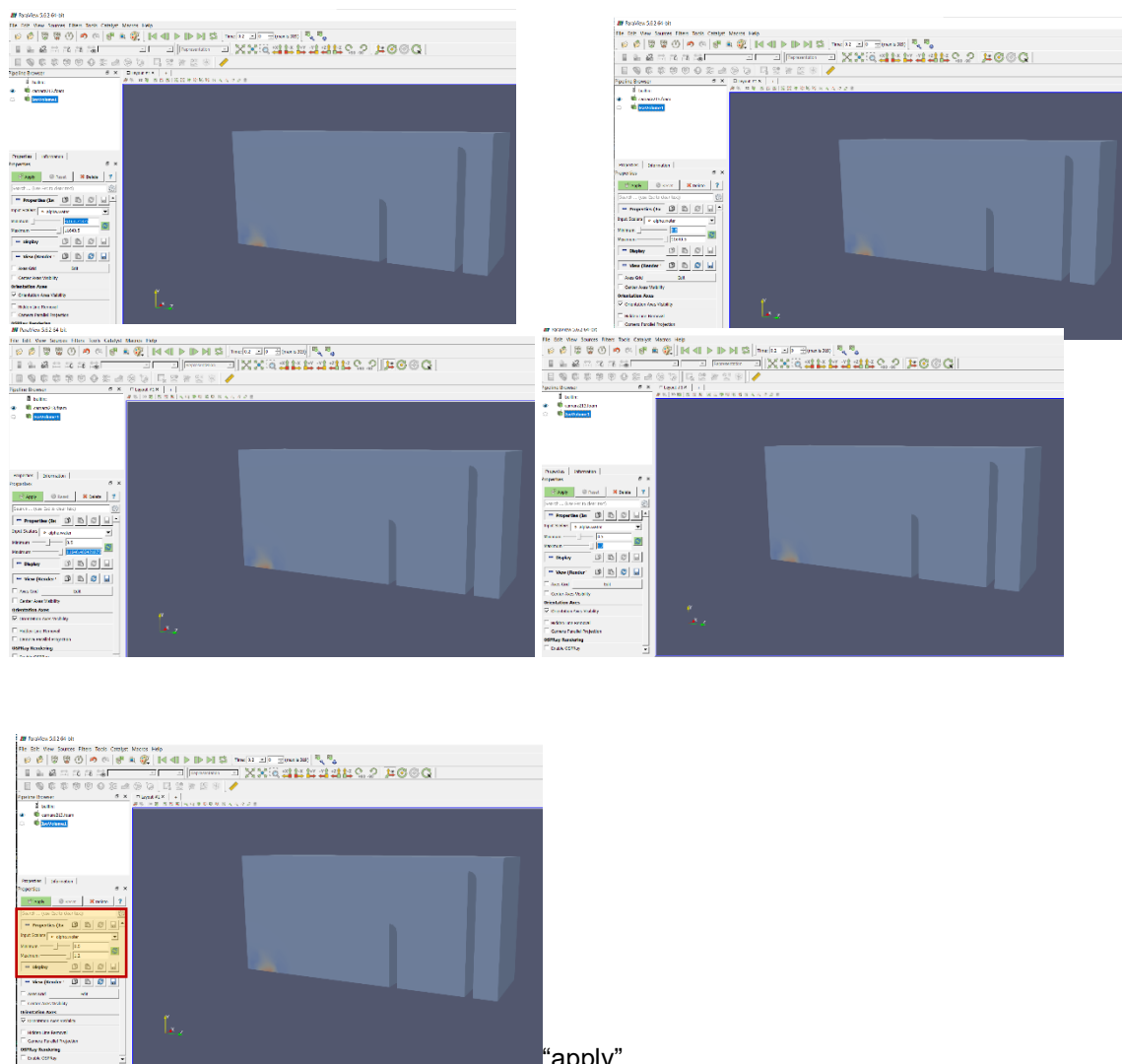
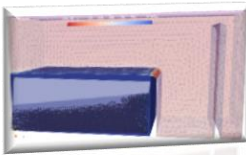
- input scalars: p [cambiaremos a “alpha.water” que representa el volumen de agua]



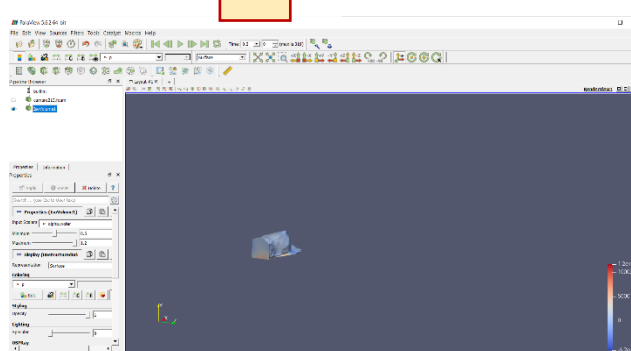
- minimum: -107.616 [cambiaremos a un valor de 0.5]
- maximum: 841.335 [cambiaremos a 1.2]
- luego le damos a apply



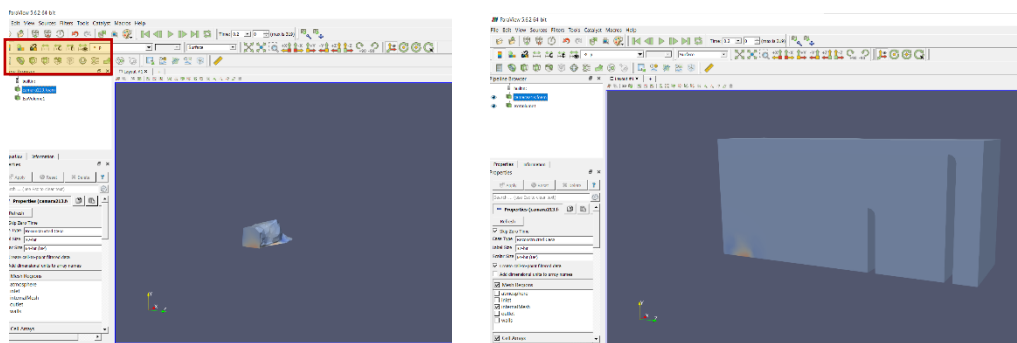
**Proyecto Final: Aplicaciòn de Software de Cálculo y Diseño en Càmara Rompecarga
CFD - OPEN FOAM**



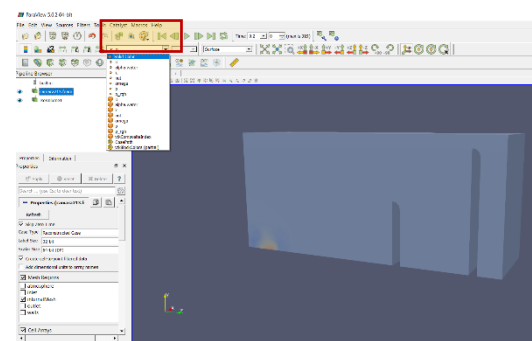
Podremos visualizar la entrada de agua, en el tiempo 0.2



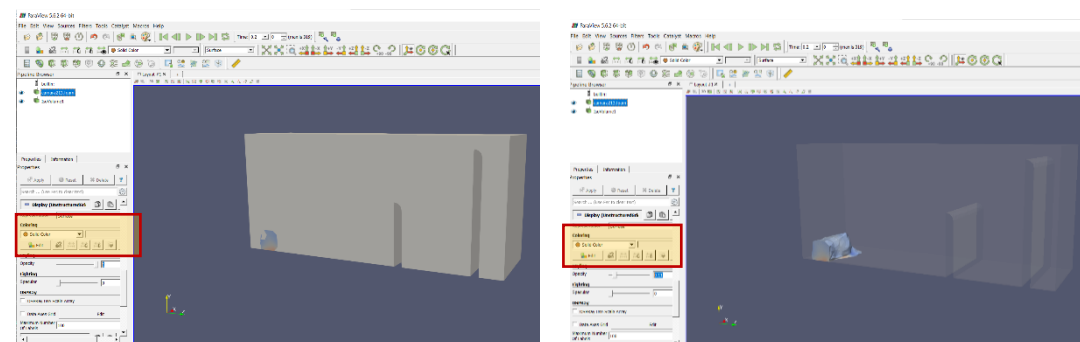
Para poder apreciar la estructura donde esta transportandose este flujo de agua voy a activar la modelacion en el arbol de trabajo “camara213.foam” se notara un icono de ojo que estara cerrado/apagado o abierto



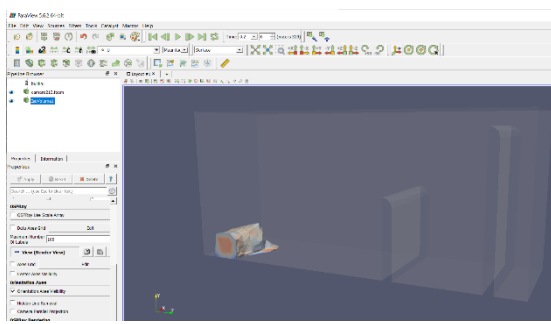
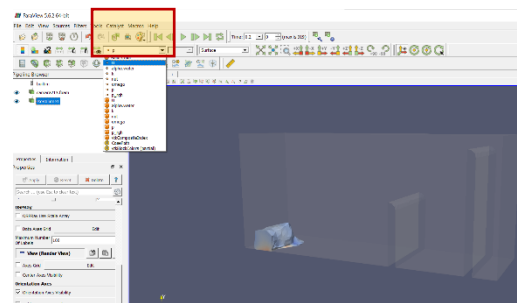
Para darle opacidad y tener una transparencia del volumen seleccionaremos la camara y estando activada (ojos abiertos) nos dirigimos a la parte superior y elegimos “solid color”



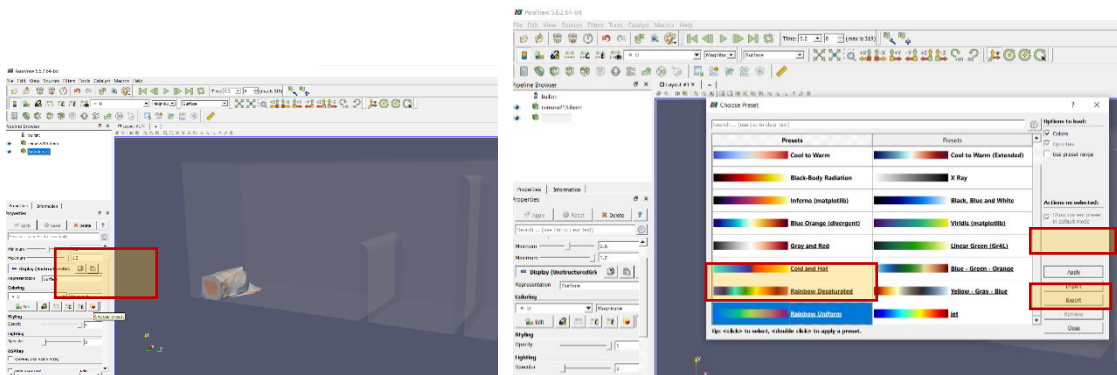
Luego en la parte inferior del arbol de trabajo nos dirigimos al comando “styling” y en opacity le daremos un valor minimo de 0.11. Se podra visualizar la estructura y el flujo en el tiempo de 0.2.-



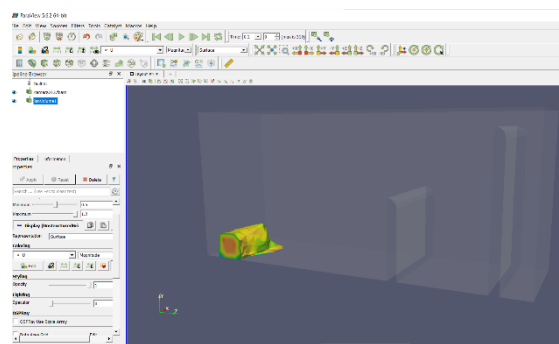
Seleccionando del arbol de trabajo “isovolumne1” y en la barra de comando superior seleccionamos las velocidades “u”



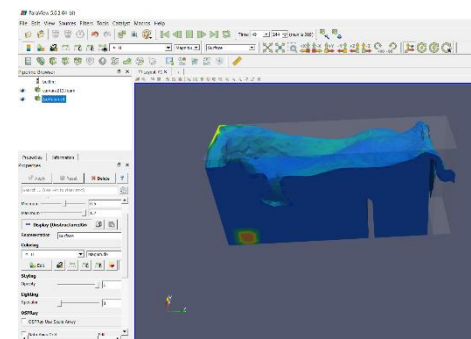
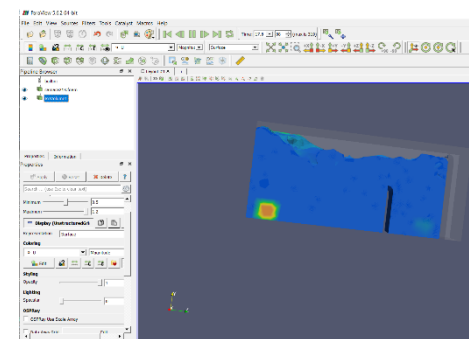
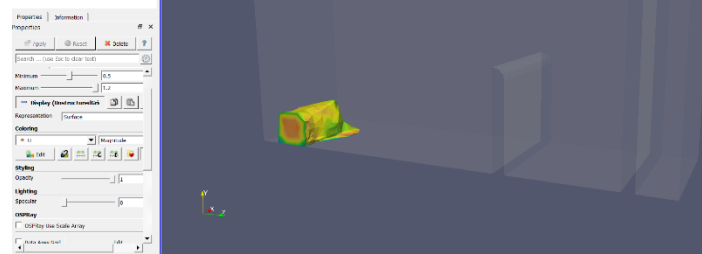
Se pueden modificar los colores de la escala llenando a los comandos del arbol de trabajo “choce present” y seleccionamos la gama “rainbow uniform” y damos en apply



**Proyecto Final: Aplicaciòn de Software de Càlculo y Diseño en Càmara Rompecarga
CFD - OPEN FOAM**



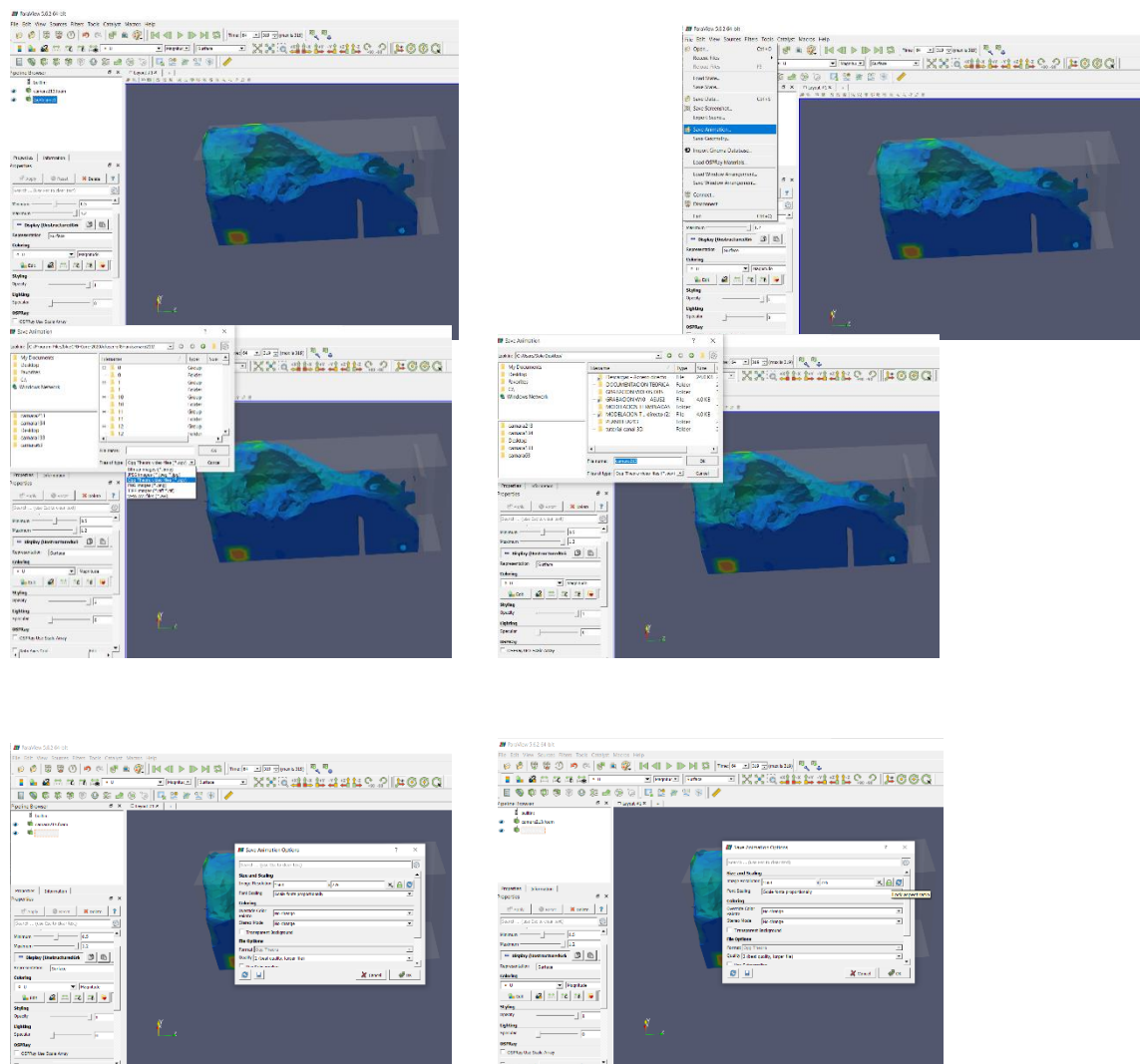
Para poder visualizar el tiempo recorrido nos dirigimos a la barra de tareas superior y damos play



Para guardar la animacion primero seleccionamos "iso volume1" nos dirigimos a la parte superior "file – save animation – nombre y formato “vfw avi files” , tambien puede ser el formato “ogv”

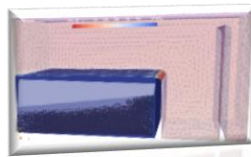


Proyecto Final: Aplicaciòn de Software de Càlculo y Diseño en Càmara Rompecarga CFD - OPEN FOAM

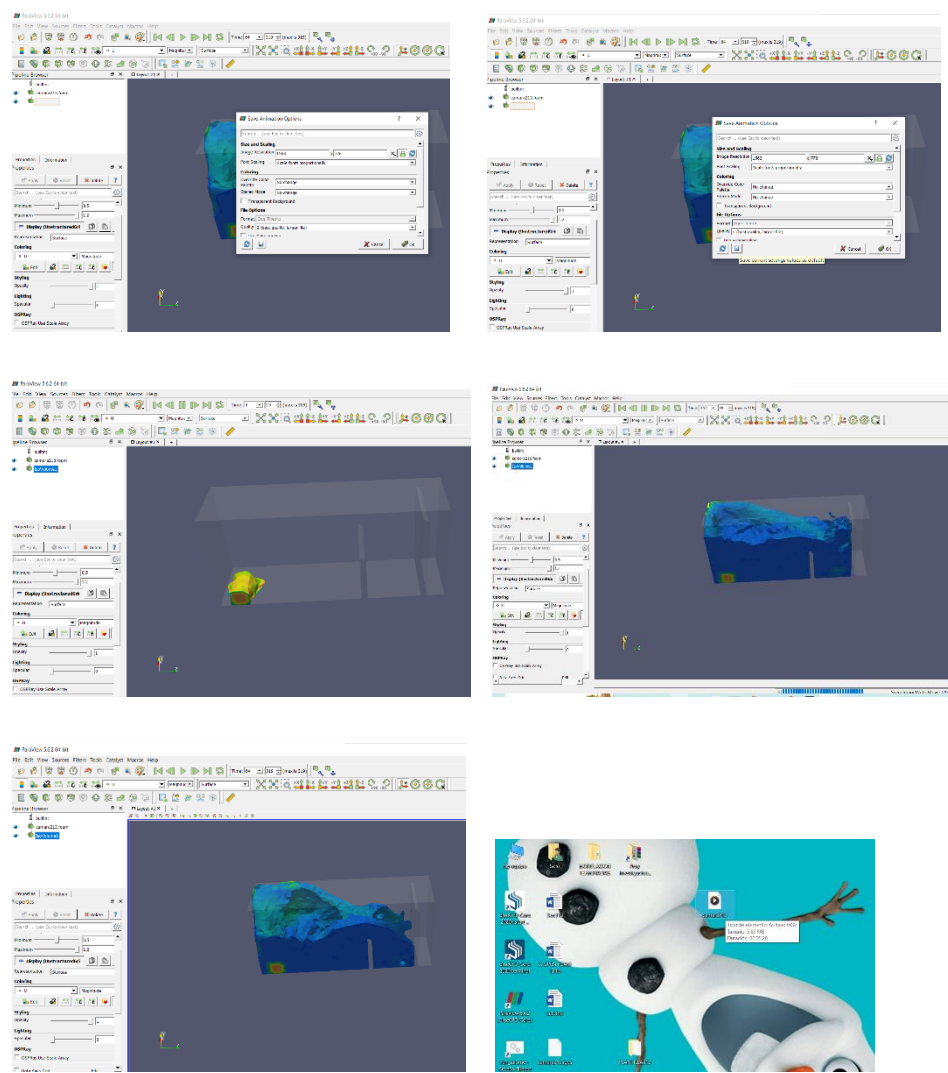


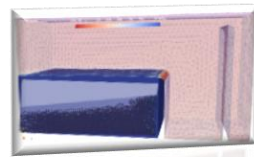
Mantener presionado el candado en “image resolution”, luego colocar guardar candado abajo y por ultimo ok

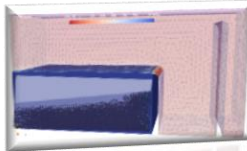




Proyecto Final: Aplicaciòn de Software de Càlculo y Diseño en Càmara Rompecarga
CFD - OPEN FOAM







ANEXO II

SIMULACION DPMFOAM - Goldschmidt

MODELACION EN OPENFOAM8 – TERMINAL BLUE CFD

Se copiará la carpeta desde tutorial “Gold Schmidt” en nuestra carpeta de trabajo “run”, para poder trabajar sin errores en el nombramiento se simplificara el nombre por “Golds5524”

Como se había explicado en el apartado de la simulación con fluido, nos encontraremos con las 3 carpetas básica para toda simulación

En la carpeta CERO hay 2 archivos - presión y velocidad

```

1 /*FoamFile
2 {
3     version    2.0;
4     format    ascii;
5     class     volScalarField;
6     object    p;
7 }
8
9 dimensions      [0 2 -2 0 0 0];
10 internalField  uniform 0;
11 boundaryField
12 {
13     walls
14     {
15         type      fixedFluxPressure;
16         phi       phiAir;
17         value    $internalField;
18     }
19     bottom
20     {
21         type      fixedFluxPressure;
22         phi       phiAir;
23         value    $internalField;
24     }
25     top
26     {
27         type      fixedValue;
28         phi       phiAir;
29         value    $internalField;
30     }
31 }
32 frontAndBack
33 {
34 }
```



En el archivo "U" encontraremos la velocidad la cual para esta modelacion sera de 0.5845m/s en el eje z, y la presion interna sera igual a cero.



```

Uair - Notepad2
File Edit View Settings ?
File Open Save Save As Find Replace Undo Redo C++ ~
1 /*-----| Field | OpenFOAM: The Open Source CFD Toolbox
2   \ \ / Operation | Website: https://openfoam.org
3     \ \ And | Version: 8
4       \ \ Manipulation |
5
6
7 *-----*/
8 Foamfile
9 {
10   version    2.0;
11   format     ascii;
12   class      uniformDimensionedVectorField;
13   location   "0";
14   object     Uair;
15 }
16 // * * * * * //
17
18 dimensions [0 1 -1 0 0 0 0];
19
20 internalField uniform (0 0 0);
21
22 boundaryField
23 {
24   walls
25   {
26     type      noslip;
27   }
28
29   top
30   {
31     type      pressureInletOutletVelocity;
32     phi       phi.air;
33     inletValue uniform (0 0 0);
34     value     uniform (0 0 0);
35   }
36
37   bottom
38   {
39     type      interstitialInletVelocity;
40     inletVelocity uniform (0 0 0.5845);
41     value     uniform (0 0 0.5845);
42     phi       phi.air;
43     alpha    alpha.air;
44   }
45

```

La siguiente carpeta será CONSTANT que tendrá 5 archivos



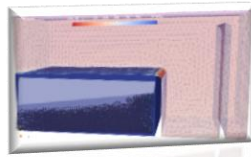
En el archivo "g" tendremos la gravedad

```

g - Notepad2
File Edit View Settings ?
File Open Save Save As Find Replace Undo Redo C++ ~
1 /*-----| Field | OpenFOAM: The Open Source CFD Toolbox
2   \ \ / Operation | Website: https://openfoam.org
3     \ \ And | Version: 8
4       \ \ Manipulation |
5
6
7 *-----*/
8 FoamFile
9 {
10   version    2.0;
11   format     ascii;
12   class      uniformDimensionedVectorField;
13   location   "constant";
14   object     g;
15 }
16 // * * * * * //
17
18 dimensions [0 1 -2 0 0 0 0];
19 value     (0 0 -9.81);
20
21
22 // * * * * * //
23

```





Proyecto Final: Aplicaciòn de Software de Càlculo y Diseño en Càmara Rompecarga
CFD - OPEN FOAM

En el archive "kineticCloudPositions" se encontrará una nube de las partículas, esta será la ubicación de todas las partículas que tendrá el dominio computacional de manera ordenada.

```
kinematicCloudPositions - Notepad2
File Edit View Settings ?
1 //----- C++ -----\\
2 ====== F i e l d ====== | OpenFOAM: The Open Source CFD Toolbox
3 \\ / O p e r a t i o n | Website: https://openfoam.org
4 A n d | Version: 8
5 \\ M a n i p u l a t i o n |
6 \\
7 /*
8 FoamFile
9 {
10    version    2.0;
11    format     ascii;
12    class      vectorField;
13    object     kinematicCloudPositions;
14 }
15 // * * * * *
16
17 (
18 (-0.0060 -0.0735 0.0015)
19 (-0.0030 -0.0735 0.0015)
20 (0.0000 -0.0735 0.0015)
21 (0.0030 -0.0735 0.0015)
22 (0.0060 -0.0735 0.0015)
23 (0.0050 -0.0705 0.0015)
24 (-0.0030 -0.0705 0.0015)
25 (0.0000 -0.0705 0.0015)
26 (0.0030 -0.0705 0.0015)
27 (0.0060 -0.0705 0.0015)
28 (-0.0060 -0.0675 0.0015)
29 (-0.0030 -0.0675 0.0015)
30 (0.0000 -0.0675 0.0015)
31 (0.0030 -0.0675 0.0015)
32 (0.0060 -0.0675 0.0015)
33 (-0.0060 -0.0645 0.0015)
34 (-0.0030 -0.0645 0.0015)
35 (0.0000 -0.0645 0.0015)
36 (0.0030 -0.0645 0.0015)
37 (0.0060 -0.0645 0.0015)
38 (-0.0060 -0.0615 0.0015)
39 (-0.0030 -0.0615 0.0015)
40 (0.0000 -0.0615 0.0015)
41 (0.0030 -0.0615 0.0015)
42 (0.0060 -0.0615 0.0015)
43 (-0.0060 -0.0585 0.0015)
44 (-0.0030 -0.0585 0.0015)
45 (0.0000 -0.0585 0.0015)
```

En el archivo "kinematicCloudProperties" se puede observar las propiedades de las partículas siendo la densidad de arenas saturadas de 2100kg/m^3 ,

```
* kinematicCloudProperties - Notepad2
File Edit View Settings ?
location "constant";
object particleProperties;
}
// ****
solution
{
    active      true;
    coupled     true;
    transient   yes;
    cellValueSourceCorrection off;
    interpolationSchemes
    {
        rho.air    cell;
        U.air     cellPoint;
        mu.air    cell;
        alpha.air cell;
    }
    integrationSchemes
    {
        U          Euler;
    }
    sourceTerms
    {
        schemes
        {
            U semiImplicit 1;
        }
    }
}
constantProperties
{
    parcelType 1;
    rhoMin     1e-15;
    minParcelMass 1e-15;
    rho0       2100;
    youngsModulus 188;
    poisssonsRatio 0.35;
}
```

El modelo de inyección será manual, la posición de las partículas se encontrarán en el archivo "kinematicCloudPositions" y el tamaño de las partículas intervenientes serán de 0.001m



Proyecto Final: Aplicaciòn de Software de Càlculo y Diseño en Càmara Rompecarga
CFD - OPEN FOAM

```
  * kinematicCloudProperties - Notepad2
File Edit View Settings ?
File Edit View Settings ?
52 minParcelMass 1e-15;
53
54 rho0 2100;
55 youngsModulus 1e8;
56 poissonRatio 0.35;
57
58 constantVolume false;
59
60 alphaMax 0.99;
61 }
62
63 subModels
64 {
65   particleForces
66   {
67     ErgunWenYuDrag
68     {
69       alphac alpha.air;
70     }
71     gravity;
72   }
73   injectionModels
74   {
75     model1
76     {
77       type manualInjection;
78       massTotal 0;
79       parcelBasisType fixed;
80       nParticle 1;
81       SDI 0;
82       positionsFile "kinematicCloudPositions";
83       U0 (0 0 0);
84       sizeDistribution
85       {
86         type fixedValue;
87         fixedValueDistribution
88         {
89           value 0.001;
90         }
91       }
92     }
93   }
94 }
95
96 dispersionModel none;
```

En el archivo "momentumTransport" podremos ver que la simulación será de tipo turbulento

```
* momentumTransportair - Notepad2
File Edit View Settings ?
1 // * * * * * 
2 ====== / F i e l d | OpenFOAM: The Open Source CFD Toolbox
3 \\ \ O p e r a t i o n | website: https://openfoam.org
4 \\ \ S t a r t | Version: 8
5 \\ \ M a n i p u l a t i o n |
6 \\ \ 
7 /*FoamFile
8 {
9  version      2.0;
10 format       ascii;
11 class        dictionary;
12 location     "constant";
13 object       turbulenceProperties.air;
14 }
15 // * * * * *
16 simulationType turbulent;
17 // * * * * * 
18 // * * * * * 
19 // * * * * * 
20 // * * * * * 
```

En el archivo “transportProperties” se observa la densidad y viscosidad cinemática del aire, que es un fluido newtoniano

Projecto Final: Aplicaciòn de Software de Càlculo y Diseño en Càmara Rompecarga CFD - OPEN FOAM



```
transportProperties - Notepad2
File Edit View Settings ?
1 /*----- C++ -----*/
2
3   F ield      | OpenFOAM: The Open Source CFD Toolbox
4   O peration  | website: https://openfoam.org
5   A nd        | Version: 8
6   M anipulation |
7 *-----*/
8 Foamfile
9 {
10    version    2.0;
11    format     ascii;
12    class      dictionary;
13    location   "constant";
14    object     transportProperties;
15 }
16 // * * * * * * * * * * * * * * * * * * * * * * * * * * * * * * * * * * * //
17
18 continuousPhaseName air;
19
20 rho.air      1.2;
21
22 transportModel Newtonian;
23 nu          1e-05;
24
25 // * * * * * * * * * * * * * * * * * * * * * * * * * * * * * * * * * * * //
26
```

En la carpeta SYSTEM hay 6 archivos



En el archivo "blockMesh" en el cual se indica los límites y vértices de mi dominio computacional, como también la formación de los bloques y la partición de la malla en el eje x,y,z

```
* blockMeshDict - Notepad2
File Edit View Settings ?
1 /*----- C++ -----*/
2
3   F ield      | OpenFOAM: The Open Source CFD Toolbox
4   O peration  | website: https://openfoam.org
5   A nd        | Version: 8
6   M anipulation |
7 *-----*/
8 Foamfile
9 {
10    version    2.0;
11    format     ascii;
12    class      dictionary;
13    object     blockMeshDict;
14 }
15 // * * * * * * * * * * * * * * * * * * * * * * * * * * * * * * * * * * * //
16
17 convertToMeters 0.01;
18
19 vertices
20 (
21    (-10 -16 0)
22    (-10 -16 0)
23    (-10 16 0)
24    (-10 16 0)
25    (-10 -16 70)
26    (-10 -16 70)
27    (-10 16 70)
28    (-10 16 70)
29 );
30
31 blocks
32 (
33    // hex (0 1 2 3 4 5 6 7) (1 15 45) simpleGrading (1 1 1)
34    hex (0 1 2 3 4 5 6 7) (30 30 90) simpleGrading (1 1 1)
35 );
36
37 edges
38 (
39 );
40
41 boundary
42 (
43    top
44    {
45        type wall;
```

```
* blockMeshDict - Notepad2
File Edit View Settings ?
39 );
40
41 boundary
42 (
43    top
44    {
45        type wall;
46        faces
47        (
48            (1 5 6 2)
49        );
50    }
51
52    bottom
53    {
54        type wall;
55        faces
56        (
57            (0 4 7 3)
58        );
59    }
60
61    walls
62    {
63        type wall;
64        faces
65        (
66            (0 1 5 4)
67            (3 2 6 7)
68        );
69    }
70
71    frontAndBack
72    {
73        type symmetry;
74        faces
75        (
76            (0 1 2 3)
77            (4 5 6 7)
78        );
79    }
80 );
81
82 // * * * * * * * * * * * * * * * * * * * * * * * * * * * * * * * * * * * //
```





Proyecto Final: Aplicaciòn de Software de Càlculo y Diseño en Càmara Rompecarga
CFD - OPEN FOAM

En el archivo "controlDict" se puede apreciar el solver DPMFoam "DISCRET PARTICUL MODELING" el tiempo inicial sera de 0 segundos, la modelacion terminara a las 180seg, el paso del tiempo sera de 2×10^{-5} seg, se guardara informacion cada 0.001seg

En el archivo “decomposeParDict” las simulaciones de partículas generalmente toman mucho tiempo, por esto es recomendable realizar una simulación en paralelo para poder ahorrar tiempo computacional, optimizando los recursos de los núcleos del ordenador.

Se puede observar que la simulación se realizó con 4 núcleos físicos, lo cual generó un tiempo total de modelación de 609.608seg, con un rendimiento del computador de aproximadamente 75%. Se debe tener en cuenta cuando se realizan las simulaciones en paralelo, cada núcleo del procesador va a ser el que realicen el cálculo en un subdominio del dominio general.

```
decomposeParDict - Notepad2
File Edit View Settings ?
1 //-----| C++ -----\
2 ======| F field | OpenFOAM: The Open Source CFD Toolbox
3 \\\ operation | Website: https://openfoam.org
4 And | Version: 8
5 Manipulation |
6 \
7 \-----| /-----\
8 FoamFile
9 {
10    version      2.0;
11    format       ascii;
12    class        dictionary;
13    location     "system";
14    object       decomposeParDict;
15 }
16 // * * * * * // * * * * *
17
18 numberofsplitters 4;
19
20 method          simple;
21
22 simpleCoeffs
23 {
24    n            (2 1);
25    delta        0.001;
26 }
27
28 // * * * * * // * * * * *
29
```

Una vez realizada las modificaciones particulares para la simulación en curso , se ingresara al terminar buscando la carpeta Golds5524

```
Setting environment for OpenFOAM 8 mingw-w64 Double Precision (of8-64), using MSMPI71 - please wait...
Environment is now ready. Notes:
- You can change between installed versions by running: ofmenu
- You can change to other predefined versions by running: ofmenuNew
sole@MONTIVEROMAS2 MINGW64_OpenFOAM-8 ~
$ cd $FOAM_RUN/Golds5524
```

Con el comando lista “ls” podremos ver el contenido

```
~/blueCFD/ofuser-of8/run/Golds5524
Setting environment for OpenFOAM 8 mingw-w64 Double Precision (of8-64), using MSMPI71 - please wait...
Environment is now ready. Notes:
- You can change between installed versions by running: ofmenu
- You can change to other predefined versions by running: ofmenuNew
sole@MONTIVEROMAS2 MINGW64_OpenFOAM-8 ~
$ cd $FOAM_RUN/Golds5524
sole@MONTIVEROMAS2 MINGW64_OpenFOAM-8 ~/blueCFD/ofuser-of8/run/Golds5524
$ ls
```

```
~/blueCFD/ofuser-of8/run/Golds5524
Setting environment for OpenFOAM 8 mingw-w64 Double Precision (of8-64), using MSMPI71 - please wait...
Environment is now ready. Notes:
- You can change between installed versions by running: ofmenu
- You can change to other predefined versions by running: ofmenuNew
sole@MONTIVEROMAS2 MINGW64_OpenFOAM-8 ~
$ cd $FOAM_RUN/Golds5524
sole@MONTIVEROMAS2 MINGW64_OpenFOAM-8 ~/blueCFD/ofuser-of8/run/Golds5524
$ ls
0 constant system
sole@MONTIVEROMAS2 MINGW64_OpenFOAM-8 ~/blueCFD/ofuser-of8/run/Golds5524
$ |
```

Se procedera a generar la malla con el comando “blockMesh”

```
~/blueCFD/ofuser-of8/run/Golds5524
Setting environment for OpenFOAM 8 mingw-w64 Double Precision (of8-64), using MSMPI71 - please wait...
Environment is now ready. Notes:
- You can change between installed versions by running: ofmenu
- You can change to other predefined versions by running: ofmenuNew
sole@MONTIVEROMAS2 MINGW64_OpenFOAM-8 ~
$ cd $FOAM_RUN/Golds5524
sole@MONTIVEROMAS2 MINGW64_OpenFOAM-8 ~/blueCFD/ofuser-of8/run/Golds5524
$ ls
0 constant system
sole@MONTIVEROMAS2 MINGW64_OpenFOAM-8 ~/blueCFD/ofuser-of8/run/Golds5524
$ blockMesh
```

Podemos observar que el programa termino el mallado



**Proyecto Final: Aplicaciòn de Software de Cálculo y Diseño en Càmara Rompecarga
CFD - OPEN FOAM**

```

~/blueCFD/fuser-of8/run/Goldis5524
Creating block edges
No non-planar block faces defined
Creating topology blocks
Creating topology patches
Creating block mesh topology
Check topology
    Basic statistics
        Number of internal faces : 0
        Number of boundary faces : 6
        Number of defined boundary faces : 6
        Number of undefined boundary faces : 0
    Checking patch -> block consistency

Creating block offsets
Creating merge list .

Creating polyMesh from blockMesh
Creating patches
Creating cells
Creating points with scale 0.01
    Block [cell] size :
        i : 0.1
        j : 0.0106667
        k : 0.0077778 ... 0.0077778

There are no merge patch pairs edges

Writing polyMesh
-----
Mesh Information
-----
    boundingBox: (-0.1 -0.16 0) (0.1 0.16 0.7)
    nPoints: 8463
    nCells: 5400
    nFaces: 19140
    nInternalFaces: 13260
-----
Patches
-----
    patch 0 (start: 13260 size: 2700) name: top
    patch 1 (start: 15960 size: 2700) name: bottom
    patch 2 (start: 18660 size: 360) name: walls
    patch 3 (start: 19020 size: 120) name: frontAndBack
-----
End

```

Para poder garantizar que el mallado se realizo correctamente utilizamos el comando "checkMesh", y observamos que todo esta con "ok" garantizando que el mallado esta bien realizado. Podemos verlo atravez de paraView

```

~/blueCFD/fuser-of8/run/Goldis5524
Face zones: 0
Cell zones: 0
Overall number of cells of each type:
    hexahedra: 5400
    prisms: 0
    wedges: 0
    pyramids: 0
    tri_wedges: 0
    tetrahedra: 0
    polyhedra: 0
Checking topology...
    Boundary definition OK.
    Cell to face addressing OK.
    Point usage OK.
    Uniform triangular ordering OK.
    Face vertices OK.
    Number of regions: 1 (OK).

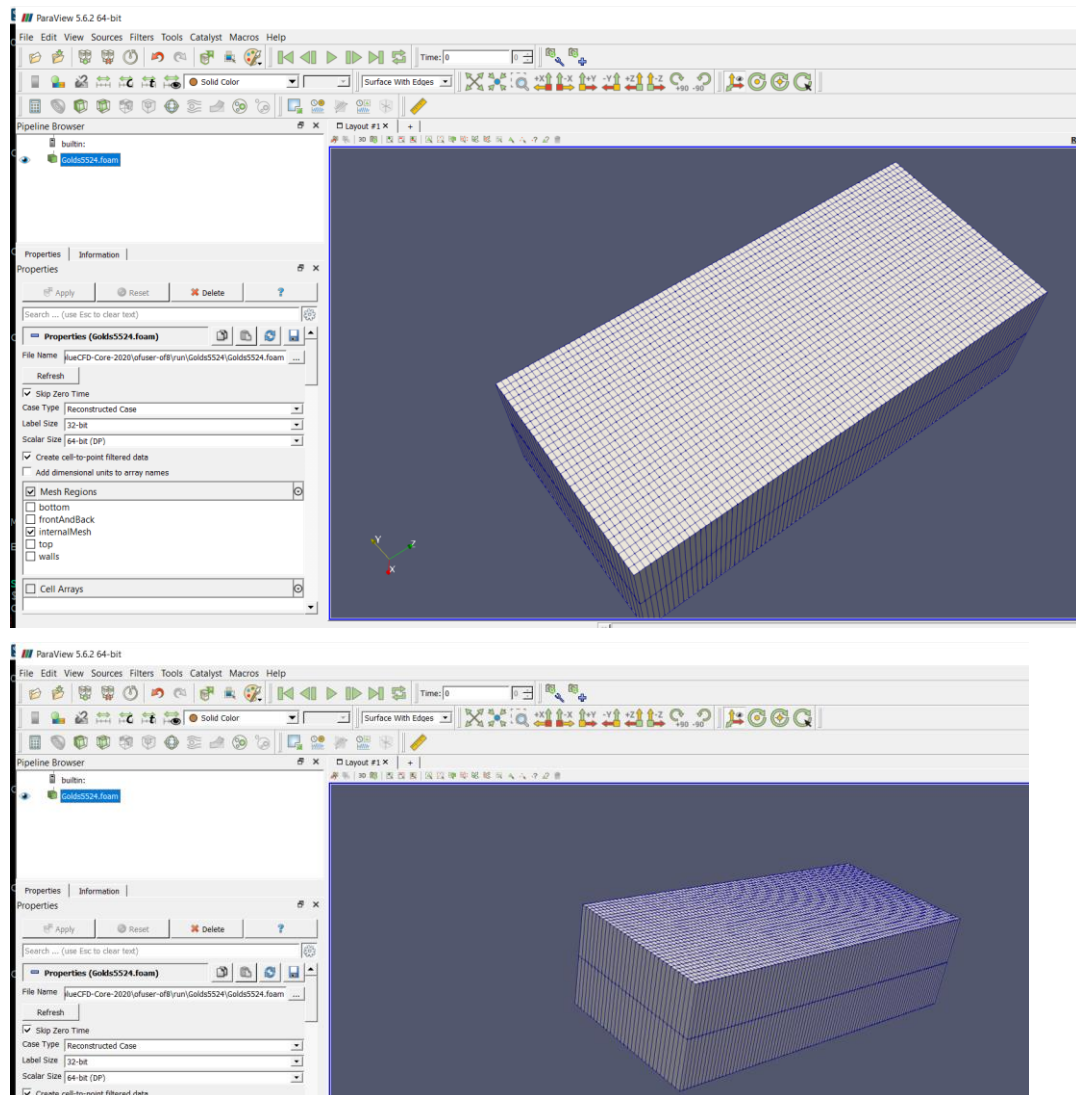
Checking patch topology for multiply connected surfaces...
Patch          Faces   Points   Surface topology
top            2700    2821    ok (non-closed singly connected)
bottom         2700    2821    ok (non-closed singly connected)
walls           360     546     ok (non-closed singly connected)
frontAndBack   120     186     ok (non-closed singly connected)

Checking geometry...
    Overall domain bounding box (-0.1 -0.16 0) (0.1 0.16 0.7)
    Mesh has 3 geometric (non-empty/wedge) directions (1 1 1)
    Mesh has 3 solution (non-empty) directions (1 1 1)
    Boundary openness (6.0837e-16 -2.16334e-16 6.07964e-18) OK.
    Mesh non-manifold boundaries OK.
    Max aspect ratio = 12.8571 OK.
    Minimum face area = 8.2963e-05. Maximum face area = 0.00106667. Face area magnitudes OK.
    Min volume = 8.2963e-06. Max volume = 8.2963e-06. Total volume = 0.0448. Cell volumes OK.
    Mesh non-orthogonality Max: 0 average: 0
    Non-orthogonality check OK.
    Face pyramids OK.
    Max skewness = 5.58662e-14 OK.
    Coupled point location match (average 0) OK.

Mesh OK.
End

```





Ahora se procedera a descomponer el dominio computacional en 4 partes iguales, debido a que la simulacion en paralelo se realizara para 4 nucleos. Utilizando el comando “decomposePar”, se

crearan 4 carpetas donde cada una representara un nucleo del procesador

```

~/blueCFD/ofuser-of8/run/Golds5524
hexahedra:      5400
prisms:          0
wedges:          0
pyramids:        0
tet wedges:      0
tetrahedra:      0
polyhedra:        0

Checking topology...
Boundary definition OK.
Cell to face addressing OK.
Point usage OK.
Upper triangular ordering OK.
Face vertices OK.
Number of regions: 1 (OK).

Checking patch topology for multiply connected surfaces...
Patch           Faces    Points   Surface topology
top             2700     2821    ok (non-closed singly connected)
bottom          2700     2821    ok (non-closed singly connected)
walls            360      546    ok (non-closed singly connected)
frontAndback    120      186    ok (non-closed singly connected)

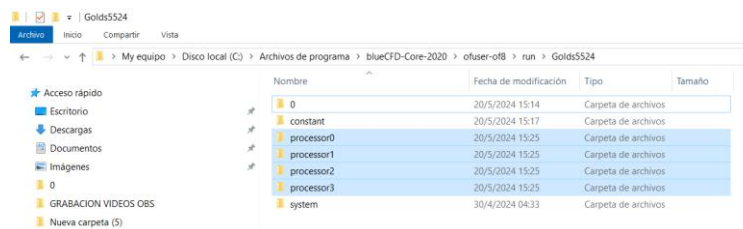
Checking geometry...
Overall domain bounding box (-0.1 -0.16 0) (0.1 0.16 0.7)
Mesh has 3 geometric (non-empty/wedge) directions (1 1 1)
Mesh has 3 solution (non-empty) directions (1 1 1)
Boundary openness (6.08375e-16 -2.16334e-16 6.07964e-18) OK.
Max cell openness = 2.43945e-16 OK.
Max aspect ratio = 12.8571 OK.
Minimum face area = 8.2963e-05. Maximum face area = 0.00106667. Face area magnitudes OK.
Min volume = 8.2963e-06. Max volume = 8.2963e-06. Total volume = 0.0448. Cell volumes OK.
Mesh non-orthogonality Max: 0 average: 0
Mesh orthogonality check OK.
Face pyramids OK.
Max skewness = 5.58662e-14 OK.
Coupled point location match (average 0) OK.

Mesh OK.

End

$ Sole@MONTIVEROMAS2 MINGW64 OpenFOAM-8 ~/blueCFD/ofuser-of8/run/Golds5524
$ paraFoam
Created temporary 'Golds5524.foam'
$ Sole@MONTIVEROMAS2 MINGW64 OpenFOAM-8 ~/blueCFD/ofuser-of8/run/Golds5524
$ decomposePar

```



Para comenza la simulacion en paralelo utilizamos el comando “mpirun –np 4 DPMFoam parallel”



**Projecto Final: Aplicaciòn de Software de Càlculo y Diseño en Càmara Rompecarga
CFD - OPEN FOAM**

```

~/blueCFD/ofuser-of8/run/Golds5524
Processor 0
Number of cells = 1350
Number of faces shared with processor 1 = 1350
Number of faces shared with processor 2 = 90
Number of processor patches = 2
Number of processor faces = 1440
Number of boundary faces = 1470

Processor 1
Number of cells = 1350
Number of faces shared with processor 0 = 1350
Number of faces shared with processor 3 = 90
Number of processor patches = 2
Number of processor faces = 1440
Number of boundary faces = 1470

Processor 2
Number of cells = 1350
Number of faces shared with processor 0 = 90
Number of faces shared with processor 3 = 1350
Number of processor patches = 2
Number of processor faces = 1440
Number of boundary faces = 1470

Processor 3
Number of cells = 1350
Number of faces shared with processor 1 = 90
Number of faces shared with processor 2 = 1350
Number of processor patches = 2
Number of processor faces = 1440
Number of boundary faces = 1470

Number of processor faces = 2880
Max number of cells = 1350 (0% above average 1350)
Max number of processor patches = 2 (0% above average 2)
Max number of faces between processors = 1440 (0% above average 1440)

Time = 0

Processor 0: field transfer
Processor 1: field transfer
Processor 2: field transfer
Processor 3: field transfer

End

Sole@MONTIVEROMAS2 MINGW64_OpenFOAM-8 ~/blueCFD/ofuser-of8/run/Golds5524
$ mpirun -np 4 DPMFoam -parallel

```

Esta simulacion comenzara a realizarse y al finalizar se podra observar en cada carpeta "Processor" las carpetas del tiempo.

```

~/blueCFD/ofuser-of8/run/Golds5524
Actions 0
GAMG: Solving for p, Initial residual = 5.81621e-05, Final residual = 6.06562e-07, No Iterations 4
time step continuity errors : sum local = 2.91409e-13, global = -8.90976e-14, cumulative = 2.23215e-06
GAMG: Solving for p, Initial residual = 2.03933e-05, Final residual = 8.47131e-07, No Iterations 3
time step continuity errors : sum local = 4.06986e-13, global = 2.74849e-14, cumulative = 2.23215e-06
ExecutionTime = 609585 s ClockTime = 609585

Courant Number mean: 0.00371349 max: 0.00865575
Time = 1.79994

Evolving kinematicCloud

Solving 3-D cloud kinematicCloud
 5 move-collide subcycles
cloud: kinematicCloud
  Current number of parcels = 24664
  Current mass in system = 0.260967
  Linear momentum = (3.93848e-07 -1.47528e-06 -7.20375e-06)
  [Linear momentum] = 7.3638e-06
  Linear kinetic energy = 5.54437e-08
model1:
  number of parcels added = 24664
  mass introduced = 0.260967
  Parcel fate (number, mass) : patch top
  - escape = 0
  - stick = 0
  Parcel fate (number, mass) : patch bottom
  - escape = 0, 0
  - stick = 0, 0
  Parcel fate (number, mass) : patch walls
  - escape = 0, 0
  - stick = 0, 0
  Parcel fate (number, mass) : patch frontAndBack
  - escape = 0
  - stick = 0
  Rotational kinetic energy = 7.74061e-06

smoothSolver: Solving for U.airx, Initial residual = 8.01199e-06, Final residual = 8.01199e-06, No Iterations 0
smoothSolver: Solving for U.airy, Initial residual = 4.56013e-05, Final residual = 3.29815e-09, No Iterations 0
smoothSolver: Solving for U.airz, Initial residual = 4.12355e-06, Final residual = 4.12355e-06, No Iterations 0
GAMG: Solving for p, Initial residual = 5.73147e-05, Final residual = 6.05545e-07, No Iterations 4
time step continuity errors : sum local = 2.90922e-13, global = -8.80263e-14, cumulative = 2.23215e-06
GAMG: Solving for p, Initial residual = 2.03927e-05, Final residual = 8.46901e-07, No Iterations 3
time step continuity errors : sum local = 4.06876e-13, global = 2.66452e-14, cumulative = 2.23215e-06
ExecutionTime = 609591 s ClockTime = 609591

```



```

~/blueCFD/ofuser-of8/run/Golds5524
Courant Number mean: 0.00371351 max: 0.00865582
Time = 1.8
Evolving kinematicCloud
Solving 3-d cloud kinematicCloud
    5 move-collide subCycles
Cloud: kinematicCloud
    Current number of parcels = 24664
    Current mass in system = 0.260967
    Linear momentum = (3.92799e-07 -1.4665e-06 -7.60705e-06)
    [Linear momentum] = 7.75707e-06
    Linear kinetic energy = 5.553336e-08
    model:1
        number of parcels added = 24664
        mass introduced = 0.260967
        Parcel fate (number, mass) : patch top
            - escape = 0, 0
            - stick = 0, 0
        Parcel fate (number, mass) : patch bottom
            - escape = 0, 0
            - stick = 0, 0
        Parcel fate (number, mass) : patch walls
            - escape = 0, 0
            - stick = 0, 0
        Parcel fate (number, mass) : patch frontAndBack
            - escape = 0, 0
            - stick = 0, 0
    Rotational kinetic energy = 7.74052e-06
smoothSolver: Solving for U.airx, Initial residual = 8.01225e-06, Final residual = 8.01225e-06, No Iterations 0
smoothSolver: Solving for U.airy, Initial residual = 4.55636e-05, Final residual = 3.29794e-09, No Iterations 1
smoothSolver: Solving for U.airz, Initial residual = 4.12171e-06, Final residual = 4.12171e-06, No Iterations 0
GAMG: Solving for p, Initial residual = 6.08586e-05, Final residual = 6.3013e-07, No Iterations 4
time step continuity errors : sum local = 3.02735e-13, global = -8.58261e-14, cumulative = 2.23215e-06
GAMG: Solving for p, Initial residual = 2.03845e-05, Final residual = 8.44724e-07, No Iterations 3
time step continuity errors : sum local = 4.05834e-13, global = 2.54555e-14, cumulative = 2.25215e-06
ExecutionTime = 609608 s ClockTime = 609608
End
Finalising parallel run
gote@MONTIVEROMAS2 MINGW64 OpenFOAM-8 ~/blueCFD/ofuser-of8/run/Golds5524

```

A continuación, se unirá toda la información dispersada en cada núcleo del procesador, para poder recomponerla en un archive dentro de la carpeta “Golds5524”

Si la cantidad de núcleo es de 4 tomara más tiempo la modelación en este caso la modelación definitiva tardo 609.608seg lo que equivale a 7 días y 55min

Se puede observar las carpetas de cada procesador y nos encontramos con los archivos que contiene la información solo de este procesador, de los pasos de tiempo desde cero a 180seg, esta información se encuentra a cada subdominio en el cual fue dividido el dominio computacional.

Para poder unir la información y que sea leída en paraview se deberá utilizar el comando “reconstrucPar”



Projecto Final: Aplicaciòn de Software de Càlculo y Diseño en Càmara Rompecarga CFD - OPEN FOAM

```

Sole@MONTIVEROMAS2 MINGW64 OpenFOAM-8 ~ /blueCFD/ofuser-of8/run/Golds5524
Courant Number mean: 0.00371351 max: 0.00865582
Time = 1.8

Evolving kinematicCloud

solving 3-D cloud kinematicCloud
  & move-collide subcycles
cloud: kinematicCloud
  Current number of parcels = 24664
  Current mass in system = 0.260967
  Linear momentum = (3.92799e-07 -1.4665e-06 -7.60705e-06)
  [Linear momentum] = 7.75707e-06
  Linear kinetic energy = 5.55336e-08
  model:
    number of parcels added = 24664
    mass introduced = 0.260967
    parcel fate (number, mass)
      - escape : patch top
      - stick = 0.0
    parcel fate (number, mass)
      - escape : patch bottom
      - stick = 0.0
    parcel fate (number, mass)
      - escape : patch walls
      - stick = 0.0
    parcel fate (number, mass)
      - escape : patch frontAndBack
      - stick = 0.0
    rotational kinetic energy = 7.74052e-06

smoothSolver: Solving for U.air, Initial residual = 8.01225e-06, Final residual = 8.01225e-06, No Iterations 0
smoothSolver: Solving for U.airy, Initial residual = 4.55636e-05, Final residual = 3.29794e-09, No Iterations 1
smoothSolver: Solving for U.airz, Initial residual = 4.12171e-06, Final residual = 4.12171e-06, No Iterations 0
GAMG: Solving for p, Initial residual = 5.08586e-05, Final residual = 6.3013e-07, No Iterations 4
time step continuity errors : sum local = 3.02735e-13, global = -8.58261e-14, cumulative = 2.23215e-06
GAMG: Solving for p, Initial residual = 0.03845e-05, Final residual = 8.44724e-07, No Iterations 3
time step continuity errors : sum local = 4.05834e-13, global = 2.54555e-14, cumulative = 2.23215e-06
ExecutionTime = 609609 s ClockTime = 609608 s

End
Finalising parallel run
Sole@MONTIVEROMAS2 MINGW64 OpenFOAM-8 ~ /blueCFD/ofuser-of8/run/Golds5524
$ reconstructPar

```

Se dejara correr el programa.

```

Sole@MONTIVEROMAS2 MINGW64 OpenFOAM-8 ~ /blueCFD/ofuser-of8/run/Golds5524
Reconstructing point fields
No point fields

Reconstructing lagrangian fields for cloud kinematicCloud
  Reconstructing lagrangian labelFields
    origProcId
    origId
    typeId
    active

  Reconstructing lagrangian labelFieldCompactFields
    collisionRecordsPairOrigIdOfOther
    collisionRecordsPairAccessed
    collisionRecordsWallAccessed
    collisionRecordsPairOrigProcOfOther

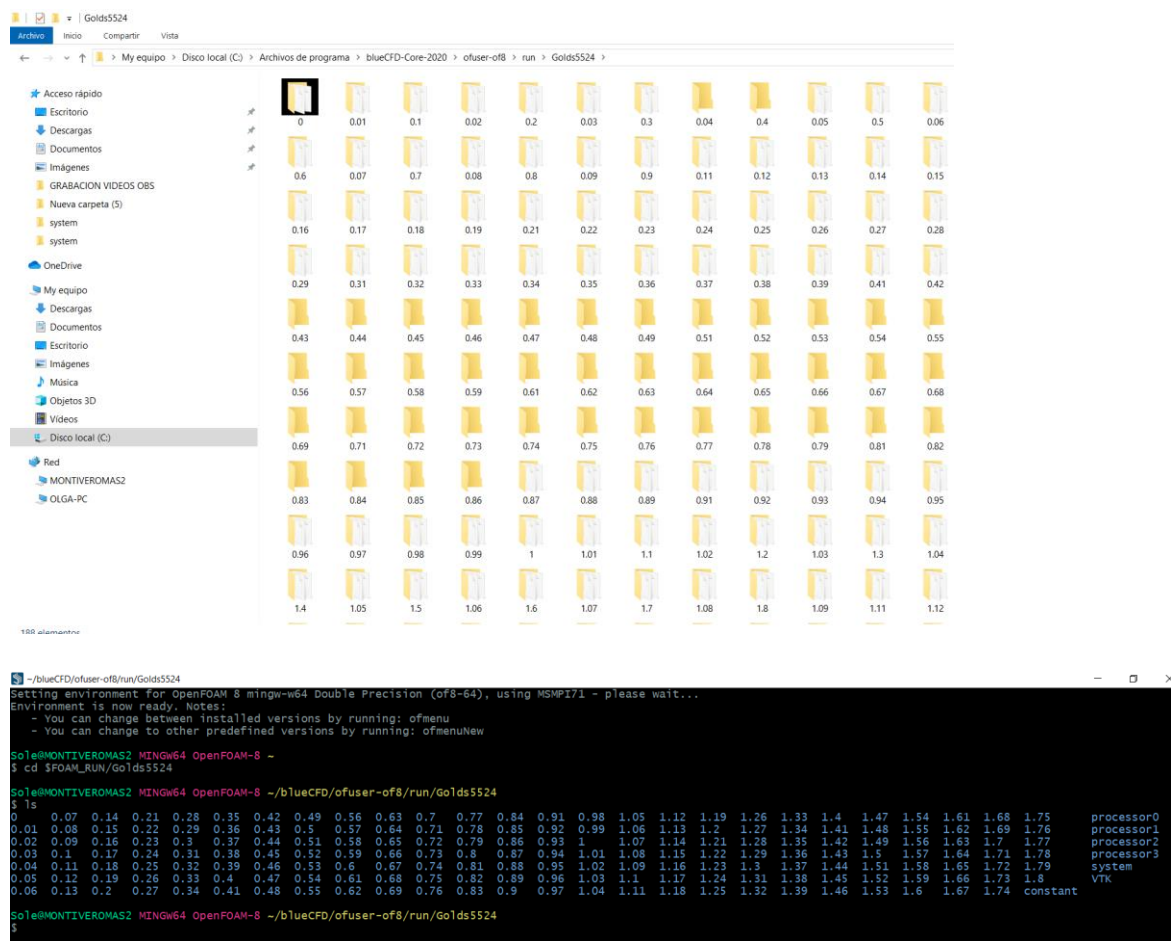
  Reconstructing lagrangian scalarFields
    d
    dTarget
    nParticle
    rho
    age
    tTurb

  Reconstructing lagrangian vectorFields
    UTurb
    angularMomentum
    U
    f
    torque

  Reconstructing lagrangian vectorFieldCompactFields
    collisionRecordsPairData
    collisionRecordsWallPrel
    collisionRecordsWallData

End
Sole@MONTIVEROMAS2 MINGW64 OpenFOAM-8 ~ /blueCFD/ofuser-of8/run/Golds5524
$
```





Luego de que el proceso ha terminado se puede observar que todas las carpetas con los tiempos dentro de la carpeta “Golds5524”, antes se encontraban contenidos dentro de cada procesador con lo cual podemos visualizar los resultados, para ello nos dirigimos al terminal y con el comando “foamToVTK” Con ellos podemos observar las partículas, se debe esperar que se creen todas las partículas basadas en la carpeta “kinematicCloud”.

**Projecto Final: Aplicaciòn de Software de Cálculo y Diseño en Càmara Rompecarga
CFD - OPEN FOAM**

```

~/blueCFD/ofuser-of8/run/Golds5524
Reconstructing point fields
No point fields
Reconstructing lagrangian fields for cloud kinematicCloud
    Reconstructing lagrangian labelFields
        origProcId
        origId
        typeId
        active
    Reconstructing lagrangian labelFieldCompactFields
        collisionRecordsPairOrigIdOfOther
        collisionRecordsPairAccessed
        collisionRecordsWallAccessed
        collisionRecordsPairOrigProcOfOther
    Reconstructing lagrangian scalarFields
        d
        dTarget
        nParticle
        rho
        age
        tTurb
    Reconstructing lagrangian vectorFields
        UTurb
        angularMomentum
        U
        f
        torque
    Reconstructing lagrangian vectorFieldCompactFields
        collisionRecordsPairData
        collisionRecordswallPRel
        collisionRecordswallData
End

Soled@MONTIVEROMAS2 MINGW64 OpenFOAM-8 ~/blueCFD/ofuser-of8/run/Golds5524
$ foamToVTK

```

```

~/blueCFD/ofuser-of8/run/Golds5524
UTurb
angularMomentum
U
f
torque
Reconstructing lagrangian vectorFieldCompactFields
collisionRecordsPairData
collisionRecordsWallPRel
collisionRecordswallData
End

Soled@MONTIVEROMAS2 MINGW64 OpenFOAM-8 ~/blueCFD/ofuser-of8/run/Golds5524
$ foamToVTK
=====
| Field          | OpenFOAM: The Open Source CFD Toolbox
| Operation      | Website: https://openfoam.org
| And           | Version: 8
| Manipulation  |
=====
| Windows 32 and 64 bit porting by blueCAPE: http://www.bluecape.com.pt |
| Based on windows porting (2.0.x v4) by Symscape: http://www.symscape.com |
=====
Build : 8-53cd1468e263
Exec  : C:/PROGRA-1/BLUECF-1/OpenFOAM-8/platforms/mingw_w64GccDPInt32Opt/bin/foamToVTK.exe
Date  : May 2024
Time  : 13:28:30
Host  : MONTIVEROMAS2"
PID   : 18632
t/o   : uncollected
Case  : C:/PROGRA-1/BLUECF-1/ofuser-of8/run/Golds5524
nProcs : 1
SigFpe : Enabling floating point exception trapping (FOAM_SIGFPE).
fileModificationChecking : Monitoring run-time modified files using timeStampMaster (fileModificationSkew 10)
allowSystemOperations : Allowing user-supplied system call operations
// * * * * *
Create time
Create mesh for time = 0
At time: 0.01 detected cloud directory : "kinematicCloud"

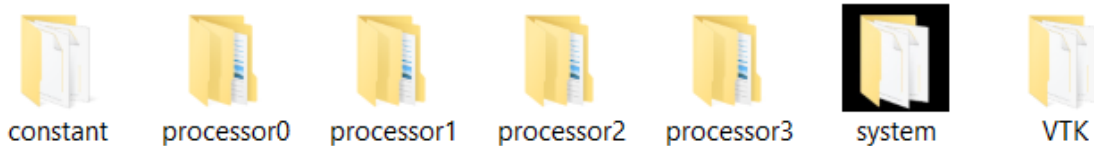
```

Al finalizar se creará una carpeta “VTK”, con los pasos de tiempo de cada partícula ubicada dentro del archivo kinematicCloud, una vez terminado abrimos el terminal con el comando paraview



Projecto Final: Aplicaciòn de Software de Càlculo y Diseño en Càmara Rompecarga

CFD - OPEN FOAM



```
-/blueCFD/ofuser-of8/run/Golds5524
Patch : "C:/PROGRA-1/BLUECF-1/ofuser-of8/run/Golds5524/VTK/walls/walls_88901.vtk"
Patch : "C:/PROGRA-1/BLUECF-1/ofuser-of8/run/Golds5524/VTK/frontAndBack/frontAndback_88901.vtk"
surfScalarFields : phi.air
Lagrangian: "C:/PROGRA-1/BLUECF-1/ofuser-of8/run/Golds5524/VTK/lagrangian/kinematicCloud/kinematicCloud_88901.vtk"
    labels : active origrid typeid origprocid
    scalars : d rho dtarget nparticle age tturb
    vectors : UTurb torque angularMomentum U f
    spherical tensors :
    symm tensors :
    tensors :

Time: 1.79
volScalarFields : mu.air alpha.air p rho.air
volVectorFields : U.air

Internal : "C:/PROGRA-1/BLUECF-1/ofuser-of8/run/Golds5524/VTK/Golds5524_89401.vtk"
Patch : "C:/PROGRA-1/BLUECF-1/ofuser-of8/run/Golds5524/VTK/top/top_89401.vtk"
Patch : "C:/PROGRA-1/BLUECF-1/ofuser-of8/run/Golds5524/VTK/bottom/bottom_89401.vtk"
Patch : "C:/PROGRA-1/BLUECF-1/ofuser-of8/run/Golds5524/VTK/walls/walls_89401.vtk"
Patch : "C:/PROGRA-1/BLUECF-1/ofuser-of8/run/Golds5524/VTK/frontAndBack/frontAndback_89401.vtk"
surfScalarFields : phi.air
Lagrangian: "C:/PROGRA-1/BLUECF-1/ofuser-of8/run/Golds5524/VTK/lagrangian/kinematicCloud/kinematicCloud_89401.vtk"
    labels : active origrid typeid origprocid
    scalars : d rho dtarget nparticle age tturb
    vectors : UTurb torque angularMomentum U f
    spherical tensors :
    symm tensors :
    tensors :

Time: 1.8
volScalarFields : mu.air alpha.air p rho.air
volVectorFields : U.air

Internal : "C:/PROGRA-1/BLUECF-1/ofuser-of8/run/Golds5524/VTK/Golds5524_89901.vtk"
Patch : "C:/PROGRA-1/BLUECF-1/ofuser-of8/run/Golds5524/VTK/top/top_89901.vtk"
Patch : "C:/PROGRA-1/BLUECF-1/ofuser-of8/run/Golds5524/VTK/bottom/bottom_89901.vtk"
Patch : "C:/PROGRA-1/BLUECF-1/ofuser-of8/run/Golds5524/VTK/walls/walls_89901.vtk"
Patch : "C:/PROGRA-1/BLUECF-1/ofuser-of8/run/Golds5524/VTK/frontAndBack/frontAndback_89901.vtk"
surfScalarFields : phi.air
Lagrangian: "C:/PROGRA-1/BLUECF-1/ofuser-of8/run/Golds5524/VTK/lagrangian/kinematicCloud/kinematicCloud_89901.vtk"
    labels : active origrid typeid origprocid
    scalars : d rho dtarget nparticle age tturb
    vectors : UTurb torque angularMomentum U f
    spherical tensors :
    symm tensors :
    tensors :

End

Soile@MONTIVEROMAS2 MINGW64 OpenFOAM-8 ~/blueCFD/ofuser-of8/run/Golds5524
$ |
```

```
-/blueCFD/ofuser-of8/run/Golds5524
Patch : "C:/PROGRA-1/BLUECF-1/ofuser-of8/run/Golds5524/VTK/walls/walls_88901.vtk"
Patch : "C:/PROGRA-1/BLUECF-1/ofuser-of8/run/Golds5524/VTK/frontAndBack/frontAndback_88901.vtk"
surfScalarFields : phi.air
Lagrangian: "C:/PROGRA-1/BLUECF-1/ofuser-of8/run/Golds5524/VTK/lagrangian/kinematicCloud/kinematicCloud_88901.vtk"
    labels : active origrid typeid origprocid
    scalars : d rho dtarget nparticle age tturb
    vectors : UTurb torque angularMomentum U f
    spherical tensors :
    symm tensors :
    tensors :

Time: 1.79
volScalarFields : mu.air alpha.air p rho.air
volVectorFields : U.air

Internal : "C:/PROGRA-1/BLUECF-1/ofuser-of8/run/Golds5524/VTK/Golds5524_89401.vtk"
Patch : "C:/PROGRA-1/BLUECF-1/ofuser-of8/run/Golds5524/VTK/top/top_89401.vtk"
Patch : "C:/PROGRA-1/BLUECF-1/ofuser-of8/run/Golds5524/VTK/bottom/bottom_89401.vtk"
Patch : "C:/PROGRA-1/BLUECF-1/ofuser-of8/run/Golds5524/VTK/walls/walls_89401.vtk"
Patch : "C:/PROGRA-1/BLUECF-1/ofuser-of8/run/Golds5524/VTK/frontAndBack/frontAndback_89401.vtk"
surfScalarFields : phi.air
Lagrangian: "C:/PROGRA-1/BLUECF-1/ofuser-of8/run/Golds5524/VTK/lagrangian/kinematicCloud/kinematicCloud_89401.vtk"
    labels : active origrid typeid origprocid
    scalars : d rho dtarget nparticle age tturb
    vectors : UTurb torque angularMomentum U f
    spherical tensors :
    symm tensors :
    tensors :

Time: 1.8
volScalarFields : mu.air alpha.air p rho.air
volVectorFields : U.air

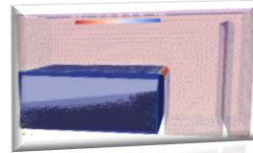
Internal : "C:/PROGRA-1/BLUECF-1/ofuser-of8/run/Golds5524/VTK/Golds5524_89901.vtk"
Patch : "C:/PROGRA-1/BLUECF-1/ofuser-of8/run/Golds5524/VTK/top/top_89901.vtk"
Patch : "C:/PROGRA-1/BLUECF-1/ofuser-of8/run/Golds5524/VTK/bottom/bottom_89901.vtk"
Patch : "C:/PROGRA-1/BLUECF-1/ofuser-of8/run/Golds5524/VTK/walls/walls_89901.vtk"
Patch : "C:/PROGRA-1/BLUECF-1/ofuser-of8/run/Golds5524/VTK/frontAndBack/frontAndback_89901.vtk"
surfScalarFields : phi.air
Lagrangian: "C:/PROGRA-1/BLUECF-1/ofuser-of8/run/Golds5524/VTK/lagrangian/kinematicCloud/kinematicCloud_89901.vtk"
    labels : active origrid typeid origprocid
    scalars : d rho dtarget nparticle age tturb
    vectors : UTurb torque angularMomentum U f
    spherical tensors :
    symm tensors :
    tensors :

End

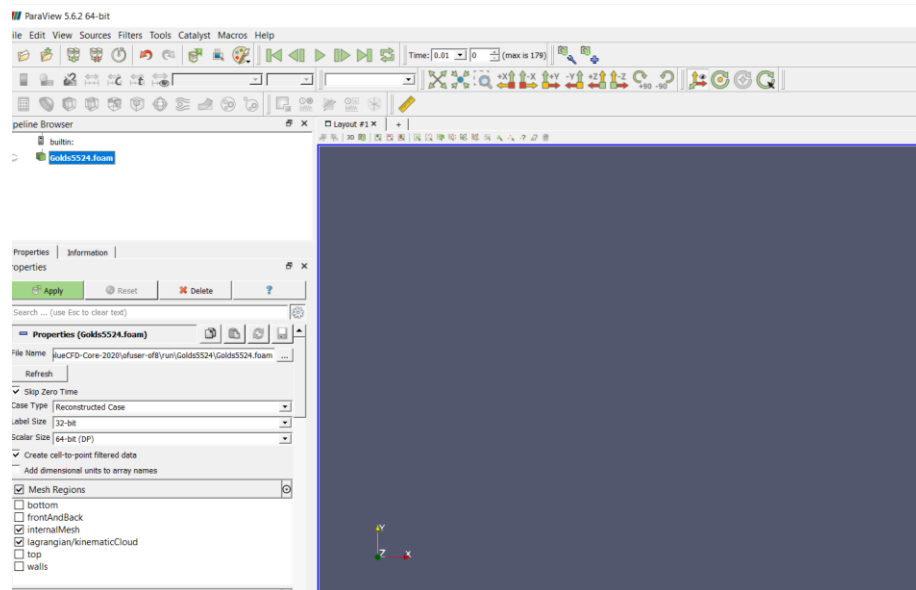
Soile@MONTIVEROMAS2 MINGW64 OpenFOAM-8 ~/blueCFD/ofuser-of8/run/Golds5524
$ paraFoam
```

En paraView podremos visualizar las partículas

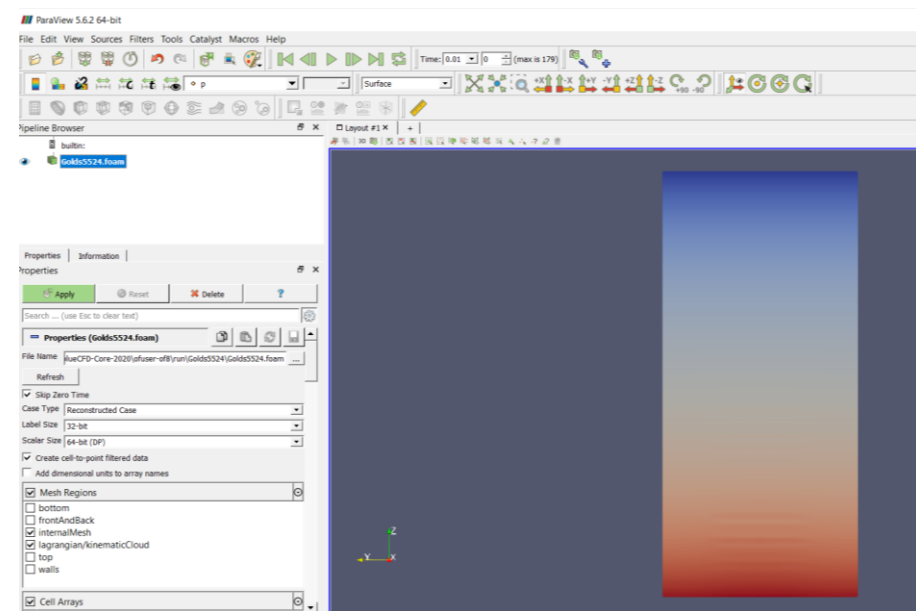


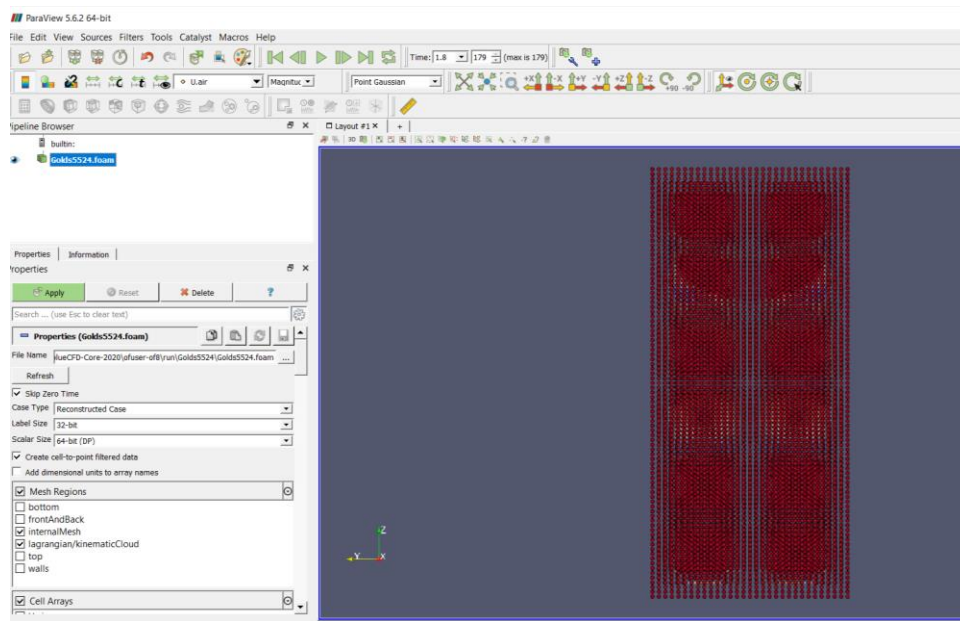
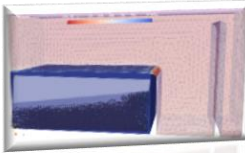


Proyecto Final: Aplicaciòn de Software de Càlculo y Diseño en Càmara Rompecarga CFD - OPEN FOAM

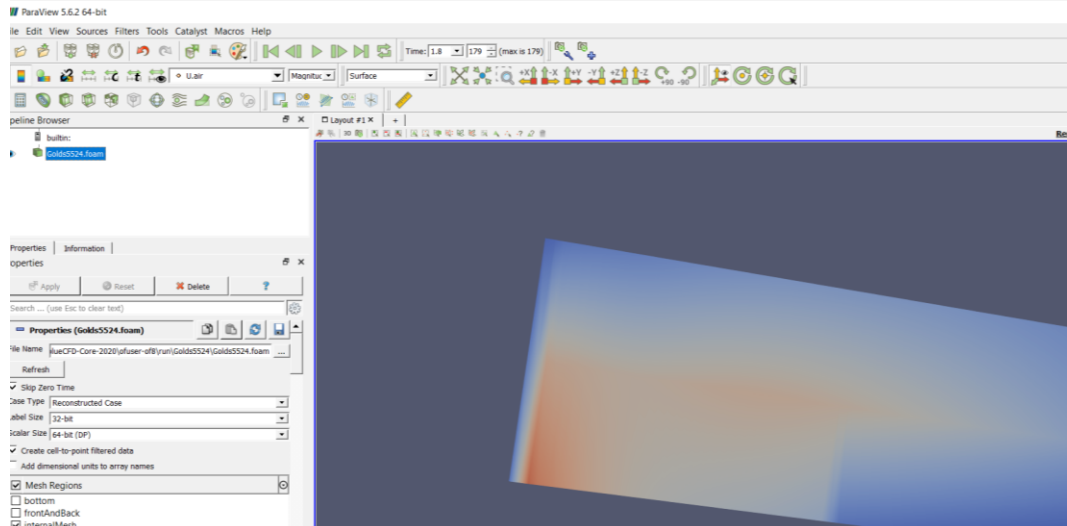


La primera vista se observara la presión en un eje de visualización X+, pero buscamos visualizar la velocidad



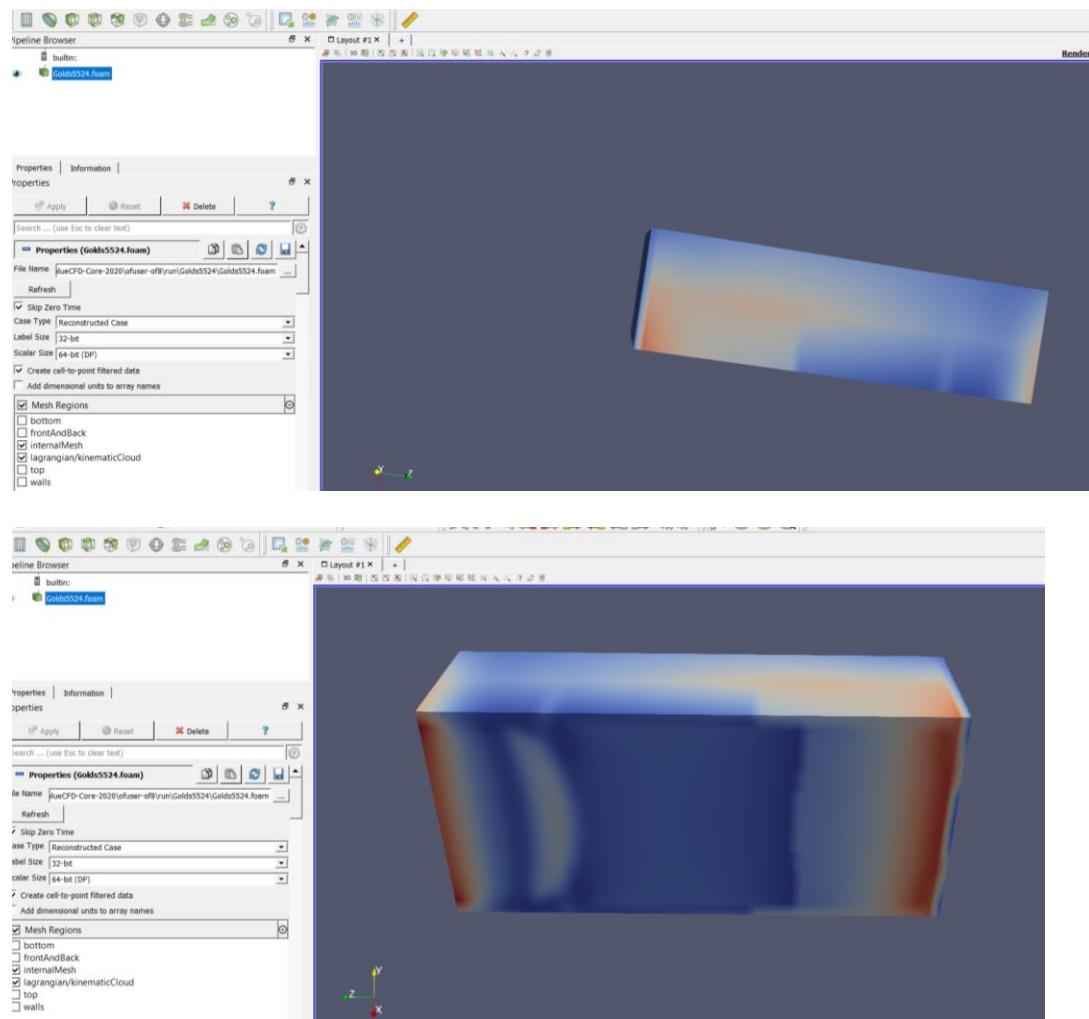


Se puede observar que, pasando el tiempo de modelación, todas las partículas se encuentran sobre la pantalla, generando que esta un segundo después se produzca salto de las partículas aguas abajo



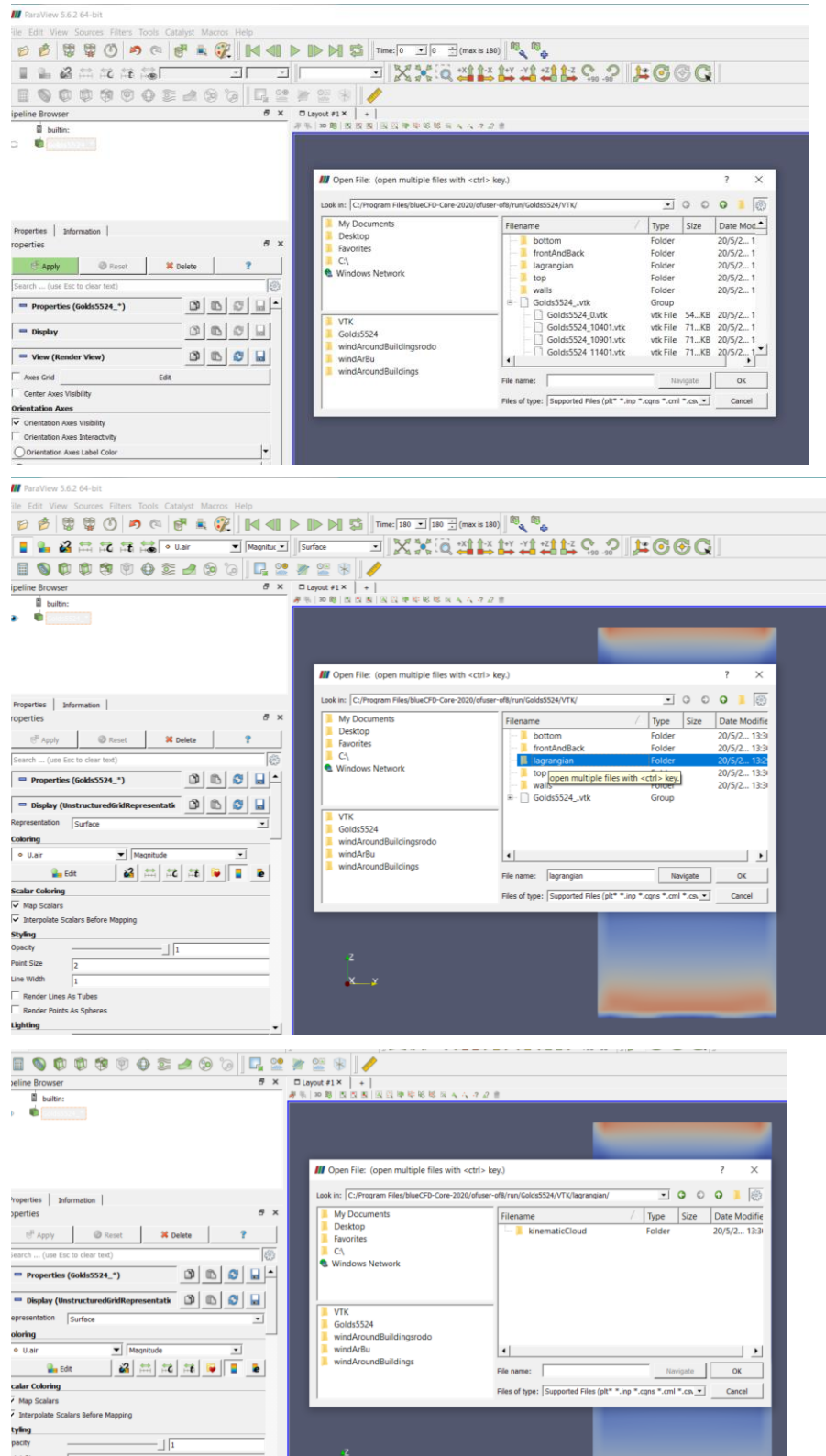
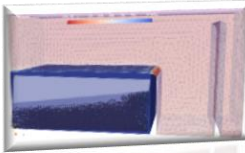
La siguiente imagen muestra en un extremo derecho el ingreso de las partículas, y al extremo izquierdo la acumulación de las partículas sobre la pantalla



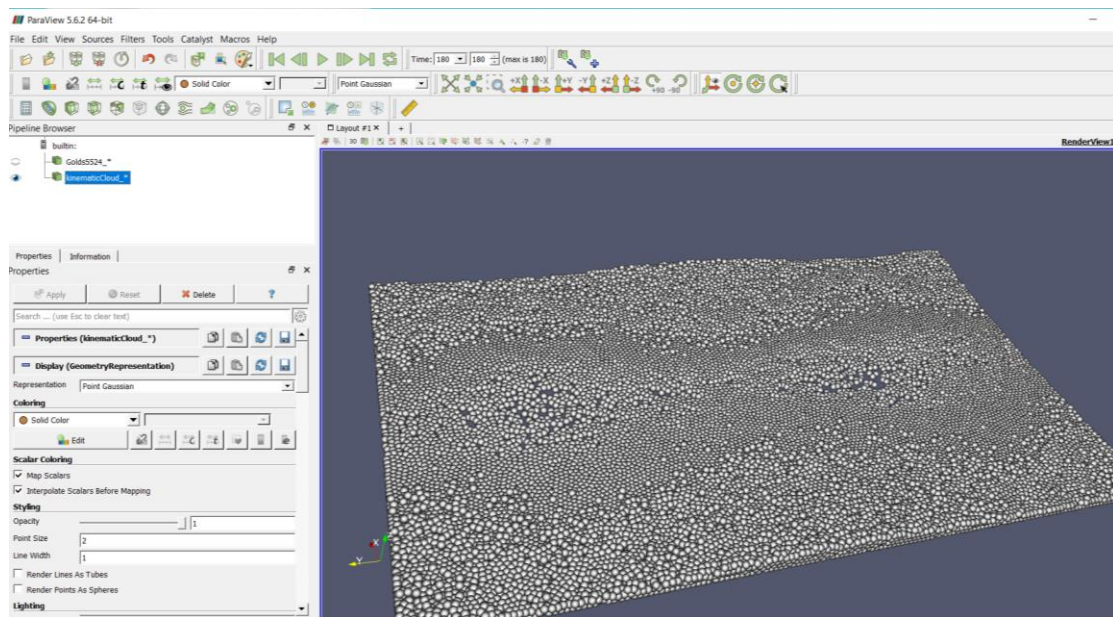


Para poder visualizar mejor las partículas, se deberá cargar el archivo de manera manual, en la carpeta VTK.

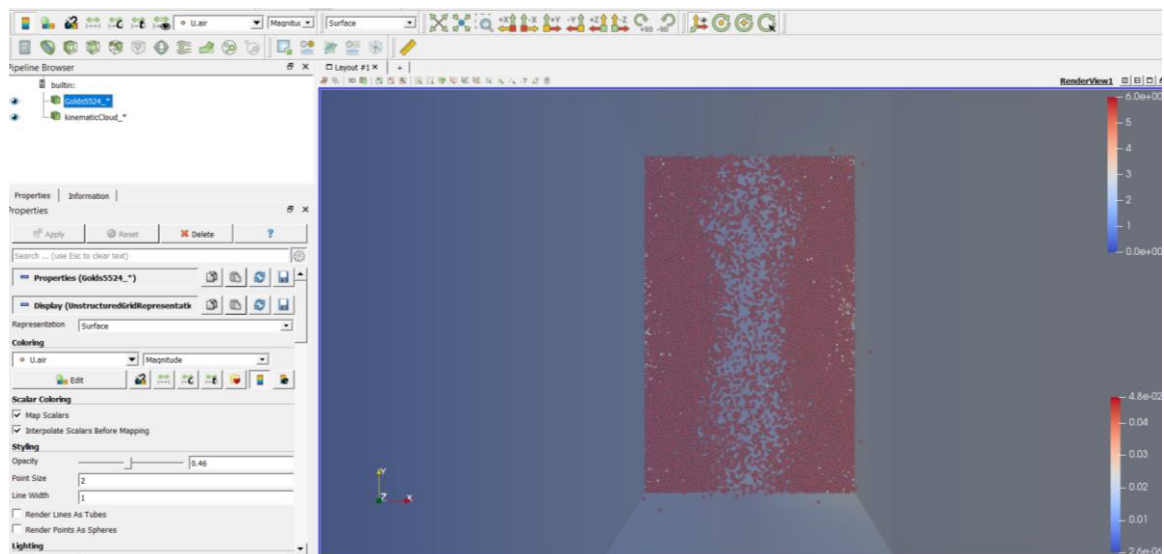
**Proyecto Final: Aplicaciòn de Software de Cálculo y Diseño en Càmara Rompecarga
CFD - OPEN FOAM**

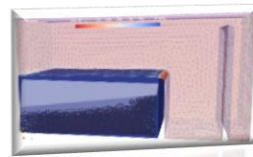


Dentro de esta carpeta estan la modelacion de las partículas en una nube de puntos con sus movimientos respectivos en los pasos de tiempo.



Se observa que las partículas producto de la velocidad con el flujo de agua, solo se acumularan a los bordes de la cámara y al centro estas se tienden a expandir





ANEXO III

ANEXO III

ESTRUCTURA METALICA:

RESULTADOS DE CALCULO CYPE 3D

1 DATOS DE OBRA

1.1.- Normas consideradas

Aceros laminados y armados: ANSI/AISC 360-10 (LRFD)

1.2.- Estados límite

E.L.U. de rotura. Acero laminado	AISC 360-10 (LRFD) ASCE 7
Desplazamientos	Acciones características

1.2.1.- Situaciones de proyecto

Para las distintas situaciones de proyecto, las combinaciones de acciones se definirán de acuerdo con los siguientes criterios:

- Donde:

G_k Acción permanente

P_k Acción de pretensado

Q_k Acción variable

γ_G Coeficiente parcial de seguridad de las acciones permanentes

γ_P Coeficiente parcial de seguridad de la acción de pretensado

$\gamma_{Q,1}$ Coeficiente parcial de seguridad de la acción variable principal

$\gamma_{Q,i}$ Coeficiente parcial de seguridad de las acciones variables de acompañamiento

Para cada situación de proyecto y estado límite los coeficientes a utilizar serán:

E.L.U. de rotura. Acero laminado: ANSI/AISC 360-10 (LRFD)



2.3.2 - [1] (ASCE/SEI 7-10)		
	Coeficientes parciales de seguridad (□)	
	Favorable	Desfavorable
Carga permanente (G)	1.400	1.400

2.3.2 - [2 Lr] (ASCE/SEI 7-10)		
	Coeficientes parciales de seguridad (□)	
	Favorable	Desfavorable
Carga permanente (G)	1.200	1.200

2.3.2 - [2 S] (ASCE/SEI 7-10)		
	Coeficientes parciales de seguridad (□)	
	Favorable	Desfavorable
Carga permanente (G)	1.200	1.200

2.3.2 - [3 Lr, L] (ASCE/SEI 7-10)		
	Coeficientes parciales de seguridad (□)	
	Favorable	Desfavorable
Carga permanente (G)	1.200	1.200

2.3.2 - [3 S, L] (ASCE/SEI 7-10)		
	Coeficientes parciales de seguridad (□)	
	Favorable	Desfavorable
Carga permanente (G)	1.200	1.200

2.3.2 - [3 Lr, W] (ASCE/SEI 7-10)		
	Coeficientes parciales de seguridad (□)	
	Favorable	Desfavorable
Carga permanente (G)	1.200	1.200

2.3.2 - [3 S, W] (ASCE/SEI 7-10)		
	Coeficientes parciales de seguridad (<input type="checkbox"/>)	
	Favorable	Desfavorable
Carga permanente (G)	1.200	1.200

2.3.2 - [4 Lr] (ASCE/SEI 7-10)		
	Coeficientes parciales de seguridad (<input type="checkbox"/>)	
	Favorable	Desfavorable
Carga permanente (G)	1.200	1.200

2.3.2 - [4 S] (ASCE/SEI 7-10)		
	Coeficientes parciales de seguridad (<input type="checkbox"/>)	
	Favorable	Desfavorable
Carga permanente (G)	1.200	1.200

2.3.2 - [6] (ASCE/SEI 7-10)		
	Coeficientes parciales de seguridad (<input type="checkbox"/>)	
	Favorable	Desfavorable
Carga permanente (G)	0.900	0.900

Desplazamientos

Acciones variables sin sismo		
	Coeficientes parciales de seguridad (<input type="checkbox"/>)	
	Favorable	Desfavorable
Carga permanente (G)	1.000	1.000

2.- ESTRUCTURA

2.1.- Geometría

2.1.1.- Nudos

Referencias:

\square_x , \square_y , \square_z : Desplazamientos prescritos en ejes globales.

\square_x , \square_y , \square_z : Giros prescritos en ejes globales.



Cada grado de libertad se marca con 'X' si está coaccionado y, en caso contrario, con '-'.

Referencia	Nudos									Vinculación interior	
	Coordenadas			Vinculación exterior							
	X (m)	Y (m)	Z (m)	<input type="checkbox"/> x	<input type="checkbox"/> y	<input type="checkbox"/> z	<input type="checkbox"/> x	<input type="checkbox"/> y	<input type="checkbox"/> z		
N1	0.000	0.000	0.000	X	X	X	X	X	X	Empotrado	
N2	3.200	0.000	0.000	X	X	X	X	X	X	Empotrado	
N3	3.200	1.900	0.000	X	X	X	X	X	X	Empotrado	
N4	2.800	0.000	0.000	X	X	X	X	X	X	Empotrado	
N5	2.800	1.900	0.000	-	-	-	-	-	-	Empotrado	
N6	2.400	0.000	0.000	X	X	X	X	X	X	Empotrado	
N7	2.400	1.900	0.000	-	-	-	-	-	-	Empotrado	
N8	2.000	0.000	0.000	X	X	X	X	X	X	Empotrado	
N9	2.000	1.900	0.000	-	-	-	-	-	-	Empotrado	
N10	1.600	0.000	0.000	X	X	X	X	X	X	Empotrado	
N11	1.600	1.900	0.000	-	-	-	-	-	-	Empotrado	
N12	1.200	0.000	0.000	X	X	X	X	X	X	Empotrado	
N13	1.200	1.900	0.000	-	-	-	-	-	-	Empotrado	
N14	0.800	0.000	0.000	X	X	X	X	X	X	Empotrado	
N15	0.800	1.900	0.000	-	-	-	-	-	-	Empotrado	
N16	0.400	0.000	0.000	X	X	X	X	X	X	Empotrado	
N17	0.400	1.900	0.000	-	-	-	-	-	-	Empotrado	
N18	0.000	1.900	0.000	X	X	X	X	X	X	Empotrado	
N19	3.200	1.500	0.000	X	X	X	X	X	X	Empotrado	
N20	0.000	1.500	0.000	X	X	X	X	X	X	Empotrado	
N21	3.200	1.200	0.000	X	X	X	X	X	X	Empotrado	
N22	0.000	1.200	0.000	X	X	X	X	X	X	Empotrado	
N23	3.200	0.900	0.000	X	X	X	X	X	X	Empotrado	
N24	0.000	0.900	0.000	X	X	X	X	X	X	Empotrado	
N25	3.200	0.600	0.000	X	X	X	X	X	X	Empotrado	
N26	0.000	0.600	0.000	X	X	X	X	X	X	Empotrado	
N27	3.200	0.300	0.000	X	X	X	X	X	X	Empotrado	
N28	0.000	0.300	0.000	X	X	X	X	X	X	Empotrado	
N29	0.000	1.700	0.000	X	X	X	X	X	X	Empotrado	
N30	3.200	1.700	0.000	X	X	X	X	X	X	Empotrado	

2.1.2.- Barras



2.1.2.1.- Materiales utilizados

Materiales utilizados							
Material		E (kp/cm ²)	ν	G (kp/cm ²)	f _y (kp/cm ²)	$\alpha \cdot t$ (m/m°C)	ρ (t/m ³)
Tipo	Designación						
Acero laminado	A36	2038736.0	0.300	815494.4	2548.4	0.000012	7.850

Notación:

- E: Módulo de elasticidad
- ν : Módulo de Poisson
- G: Módulo de cortadura
- f_y: Límite elástico
- $\alpha \cdot t$: Coeficiente de dilatación
- ρ : Peso específico

2.1.2.2.- Descripción

Descripción									
Material		Barra (Ni/Nf)	Pieza (Ni/Nf)	Perfil(Serie)	Longitud (m)	ν_{xy}	ν_{xz}	Lb _{Sup.} (m)	Lb _{Inf.} (m)
Tipo	Designación								
Acero laminado	A36	N1/N16	N1/N2	L 100 x 65 x 7 (L)	0.400	1.00	1.00	-	-
		N16/N14	N1/N2	L 100 x 65 x 7 (L)	0.400	1.00	1.00	-	-
		N14/N12	N1/N2	L 100 x 65 x 7 (L)	0.400	1.00	1.00	-	-
		N12/N10	N1/N2	L 100 x 65 x 7 (L)	0.400	1.00	1.00	-	-
		N10/N8	N1/N2	L 100 x 65 x 7 (L)	0.400	1.00	1.00	-	-
		N8/N6	N1/N2	L 100 x 65 x 7 (L)	0.400	1.00	1.00	-	-
		N6/N4	N1/N2	L 100 x 65 x 7 (L)	0.400	1.00	1.00	-	-
		N4/N2	N1/N2	L 100 x 65 x 7 (L)	0.400	1.00	1.00	-	-
		N2/N27	N2/N3	L 100 x 65 x 7 (L)	0.300	1.00	1.00	-	-
		N27/N25	N2/N3	L 100 x 65 x 7 (L)	0.300	1.00	1.00	-	-
		N25/N23	N2/N3	L 100 x 65 x 7 (L)	0.300	1.00	1.00	-	-
		N23/N21	N2/N3	L 100 x 65 x 7 (L)	0.300	1.00	1.00	-	-
		N21/N19	N2/N3	L 100 x 65 x 7 (L)	0.300	1.00	1.00	-	-
		N19/N30	N2/N3	L 100 x 65 x 7 (L)	0.200	1.00	1.00	-	-

Descripción									
Material		Barra (Ni/Nf)	Pieza (Ni/Nf)	Perfil(Serie)	Longitud (m)	□ _{xy}	□ _{xz}	Lb _{Sup.} (m)	Lb _{Inf.} (m)
Tipo	Designación								
	N30/N3	N2/N3	L 100 x 65 x 7 (L)	IPE 120 (IPE)	0.200	1.00	1.00	-	-
	N4/N5	N4/N5	IPE 120 (IPE)	IPE 120 (IPE)	1.900	0.70	0.70	-	-
	N6/N7	N6/N7	IPE 120 (IPE)	IPE 120 (IPE)	1.900	0.70	0.70	-	-
	N8/N9	N8/N9	IPE 120 (IPE)	IPE 120 (IPE)	1.900	0.70	0.70	-	-
	N10/N11	N10/N11	IPE 120 (IPE)	IPE 120 (IPE)	1.900	0.70	0.70	-	-
	N12/N13	N12/N13	IPE 120 (IPE)	IPE 120 (IPE)	1.900	0.70	0.70	-	-
	N14/N15	N14/N15	IPE 120 (IPE)	IPE 120 (IPE)	1.900	0.70	0.70	-	-
	N16/N17	N16/N17	IPE 120 (IPE)	IPE 120 (IPE)	1.900	0.70	0.70	-	-
	N18/N17	N18/N3	IPE 140 (IPE)	IPE 140 (IPE)	0.400	1.00	1.00	-	-
	N17/N15	N18/N3	IPE 140 (IPE)	IPE 140 (IPE)	0.400	1.00	1.00	-	-
	N15/N13	N18/N3	IPE 140 (IPE)	IPE 140 (IPE)	0.400	1.00	1.00	-	-
	N13/N11	N18/N3	IPE 140 (IPE)	IPE 140 (IPE)	0.400	1.00	1.00	-	-
	N11/N9	N18/N3	IPE 140 (IPE)	IPE 140 (IPE)	0.400	1.00	1.00	-	-
	N9/N7	N18/N3	IPE 140 (IPE)	IPE 140 (IPE)	0.400	1.00	1.00	-	-
	N7/N5	N18/N3	IPE 140 (IPE)	IPE 140 (IPE)	0.400	1.00	1.00	-	-
	N5/N3	N18/N3	IPE 140 (IPE)	IPE 140 (IPE)	0.400	1.00	1.00	-	-
	N20/N19	N20/N19	IPE 80 (IPE)	IPE 80 (IPE)	3.200	1.00	1.00	-	-
	N22/N21	N22/N21	IPE 80 (IPE)	IPE 80 (IPE)	3.200	1.00	1.00	-	-
	N24/N23	N24/N23	IPE 80 (IPE)	IPE 80 (IPE)	3.200	1.00	1.00	-	-
	N26/N25	N26/N25	IPE 80 (IPE)	IPE 80 (IPE)	3.200	1.00	1.00	-	-
	N28/N27	N28/N27	IPE 80 (IPE)	IPE 80 (IPE)	3.200	1.00	1.00	-	-
	N1/N28	N1/N18	L 100 x 65 x 7 (L)	L 100 x 65 x 7 (L)	0.300	1.00	1.00	-	-
	N28/N26	N1/N18	L 100 x 65 x 7 (L)	L 100 x 65 x 7 (L)	0.300	1.00	1.00	-	-
	N26/N24	N1/N18	L 100 x 65 x 7 (L)	L 100 x 65 x 7 (L)	0.300	1.00	1.00	-	-
	N24/N22	N1/N18	L 100 x 65 x 7 (L)	L 100 x 65 x 7 (L)	0.300	1.00	1.00	-	-
	N22/N20	N1/N18	L 100 x 65 x 7 (L)	L 100 x 65 x 7 (L)	0.300	1.00	1.00	-	-
	N20/N29	N1/N18	L 100 x 65 x 7 (L)	L 100 x 65 x 7 (L)	0.200	1.00	1.00	-	-
	N29/N18	N1/N18	L 100 x 65 x 7 (L)	L 100 x 65 x 7 (L)	0.200	1.00	1.00	-	-
	N29/N30	N29/N30	IPE 80 (IPE)	IPE 80 (IPE)	3.200	1.00	1.00	-	-

Descripción							
Material		Barra (Ni/Nf)	Pieza (Ni/Nf)	Perfil(Serie)	Longitud (m)	\square_{xy}	\square_{xz}
Tipo	Designación						
Notación:							
<i>Ni: Nudo inicial</i>							
<i>Nf: Nudo final</i>							
\square_{xy} : Coeficiente de pandeo en el plano 'XY'							
\square_{xz} : Coeficiente de pandeo en el plano 'XZ'							
<i>Lb_{Sup.}:</i> Separación entre arriostramientos del ala superior							
<i>Lb_{Inf.}:</i> Separación entre arriostramientos del ala inferior							

2.1.2.3.- Características mecánicas

Tipos de pieza	
Ref.	Piezas
1	N1/N2, N2/N3 y N1/N18
2	N4/N5, N6/N7, N8/N9, N10/N11, N12/N13, N14/N15 y N16/N17
3	N18/N3
4	N20/N19, N22/N21, N24/N23, N26/N25, N28/N27 y N29/N30

Características mecánicas									
Material	Ref.	Descripción	A (cm ²)	Avy (cm ²)	Avz (cm ²)	Iyy (cm ⁴)	Izz (cm ⁴)	It (cm ⁴)	
Tipo	Designación								
Acero laminado	A36	1	L 100 x 65 x 7, (L)	11.20	4.06	6.51	112.50	37.58	1.81
		2	IPE 120, (IPE)	13.20	6.05	4.25	318.00	27.70	1.74
		3	IPE 140, (IPE)	16.40	7.56	5.34	541.00	44.90	2.45
		4	IPE 80, (IPE)	7.64	3.59	2.38	80.10	8.49	0.70

Notación:

Ref.: Referencia
A: Área de la sección transversal
Avy: Área de cortante de la sección según el eje local 'Y'
Avz: Área de cortante de la sección según el eje local 'Z'
Iyy: Inercia de la sección alrededor del eje local 'Y'
Izz: Inercia de la sección alrededor del eje local 'Z'
It: Inercia a torsión
Las características mecánicas de las piezas corresponden a la sección en el punto medio de las mismas.

2.1.2.4.- Tabla de medición

Tabla de medición					
Material	Pieza (Ni/Nf)	Perfil(Serie)	Longitud (m)	Volumen (m ³)	Peso (kg)
Tipo	Designación				
Acero laminado	A36	N1/N2	L 100 x 65 x 7 (L)	3.200	0.004
					28.13



Tabla de medición						
Material		Pieza (Ni/Nf)	Perfil(Serie)	Longitud (m)	Volumen (m³)	Peso (kg)
Tipo	Designación					
		N2/N3	L 100 x 65 x 7 (L)	1.900	0.002	16.70
		N4/N5	IPE 120 (IPE)	1.900	0.003	19.69
		N6/N7	IPE 120 (IPE)	1.900	0.003	19.69
		N8/N9	IPE 120 (IPE)	1.900	0.003	19.69
		N10/N11	IPE 120 (IPE)	1.900	0.003	19.69
		N12/N13	IPE 120 (IPE)	1.900	0.003	19.69
		N14/N15	IPE 120 (IPE)	1.900	0.003	19.69
		N16/N17	IPE 120 (IPE)	1.900	0.003	19.69
		N18/N3	IPE 140 (IPE)	3.200	0.005	41.20
		N20/N19	IPE 80 (IPE)	3.200	0.002	19.19
		N22/N21	IPE 80 (IPE)	3.200	0.002	19.19
		N24/N23	IPE 80 (IPE)	3.200	0.002	19.19
		N26/N25	IPE 80 (IPE)	3.200	0.002	19.19
		N28/N27	IPE 80 (IPE)	3.200	0.002	19.19
		N1/N18	L 100 x 65 x 7 (L)	1.900	0.002	16.70
		N29/N30	IPE 80 (IPE)	3.200	0.002	19.19

Notación:
Ni: Nudo inicial
Nf: Nudo final

2.1.2.5.- Resumen de medición

Resumen de medición												
Tipo	Designació n	Seri e	Perfil	Longitud			Volumen			Peso		
				Perfil (m)	Serie (m)	Materi al (m)	Perfi l (m³)	Seri e (m³)	Materi al (m³)	Perfil (kg)	Serie (kg)	Materi al (kg)
A36	IPE	L	L 100 x 65 x 7	7.000			0.008			61.54		
			IPE 120	13.300	7.000		0.018	0.008		137.81		
			IPE 140	3.200			0.005			41.20		
			IPE 80	19.200			0.015	0.005		115.15		
					35.700			0.037		294.16		

Resumen de medición												
Material		Serie	Perfil	Longitud		Volumen			Peso			
Tipo	Designación			Perfil (m)	Serie (m)	Material (m)	Perfil (m³)	Serie (m³)	Material (m³)	Perfil (kg)	Serie (kg)	Material (kg)
Acero laminado						42.700			0.045			355.71

2.1.2.6.- Medición de superficies

Acero laminado: Medición de las superficies a pintar				
Serie	Perfil	Superficie unitaria (m²/m)	Longitud (m)	Superficie (m²)
L	L 100 x 65 x 7	0.330	7.000	2.310
IPE	IPE 120	0.487	13.300	6.480
	IPE 140	0.563	3.200	1.800
	IPE 80	0.336	19.200	6.459
		Total	17.049	

2.2.- Cargas

2.2.1.- Barras

Referencias:

'P1', 'P2':

- Cargas puntuales, uniformes, en faja y momentos puntuales: 'P1' es el valor de la carga. 'P2' no se utiliza.
- Cargas trapezoidales: 'P1' es el valor de la carga en el punto donde comienza (L1) y 'P2' es el valor de la carga en el punto donde termina (L2).
- Cargas triangulares: 'P1' es el valor máximo de la carga. 'P2' no se utiliza.
- Incrementos de temperatura: 'P1' y 'P2' son los valores de la temperatura en las caras exteriores o paramentos de la pieza. La orientación de la variación del incremento de temperatura sobre la sección transversal dependerá de la dirección seleccionada.

'L1', 'L2':

- Cargas y momentos puntuales: 'L1' es la distancia entre el nudo inicial de la barra y la posición donde se aplica la carga. 'L2' no se utiliza.
- Cargas trapezoidales, en faja, y triangulares: 'L1' es la distancia entre el nudo inicial de la barra y la posición donde comienza la carga, 'L2' es la distancia entre el nudo inicial de la barra y la posición donde termina la carga.

Unidades:

- Cargas puntuales: t
- Momentos puntuales: t·m.
- Cargas uniformes, en faja, triangulares y trapezoidales: t/m.
- Incrementos de temperatura: °C.



Barra	Hipótesis	Tipo	Valores		Posición		Dirección			
			P1	P2	L1 (m)	L2 (m)	Ejes	X	Y	Z
N1/N16	Peso propio	Uniforme	0.009	-	-	-	Globales	0.000	0.000	-1.000
N16/N14	Peso propio	Uniforme	0.009	-	-	-	Globales	0.000	0.000	-1.000
N14/N12	Peso propio	Uniforme	0.009	-	-	-	Globales	0.000	0.000	-1.000
N12/N10	Peso propio	Uniforme	0.009	-	-	-	Globales	0.000	0.000	-1.000
N10/N8	Peso propio	Uniforme	0.009	-	-	-	Globales	0.000	0.000	-1.000
N8/N6	Peso propio	Uniforme	0.009	-	-	-	Globales	0.000	0.000	-1.000
N6/N4	Peso propio	Uniforme	0.009	-	-	-	Globales	0.000	0.000	-1.000
N4/N2	Peso propio	Uniforme	0.009	-	-	-	Globales	0.000	0.000	-1.000
N2/N27	Peso propio	Uniforme	0.009	-	-	-	Globales	0.000	0.000	-1.000
N27/N25	Peso propio	Uniforme	0.009	-	-	-	Globales	0.000	0.000	-1.000
N25/N23	Peso propio	Uniforme	0.009	-	-	-	Globales	0.000	0.000	-1.000
N23/N21	Peso propio	Uniforme	0.009	-	-	-	Globales	0.000	0.000	-1.000
N21/N19	Peso propio	Uniforme	0.009	-	-	-	Globales	0.000	0.000	-1.000
N19/N30	Peso propio	Uniforme	0.009	-	-	-	Globales	0.000	0.000	-1.000
N30/N3	Peso propio	Uniforme	0.009	-	-	-	Globales	0.000	0.000	-1.000
N4/N5	Peso propio	Uniforme	0.010	-	-	-	Globales	0.000	0.000	-1.000
N4/N5	Peso propio	Triangular Izq.	1.000	-	0.000	1.900	Globales	1.000	0.000	0.000
N6/N7	Peso propio	Uniforme	0.010	-	-	-	Globales	0.000	0.000	-1.000
N6/N7	Peso propio	Triangular Izq.	1.000	-	0.000	1.900	Globales	1.000	0.000	0.000
N8/N9	Peso propio	Uniforme	0.010	-	-	-	Globales	0.000	0.000	-1.000
N8/N9	Peso propio	Triangular Izq.	1.000	-	0.000	1.900	Globales	1.000	0.000	0.000
N10/N11	Peso propio	Uniforme	0.010	-	-	-	Globales	0.000	0.000	-1.000
N10/N11	Peso propio	Triangular Izq.	1.000	-	0.000	1.900	Globales	1.000	0.000	0.000
N12/N13	Peso propio	Uniforme	0.010	-	-	-	Globales	0.000	0.000	-1.000
N12/N13	Peso propio	Triangular Izq.	1.000	-	0.000	1.900	Globales	1.000	0.000	0.000
N14/N15	Peso propio	Uniforme	0.010	-	-	-	Globales	0.000	0.000	-1.000
N14/N15	Peso propio	Triangular Izq.	1.000	-	0.000	1.900	Globales	1.000	0.000	0.000
N16/N17	Peso propio	Uniforme	0.010	-	-	-	Globales	0.000	0.000	-1.000
N16/N17	Peso propio	Triangular Izq.	1.000	-	0.000	1.900	Globales	1.000	0.000	0.000
N18/N17	Peso propio	Uniforme	0.013	-	-	-	Globales	0.000	0.000	-1.000
N17/N15	Peso propio	Uniforme	0.013	-	-	-	Globales	0.000	0.000	-1.000
N15/N13	Peso propio	Uniforme	0.013	-	-	-	Globales	0.000	0.000	-1.000
N13/N11	Peso propio	Uniforme	0.013	-	-	-	Globales	0.000	0.000	-1.000
N11/N9	Peso propio	Uniforme	0.013	-	-	-	Globales	0.000	0.000	-1.000
N9/N7	Peso propio	Uniforme	0.013	-	-	-	Globales	0.000	0.000	-1.000

Barra	Hipótesis	Tipo	Cargas en barras								
			Valores		Posición		Dirección				
			P1	P2	L1 (m)	L2 (m)	Ejes	X	Y	Z	
N7/N5	Peso propio	Uniforme	0.013	-	-	-	Globales	0.000	0.000	-1.000	
N5/N3	Peso propio	Uniforme	0.013	-	-	-	Globales	0.000	0.000	-1.000	
N20/N19	Peso propio	Uniforme	0.006	-	-	-	Globales	0.000	0.000	-1.000	
N22/N21	Peso propio	Uniforme	0.006	-	-	-	Globales	0.000	0.000	-1.000	
N24/N23	Peso propio	Uniforme	0.006	-	-	-	Globales	0.000	0.000	-1.000	
N26/N25	Peso propio	Uniforme	0.006	-	-	-	Globales	0.000	0.000	-1.000	
N28/N27	Peso propio	Uniforme	0.006	-	-	-	Globales	0.000	0.000	-1.000	
N1/N28	Peso propio	Uniforme	0.009	-	-	-	Globales	0.000	0.000	-1.000	
N28/N26	Peso propio	Uniforme	0.009	-	-	-	Globales	0.000	0.000	-1.000	
N26/N24	Peso propio	Uniforme	0.009	-	-	-	Globales	0.000	0.000	-1.000	
N24/N22	Peso propio	Uniforme	0.009	-	-	-	Globales	0.000	0.000	-1.000	
N22/N20	Peso propio	Uniforme	0.009	-	-	-	Globales	0.000	0.000	-1.000	
N20/N29	Peso propio	Uniforme	0.009	-	-	-	Globales	0.000	0.000	-1.000	
N29/N18	Peso propio	Uniforme	0.009	-	-	-	Globales	0.000	0.000	-1.000	
N29/N30	Peso propio	Uniforme	0.006	-	-	-	Globales	0.000	0.000	-1.000	

2.3.- Resultados

2.3.1.- Nudos

2.3.1.1.- Desplazamientos

Referencias:

Dx, Dy, Dz: Desplazamientos de los nudos en ejes globales.
Gx, Gy, Gz: Giros de los nudos en ejes globales.

2.3.1.1.1.- Hipótesis

Desplazamientos de los nudos, por hipótesis							
Referencia	Descripción	Desplazamientos en ejes globales					
		Dx (mm)	Dy (mm)	Dz (mm)	Gx (mRad)	Gy (mRad)	Gz (mRad)
N1	Peso propio	0.000	0.000	0.000	0.000	0.000	0.000
N2	Peso propio	0.000	0.000	0.000	0.000	0.000	0.000
N3	Peso propio	0.000	0.000	0.000	0.000	0.000	0.000
N4	Peso propio	0.000	0.000	0.000	0.000	0.000	0.000
N5	Peso propio	0.009	0.012	-0.024	0.093	-0.033	0.567
N6	Peso propio	0.000	0.000	0.000	0.000	0.000	0.000
N7	Peso propio	0.018	-0.001	-0.052	-0.018	-0.028	0.484
N8	Peso propio	0.000	0.000	0.000	0.000	0.000	0.000
N9	Peso propio	0.025	-0.002	-0.072	-0.035	0.003	0.466
N10	Peso propio	0.000	0.000	0.000	0.000	0.000	0.000



Desplazamientos de los nudos, por hipótesis							
Referencia	Descripción	Desplazamientos en ejes globales					
		Dx (mm)	Dy (mm)	Dz (mm)	Gx (mRad)	Gy (mRad)	Gz (mRad)
N11	Peso propio	0.030	-0.002	-0.076	-0.035	0.045	0.464
N12	Peso propio	0.000	0.000	0.000	0.000	0.000	0.000
N13	Peso propio	0.031	-0.001	-0.062	-0.022	0.082	0.457
N14	Peso propio	0.000	0.000	0.000	0.000	0.000	0.000
N15	Peso propio	0.027	0.000	-0.037	-0.001	0.098	0.470
N16	Peso propio	0.000	0.000	0.000	0.000	0.000	0.000
N17	Peso propio	0.017	-0.011	-0.010	-0.077	0.079	0.565
N18	Peso propio	0.000	0.000	0.000	0.000	0.000	0.000
N19	Peso propio	0.000	0.000	0.000	0.000	0.000	0.000
N20	Peso propio	0.000	0.000	0.000	0.000	0.000	0.000
N21	Peso propio	0.000	0.000	0.000	0.000	0.000	0.000
N22	Peso propio	0.000	0.000	0.000	0.000	0.000	0.000
N23	Peso propio	0.000	0.000	0.000	0.000	0.000	0.000
N24	Peso propio	0.000	0.000	0.000	0.000	0.000	0.000
N25	Peso propio	0.000	0.000	0.000	0.000	0.000	0.000
N26	Peso propio	0.000	0.000	0.000	0.000	0.000	0.000
N27	Peso propio	0.000	0.000	0.000	0.000	0.000	0.000
N28	Peso propio	0.000	0.000	0.000	0.000	0.000	0.000
N29	Peso propio	0.000	0.000	0.000	0.000	0.000	0.000
N30	Peso propio	0.000	0.000	0.000	0.000	0.000	0.000

2.3.1.1.2.- Combinaciones

Desplazamientos de los nudos, por combinación								
Referencia	Combinación		Desplazamientos en ejes globales					
	Tipo	Descripción	Dx (mm)	Dy (mm)	Dz (mm)	Gx (mRad)	Gy (mRad)	Gz (mRad)
N1	Desplazamientos	PP	0.000	0.000	0.000	0.000	0.000	0.000
N2	Desplazamientos	PP	0.000	0.000	0.000	0.000	0.000	0.000
N3	Desplazamientos	PP	0.000	0.000	0.000	0.000	0.000	0.000
N4	Desplazamientos	PP	0.000	0.000	0.000	0.000	0.000	0.000
N5	Desplazamientos	PP	0.009	0.012	-0.024	0.093	-0.033	0.567
N6	Desplazamientos	PP	0.000	0.000	0.000	0.000	0.000	0.000
N7	Desplazamientos	PP	0.018	-0.001	-0.052	-0.018	-0.028	0.484
N8	Desplazamientos	PP	0.000	0.000	0.000	0.000	0.000	0.000
N9	Desplazamientos	PP	0.025	-0.002	-0.072	-0.035	0.003	0.466
N10	Desplazamientos	PP	0.000	0.000	0.000	0.000	0.000	0.000
N11	Desplazamientos	PP	0.030	-0.002	-0.076	-0.035	0.045	0.464

Desplazamientos de los nudos, por combinación								
Referencia	Combinación		Desplazamientos en ejes globales					
	Tipo	Descripción	Dx (mm)	Dy (mm)	Dz (mm)	Gx (mRad)	Gy (mRad)	Gz (mRad)
N12	Desplazamientos	PP	0.000	0.000	0.000	0.000	0.000	0.000
N13	Desplazamientos	PP	0.031	-0.001	-0.062	-0.022	0.082	0.457
N14	Desplazamientos	PP	0.000	0.000	0.000	0.000	0.000	0.000
N15	Desplazamientos	PP	0.027	0.000	-0.037	-0.001	0.098	0.470
N16	Desplazamientos	PP	0.000	0.000	0.000	0.000	0.000	0.000
N17	Desplazamientos	PP	0.017	-0.011	-0.010	-0.077	0.079	0.565
N18	Desplazamientos	PP	0.000	0.000	0.000	0.000	0.000	0.000
N19	Desplazamientos	PP	0.000	0.000	0.000	0.000	0.000	0.000
N20	Desplazamientos	PP	0.000	0.000	0.000	0.000	0.000	0.000
N21	Desplazamientos	PP	0.000	0.000	0.000	0.000	0.000	0.000
N22	Desplazamientos	PP	0.000	0.000	0.000	0.000	0.000	0.000
N23	Desplazamientos	PP	0.000	0.000	0.000	0.000	0.000	0.000
N24	Desplazamientos	PP	0.000	0.000	0.000	0.000	0.000	0.000
N25	Desplazamientos	PP	0.000	0.000	0.000	0.000	0.000	0.000
N26	Desplazamientos	PP	0.000	0.000	0.000	0.000	0.000	0.000
N27	Desplazamientos	PP	0.000	0.000	0.000	0.000	0.000	0.000
N28	Desplazamientos	PP	0.000	0.000	0.000	0.000	0.000	0.000
N29	Desplazamientos	PP	0.000	0.000	0.000	0.000	0.000	0.000
N30	Desplazamientos	PP	0.000	0.000	0.000	0.000	0.000	0.000

2.3.1.1.3.- Envolventes

Envolvente de los desplazamientos en nudos								
Referencia	Combinación			Desplazamientos en ejes globales				
	Tipo	Descripción	(mm)	Dx (mm)	Dy (mm)	Dz (mm)	Gx (mRad)	Gy (mRad)
N1	Desplazamientos	Valor mínimo de la envolvente	0.000	0.000	0.000	0.000	0.000	0.000
		Valor máximo de la envolvente	0.000	0.000	0.000	0.000	0.000	0.000
N2	Desplazamientos	Valor mínimo de la envolvente	0.000	0.000	0.000	0.000	0.000	0.000
		Valor máximo de la envolvente	0.000	0.000	0.000	0.000	0.000	0.000
N3	Desplazamientos	Valor mínimo de la envolvente	0.000	0.000	0.000	0.000	0.000	0.000
		Valor máximo de la envolvente	0.000	0.000	0.000	0.000	0.000	0.000



Envolvente de los desplazamientos en nudos								
Referencia	Combinación		Desplazamientos en ejes globales					
	Tipo	Descripción	Dx (mm)	Dy (mm)	Dz (mm)	Gx (mRad)	Gy (mRad)	Gz (mRad)
N4	Desplazamientos	Valor mínimo de la envolvente	0.000	0.000	0.000	0.000	0.000	0.000
		Valor máximo de la envolvente	0.000	0.000	0.000	0.000	0.000	0.000
N5	Desplazamientos	Valor mínimo de la envolvente	0.009	0.012	-0.024	0.093	-0.033	0.567
		Valor máximo de la envolvente	0.009	0.012	-0.024	0.093	-0.033	0.567
N6	Desplazamientos	Valor mínimo de la envolvente	0.000	0.000	0.000	0.000	0.000	0.000
		Valor máximo de la envolvente	0.000	0.000	0.000	0.000	0.000	0.000
N7	Desplazamientos	Valor mínimo de la envolvente	0.018	-0.001	-0.052	-0.018	-0.028	0.484
		Valor máximo de la envolvente	0.018	-0.001	-0.052	-0.018	-0.028	0.484
N8	Desplazamientos	Valor mínimo de la envolvente	0.000	0.000	0.000	0.000	0.000	0.000
		Valor máximo de la envolvente	0.000	0.000	0.000	0.000	0.000	0.000
N9	Desplazamientos	Valor mínimo de la envolvente	0.025	-0.002	-0.072	-0.035	0.003	0.466
		Valor máximo de la envolvente	0.025	-0.002	-0.072	-0.035	0.003	0.466
N10	Desplazamientos	Valor mínimo de la envolvente	0.000	0.000	0.000	0.000	0.000	0.000
		Valor máximo de la envolvente	0.000	0.000	0.000	0.000	0.000	0.000
N11	Desplazamientos	Valor mínimo de la envolvente	0.030	-0.002	-0.076	-0.035	0.045	0.464
		Valor máximo de la envolvente	0.030	-0.002	-0.076	-0.035	0.045	0.464
N12	Desplazamientos	Valor mínimo de la envolvente	0.000	0.000	0.000	0.000	0.000	0.000
		Valor máximo de la envolvente	0.000	0.000	0.000	0.000	0.000	0.000
N13	Desplazamientos	Valor mínimo de la envolvente	0.031	-0.001	-0.062	-0.022	0.082	0.457
		Valor máximo de la envolvente	0.031	-0.001	-0.062	-0.022	0.082	0.457

Envolvente de los desplazamientos en nudos								
Referencia	Combinación		Desplazamientos en ejes globales					
	Tipo	Descripción	Dx (mm)	Dy (mm)	Dz (mm)	Gx (mRad)	Gy (mRad)	Gz (mRad)
N14	Desplazamientos	Valor mínimo de la envolvente	0.000	0.000	0.000	0.000	0.000	0.000
		Valor máximo de la envolvente	0.000	0.000	0.000	0.000	0.000	0.000
N15	Desplazamientos	Valor mínimo de la envolvente	0.027	0.000	-0.037	-0.001	0.098	0.470
		Valor máximo de la envolvente	0.027	0.000	-0.037	-0.001	0.098	0.470
N16	Desplazamientos	Valor mínimo de la envolvente	0.000	0.000	0.000	0.000	0.000	0.000
		Valor máximo de la envolvente	0.000	0.000	0.000	0.000	0.000	0.000
N17	Desplazamientos	Valor mínimo de la envolvente	0.017	-0.011	-0.010	-0.077	0.079	0.565
		Valor máximo de la envolvente	0.017	-0.011	-0.010	-0.077	0.079	0.565
N18	Desplazamientos	Valor mínimo de la envolvente	0.000	0.000	0.000	0.000	0.000	0.000
		Valor máximo de la envolvente	0.000	0.000	0.000	0.000	0.000	0.000
N19	Desplazamientos	Valor mínimo de la envolvente	0.000	0.000	0.000	0.000	0.000	0.000
		Valor máximo de la envolvente	0.000	0.000	0.000	0.000	0.000	0.000
N20	Desplazamientos	Valor mínimo de la envolvente	0.000	0.000	0.000	0.000	0.000	0.000
		Valor máximo de la envolvente	0.000	0.000	0.000	0.000	0.000	0.000
N21	Desplazamientos	Valor mínimo de la envolvente	0.000	0.000	0.000	0.000	0.000	0.000
		Valor máximo de la envolvente	0.000	0.000	0.000	0.000	0.000	0.000
N22	Desplazamientos	Valor mínimo de la envolvente	0.000	0.000	0.000	0.000	0.000	0.000
		Valor máximo de la envolvente	0.000	0.000	0.000	0.000	0.000	0.000
N23	Desplazamientos	Valor mínimo de la envolvente	0.000	0.000	0.000	0.000	0.000	0.000
		Valor máximo de la envolvente	0.000	0.000	0.000	0.000	0.000	0.000

Envolvente de los desplazamientos en nudos								
Referencia	Combinación			Desplazamientos en ejes globales				
	Tipo	Descripción		Dx (mm)	Dy (mm)	Dz (mm)	Gx (mRad)	Gy (mRad)
N24	Desplazamientos	Valor mínimo de la envolvente	0.000	0.000	0.000	0.000	0.000	0.000
		Valor máximo de la envolvente	0.000	0.000	0.000	0.000	0.000	0.000
N25	Desplazamientos	Valor mínimo de la envolvente	0.000	0.000	0.000	0.000	0.000	0.000
		Valor máximo de la envolvente	0.000	0.000	0.000	0.000	0.000	0.000
N26	Desplazamientos	Valor mínimo de la envolvente	0.000	0.000	0.000	0.000	0.000	0.000
		Valor máximo de la envolvente	0.000	0.000	0.000	0.000	0.000	0.000
N27	Desplazamientos	Valor mínimo de la envolvente	0.000	0.000	0.000	0.000	0.000	0.000
		Valor máximo de la envolvente	0.000	0.000	0.000	0.000	0.000	0.000
N28	Desplazamientos	Valor mínimo de la envolvente	0.000	0.000	0.000	0.000	0.000	0.000
		Valor máximo de la envolvente	0.000	0.000	0.000	0.000	0.000	0.000
N29	Desplazamientos	Valor mínimo de la envolvente	0.000	0.000	0.000	0.000	0.000	0.000
		Valor máximo de la envolvente	0.000	0.000	0.000	0.000	0.000	0.000
N30	Desplazamientos	Valor mínimo de la envolvente	0.000	0.000	0.000	0.000	0.000	0.000
		Valor máximo de la envolvente	0.000	0.000	0.000	0.000	0.000	0.000

2.3.1.2.- Reacciones

Referencias:

Rx, Ry, Rz: Reacciones en nudos con desplazamientos coaccionados (fuerzas).
Mx, My, Mz: Reacciones en nudos con giros coaccionados (momentos).

2.3.1.2.1.- Hipótesis

Reacciones en los nudos, por hipótesis							
Referencia	Descripción	Reacciones en ejes globales					
		Rx (t)	Ry (t)	Rz (t)	Mx (t·m)	My (t·m)	Mz (t·m)
N1	Peso propio	0.000	0.000	0.003	0.000	0.000	0.000



Reacciones en los nudos, por hipótesis							
Referencia	Descripción	Reacciones en ejes globales					
		Rx (t)	Ry (t)	Rz (t)	Mx (t·m)	My (t·m)	Mz (t·m)
N2	Peso propio	0.000	0.000	0.003	0.000	0.000	0.000
N3	Peso propio	-0.981	-0.203	0.122	-0.014	0.101	0.028
N4	Peso propio	-0.670	-0.089	0.025	0.017	-0.040	0.184
N6	Peso propio	-0.670	0.002	0.017	0.007	-0.040	0.183
N8	Peso propio	-0.669	0.003	0.018	0.008	-0.040	0.183
N10	Peso propio	-0.670	0.000	0.018	0.009	-0.040	0.183
N12	Peso propio	-0.670	-0.003	0.018	0.008	-0.040	0.183
N14	Peso propio	-0.670	-0.004	0.017	0.007	-0.040	0.183
N16	Peso propio	-0.670	0.094	0.007	-0.006	-0.040	0.184
N18	Peso propio	-0.981	0.199	-0.036	0.014	0.055	0.027
N19	Peso propio	0.000	0.000	0.012	0.000	0.005	0.000
N20	Peso propio	0.000	0.000	0.012	0.000	-0.005	0.000
N21	Peso propio	0.000	0.000	0.012	0.000	0.005	0.000
N22	Peso propio	0.000	0.000	0.012	0.000	-0.005	0.000
N23	Peso propio	0.000	0.000	0.012	0.000	0.005	0.000
N24	Peso propio	0.000	0.000	0.012	0.000	-0.005	0.000
N25	Peso propio	0.000	0.000	0.012	0.000	0.005	0.000
N26	Peso propio	0.000	0.000	0.012	0.000	-0.005	0.000
N27	Peso propio	0.000	0.000	0.012	0.000	0.005	0.000
N28	Peso propio	0.000	0.000	0.012	0.000	-0.005	0.000
N29	Peso propio	0.000	0.000	0.011	0.000	-0.005	0.000
N30	Peso propio	0.000	0.000	0.011	0.000	0.005	0.000

2.3.1.2.2.- Combinaciones

Reacciones en los nudos, por combinación								
Referencia	Combinación		Descripción	Reacciones en ejes globales				
	Tipo			Rx (t)	Ry (t)	Rz (t)	Mx (t·m)	My (t·m)
N1	Hormigón en cimentaciones	1.4·PP	0.000	0.000	0.004	0.000	0.000	0.000
		1.2·PP	0.000	0.000	0.004	0.000	0.000	0.000
		0.9·PP	0.000	0.000	0.003	0.000	0.000	0.000
	Tensiones sobre el terreno	PP	0.000	0.000	0.003	0.000	0.000	0.000
N2	Hormigón en cimentaciones	1.4·PP	0.000	0.000	0.004	0.000	0.000	0.000
		1.2·PP	0.000	0.000	0.004	0.000	0.000	0.000
		0.9·PP	0.000	0.000	0.003	0.000	0.000	0.000
	Tensiones sobre el terreno	PP	0.000	0.000	0.003	0.000	0.000	0.000
N3	Hormigón en cimentaciones	1.4·PP	-1.373	-0.284	0.170	-0.020	0.142	0.039



Reacciones en los nudos, por combinaciòn								
Referencia	Combinaciòn		Reacciones en ejes globales					
	Tipo	Descripció	Rx (t)	Ry (t)	Rz (t)	Mx (t·m)	My (t·m)	Mz (t·m)
		1.2·PP	-1.177	-0.243	0.146	-0.017	0.122	0.033
		0.9·PP	-0.883	-0.182	0.109	-0.013	0.091	0.025
	Tensiones sobre el terreno	PP	-0.981	-0.203	0.122	-0.014	0.101	0.028
N4	Hormigón en cimentaciones	1.4·PP	-0.938	-0.124	0.035	0.023	-0.056	0.257
		1.2·PP	-0.804	-0.106	0.030	0.020	-0.048	0.221
		0.9·PP	-0.603	-0.080	0.023	0.015	-0.036	0.165
		Tensiones sobre el terreno	PP	-0.670	-0.089	0.025	0.017	-0.040
N6	Hormigón en cimentaciones	1.4·PP	-0.937	0.003	0.024	0.010	-0.056	0.257
		1.2·PP	-0.803	0.003	0.020	0.009	-0.048	0.220
		0.9·PP	-0.603	0.002	0.015	0.006	-0.036	0.165
		Tensiones sobre el terreno	PP	-0.670	0.002	0.017	0.007	-0.040
N8	Hormigón en cimentaciones	1.4·PP	-0.937	0.004	0.025	0.011	-0.056	0.257
		1.2·PP	-0.803	0.003	0.021	0.010	-0.048	0.220
		0.9·PP	-0.603	0.002	0.016	0.007	-0.036	0.165
		Tensiones sobre el terreno	PP	-0.669	0.003	0.018	0.008	-0.040
N10	Hormigón en cimentaciones	1.4·PP	-0.937	0.000	0.025	0.012	-0.056	0.257
		1.2·PP	-0.803	0.000	0.021	0.010	-0.048	0.220
		0.9·PP	-0.603	0.000	0.016	0.008	-0.036	0.165
		Tensiones sobre el terreno	PP	-0.670	0.000	0.018	0.009	-0.040
N12	Hormigón en cimentaciones	1.4·PP	-0.937	-0.004	0.025	0.012	-0.056	0.257
		1.2·PP	-0.803	-0.004	0.021	0.010	-0.048	0.220
		0.9·PP	-0.603	-0.003	0.016	0.007	-0.036	0.165
		Tensiones sobre el terreno	PP	-0.670	-0.003	0.018	0.008	-0.040
N14	Hormigón en cimentaciones	1.4·PP	-0.937	-0.005	0.024	0.010	-0.056	0.257
		1.2·PP	-0.804	-0.004	0.021	0.008	-0.048	0.220
		0.9·PP	-0.603	-0.003	0.015	0.006	-0.036	0.165
		Tensiones sobre el terreno	PP	-0.670	-0.004	0.017	0.007	-0.040
N16	Hormigón en cimentaciones	1.4·PP	-0.939	0.131	0.009	-0.009	-0.056	0.257
		1.2·PP	-0.804	0.112	0.008	-0.007	-0.048	0.221
		0.9·PP	-0.603	0.084	0.006	-0.006	-0.036	0.166
		Tensiones sobre el terreno	PP	-0.670	0.094	0.007	-0.006	-0.040
N18	Hormigón en cimentaciones	1.4·PP	-1.373	0.279	-0.050	0.020	0.076	0.038
		1.2·PP	-1.177	0.239	-0.043	0.017	0.065	0.032
		0.9·PP	-0.883	0.179	-0.032	0.013	0.049	0.024
		Tensiones sobre el terreno	PP	-0.981	0.199	-0.036	0.014	0.055
N19	Hormigón en cimentaciones	1.4·PP	0.000	0.000	0.017	0.000	0.007	0.000
		1.2·PP	0.000	0.000	0.014	0.000	0.006	0.000

Reacciones en los nudos, por combinaciòn								
Referencia	Combinaciòn		Reacciones en ejes globales					
	Tipo	Descripció	Rx (t)	Ry (t)	Rz (t)	Mx (t·m)	My (t·m)	Mz (t·m)
		0.9·PP	0.000	0.000	0.011	0.000	0.005	0.000
	Tensiones sobre el terreno	PP	0.000	0.000	0.012	0.000	0.005	0.000
N20	Hormigón en cimentaciones	1.4·PP	0.000	0.000	0.017	0.000	-0.007	0.000
		1.2·PP	0.000	0.000	0.014	0.000	-0.006	0.000
		0.9·PP	0.000	0.000	0.011	0.000	-0.005	0.000
	Tensiones sobre el terreno	PP	0.000	0.000	0.012	0.000	-0.005	0.000
N21	Hormigón en cimentaciones	1.4·PP	0.000	0.000	0.017	0.000	0.007	0.000
		1.2·PP	0.000	0.000	0.015	0.000	0.006	0.000
		0.9·PP	0.000	0.000	0.011	0.000	0.005	0.000
	Tensiones sobre el terreno	PP	0.000	0.000	0.012	0.000	0.005	0.000
N22	Hormigón en cimentaciones	1.4·PP	0.000	0.000	0.017	0.000	-0.007	0.000
		1.2·PP	0.000	0.000	0.015	0.000	-0.006	0.000
		0.9·PP	0.000	0.000	0.011	0.000	-0.005	0.000
	Tensiones sobre el terreno	PP	0.000	0.000	0.012	0.000	-0.005	0.000
N23	Hormigón en cimentaciones	1.4·PP	0.000	0.000	0.017	0.000	0.007	0.000
		1.2·PP	0.000	0.000	0.015	0.000	0.006	0.000
		0.9·PP	0.000	0.000	0.011	0.000	0.005	0.000
	Tensiones sobre el terreno	PP	0.000	0.000	0.012	0.000	0.005	0.000
N24	Hormigón en cimentaciones	1.4·PP	0.000	0.000	0.017	0.000	-0.007	0.000
		1.2·PP	0.000	0.000	0.015	0.000	-0.006	0.000
		0.9·PP	0.000	0.000	0.011	0.000	-0.005	0.000
	Tensiones sobre el terreno	PP	0.000	0.000	0.012	0.000	-0.005	0.000
N25	Hormigón en cimentaciones	1.4·PP	0.000	0.000	0.017	0.000	0.007	0.000
		1.2·PP	0.000	0.000	0.015	0.000	0.006	0.000
		0.9·PP	0.000	0.000	0.011	0.000	0.005	0.000
	Tensiones sobre el terreno	PP	0.000	0.000	0.012	0.000	0.005	0.000
N26	Hormigón en cimentaciones	1.4·PP	0.000	0.000	0.017	0.000	-0.007	0.000
		1.2·PP	0.000	0.000	0.015	0.000	-0.006	0.000
		0.9·PP	0.000	0.000	0.011	0.000	-0.005	0.000
	Tensiones sobre el terreno	PP	0.000	0.000	0.012	0.000	-0.005	0.000
N27	Hormigón en cimentaciones	1.4·PP	0.000	0.000	0.017	0.000	0.007	0.000
		1.2·PP	0.000	0.000	0.015	0.000	0.006	0.000
		0.9·PP	0.000	0.000	0.011	0.000	0.005	0.000
	Tensiones sobre el terreno	PP	0.000	0.000	0.012	0.000	0.005	0.000
N28	Hormigón en cimentaciones	1.4·PP	0.000	0.000	0.017	0.000	-0.007	0.000
		1.2·PP	0.000	0.000	0.015	0.000	-0.006	0.000
		0.9·PP	0.000	0.000	0.011	0.000	-0.005	0.000

Reacciones en los nudos, por combinación								
Referencia	Combinación		Reacciones en ejes globales					
	Tipo	Descripción	Rx (t)	Ry (t)	Rz (t)	Mx (t·m)	My (t·m)	Mz (t·m)
	Tensiones sobre el terreno	PP	0.000	0.000	0.012	0.000	-0.005	0.000
N29	Hormigón en cimentaciones	1.4·PP	0.000	0.000	0.016	0.000	-0.007	0.000
		1.2·PP	0.000	0.000	0.014	0.000	-0.006	0.000
		0.9·PP	0.000	0.000	0.010	0.000	-0.005	0.000
	Tensiones sobre el terreno	PP	0.000	0.000	0.011	0.000	-0.005	0.000
N30	Hormigón en cimentaciones	1.4·PP	0.000	0.000	0.016	0.000	0.007	0.000
		1.2·PP	0.000	0.000	0.014	0.000	0.006	0.000
		0.9·PP	0.000	0.000	0.010	0.000	0.005	0.000
	Tensiones sobre el terreno	PP	0.000	0.000	0.011	0.000	0.005	0.000

Nota: Las combinaciones de hormigón indicadas son las mismas que se utilizan para comprobar el estado límite de equilibrio en la cimentación.

2.3.1.2.3.- Envolventes

Envolventes de las reacciones en nudos									
Referencia	Combinación			Reacciones en ejes globales					
	Tipo	Descripción	Rx (t)	Ry (t)	Rz (t)	Mx (t·m)	My (t·m)	Mz (t·m)	
N1	Hormigón en cimentaciones	Valor mínimo de la envolvente	0.00	0.00	0.00	0.00	0.00	0.00	
		Valor máximo de la envolvente	0	0	3	0	0	0	
	Tensiones sobre el terreno	Valor mínimo de la envolvente	0.00	0.00	0.00	0.00	0.00	0.00	
		Valor máximo de la envolvente	0	0	4	0	0	0	
N2	Hormigón en cimentaciones	Valor mínimo de la envolvente	0.00	0.00	0.00	0.00	0.00	0.00	
		Valor máximo de la envolvente	0	0	3	0	0	0	
	Tensiones sobre el terreno	Valor mínimo de la envolvente	0.00	0.00	0.00	0.00	0.00	0.00	
		Valor máximo de la envolvente	0	0	3	0	0	0	
N3	Hormigón en cimentaciones	Valor mínimo de la envolvente	0.00	0.00	0.00	0.00	0.00	0.00	
		Valor máximo de la envolvente	0	0	3	0	0	0	
	Tensiones sobre el terreno	Valor mínimo de la envolvente	0.00	0.00	0.00	0.00	0.00	0.00	
		Valor máximo de la envolvente	0	0	3	0	0	0	



Envolventes de las reacciones en nudos							
Referencia	Combinación		Reacciones en ejes globales				
	Tipo	Descripción	Rx (t)	Ry (t)	Rz (t)	Mx (t·m)	My (t·m)
	Tensiones sobre el terreno	Valor máximo de la envolvente	-0.883	-0.182	0.170	-0.013	0.142
		Valor mínimo de la envolvente	-0.981	-0.203	0.122	-0.014	0.101
		Valor máximo de la envolvente	-0.981	-0.203	0.122	-0.014	0.101
N4	Hormigón en cimentaciones	Valor mínimo de la envolvente	-0.938	-0.124	0.023	0.015	-0.056
		Valor máximo de la envolvente	-0.603	-0.080	0.035	0.023	-0.036
	Tensiones sobre el terreno	Valor mínimo de la envolvente	-0.670	-0.089	0.025	0.017	-0.040
		Valor máximo de la envolvente	-0.670	-0.089	0.025	0.017	-0.040
N6	Hormigón en cimentaciones	Valor mínimo de la envolvente	-0.937	0.002	0.015	0.006	-0.056
		Valor máximo de la envolvente	-0.603	0.003	0.024	0.010	-0.036
	Tensiones sobre el terreno	Valor mínimo de la envolvente	-0.670	0.002	0.017	0.007	-0.040
		Valor máximo de la envolvente	-0.670	0.002	0.017	0.007	-0.040
N8	Hormigón en cimentaciones	Valor mínimo de la envolvente	-0.937	0.002	0.016	0.007	-0.056
		Valor máximo de la envolvente	-0.603	0.004	0.025	0.011	-0.036
	Tensiones sobre el terreno	Valor mínimo de la envolvente	-0.669	0.003	0.018	0.008	-0.040

Envolventes de las reacciones en nudos							
Referencia	Combinación		Reacciones en ejes globales				
	Tipo	Descripción	Rx (t)	Ry (t)	Rz (t)	Mx (t·m)	My (t·m)
		Valor máximo de la envolvente	- 0.66 9	0.00 3	0.01 8	0.00 8	- 0.04 0
N10	Hormigón en cimentaciones	Valor mínimo de la envolvente	- 0.93 7	0.00 0	0.01 6	0.00 8	- 0.05 6
		Valor máximo de la envolvente	- 0.60 3	0.00 0	0.02 5	0.01 2	- 0.03 6
	Tensiones sobre el terreno	Valor mínimo de la envolvente	- 0.67 0	0.00 0	0.01 8	0.00 9	- 0.04 0
		Valor máximo de la envolvente	- 0.67 0	0.00 0	0.01 8	0.00 9	- 0.04 0
N12	Hormigón en cimentaciones	Valor mínimo de la envolvente	- 0.93 7	- 0.00 4	0.01 6	0.00 7	- 0.05 6
		Valor máximo de la envolvente	- 0.60 3	- 0.00 3	0.02 5	0.01 2	- 0.03 6
	Tensiones sobre el terreno	Valor mínimo de la envolvente	- 0.67 0	- 0.00 3	0.01 8	0.00 8	- 0.04 0
		Valor máximo de la envolvente	- 0.67 0	- 0.00 3	0.01 8	0.00 8	- 0.04 0
N14	Hormigón en cimentaciones	Valor mínimo de la envolvente	- 0.93 7	- 0.00 5	0.01 5	0.00 6	- 0.05 6
		Valor máximo de la envolvente	- 0.60 3	- 0.00 3	0.02 4	0.01 0	- 0.03 6
	Tensiones sobre el terreno	Valor mínimo de la envolvente	- 0.67 0	- 0.00 4	0.01 7	0.00 7	- 0.04 0
		Valor máximo de la envolvente	- 0.67 0	- 0.00 4	0.01 7	0.00 7	- 0.04 0
N16	Hormigón en cimentaciones	Valor mínimo de la envolvente	- 0.93 9	0.08 4	0.00 6	- 0.00 9	- 0.05 6

Envolventes de las reacciones en nudos								
Referencia	Combinación		Reacciones en ejes globales					
	Tipo	Descripción	Rx (t)	Ry (t)	Rz (t)	Mx (t·m)	My (t·m)	Mz (t·m)
	Tensiones sobre el terreno	Valor máximo de la envolvente	-0.603	0.131	0.009	-0.006	-0.036	0.257
		Valor mínimo de la envolvente	-0.670	0.094	0.007	-0.006	-0.040	0.184
		Valor máximo de la envolvente	-0.670	0.094	0.007	-0.006	-0.040	0.184
N18	Hormigón en cimentaciones	Valor mínimo de la envolvente	-1.373	0.179	-0.050	0.013	0.049	0.024
		Valor máximo de la envolvente	-0.883	0.279	-0.032	0.020	0.076	0.038
	Tensiones sobre el terreno	Valor mínimo de la envolvente	-0.981	0.199	-0.036	0.014	0.055	0.027
		Valor máximo de la envolvente	-0.981	0.199	-0.036	0.014	0.055	0.027
N19	Hormigón en cimentaciones	Valor mínimo de la envolvente	0.000	0.000	0.011	0.000	0.000	0.000
		Valor máximo de la envolvente	0.000	0.000	0.017	0.000	0.000	0.000
	Tensiones sobre el terreno	Valor mínimo de la envolvente	0.000	0.000	0.012	0.000	0.000	0.000
		Valor máximo de la envolvente	0.000	0.000	0.012	0.000	0.000	0.000
N20	Hormigón en cimentaciones	Valor mínimo de la envolvente	0.000	0.000	0.011	0.000	-0.007	0.000
		Valor máximo de la envolvente	0.000	0.000	0.017	0.000	-0.005	0.000
	Tensiones sobre el terreno	Valor mínimo de la envolvente	0.000	0.000	0.012	0.000	-0.005	0.000
		Valor máximo de la envolvente	0.000	0.000	0.012	0.000	-0.005	0.000

Envolventes de las reacciones en nudos							
Referencia	Combinación		Reacciones en ejes globales				
	Tipo	Descripción	Rx (t)	Ry (t)	Rz (t)	Mx (t·m)	My (t·m)
N21	Hormigón en cimentaciones	Valor mínimo de la envolvente	0.00 0	0.00 0	0.01 1	0.00 0	0.00 5
		Valor máximo de la envolvente	0.00 0	0.00 0	0.01 7	0.00 0	0.00 7
	Tensiones sobre el terreno	Valor mínimo de la envolvente	0.00 0	0.00 0	0.01 2	0.00 0	0.00 5
		Valor máximo de la envolvente	0.00 0	0.00 0	0.01 2	0.00 0	0.00 5
N22	Hormigón en cimentaciones	Valor mínimo de la envolvente	0.00 0	0.00 0	0.01 1	0.00 0	-0.00 7
		Valor máximo de la envolvente	0.00 0	0.00 0	0.01 7	0.00 0	-0.00 5
	Tensiones sobre el terreno	Valor mínimo de la envolvente	0.00 0	0.00 0	0.01 2	0.00 0	-0.00 5
		Valor máximo de la envolvente	0.00 0	0.00 0	0.01 2	0.00 0	-0.00 5
N23	Hormigón en cimentaciones	Valor mínimo de la envolvente	0.00 0	0.00 0	0.01 1	0.00 0	0.00 5
		Valor máximo de la envolvente	0.00 0	0.00 0	0.01 7	0.00 0	0.00 7
	Tensiones sobre el terreno	Valor mínimo de la envolvente	0.00 0	0.00 0	0.01 2	0.00 0	0.00 5
		Valor máximo de la envolvente	0.00 0	0.00 0	0.01 2	0.00 0	0.00 5
N24	Hormigón en cimentaciones	Valor mínimo de la envolvente	0.00 0	0.00 0	0.01 1	0.00 0	-0.00 7
		Valor máximo de la envolvente	0.00 0	0.00 0	0.01 7	0.00 0	-0.00 5
	Tensiones sobre el terreno	Valor mínimo de la envolvente	0.00 0	0.00 0	0.01 2	0.00 0	-0.00 5
		Valor máximo de la envolvente	0.00 0	0.00 0	0.01 2	0.00 0	-0.00 5
N25	Hormigón en cimentaciones	Valor mínimo de la envolvente	0.00 0	0.00 0	0.01 1	0.00 0	0.00 5

Envolventes de las reacciones en nudos							
Referencia	Combinación		Reacciones en ejes globales				
	Tipo	Descripción	Rx (t)	Ry (t)	Rz (t)	Mx (t·m)	My (t·m)
		Valor máximo de la envolvente	0.00 0	0.00 0	0.01 7	0.00 0	0.00 7
		Tensiones sobre el terreno	0.00 0	0.00 0	0.01 2	0.00 0	0.00 5
		Valor máximo de la envolvente	0.00 0	0.00 0	0.01 2	0.00 0	0.00 5
	Hormigón en cimentaciones	Valor mínimo de la envolvente	0.00 0	0.00 0	0.01 1	0.00 0	-0.00 7
		Valor máximo de la envolvente	0.00 0	0.00 0	0.01 7	0.00 0	-0.00 5
	Tensiones sobre el terreno	Valor mínimo de la envolvente	0.00 0	0.00 0	0.01 2	0.00 0	-0.00 5
		Valor máximo de la envolvente	0.00 0	0.00 0	0.01 2	0.00 0	-0.00 5
	Hormigón en cimentaciones	Valor mínimo de la envolvente	0.00 0	0.00 0	0.01 1	0.00 0	0.00 5
		Valor máximo de la envolvente	0.00 0	0.00 0	0.01 7	0.00 0	0.00 7
	Tensiones sobre el terreno	Valor mínimo de la envolvente	0.00 0	0.00 0	0.01 2	0.00 0	0.00 5
		Valor máximo de la envolvente	0.00 0	0.00 0	0.01 2	0.00 0	0.00 5
	Hormigón en cimentaciones	Valor mínimo de la envolvente	0.00 0	0.00 0	0.01 1	0.00 0	-0.00 7
		Valor máximo de la envolvente	0.00 0	0.00 0	0.01 7	0.00 0	-0.00 5
	Tensiones sobre el terreno	Valor mínimo de la envolvente	0.00 0	0.00 0	0.01 2	0.00 0	-0.00 5
		Valor máximo de la envolvente	0.00 0	0.00 0	0.01 2	0.00 0	0.00 5
N29	Hormigón en cimentaciones	Valor mínimo de la envolvente	0.00 0	0.00 0	0.01 0	0.00 0	-0.00 7

Envolventes de las reacciones en nudos								
Referencia	Combinación		Reacciones en ejes globales					
	Tipo	Descripción	Rx (t)	Ry (t)	Rz (t)	Mx (t·m)	My (t·m)	
	Tensiones sobre el terreno	Valor máximo de la envolvente	0.00 0	0.00 0	0.01 6	0.00 0	-0.00 5	0.00 0
		Valor mínimo de la envolvente	0.00 0	0.00 0	0.01 1	0.00 0	-0.00 5	0.00 0
		Valor máximo de la envolvente	0.00 0	0.00 0	0.01 1	0.00 0	-0.00 5	0.00 0
N30	Hormigón en cimentaciones	Valor mínimo de la envolvente	0.00 0	0.00 0	0.01 0	0.00 0	0.00 5	0.00 0
		Valor máximo de la envolvente	0.00 0	0.00 0	0.01 6	0.00 0	0.00 7	0.00 0
	Tensiones sobre el terreno	Valor mínimo de la envolvente	0.00 0	0.00 0	0.01 1	0.00 0	0.00 5	0.00 0
		Valor máximo de la envolvente	0.00 0	0.00 0	0.01 1	0.00 0	0.00 5	0.00 0

Nota: Las combinaciones de hormigón indicadas son las mismas que se utilizan para comprobar el estado límite de equilibrio en la cimentación.

2.3.2.- Barras

2.3.2.1.- Esfuerzos

Referencias:

N: Esfuerzo axil (t)

Vy: Esfuerzo cortante según el eje local Y de la barra. (t)

Vz: Esfuerzo cortante según el eje local Z de la barra. (t)

Mt: Momento torsor (t·m)

My: Momento flector en el plano 'XZ' (giro de la sección respecto al eje local 'Y' de la barra). (t·m)

Mz: Momento flector en el plano 'XY' (giro de la sección respecto al eje local 'Z' de la barra). (t·m)

2.3.2.1.1.- Hipótesis

Esfuerzos en barras, por hipótesis					
Barra	Hipótesis	Esfuerzo	Posiciones en la barra		
			0.000 m	0.200 m	0.400 m
N1/N16	Peso propio	N Vy	0.000 0.000	0.000 0.000	0.000 0.000



Esfuerzos en barras, por hipótesis					
Barra	Hipótesis	Esfuerzo	Posiciones en la barra		
			0.000 m	0.200 m	0.400 m
		Vz	0.002	0.000	-0.002
		Mt	0.000	0.000	0.000
		My	0.000	0.000	0.000
		Mz	0.000	0.000	0.000

Esfuerzos en barras, por hipótesis					
Barra	Hipótesis	Esfuerzo	Posiciones en la barra		
			0.000 m	0.200 m	0.400 m
N16/N14	Peso propio	N	0.000	0.000	0.000
		Vy	0.000	0.000	0.000
		Vz	0.002	0.000	-0.002
		Mt	0.000	0.000	0.000
		My	0.000	0.000	0.000
		Mz	0.000	0.000	0.000

Esfuerzos en barras, por hipótesis					
Barra	Hipótesis	Esfuerzo	Posiciones en la barra		
			0.000 m	0.200 m	0.400 m
N14/N12	Peso propio	N	0.000	0.000	0.000
		Vy	0.000	0.000	0.000
		Vz	0.002	0.000	-0.002
		Mt	0.000	0.000	0.000
		My	0.000	0.000	0.000
		Mz	0.000	0.000	0.000

Esfuerzos en barras, por hipótesis					
Barra	Hipótesis	Esfuerzo	Posiciones en la barra		
			0.000 m	0.200 m	0.400 m
N12/N10	Peso propio	N	0.000	0.000	0.000
		Vy	0.000	0.000	0.000
		Vz	0.002	0.000	-0.002
		Mt	0.000	0.000	0.000
		My	0.000	0.000	0.000
		Mz	0.000	0.000	0.000



Esfuerzos en barras, por hipótesis					
Barra	Hipótesis	Esfuerzo	Posiciones en la barra		
			0.000 m	0.200 m	0.400 m
N10/N8	Peso propio	N	0.000	0.000	0.000
		Vy	0.000	0.000	0.000
		Vz	0.002	0.000	-0.002
		Mt	0.000	0.000	0.000
		My	0.000	0.000	0.000
		Mz	0.000	0.000	0.000

Esfuerzos en barras, por hipótesis					
Barra	Hipótesis	Esfuerzo	Posiciones en la barra		
			0.000 m	0.200 m	0.400 m
N8/N6	Peso propio	N	0.000	0.000	0.000
		Vy	0.000	0.000	0.000
		Vz	0.002	0.000	-0.002
		Mt	0.000	0.000	0.000
		My	0.000	0.000	0.000
		Mz	0.000	0.000	0.000

Esfuerzos en barras, por hipótesis					
Barra	Hipótesis	Esfuerzo	Posiciones en la barra		
			0.000 m	0.200 m	0.400 m
N6/N4	Peso propio	N	0.000	0.000	0.000
		Vy	0.000	0.000	0.000
		Vz	0.002	0.000	-0.002
		Mt	0.000	0.000	0.000
		My	0.000	0.000	0.000
		Mz	0.000	0.000	0.000

Esfuerzos en barras, por hipótesis					
Barra	Hipótesis	Esfuerzo	Posiciones en la barra		
			0.000 m	0.200 m	0.400 m
N4/N2	Peso propio	N	0.000	0.000	0.000
		Vy	0.000	0.000	0.000
		Vz	0.002	0.000	-0.002
		Mt	0.000	0.000	0.000
		My	0.000	0.000	0.000
		Mz	0.000	0.000	0.000



Esfuerzos en barras, por hipótesis					
Barra	Hipótesis	Esfuerzo	Posiciones en la barra		
			0.000 m	0.150 m	0.300 m
N2/N27	Peso propio	N	0.000	0.000	0.000
		Vy	0.000	0.000	0.000
		Vz	0.001	0.000	-0.001
		Mt	0.000	0.000	0.000
		My	0.000	0.000	0.000
		Mz	0.000	0.000	0.000

Esfuerzos en barras, por hipótesis					
Barra	Hipótesis	Esfuerzo	Posiciones en la barra		
			0.000 m	0.150 m	0.300 m
N27/N25	Peso propio	N	0.000	0.000	0.000
		Vy	0.000	0.000	0.000
		Vz	0.001	0.000	-0.001
		Mt	0.000	0.000	0.000
		My	0.000	0.000	0.000
		Mz	0.000	0.000	0.000

Esfuerzos en barras, por hipótesis					
Barra	Hipótesis	Esfuerzo	Posiciones en la barra		
			0.000 m	0.150 m	0.300 m
N25/N23	Peso propio	N	0.000	0.000	0.000
		Vy	0.000	0.000	0.000
		Vz	0.001	0.000	-0.001
		Mt	0.000	0.000	0.000
		My	0.000	0.000	0.000
		Mz	0.000	0.000	0.000

Esfuerzos en barras, por hipótesis					
Barra	Hipótesis	Esfuerzo	Posiciones en la barra		
			0.000 m	0.150 m	0.300 m
N23/N21	Peso propio	N	0.000	0.000	0.000
		Vy	0.000	0.000	0.000
		Vz	0.001	0.000	-0.001
		Mt	0.000	0.000	0.000
		My	0.000	0.000	0.000
		Mz	0.000	0.000	0.000



Esfuerzos en barras, por hipótesis					
Barra	Hipótesis	Esfuerzo	Posiciones en la barra		
			0.000 m	0.150 m	0.300 m
N21/N19	Peso propio	N	0.000	0.000	0.000
		Vy	0.000	0.000	0.000
		Vz	0.001	0.000	-0.001
		Mt	0.000	0.000	0.000
		My	0.000	0.000	0.000
		Mz	0.000	0.000	0.000

Esfuerzos en barras, por hipótesis					
Barra	Hipótesis	Esfuerzo	Posiciones en la barra		
			0.000 m	0.100 m	0.200 m
N19/N30	Peso propio	N	0.000	0.000	0.000
		Vy	0.000	0.000	0.000
		Vz	0.001	0.000	-0.001
		Mt	0.000	0.000	0.000
		My	0.000	0.000	0.000
		Mz	0.000	0.000	0.000

Esfuerzos en barras, por hipótesis					
Barra	Hipótesis	Esfuerzo	Posiciones en la barra		
			0.000 m	0.100 m	0.200 m
N30/N3	Peso propio	N	0.000	0.000	0.000
		Vy	0.000	0.000	0.000
		Vz	0.001	0.000	-0.001
		Mt	0.000	0.000	0.000
		My	0.000	0.000	0.000
		Mz	0.000	0.000	0.000

Barra	Hipótesis	Esfuerzo	Posiciones en la barra								
			0.000 m	0.190 m	0.380 m	0.760 m	0.950 m	1.140 m	1.520 m	1.710 m	1.900 m
N4/N5	Peso propio	N	0.089	0.089	0.089	0.089	0.089	0.089	0.089	0.089	0.089
		Vy	-0.670	-0.490	-0.328	-0.062	0.042	0.128	0.242	0.270	0.280
		Vz	-0.022	-0.020	-0.018	-0.014	-0.012	-0.010	-0.006	-0.004	-0.002
		Mt	0.000	0.000	0.000	0.000	0.000	0.000	0.000	0.000	0.000
		My	-0.011	-0.007	-0.004	0.002	0.005	0.007	0.010	0.011	0.011
		Mz	-0.184	-0.074	0.004	0.075	0.077	0.060	-0.012	-0.061	-0.114



Esfuerzos en barras, por hipótesis											
Barra	Hipótesis	Esfuerzo	Posiciones en la barra								
			0.000 m	0.190 m	0.380 m	0.760 m	0.950 m	1.140 m	1.520 m	1.710 m	1.900 m
N6/N 7	Peso propio	N	-0.002	-0.002	-0.002	-0.002	-0.002	-0.002	-0.002	-0.002	-0.002
		Vy	-0.670	-0.489	-0.328	-0.062	0.043	0.128	0.242	0.271	0.280
		Vz	-0.014	-0.012	-0.010	-0.006	-0.004	-0.002	0.002	0.004	0.006
		Mt	0.000	0.000	0.000	0.000	0.000	0.000	0.000	0.000	0.000
		My	-0.007	-0.005	-0.003	0.000	0.001	0.001	0.001	0.001	0.000
		Mz	-0.183	-0.074	0.004	0.075	0.077	0.060	-0.013	-0.062	-0.115

Esfuerzos en barras, por hipótesis											
Barra	Hipótesis	Esfuerzo	Posiciones en la barra								
			0.000 m	0.190 m	0.380 m	0.760 m	0.950 m	1.140 m	1.520 m	1.710 m	1.900 m
N8/N 9	Peso propio	N	-0.003	-0.003	-0.003	-0.003	-0.003	-0.003	-0.003	-0.003	-0.003
		Vy	-0.669	-0.489	-0.327	-0.061	0.043	0.129	0.243	0.271	0.281
		Vz	-0.014	-0.012	-0.010	-0.006	-0.004	-0.002	0.002	0.004	0.006
		Mt	0.000	0.000	0.000	0.000	0.000	0.000	0.000	0.000	0.000
		My	-0.008	-0.006	-0.004	-0.001	0.000	0.001	0.001	0.001	0.000
		Mz	-0.183	-0.074	0.004	0.075	0.077	0.060	-0.013	-0.062	-0.115

Esfuerzos en barras, por hipótesis											
Barra	Hipótesis	Esfuerzo	Posiciones en la barra								
			0.000 m	0.190 m	0.380 m	0.760 m	0.950 m	1.140 m	1.520 m	1.710 m	1.900 m
N10/N 11	Peso propio	N	0.000	0.000	0.000	0.000	0.000	0.000	0.000	0.000	0.000
		Vy	-0.670	-0.489	-0.328	-0.062	0.043	0.128	0.242	0.271	0.280
		Vz	-0.014	-0.012	-0.010	-0.007	-0.005	-0.003	0.001	0.003	0.005
		Mt	0.000	0.000	0.000	0.000	0.000	0.000	0.000	0.000	0.000
		My	-0.009	-0.006	-0.004	-0.001	0.000	0.001	0.001	0.001	0.000
		Mz	-0.183	-0.074	0.004	0.075	0.077	0.060	-0.013	-0.062	-0.115

Esfuerzos en barras, por hipótesis										
Barra	Hipótesis	Esfuerzo	Posiciones en la barra							
			0.000 m	0.190 m	0.380 m	0.760 m	0.950 m	1.140 m	1.520 m	1.710 m
N12/N 13	Peso propio	N	0.003	0.003	0.003	0.003	0.003	0.003	0.003	0.003
		Vy	-0.670	-0.489	-0.328	-0.062	0.043	0.128	0.242	0.271
		Vz	-0.014	-0.012	-0.010	-0.006	-0.004	-0.002	0.001	0.003
		Mt	0.000	0.000	0.000	0.000	0.000	0.000	0.000	0.000
		My	-0.008	-0.006	-0.003	0.000	0.001	0.001	0.002	0.001
		Mz	-0.183	-0.074	0.004	0.075	0.077	0.060	-0.013	-0.062

Esfuerzos en barras, por hipótesis										
Barra	Hipótesis	Esfuerzo	Posiciones en la barra							
			0.000 m	0.190 m	0.380 m	0.760 m	0.950 m	1.140 m	1.520 m	1.710 m
N14/N 15	Peso propio	N	0.004	0.004	0.004	0.004	0.004	0.004	0.004	0.004
		Vy	-0.670	-0.489	-0.328	-0.062	0.043	0.128	0.242	0.271
		Vz	-0.014	-0.012	-0.010	-0.006	-0.004	-0.002	0.002	0.004
		Mt	0.000	0.000	0.000	0.000	0.000	0.000	0.000	0.000
		My	-0.007	-0.004	-0.002	0.001	0.002	0.002	0.002	0.001
		Mz	-0.183	-0.074	0.004	0.075	0.077	0.060	-0.013	-0.062

Esfuerzos en barras, por hipótesis										
Barra	Hipótesis	Esfuerzo	Posiciones en la barra							
			0.000 m	0.190 m	0.380 m	0.760 m	0.950 m	1.140 m	1.520 m	1.710 m
N16/N 17	Peso propio	N	-0.094	-0.094	-0.094	-0.094	-0.094	-0.094	-0.094	-0.094
		Vy	-0.670	-0.490	-0.328	-0.062	0.042	0.128	0.242	0.270
		Vz	-0.003	-0.001	0.001	0.005	0.007	0.009	0.013	0.015
		Mt	0.000	0.000	0.000	0.000	0.000	0.000	0.000	0.000
		My	0.001	0.001	0.001	0.000	-0.001	-0.003	-0.007	-0.009
		Mz	-0.184	-0.074	0.003	0.075	0.077	0.060	-0.012	-0.061

Esfuerzos en barras, por hipótesis										
Barra	Hipótesis	Esfuerzo	Posiciones en la barra							
			0.000 m	0.200 m	0.400 m					
N18/N17	Peso propio	N	0.981	0.981	0.981					
		Vy	-0.199	-0.199	-0.199					
		Vz	0.037	0.039	0.042					

Esfuerzos en barras, por hipótesis					
Barra	Hipótesis	Esfuerzo	Posiciones en la barra		
			0.000 m	0.200 m	0.400 m
		Mt	0.000	0.000	0.000
		My	-0.014	-0.022	-0.030
		Mz	-0.027	0.013	0.053

Esfuerzos en barras, por hipótesis					
Barra	Hipótesis	Esfuerzo	Posiciones en la barra		
			0.000 m	0.200 m	0.400 m
N17/N15	Peso propio	N	0.701	0.701	0.701
		Vy	-0.293	-0.293	-0.293
		Vz	0.058	0.061	0.063
		Mt	0.000	0.000	0.000
		My	0.007	-0.005	-0.018
		Mz	-0.061	-0.002	0.056

Esfuerzos en barras, por hipótesis					
Barra	Hipótesis	Esfuerzo	Posiciones en la barra		
			0.000 m	0.200 m	0.400 m
N15/N13	Peso propio	N	0.421	0.421	0.421
		Vy	-0.289	-0.289	-0.289
		Vz	0.069	0.072	0.075
		Mt	0.000	0.000	0.000
		My	0.019	0.005	-0.010
		Mz	-0.058	0.000	0.058

Esfuerzos en barras, por hipótesis					
Barra	Hipótesis	Esfuerzo	Posiciones en la barra		
			0.000 m	0.200 m	0.400 m
N13/N11	Peso propio	N	0.140	0.140	0.140
		Vy	-0.286	-0.286	-0.286
		Vz	0.080	0.083	0.085
		Mt	0.000	0.000	0.000
		My	0.026	0.010	-0.007
		Mz	-0.057	0.000	0.057



Esfuerzos en barras, por hipótesis					
Barra	Hipótesis	Esfuerzo	Posiciones en la barra		
			0.000 m	0.200 m	0.400 m
N11/N9	Peso propio	N	-0.140	-0.140	-0.140
		Vy	-0.286	-0.286	-0.286
		Vz	0.090	0.093	0.096
		Mt	0.000	0.000	0.000
		My	0.030	0.012	-0.007
		Mz	-0.057	0.000	0.057

Esfuerzos en barras, por hipótesis					
Barra	Hipótesis	Esfuerzo	Posiciones en la barra		
			0.000 m	0.200 m	0.400 m
N9/N7	Peso propio	N	-0.421	-0.421	-0.421
		Vy	-0.289	-0.289	-0.289
		Vz	0.101	0.104	0.106
		Mt	0.000	0.000	0.000
		My	0.029	0.009	-0.012
		Mz	-0.057	0.000	0.058

Esfuerzos en barras, por hipótesis					
Barra	Hipótesis	Esfuerzo	Posiciones en la barra		
			0.000 m	0.200 m	0.400 m
N7/N5	Peso propio	N	-0.701	-0.701	-0.701
		Vy	-0.291	-0.291	-0.291
		Vz	0.113	0.115	0.118
		Mt	0.000	0.000	0.000
		My	0.024	0.001	-0.022
		Mz	-0.056	0.002	0.060

Esfuerzos en barras, por hipótesis					
Barra	Hipótesis	Esfuerzo	Posiciones en la barra		
			0.000 m	0.200 m	0.400 m
N5/N3	Peso propio	N	-0.981	-0.981	-0.981
		Vy	-0.203	-0.203	-0.203
		Vz	0.116	0.118	0.121
		Mt	0.000	0.000	0.000
		My	0.014	-0.009	-0.033
		Mz	-0.054	-0.013	0.028



Esfuerzos en barras, por hipótesis										
Barra	Hipótesis	Esfuerzo	Posiciones en la barra							
			0.000 m	0.400 m	0.800 m	1.200 m	1.600 m	2.000 m	2.400 m	2.800 m
N20/N 19	Peso propio	N	0.000	0.000	0.000	0.000	0.000	0.000	0.000	0.000
		Vy	0.000	0.000	0.000	0.000	0.000	0.000	0.000	0.000
		Vz	-0.010	-0.007	-0.005	-0.002	0.000	0.002	0.005	0.007
		Mt	0.000	0.000	0.000	0.000	0.000	0.000	0.000	0.000
		My	-0.005	-0.002	0.001	0.002	0.003	0.002	0.001	-0.002
		Mz	0.000	0.000	0.000	0.000	0.000	0.000	0.000	0.000

Esfuerzos en barras, por hipótesis										
Barra	Hipótesis	Esfuerzo	Posiciones en la barra							
			0.000 m	0.400 m	0.800 m	1.200 m	1.600 m	2.000 m	2.400 m	2.800 m
N22/N 21	Peso propio	N	0.000	0.000	0.000	0.000	0.000	0.000	0.000	0.000
		Vy	0.000	0.000	0.000	0.000	0.000	0.000	0.000	0.000
		Vz	-0.010	-0.007	-0.005	-0.002	0.000	0.002	0.005	0.007
		Mt	0.000	0.000	0.000	0.000	0.000	0.000	0.000	0.000
		My	-0.005	-0.002	0.001	0.002	0.003	0.002	0.001	-0.002
		Mz	0.000	0.000	0.000	0.000	0.000	0.000	0.000	0.000

Esfuerzos en barras, por hipótesis										
Barra	Hipótesis	Esfuerzo	Posiciones en la barra							
			0.000 m	0.400 m	0.800 m	1.200 m	1.600 m	2.000 m	2.400 m	2.800 m
N24/N 23	Peso propio	N	0.000	0.000	0.000	0.000	0.000	0.000	0.000	0.000
		Vy	0.000	0.000	0.000	0.000	0.000	0.000	0.000	0.000
		Vz	-0.010	-0.007	-0.005	-0.002	0.000	0.002	0.005	0.007
		Mt	0.000	0.000	0.000	0.000	0.000	0.000	0.000	0.000
		My	-0.005	-0.002	0.001	0.002	0.003	0.002	0.001	-0.002
		Mz	0.000	0.000	0.000	0.000	0.000	0.000	0.000	0.000

Esfuerzos en barras, por hipótesis										
Barra	Hipótesis	Esfuerzo	Posiciones en la barra							
			0.000 m	0.400 m	0.800 m	1.200 m	1.600 m	2.000 m	2.400 m	2.800 m
N26/N 25	Peso propio	N	0.000	0.000	0.000	0.000	0.000	0.000	0.000	0.000



Esfuerzos en barras, por hipótesis										
Barra	Hipótesis	Esfuerzo	Posiciones en la barra							
			0.000 m	0.400 m	0.800 m	1.200 m	1.600 m	2.000 m	2.400 m	2.800 m
		Vy	0.000	0.000	0.000	0.000	0.000	0.000	0.000	0.000
		Vz	-0.010	-0.007	-0.005	-0.002	0.000	0.002	0.005	0.007
		Mt	0.000	0.000	0.000	0.000	0.000	0.000	0.000	0.000
		My	-0.005	-0.002	0.001	0.002	0.003	0.002	0.001	-0.002
		Mz	0.000	0.000	0.000	0.000	0.000	0.000	0.000	0.000

Esfuerzos en barras, por hipótesis										
Barra	Hipótesis	Esfuerzo	Posiciones en la barra							
			0.000 m	0.400 m	0.800 m	1.200 m	1.600 m	2.000 m	2.400 m	2.800 m
N28/N27	Peso propio	N	0.000	0.000	0.000	0.000	0.000	0.000	0.000	0.000
		Vy	0.000	0.000	0.000	0.000	0.000	0.000	0.000	0.000
		Vz	-0.010	-0.007	-0.005	-0.002	0.000	0.002	0.005	0.007
		Mt	0.000	0.000	0.000	0.000	0.000	0.000	0.000	0.000
		My	-0.005	-0.002	0.001	0.002	0.003	0.002	0.001	-0.002
		Mz	0.000	0.000	0.000	0.000	0.000	0.000	0.000	0.000

Esfuerzos en barras, por hipótesis					
Barra	Hipótesis	Esfuerzo	Posiciones en la barra		
			0.000 m	0.150 m	0.300 m
N1/N28	Peso propio	N	0.000	0.000	0.000
		Vy	-0.001	0.000	0.001
		Vz	0.000	0.000	0.000
		Mt	0.000	0.000	0.000
		My	0.000	0.000	0.000
		Mz	0.000	0.000	0.000

Esfuerzos en barras, por hipótesis					
Barra	Hipótesis	Esfuerzo	Posiciones en la barra		
			0.000 m	0.150 m	0.300 m
N28/N26	Peso propio	N	0.000	0.000	0.000
		Vy	-0.001	0.000	0.001
		Vz	0.000	0.000	0.000
		Mt	0.000	0.000	0.000
		My	0.000	0.000	0.000
		Mz	0.000	0.000	0.000



Esfuerzos en barras, por hipótesis					
Barra	Hipótesis	Esfuerzo	Posiciones en la barra		
			0.000 m	0.150 m	0.300 m
N26/N24	Peso propio	N	0.000	0.000	0.000
		Vy	-0.001	0.000	0.001
		Vz	0.000	0.000	0.000
		Mt	0.000	0.000	0.000
		My	0.000	0.000	0.000
		Mz	0.000	0.000	0.000

Esfuerzos en barras, por hipótesis					
Barra	Hipótesis	Esfuerzo	Posiciones en la barra		
			0.000 m	0.150 m	0.300 m
N24/N22	Peso propio	N	0.000	0.000	0.000
		Vy	-0.001	0.000	0.001
		Vz	0.000	0.000	0.000
		Mt	0.000	0.000	0.000
		My	0.000	0.000	0.000
		Mz	0.000	0.000	0.000

Esfuerzos en barras, por hipótesis					
Barra	Hipótesis	Esfuerzo	Posiciones en la barra		
			0.000 m	0.150 m	0.300 m
N22/N20	Peso propio	N	0.000	0.000	0.000
		Vy	-0.001	0.000	0.001
		Vz	0.000	0.000	0.000
		Mt	0.000	0.000	0.000
		My	0.000	0.000	0.000
		Mz	0.000	0.000	0.000

Esfuerzos en barras, por hipótesis					
Barra	Hipótesis	Esfuerzo	Posiciones en la barra		
			0.000 m	0.100 m	0.200 m
N20/N29	Peso propio	N	0.000	0.000	0.000
		Vy	-0.001	0.000	0.001
		Vz	0.000	0.000	0.000
		Mt	0.000	0.000	0.000
		My	0.000	0.000	0.000
		Mz	0.000	0.000	0.000



Esfuerzos en barras, por hipótesis						
Barra	Hipótesis	Esfuerzo	Posiciones en la barra			
			0.000 m	0.100 m	0.200 m	
N29/N18	Peso propio	N	0.000	0.000	0.000	
		Vy	-0.001	0.000	0.001	
		Vz	0.000	0.000	0.000	
		Mt	0.000	0.000	0.000	
		My	0.000	0.000	0.000	
		Mz	0.000	0.000	0.000	

Esfuerzos en barras, por hipótesis										
Barra	Hipótesis	Esfuerzo	Posiciones en la barra							
			0.000 m	0.400 m	0.800 m	1.200 m	1.600 m	2.000 m	2.400 m	2.800 m
N29/N30	Peso propio	N	0.000	0.000	0.000	0.000	0.000	0.000	0.000	0.000
		Vy	0.000	0.000	0.000	0.000	0.000	0.000	0.000	0.000
		Vz	-0.010	-0.007	-0.005	-0.002	0.000	0.002	0.005	0.007
		Mt	0.000	0.000	0.000	0.000	0.000	0.000	0.000	0.000
		My	-0.005	-0.002	0.001	0.002	0.003	0.002	0.001	-0.002
		Mz	0.000	0.000	0.000	0.000	0.000	0.000	0.000	0.000

2.3.2.1.2.- Combinaciones

Esfuerzos en barras, por combinación						
Barra	Combinación		Esfuerzo	Posiciones en la barra		
	Tipo	Descripción		0.000 m	0.200 m	0.400 m
N1/N16	Acero laminado	1.4-PP	N	0.000	0.000	0.000
			Vy	0.000	0.000	0.000
			Vz	0.002	0.000	-0.002
			Mt	0.000	0.000	0.000
			My	0.000	0.000	0.000
			Mz	0.000	0.000	0.000
			N	0.000	0.000	0.000
			Vy	0.000	0.000	0.000
			Vz	0.002	0.000	-0.002
		1.2-PP	Mt	0.000	0.000	0.000
			My	0.000	0.000	0.000
			Mz	0.000	0.000	0.000
	0.9-PP	0.9-PP	N	0.000	0.000	0.000
			Vy	0.000	0.000	0.000
			Vz	0.002	0.000	-0.002



Esfuerzos en barras, por combinación						
Barra	Combinación		Esfuerzo	Posiciones en la barra		
	Tipo	Descripción		0.000 m	0.200 m	0.400 m
			Mt	0.000	0.000	0.000
			My	0.000	0.000	0.000
			Mz	0.000	0.000	0.000

Esfuerzos en barras, por combinación						
Barra	Combinación		Esfuerzo	Posiciones en la barra		
	Tipo	Descripción		0.000 m	0.200 m	0.400 m
N16/N14	Acero laminado	1.4·PP	N	0.000	0.000	0.000
			Vy	0.000	0.000	0.000
			Vz	0.002	0.000	-0.002
			Mt	0.000	0.000	0.000
			My	0.000	0.000	0.000
			Mz	0.000	0.000	0.000
	1.2·PP		N	0.000	0.000	0.000
			Vy	0.000	0.000	0.000
			Vz	0.002	0.000	-0.002
	0.9·PP		Mt	0.000	0.000	0.000
			My	0.000	0.000	0.000
			Mz	0.000	0.000	0.000

Esfuerzos en barras, por combinación						
Barra	Combinación		Esfuerzo	Posiciones en la barra		
	Tipo	Descripción		0.000 m	0.200 m	0.400 m
N14/N12	Acero laminado	1.4·PP	N	0.000	0.000	0.000
			Vy	0.000	0.000	0.000
			Vz	0.002	0.000	-0.002
			Mt	0.000	0.000	0.000
			My	0.000	0.000	0.000
			Mz	0.000	0.000	0.000
	1.2·PP		N	0.000	0.000	0.000
			Vy	0.000	0.000	0.000
			Vz	0.002	0.000	-0.002



Esfuerzos en barras, por combinación						
Barra	Combinación		Esfuerzo	Posiciones en la barra		
	Tipo	Descripción		0.000 m	0.200 m	0.400 m
			Mt	0.000	0.000	0.000
			My	0.000	0.000	0.000
			Mz	0.000	0.000	0.000
			0.9·PP	N	0.000	0.000
				Vy	0.000	0.000
				Vz	0.002	0.000
			Mt	0.000	0.000	0.000
			My	0.000	0.000	0.000
			Mz	0.000	0.000	0.000

Esfuerzos en barras, por combinación						
Barra	Combinación		Esfuerzo	Posiciones en la barra		
	Tipo	Descripción		0.000 m	0.200 m	0.400 m
N12/N10	Acero laminado	1.4·PP	N	0.000	0.000	0.000
			Vy	0.000	0.000	0.000
			Vz	0.002	0.000	-0.002
			Mt	0.000	0.000	0.000
			My	0.000	0.000	0.000
			Mz	0.000	0.000	0.000
	1.2·PP		N	0.000	0.000	0.000
			Vy	0.000	0.000	0.000
			Vz	0.002	0.000	-0.002
			Mt	0.000	0.000	0.000
			My	0.000	0.000	0.000
			Mz	0.000	0.000	0.000
	0.9·PP		N	0.000	0.000	0.000
			Vy	0.000	0.000	0.000
			Vz	0.002	0.000	-0.002
			Mt	0.000	0.000	0.000
			My	0.000	0.000	0.000
			Mz	0.000	0.000	0.000

Esfuerzos en barras, por combinación						
Barra	Combinación		Esfuerzo	Posiciones en la barra		
	Tipo	Descripción		0.000 m	0.200 m	0.400 m
N10/N8	Acero laminado	1.4·PP	N	0.000	0.000	0.000
			Vy	0.000	0.000	0.000
			Vz	0.002	0.000	-0.002



Barra	Combinación		Esfuerzo	Posiciones en la barra		
	Tipo	Descripción		0.000 m	0.200 m	0.400 m
			Mt	0.000	0.000	0.000
			My	0.000	0.000	0.000
			Mz	0.000	0.000	0.000
		1.2·PP	N	0.000	0.000	0.000
			Vy	0.000	0.000	0.000
			Vz	0.002	0.000	-0.002
		0.9·PP	Mt	0.000	0.000	0.000
			My	0.000	0.000	0.000
			Mz	0.000	0.000	0.000
		0.9·PP	N	0.000	0.000	0.000
			Vy	0.000	0.000	0.000
			Vz	0.002	0.000	-0.002

Barra	Combinación		Esfuerzo	Posiciones en la barra		
	Tipo	Descripción		0.000 m	0.200 m	0.400 m
N8/N6	Acero laminado	1.4·PP	N	0.000	0.000	0.000
			Vy	0.000	0.000	0.000
			Vz	0.002	0.000	-0.002
		1.2·PP	Mt	0.000	0.000	0.000
			My	0.000	0.000	0.000
			Mz	0.000	0.000	0.000
	0.9·PP	1.2·PP	N	0.000	0.000	0.000
			Vy	0.000	0.000	0.000
			Vz	0.002	0.000	-0.002
		0.9·PP	Mt	0.000	0.000	0.000
			My	0.000	0.000	0.000
			Mz	0.000	0.000	0.000

Esfuerzos en barras, por combinaciòn						
Barra	Combinaciòn		Esfuerzo	Posiciones en la barra		
	Tipo	Descripción		0.000 m	0.200 m	0.400 m
N6/N4	Acero laminado	1.4-PP	N	0.000	0.000	0.000
			Vy	0.000	0.000	0.000
			Vz	0.002	0.000	-0.002
			Mt	0.000	0.000	0.000
			My	0.000	0.000	0.000
			Mz	0.000	0.000	0.000
	1.2-PP	1.2-PP	N	0.000	0.000	0.000
			Vy	0.000	0.000	0.000
			Vz	0.002	0.000	-0.002
	0.9-PP	0.9-PP	Mt	0.000	0.000	0.000
			My	0.000	0.000	0.000
			Mz	0.000	0.000	0.000

Esfuerzos en barras, por combinaciòn						
Barra	Combinaciòn		Esfuerzo	Posiciones en la barra		
	Tipo	Descripción		0.000 m	0.200 m	0.400 m
N4/N2	Acero laminado	1.4-PP	N	0.000	0.000	0.000
			Vy	0.000	0.000	0.000
			Vz	0.002	0.000	-0.002
			Mt	0.000	0.000	0.000
			My	0.000	0.000	0.000
			Mz	0.000	0.000	0.000
	1.2-PP	1.2-PP	N	0.000	0.000	0.000
			Vy	0.000	0.000	0.000
			Vz	0.002	0.000	-0.002
	0.9-PP	0.9-PP	Mt	0.000	0.000	0.000
			My	0.000	0.000	0.000
			Mz	0.000	0.000	0.000

Esfuerzos en barras, por combinación						
Barra	Combinación		Esfuerzo	Posiciones en la barra		
	Tipo	Descripción		0.000 m	0.200 m	0.400 m
			My	0.000	0.000	0.000
			Mz	0.000	0.000	0.000

Esfuerzos en barras, por combinación						
Barra	Combinación		Esfuerzo	Posiciones en la barra		
	Tipo	Descripción		0.000 m	0.150 m	0.300 m
N2/N27	Acero laminado	1.4·PP	N	0.000	0.000	0.000
			Vy	0.000	0.000	0.000
			Vz	0.002	0.000	-0.002
			Mt	0.000	0.000	0.000
			My	0.000	0.000	0.000
			Mz	0.000	0.000	0.000
	1.2·PP		N	0.000	0.000	0.000
			Vy	0.000	0.000	0.000
			Vz	0.002	0.000	-0.002
	0.9·PP		Mt	0.000	0.000	0.000
			My	0.000	0.000	0.000
			Mz	0.000	0.000	0.000

Esfuerzos en barras, por combinación						
Barra	Combinación		Esfuerzo	Posiciones en la barra		
	Tipo	Descripción		0.000 m	0.150 m	0.300 m
N27/N25	Acero laminado	1.4·PP	N	0.000	0.000	0.000
			Vy	0.000	0.000	0.000
			Vz	0.002	0.000	-0.002
			Mt	0.000	0.000	0.000
			My	0.000	0.000	0.000
			Mz	0.000	0.000	0.000
	1.2·PP		N	0.000	0.000	0.000
			Vy	0.000	0.000	0.000
			Vz	0.002	0.000	-0.002
	0.9·PP		Mt	0.000	0.000	0.000



Esfuerzos en barras, por combinación						
Barra	Combinación		Esfuerzo	Posiciones en la barra		
	Tipo	Descripción		0.000 m	0.150 m	0.300 m
			My	0.000	0.000	0.000
			Mz	0.000	0.000	0.000
		0.9·PP	N	0.000	0.000	0.000
			Vy	0.000	0.000	0.000
			Vz	0.001	0.000	-0.001
			Mt	0.000	0.000	0.000
			My	0.000	0.000	0.000
			Mz	0.000	0.000	0.000

Esfuerzos en barras, por combinación						
Barra	Combinación		Esfuerzo	Posiciones en la barra		
	Tipo	Descripción		0.000 m	0.150 m	0.300 m
N25/N23	Acero laminado	1.4·PP	N	0.000	0.000	0.000
			Vy	0.000	0.000	0.000
			Vz	0.002	0.000	-0.002
			Mt	0.000	0.000	0.000
			My	0.000	0.000	0.000
			Mz	0.000	0.000	0.000
		1.2·PP	N	0.000	0.000	0.000
			Vy	0.000	0.000	0.000
			Vz	0.002	0.000	-0.002
			Mt	0.000	0.000	0.000
			My	0.000	0.000	0.000
			Mz	0.000	0.000	0.000
		0.9·PP	N	0.000	0.000	0.000
			Vy	0.000	0.000	0.000
			Vz	0.001	0.000	-0.001
			Mt	0.000	0.000	0.000
			My	0.000	0.000	0.000
			Mz	0.000	0.000	0.000

Esfuerzos en barras, por combinación						
Barra	Combinación		Esfuerzo	Posiciones en la barra		
	Tipo	Descripción		0.000 m	0.150 m	0.300 m
N23/N21	Acero laminado	1.4·PP	N	0.000	0.000	0.000
			Vy	0.000	0.000	0.000
			Vz	0.002	0.000	-0.002
			Mt	0.000	0.000	0.000



Barra	Combinación		Esfuerzo	Posiciones en la barra		
	Tipo	Descripción		0.000 m	0.150 m	0.300 m
			My	0.000	0.000	0.000
			Mz	0.000	0.000	0.000
		1.2·PP	N	0.000	0.000	0.000
			Vy	0.000	0.000	0.000
			Vz	0.002	0.000	-0.002
			Mt	0.000	0.000	0.000
		0.9·PP	My	0.000	0.000	0.000
			Mz	0.000	0.000	0.000
			N	0.000	0.000	0.000
			Vy	0.000	0.000	0.000
			Vz	0.001	0.000	-0.001
			Mt	0.000	0.000	0.000
			My	0.000	0.000	0.000
			Mz	0.000	0.000	0.000

Barra	Combinación		Esfuerzo	Posiciones en la barra		
	Tipo	Descripción		0.000 m	0.150 m	0.300 m
N21/N19	Acero laminado	1.4·PP	N	0.000	0.000	0.000
			Vy	0.000	0.000	0.000
			Vz	0.002	0.000	-0.002
			Mt	0.000	0.000	0.000
			My	0.000	0.000	0.000
			Mz	0.000	0.000	0.000
	0.9·PP		N	0.000	0.000	0.000
			Vy	0.000	0.000	0.000
			Vz	0.002	0.000	-0.002
			Mt	0.000	0.000	0.000
			My	0.000	0.000	0.000
			Mz	0.000	0.000	0.000

Esfuerzos en barras, por combinaciòn						
Barra	Combinaciòn		Esfuerzo	Posiciones en la barra		
	Tipo	Descripción		0.000 m	0.100 m	0.200 m
N19/N30	Acero laminado	1.4-PP	N	0.000	0.000	0.000
			Vy	0.000	0.000	0.000
			Vz	0.001	0.000	-0.001
			Mt	0.000	0.000	0.000
			My	0.000	0.000	0.000
			Mz	0.000	0.000	0.000
	1.2-PP		N	0.000	0.000	0.000
			Vy	0.000	0.000	0.000
			Vz	0.001	0.000	-0.001
	0.9-PP		Mt	0.000	0.000	0.000
			My	0.000	0.000	0.000
			Mz	0.000	0.000	0.000

Esfuerzos en barras, por combinaciòn						
Barra	Combinaciòn		Esfuerzo	Posiciones en la barra		
	Tipo	Descripción		0.000 m	0.100 m	0.200 m
N30/N3	Acero laminado	1.4-PP	N	0.000	0.000	0.000
			Vy	0.000	0.000	0.000
			Vz	0.001	0.000	-0.001
			Mt	0.000	0.000	0.000
			My	0.000	0.000	0.000
			Mz	0.000	0.000	0.000
	1.2-PP		N	0.000	0.000	0.000
			Vy	0.000	0.000	0.000
			Vz	0.001	0.000	-0.001
	0.9-PP		Mt	0.000	0.000	0.000
			My	0.000	0.000	0.000
			Mz	0.000	0.000	0.000

Esfuerzos en barras, por combinación						
Barra	Combinación		Esfuerzo	Posiciones en la barra		
	Tipo	Descripción		0.000 m	0.100 m	0.200 m
			My	0.000	0.000	0.000
			Mz	0.000	0.000	0.000

Barr a	Combinación		Esfuerzo	Posiciones en la barra									
	Tipo	Descripc ión		0.000 m	0.190 m	0.380 m	0.760 m	0.950 m	1.140 m	1.520 m	1.710 m	1.900 m	
N4/ N5	Acero laminado	1.4·PP	N	0.124	0.124	0.124	0.124	0.124	0.124	0.124	0.124	0.124	
			Vy	- 0.938	- 0.686	- 0.460	- 0.087	0.059	0.179	0.338	0.378	0.392	
			Vz	- 0.030	- 0.028	- 0.025	- 0.019	0.017	0.014	0.008	0.006	0.003	
			Mt	0.000	0.000	0.000	0.000	0.000	0.000	0.000	0.000	0.000	
			My	- 0.016	- 0.010	- 0.005	- 0.003	0.007	0.010	0.014	0.015	0.016	
			Mz	- 0.257	- 0.103	- 0.005	- 0.105	0.108	0.085	- 0.017	0.086	0.159	
	1.2·PP		N	0.106	0.106	0.106	0.106	0.106	0.106	0.106	0.106	0.106	
			Vy	- 0.804	- 0.588	- 0.394	- 0.075	0.051	0.153	0.290	0.324	0.336	
			Vz	- 0.026	- 0.024	- 0.021	- 0.017	0.014	0.012	0.007	0.005	0.003	
			Mt	0.000	0.000	0.000	0.000	0.000	0.000	0.000	0.000	0.000	
			My	- 0.014	- 0.009	- 0.005	- 0.003	0.006	0.008	0.012	0.013	0.014	
			Mz	- 0.221	- 0.089	- 0.004	- 0.090	0.092	0.073	- 0.015	0.073	0.136	
	0.9·PP		N	0.080	0.080	0.080	0.080	0.080	0.080	0.080	0.080	0.080	
			Vy	- 0.603	- 0.441	- 0.295	- 0.056	0.038	0.115	0.218	0.243	0.252	
			Vz	- 0.020	- 0.018	- 0.016	- 0.013	0.011	0.009	0.005	0.004	0.002	
			Mt	0.000	0.000	0.000	0.000	0.000	0.000	0.000	0.000	0.000	
			My	- 0.010	- 0.007	- 0.003	- 0.002	0.004	0.006	0.009	0.010	0.010	
			Mz	- 0.165	- 0.067	- 0.003	- 0.068	0.069	0.054	- 0.011	0.055	0.102	



Esfuerzos en barras, por combinación												
Barr a	Combinación		Esfuer zo	Posiciones en la barra								
	Tipo	Descripc ión		0.000 m	0.190 m	0.380 m	0.760 m	0.950 m	1.140 m	1.520 m	1.710 m	1.900 m
N6/ N7	Acero laminado	1.4-PP	N	- 0.003	- 0.003	- 0.003	- 0.003	- 0.003	- 0.003	- 0.003	- 0.003	
			Vy	- 0.937	- 0.685	- 0.459	- 0.086	0.060	0.180	0.339	0.379	0.393
			Vz	- 0.019	- 0.016	- 0.013	- 0.008	0.005	0.002	0.003	0.006	0.009
			Mt	0.000	0.000	0.000	0.000	0.000	0.000	0.000	0.000	0.000
			My	- 0.010	- 0.007	- 0.004	0.000	0.001	0.002	0.002	0.001	0.000
			Mz	- 0.257	- 0.103	- 0.005	0.105	0.107	0.084	- 0.018	- 0.087	- 0.160
	1.2-PP	1.2-PP	N	- 0.003	- 0.003	- 0.003	- 0.003	- 0.003	- 0.003	- 0.003	- 0.003	
			Vy	- 0.803	- 0.587	- 0.393	- 0.074	0.052	0.154	0.291	0.325	0.337
			Vz	- 0.016	- 0.014	- 0.012	- 0.007	0.004	0.002	0.003	0.005	0.007
			Mt	0.000	0.000	0.000	0.000	0.000	0.000	0.000	0.000	0.000
			My	- 0.009	- 0.006	- 0.003	0.000	0.001	0.002	0.002	0.001	0.000
			Mz	- 0.220	- 0.088	- 0.004	0.090	0.092	0.072	- 0.015	- 0.074	- 0.137
	0.9-PP	0.9-PP	N	- 0.002	- 0.002	- 0.002	- 0.002	- 0.002	- 0.002	- 0.002	- 0.002	
			Vy	- 0.603	- 0.440	- 0.295	- 0.055	0.039	0.116	0.218	0.244	0.252
			Vz	- 0.012	- 0.010	- 0.009	- 0.005	- 0.003	- 0.002	0.002	0.004	0.006
			Mt	0.000	0.000	0.000	0.000	0.000	0.000	0.000	0.000	0.000
			My	- 0.007	- 0.004	- 0.003	0.000	0.001	0.001	0.001	0.001	0.000
			Mz	- 0.165	- 0.066	- 0.003	0.068	0.069	0.054	- 0.012	- 0.056	- 0.103

Barr a	Combinación		Esfuerzo	Posiciones en la barra									
	Tipo	Descripción		0.000 m	0.190 m	0.380 m	0.760 m	0.950 m	1.140 m	1.520 m	1.710 m	1.900 m	
				Vy	- 0.937	- 0.685	- 0.458	- 0.086	0.060	0.180	0.340	0.379	0.393
			Vz	- 0.020	- 0.017	- 0.014	- 0.009	- 0.006	- 0.003	- 0.002	- 0.005	- 0.008	
			Mt	0.000	0.000	0.000	0.000	0.000	0.000	0.000	0.000	0.000	0.000
			My	- 0.012	- 0.008	- 0.005	- 0.001	- 0.001	- 0.001	- 0.001	- 0.001	- 0.001	0.000
			Mz	- 0.257	- 0.103	- 0.005	- 0.105	- 0.107	- 0.084	- 0.018	- 0.087	- 0.161	
			1.2·PP	N	- 0.003	0.003							
			Vy	- 0.803	- 0.587	- 0.393	- 0.074	- 0.052	- 0.154	- 0.291	- 0.325	- 0.337	
			Vz	- 0.017	- 0.014	- 0.012	- 0.007	- 0.005	- 0.003	- 0.002	- 0.004	- 0.007	
			Mt	0.000	0.000	0.000	0.000	0.000	0.000	0.000	0.000	0.000	0.000
			My	- 0.010	- 0.007	- 0.004	- 0.001	- 0.000	- 0.001	- 0.001	- 0.001	- 0.001	0.000
			Mz	- 0.220	- 0.088	- 0.004	- 0.090	- 0.092	- 0.072	- 0.015	- 0.074	- 0.138	
			0.9·PP	N	- 0.002	0.002							
			Vy	- 0.603	- 0.440	- 0.295	- 0.055	- 0.039	- 0.116	- 0.218	- 0.244	- 0.252	
			Vz	- 0.013	- 0.011	- 0.009	- 0.006	- 0.004	- 0.002	- 0.002	- 0.003	- 0.005	
			Mt	0.000	0.000	0.000	0.000	0.000	0.000	0.000	0.000	0.000	0.000
			My	- 0.007	- 0.005	- 0.003	- 0.001	- 0.000	- 0.001	- 0.001	- 0.000	- 0.000	0.000
			Mz	- 0.165	- 0.066	- 0.003	- 0.068	- 0.069	- 0.054	- 0.012	- 0.056	- 0.103	

Barra	Combinación		Esfuerzo	Posiciones en la barra									
	Tipo	Descripción		0.000 m	0.190 m	0.380 m	0.760 m	0.950 m	1.140 m	1.520 m	1.710 m	1.900 m	
				N	0.000	0.000	0.000	0.000	0.000	0.000	0.000	0.000	
N10/N 11	Acero laminado	1.4·PP		Vy	- 0.937	- 0.685	- 0.459	- 0.086	- 0.060	- 0.180	- 0.339	- 0.379	0.393

Esfuerzos en barras, por combinación													
Barra	Combinación		Esfuerzo	Posiciones en la barra									
	Tipo	Descripción		0.000 m	0.190 m	0.380 m	0.760 m	0.950 m	1.140 m	1.520 m	1.710 m		
			Vz	-	-	-	-	-	-	0.002	0.005	0.007	
			0.020	0.017	0.015	0.009	0.006	0.004	0.004	0.002	0.005	0.007	
			Mt	0.000	0.000	0.000	0.000	0.000	0.000	0.000	0.000	0.000	
			My	-	-	-	-	0.001	0.001	0.002	0.001	0.000	
		1.2·PP	Mz	-	-	0.005	0.105	0.107	0.084	-	-	-	
			0.257	0.103	0.005	0.105	0.107	0.084	0.018	0.087	0.161		
			N	0.000	0.000	0.000	0.000	0.000	0.000	0.000	0.000	0.000	
			Vy	-	-	-	-	0.052	0.154	0.291	0.325	0.337	
			Vz	0.017	0.015	0.013	0.008	0.005	0.003	0.002	0.004	0.006	
			Mt	0.000	0.000	0.000	0.000	0.000	0.000	0.000	0.000	0.000	
		0.9·PP	My	-	-	-	-	0.000	0.001	0.002	0.001	0.000	
			Mz	-	-	0.004	0.090	0.092	0.072	-	0.015	0.074	0.138
			N	0.000	0.000	0.000	0.000	0.000	0.000	0.000	0.000	0.000	
			Vy	-	-	-	-	0.039	0.116	0.218	0.244	0.252	
			Vz	0.013	0.011	0.009	0.006	0.004	0.002	0.001	0.003	0.005	
			Mt	0.000	0.000	0.000	0.000	0.000	0.000	0.000	0.000	0.000	
		N12/N 13	My	-	-	-	-	0.000	0.001	0.001	0.001	0.000	
			Mz	-	-	0.003	0.068	0.069	0.054	-	0.012	0.056	0.103

Esfuerzos en barras, por combinación												
Barra	Combinación		Esfuerzo	Posiciones en la barra								
	Tipo	Descripción		0.000 m	0.190 m	0.380 m	0.760 m	0.950 m	1.140 m	1.520 m	1.710 m	
	Acero laminado	1.4·PP	N	0.004	0.004	0.004	0.004	0.004	0.004	0.004	0.004	0.004
			Vy	-	-	-	-	0.060	0.180	0.339	0.379	0.393
			Vz	0.937	0.685	0.459	0.086	-	-	-	-	-
			Mt	0.020	0.017	0.015	0.009	0.006	0.003	0.002	0.005	0.008
			My	0.000	0.000	0.000	0.000	0.000	0.000	0.000	0.000	0.000
			Mz	0.011	0.008	0.005	0.000	0.001	0.002	0.002	0.002	0.001

Esfuerzos en barras, por combinación												
Barra	Combinación		Esfuerzo	Posiciones en la barra								
	Tipo	Descripción		0.000 m	0.190 m	0.380 m	0.760 m	0.950 m	1.140 m	1.520 m	1.710 m	
			Mz	- 0.257	- 0.103	0.005	0.105	0.107	0.084	- 0.018	- 0.087	0.161
			1.2·PP	N 0.004	Vy 0.803	0.004 0.587	0.004 0.393	0.004 0.074	0.004 0.052	0.004 0.154	0.004 0.291	0.004 0.325
		Vz 0.017	- 0.015	- 0.012	- 0.008	- 0.005	- 0.003	- 0.002	- 0.002	0.004 0.004	0.006 0.006	
		Mt 0.000	0.000	0.000	0.000	0.000	0.000	0.000	0.000	0.000 0.000	0.000 0.000	
		My 0.010	- 0.007	- 0.004	0.000	0.001	0.002	0.002	0.002	0.001 0.001	0.000 0.000	
		Mz 0.220	- 0.088	0.004	0.090	0.092	0.072	- 0.016	- 0.074	- 0.138	- 0.138	
		N 0.003	0.003	0.003	0.003	0.003	0.003	0.003	0.003	0.003 0.003	0.003 0.003	
		Vy 0.603	- 0.440	- 0.295	- 0.055	0.039	0.116	0.218	0.244	0.244 0.252	0.252 0.252	
		Vz 0.013	- 0.011	- 0.009	- 0.006	0.004	0.002	- 0.001	0.001	0.003 0.003	0.005 0.005	
		Mt 0.000	0.000	0.000	0.000	0.000	0.000	0.000	0.000	0.000 0.000	0.000 0.000	
		My 0.007	- 0.005	- 0.003	0.000	0.001	0.001	0.002	0.002	0.001 0.001	0.000 0.000	
		Mz 0.165	- 0.066	0.003	0.068	0.069	0.054	- 0.012	- 0.056	- 0.103	- 0.103	

Esfuerzos en barras, por combinación											
Barra	Combinación		Esfuerzo	Posiciones en la barra							
	Tipo	Descripción		0.000 m	0.190 m	0.380 m	0.760 m	0.950 m	1.140 m	1.520 m	1.710 m
N14/N15	Acero laminado	1.4·PP	N 0.005	0.005	0.005	0.005	0.005	0.005	0.005	0.005	0.005
			Vy 0.937	- 0.685	- 0.459	- 0.086	0.060	0.180	0.339	0.379	0.393
			Vz 0.019	- 0.016	- 0.014	- 0.008	0.005	0.003	- 0.003	0.006	0.009
			Mt 0.000	0.000	0.000	0.000	0.000	0.000	0.000	0.000	0.000
			My 0.009	- 0.006	- 0.003	0.001	0.002	0.003	0.003	0.002	0.001
			Mz 0.257	- 0.103	0.005	0.105	0.107	0.084	- 0.018	- 0.087	- 0.160
		1.2·PP	N 0.004	0.004	0.004	0.004	0.004	0.004	0.004	0.004	0.004
			Vy 0.804	- 0.587	- 0.393	- 0.074	0.051	0.154	0.291	0.325	0.336

Esfuerzos en barras, por combinación												
Barra	Combinación		Esfuerzo	Posiciones en la barra								
	Tipo	Descripción		0.000 m	0.190 m	0.380 m	0.760 m	0.950 m	1.140 m	1.520 m	1.710 m	
			Vz	-	-	-	-	-	-	0.003	0.005	0.007
			0.016	0.014	0.012	0.007	0.005	0.002	0.003	0.005	0.007	
			Mt	0.000	0.000	0.000	0.000	0.000	0.000	0.000	0.000	0.000
			My	-	-	-	0.001	0.002	0.002	0.002	0.002	0.000
		0.9·PP	Mz	-	-	0.004	0.090	0.092	0.072	-	-	-
			0.220	0.088						0.015	0.074	0.137
			N	0.003	0.003	0.003	0.003	0.003	0.003	0.003	0.003	0.003
			Vy	-	-	-	-	0.039	0.116	0.218	0.244	0.252
			Vz	0.012	0.010	0.009	0.005	0.003	0.002	0.002	0.004	0.005
			Mt	0.000	0.000	0.000	0.000	0.000	0.000	0.000	0.000	0.000
			My	-	-	-	0.001	0.001	0.002	0.002	0.001	0.000
			Mz	-	-	0.003	0.068	0.069	0.054	-	-	-
			0.165	0.066						0.012	0.056	0.103

Esfuerzos en barras, por combinación												
Barra	Combinación		Esfuerzo	Posiciones en la barra								
	Tipo	Descripción		0.000 m	0.190 m	0.380 m	0.760 m	0.950 m	1.140 m	1.520 m	1.710 m	
N16/N 17	Acero laminado	1.4·PP	N	-	-	-	-	-	-	-	-	
			0.131	0.131	0.131	0.131	0.131	0.131	0.131	0.131	0.131	
			Vy	-	-	-	-	0.059	0.179	0.338	0.378	0.391
			0.939	0.686	0.460	0.087						
			Vz	-	-	0.001	0.007	0.009	0.012	0.018	0.020	0.023
			0.004	0.002								
			Mt	0.000	0.000	0.000	0.000	0.000	0.000	0.000	0.000	
			My	0.001	0.001	0.001	0.000	-	-	-	-	
			Mz	-	-	0.005	0.105	0.108	0.085	-	-	
			0.257	0.104						0.017	0.085	0.159
		1.2·PP	N	-	-	-	-	-	-	-	-	
			0.112	0.112	0.112	0.112	0.112	0.112	0.112	0.112	0.112	
			Vy	-	-	-	-	0.051	0.153	0.290	0.324	0.336
			0.804	0.588	0.394	0.075						
			Vz	-	-	0.001	0.006	0.008	0.010	0.015	0.017	0.020
			0.004	0.001								
			Mt	0.000	0.000	0.000	0.000	0.000	0.000	0.000	0.000	

Esfuerzos en barras, por combinación											
Barra	Combinación		Esfuerzo	Posiciones en la barra							
	Tipo	Descripción		0.000 m	0.190 m	0.380 m	0.760 m	0.950 m	1.140 m	1.520 m	1.710 m
			My	0.001	0.001	0.001	0.000	-	0.001	0.003	0.008
			Mz	- 0.221	- 0.089	0.004	0.090	0.092	0.073	- 0.015	0.073
	0.9-PP	N	- 0.084	- 0.084	- 0.084	- 0.084	- 0.084	- 0.084	- 0.084	- 0.084	- 0.084
			Vy	- 0.603	- 0.441	0.296	0.056	0.038	0.115	0.217	0.243
		Vz	- 0.003	- 0.001	0.001	0.004	0.006	0.008	0.011	0.013	0.015
		Mt	0.000	0.000	0.000	0.000	0.000	0.000	0.000	0.000	0.000
		My	0.001	0.001	0.001	0.000	- 0.001	0.002	0.006	0.008	0.011
		Mz	- 0.166	- 0.067	0.003	0.068	0.069	0.054	- 0.011	- 0.055	- 0.102

Esfuerzos en barras, por combinación											
Barra	Combinación		Esfuerzo	Posiciones en la barra							
	Tipo	Descripción		0.000 m	0.200 m	0.400 m					
N18/N17	Acero laminado	1.4-PP	N	1.373	1.373	1.373					
			Vy	-0.279	-0.279	-0.279					
			Vz	0.051	0.055	0.058					
			Mt	0.000	0.000	0.000					
			My	-0.020	-0.030	-0.042					
			Mz	-0.038	0.018	0.074					
	1.2-PP		N	1.177	1.177	1.177					
			Vy	-0.239	-0.239	-0.239					
			Vz	0.044	0.047	0.050					
			Mt	0.000	0.000	0.000					
	0.9-PP		My	-0.017	-0.026	-0.036					
			Mz	-0.032	0.016	0.063					
			N	0.883	0.883	0.883					
			Vy	-0.179	-0.179	-0.179					

Esfuerzos en barras, por combinación						
Barra	Combinación		Esfuerzo	Posiciones en la barra		
	Tipo	Descripción		0.000 m	0.200 m	0.400 m
N17/N15	Acero laminado	1.4·PP	N	0.982	0.982	0.982
			Vy	-0.410	-0.410	-0.410
			Vz	0.081	0.085	0.089
			Mt	0.000	0.000	0.000
			My	0.009	-0.007	-0.025
			Mz	-0.085	-0.003	0.079
	1.2·PP	1.2·PP	N	0.841	0.841	0.841
			Vy	-0.351	-0.351	-0.351
			Vz	0.070	0.073	0.076
	0.9·PP	0.9·PP	Mt	0.000	0.000	0.000
			My	0.008	-0.006	-0.021
			Mz	-0.073	-0.003	0.068
			N	0.631	0.631	0.631
			Vy	-0.264	-0.264	-0.264
			Vz	0.052	0.055	0.057
			Mt	0.000	0.000	0.000
			My	0.006	-0.005	-0.016
			Mz	-0.055	-0.002	0.051

Esfuerzos en barras, por combinación						
Barra	Combinación		Esfuerzo	Posiciones en la barra		
	Tipo	Descripción		0.000 m	0.200 m	0.400 m
N15/N13	Acero laminado	1.4·PP	N	0.589	0.589	0.589
			Vy	-0.405	-0.405	-0.405
			Vz	0.097	0.101	0.104
			Mt	0.000	0.000	0.000
			My	0.026	0.007	-0.014
			Mz	-0.081	0.000	0.081
	1.2·PP	1.2·PP	N	0.505	0.505	0.505
			Vy	-0.347	-0.347	-0.347
			Vz	0.083	0.086	0.089
	0.9·PP	0.9·PP	Mt	0.000	0.000	0.000
			My	0.023	0.006	-0.012
			Mz	-0.070	0.000	0.069
			N	0.379	0.379	0.379
			Vy	-0.260	-0.260	-0.260
			Vz	0.062	0.065	0.067
			Mt	0.000	0.000	0.000

Esfuerzos en barras, por combinación						
Barra	Combinación		Esfuerzo	Posiciones en la barra		
	Tipo	Descripción		0.000 m	0.200 m	0.400 m
			My	0.017	0.004	-0.009
			Mz	-0.052	0.000	0.052

Esfuerzos en barras, por combinación						
Barra	Combinación		Esfuerzo	Posiciones en la barra		
	Tipo	Descripción		0.000 m	0.200 m	0.400 m
N13/N11	Acero laminado	1.4·PP	N	0.196	0.196	0.196
			Vy	-0.401	-0.401	-0.401
			Vz	0.112	0.116	0.119
			Mt	0.000	0.000	0.000
			My	0.037	0.014	-0.009
			Mz	-0.080	0.000	0.080
	1.2·PP		N	0.168	0.168	0.168
			Vy	-0.344	-0.344	-0.344
			Vz	0.096	0.099	0.102
			Mt	0.000	0.000	0.000
			My	0.032	0.012	-0.008
			Mz	-0.069	0.000	0.069
	0.9·PP		N	0.126	0.126	0.126
			Vy	-0.258	-0.258	-0.258
			Vz	0.072	0.074	0.077
			Mt	0.000	0.000	0.000
			My	0.024	0.009	-0.006
			Mz	-0.051	0.000	0.052

Esfuerzos en barras, por combinación						
Barra	Combinación		Esfuerzo	Posiciones en la barra		
	Tipo	Descripción		0.000 m	0.200 m	0.400 m
N11/N9	Acero laminado	1.4·PP	N	-0.196	-0.196	-0.196
			Vy	-0.401	-0.401	-0.401
			Vz	0.127	0.130	0.134
			Mt	0.000	0.000	0.000
			My	0.042	0.016	-0.010
			Mz	-0.080	0.000	0.080
	1.2·PP		N	-0.168	-0.168	-0.168
			Vy	-0.344	-0.344	-0.344
			Vz	0.108	0.112	0.115
			Mt	0.000	0.000	0.000



Esfuerzos en barras, por combinación						
Barra	Combinación		Esfuerzo	Posiciones en la barra		
	Tipo	Descripción		0.000 m	0.200 m	0.400 m
			My	0.036	0.014	-0.009
			Mz	-0.069	0.000	0.069
		0.9-PP	N	-0.126	-0.126	-0.126
			Vy	-0.258	-0.258	-0.258
			Vz	0.081	0.084	0.086
			Mt	0.000	0.000	0.000
			My	0.027	0.010	-0.007
			Mz	-0.051	0.000	0.052

Esfuerzos en barras, por combinación						
Barra	Combinación		Esfuerzo	Posiciones en la barra		
	Tipo	Descripción		0.000 m	0.200 m	0.400 m
N9/N7	Acero laminado	1.4-PP	N	-0.589	-0.589	-0.589
			Vy	-0.405	-0.405	-0.405
			Vz	0.142	0.145	0.149
			Mt	0.000	0.000	0.000
			My	0.041	0.012	-0.017
			Mz	-0.080	0.001	0.082
		1.2-PP	N	-0.505	-0.505	-0.505
			Vy	-0.347	-0.347	-0.347
			Vz	0.121	0.125	0.128
		0.9-PP	Mt	0.000	0.000	0.000
			My	0.035	0.010	-0.015
			Mz	-0.069	0.001	0.070
			N	-0.379	-0.379	-0.379
			Vy	-0.260	-0.260	-0.260
			Vz	0.091	0.093	0.096
			Mt	0.000	0.000	0.000
			My	0.026	0.008	-0.011
			Mz	-0.052	0.000	0.052

Esfuerzos en barras, por combinación						
Barra	Combinación		Esfuerzo	Posiciones en la barra		
	Tipo	Descripción		0.000 m	0.200 m	0.400 m
N7/N5	Acero laminado	1.4-PP	N	-0.982	-0.982	-0.982
			Vy	-0.408	-0.408	-0.408
			Vz	0.158	0.161	0.165
			Mt	0.000	0.000	0.000



Esfuerzos en barras, por combinaciòn						
Barra	Combinaciòn		Esfuerzo	Posiciones en la barra		
	Tipo	Descripción		0.000 m	0.200 m	0.400 m
			My	0.034	0.002	-0.031
			Mz	-0.079	0.003	0.084
		1.2·PP	N	-0.841	-0.841	-0.841
			Vy	-0.349	-0.349	-0.349
			Vz	0.135	0.138	0.141
			Mt	0.000	0.000	0.000
		0.9·PP	My	0.029	0.002	-0.026
			Mz	-0.068	0.002	0.072
			N	-0.631	-0.631	-0.631
		0.9·PP	Vy	-0.262	-0.262	-0.262
			Vz	0.101	0.104	0.106
			Mt	0.000	0.000	0.000
			My	0.022	0.001	-0.020
			Mz	-0.051	0.002	0.054

Esfuerzos en barras, por combinaciòn						
Barra	Combinaciòn		Esfuerzo	Posiciones en la barra		
	Tipo	Descripción		0.000 m	0.200 m	0.400 m
N5/N3	Acero laminado	1.4·PP	N	-1.373	-1.373	-1.373
			Vy	-0.284	-0.284	-0.284
			Vz	0.162	0.165	0.169
			Mt	0.000	0.000	0.000
			My	0.020	-0.012	-0.046
			Mz	-0.075	-0.018	0.039
	0.9·PP	1.2·PP	N	-1.177	-1.177	-1.177
			Vy	-0.243	-0.243	-0.243
			Vz	0.139	0.142	0.145
			Mt	0.000	0.000	0.000
			My	0.017	-0.011	-0.039
			Mz	-0.064	-0.016	0.033

Esfuerzos en barras, por combinaciòn											
Barra	Combinaciòn		Esfuerzo	Posiciones en la barra							
	Tipo	Descripción		0.000 m	0.400 m	0.800 m	1.200 m	1.600 m	2.000 m	2.400 m	3.200 m
N20/N 19	Acero laminado	1.4·PP	N	0.000	0.000	0.000	0.000	0.000	0.000	0.000	0.000
			Vy	0.000	0.000	0.000	0.000	0.000	0.000	0.000	0.000
			Vz	-	-	-	-	0.000	0.003	0.007	0.010
			Mt	0.000	0.000	0.000	0.000	0.000	0.000	0.000	0.000
			My	-	-	0.001	0.003	0.004	0.003	0.001	-
			Mz	0.007	0.002	0.001	0.003	0.004	0.003	0.001	0.002
	1.2·PP		N	0.000	0.000	0.000	0.000	0.000	0.000	0.000	0.000
			Vy	0.000	0.000	0.000	0.000	0.000	0.000	0.000	0.000
			Vz	-	-	-	-	0.000	0.003	0.006	0.009
			Mt	0.000	0.000	0.000	0.000	0.000	0.000	0.000	0.000
			My	-	-	0.001	0.002	0.003	0.002	0.001	-
			Mz	0.006	0.002	0.001	0.002	0.003	0.002	0.001	0.002
	0.9·PP		N	0.000	0.000	0.000	0.000	0.000	0.000	0.000	0.000
			Vy	0.000	0.000	0.000	0.000	0.000	0.000	0.000	0.000
			Vz	-	-	-	-	0.000	0.002	0.004	0.006
			Mt	0.000	0.000	0.000	0.000	0.000	0.000	0.000	0.000
			My	-	-	0.001	0.002	0.003	0.002	0.001	-
			Mz	0.005	0.002	0.001	0.002	0.003	0.002	0.001	0.002

Esfuerzos en barras, por combinaciòn											
Barra	Combinaciòn		Esfuerzo	Posiciones en la barra							
	Tipo	Descripción		0.000 m	0.400 m	0.800 m	1.200 m	1.600 m	2.000 m	2.400 m	3.200 m
N22/N 21	Acero laminado	1.4·PP	N	0.000	0.000	0.000	0.000	0.000	0.000	0.000	0.000
			Vy	0.000	0.000	0.000	0.000	0.000	0.000	0.000	0.000
			Vz	-	-	-	-	0.000	0.003	0.007	0.010
			Mt	0.000	0.000	0.000	0.000	0.000	0.000	0.000	0.000
			My	-	-	0.001	0.003	0.004	0.003	0.001	-
			Mz	0.007	0.002	0.001	0.002	0.003	0.002	0.001	0.002
	1.2·PP		N	0.000	0.000	0.000	0.000	0.000	0.000	0.000	0.000
			Vy	0.000	0.000	0.000	0.000	0.000	0.000	0.000	0.000
			Vz	-	-	-	-	0.000	0.002	0.004	0.006
			Mt	0.000	0.000	0.000	0.000	0.000	0.000	0.000	0.000

Esfuerzos en barras, por combinación													
Barra	Combinación		Esfuerzo	Posiciones en la barra									
	Tipo	Descripción		0.000 m	0.400 m	0.800 m	1.200 m	1.600 m	2.000 m	2.400 m	2.800 m	3.200 m	
			Vy	0.000	0.000	0.000	0.000	0.000	0.000	0.000	0.000		
			Vz	-	-	-	-	0.000	0.003	0.006	0.009		
			Mt	0.000	0.000	0.000	0.000	0.000	0.000	0.000	0.000		
			My	-	0.006	0.002	0.001	0.002	0.003	0.002	0.001	-	
			Mz	0.000	0.000	0.000	0.000	0.000	0.000	0.000	0.000		
		0.9·PP	N	0.000	0.000	0.000	0.000	0.000	0.000	0.000	0.000		
			Vy	0.000	0.000	0.000	0.000	0.000	0.000	0.000	0.000		
			Vz	-	0.009	0.006	0.004	0.002	0.000	0.002	0.004	0.006	
			Mt	0.000	0.000	0.000	0.000	0.000	0.000	0.000	0.000		
			My	-	0.005	0.002	0.001	0.002	0.002	0.002	0.001	-	
		N24/N 23	Mz	0.000	0.000	0.000	0.000	0.000	0.000	0.000	0.000		
			Acero laminado	N	0.000	0.000	0.000	0.000	0.000	0.000	0.000	0.000	
				Vy	0.000	0.000	0.000	0.000	0.000	0.000	0.000	0.000	
				Vz	-	0.013	0.010	0.007	0.003	0.000	0.003	0.007	0.010
				Mt	0.000	0.000	0.000	0.000	0.000	0.000	0.000	0.000	
				My	-	0.007	0.002	0.001	0.003	0.004	0.003	0.001	-
		1.4·PP	Mz	0.000	0.000	0.000	0.000	0.000	0.000	0.000	0.000		
			1.2·PP	N	0.000	0.000	0.000	0.000	0.000	0.000	0.000	0.000	
				Vy	0.000	0.000	0.000	0.000	0.000	0.000	0.000	0.000	
				Vz	-	0.012	0.009	0.006	0.003	0.000	0.003	0.006	0.009
				Mt	0.000	0.000	0.000	0.000	0.000	0.000	0.000	0.000	
				My	-	0.006	0.002	0.001	0.002	0.003	0.002	0.001	-
				Mz	0.000	0.000	0.000	0.000	0.000	0.000	0.000	0.000	
	0.9·PP		N	0.000	0.000	0.000	0.000	0.000	0.000	0.000	0.000		
			Vy	0.000	0.000	0.000	0.000	0.000	0.000	0.000	0.000		

Esfuerzos en barras, por combinación															
Barra	Combinación		Esfuerzo	Posiciones en la barra											
	Tipo	Descripción		0.000 m	0.400 m	0.800 m	1.200 m	1.600 m	2.000 m	2.400 m	2.800 m	3.200 m			
	N24/N 23	Acero laminado	1.4·PP	N	0.000	0.000	0.000	0.000	0.000	0.000	0.000	0.000			
				Vy	0.000	0.000	0.000	0.000	0.000	0.000	0.000	0.000			
				Vz	-	0.013	0.010	0.007	0.003	0.000	0.003	0.007	0.010		
				Mt	0.000	0.000	0.000	0.000	0.000	0.000	0.000	0.000			
				My	-	0.007	0.002	0.001	0.003	0.004	0.003	0.001	-		
				Mz	0.000	0.000	0.000	0.000	0.000	0.000	0.000	0.000			
			1.2·PP	N	0.000	0.000	0.000	0.000	0.000	0.000	0.000	0.000			
				Vy	0.000	0.000	0.000	0.000	0.000	0.000	0.000	0.000			
				Vz	-	0.012	0.009	0.006	0.003	0.000	0.003	0.006	0.009		
				Mt	0.000	0.000	0.000	0.000	0.000	0.000	0.000	0.000			
	0.9·PP			My	-	0.006	0.002	0.001	0.002	0.003	0.002	0.001	-		
				Mz	0.000	0.000	0.000	0.000	0.000	0.000	0.000	0.000			

Esfuerzos en barras, por combinación												
Barra	Combinación		Esfuerzo	Posiciones en la barra								
	Tipo	Descripción		0.000 m	0.400 m	0.800 m	1.200 m	1.600 m	2.000 m	2.400 m	2.800 m	3.200 m
			Vz	-	-	-	-	0.000	0.002	0.004	0.006	0.009
			Mt	0.009	0.006	0.004	0.002	0.000	0.000	0.000	0.000	0.000
			My	0.000	0.000	0.000	0.000	0.000	0.000	0.000	0.000	0.000
			Mz	0.005	0.002	0.001	0.002	0.002	0.002	0.001	-	0.002
				0.000	0.000	0.000	0.000	0.000	0.000	0.000	0.005	
				0.000	0.000	0.000	0.000	0.000	0.000	0.000	0.000	

Esfuerzos en barras, por combinación												
Barra	Combinación		Esfuerzo	Posiciones en la barra								
	Tipo	Descripción		0.000 m	0.400 m	0.800 m	1.200 m	1.600 m	2.000 m	2.400 m	2.800 m	3.200 m
N26/N 25	Acero laminado	1.4-PP	N	0.000	0.000	0.000	0.000	0.000	0.000	0.000	0.000	0.000
			Vy	0.000	0.000	0.000	0.000	0.000	0.000	0.000	0.000	0.000
			Vz	-	-	-	-	0.000	0.003	0.007	0.010	0.013
			Mt	0.000	0.000	0.000	0.000	0.000	0.000	0.000	0.000	0.000
			My	-	-	0.001	0.003	0.004	0.003	0.001	-	0.002
			Mz	0.007	0.002	0.001	0.003	0.004	0.003	0.001	-	0.007
				0.000	0.000	0.000	0.000	0.000	0.000	0.000	0.000	
				0.000	0.000	0.000	0.000	0.000	0.000	0.000	0.000	
		1.2-PP	N	0.000	0.000	0.000	0.000	0.000	0.000	0.000	0.000	0.000
			Vy	0.000	0.000	0.000	0.000	0.000	0.000	0.000	0.000	0.000
			Vz	-	-	-	-	0.000	0.003	0.006	0.009	0.012
			Mt	0.000	0.000	0.000	0.000	0.000	0.000	0.000	0.000	0.000
			My	-	-	0.001	0.002	0.003	0.002	0.001	-	0.002
			Mz	0.000	0.000	0.000	0.000	0.000	0.000	0.000	0.000	0.000
				0.000	0.000	0.000	0.000	0.000	0.000	0.000	0.000	
		0.9-PP	N	0.000	0.000	0.000	0.000	0.000	0.000	0.000	0.000	0.000
			Vy	0.000	0.000	0.000	0.000	0.000	0.000	0.000	0.000	0.000
			Vz	-	-	-	-	0.000	0.002	0.004	0.006	0.009
			Mt	0.000	0.000	0.000	0.000	0.000	0.000	0.000	0.000	0.000
			My	-	-	0.001	0.002	0.002	0.002	0.001	-	0.002
			Mz	0.005	0.002	0.001	0.002	0.002	0.002	0.001	-	0.005
				0.000	0.000	0.000	0.000	0.000	0.000	0.000	0.000	

Esfuerzos en barras, por combinación												
Barra	Combinación		Esfuerzo	Posiciones en la barra								
	Tipo	Descripción		0.000 m	0.400 m	0.800 m	1.200 m	1.600 m	2.000 m	2.400 m	3.200 m	
N28/N 27	Acero laminado	1.4·PP	N	0.000	0.000	0.000	0.000	0.000	0.000	0.000	0.000	
			Vy	0.000	0.000	0.000	0.000	0.000	0.000	0.000	0.000	
			Vz	-	-	-	-	0.000	0.003	0.007	0.010	
			Mt	0.000	0.000	0.000	0.000	0.000	0.000	0.000	0.000	
			My	-	-	0.001	0.003	0.004	0.003	0.001	-	
			Mz	0.007	0.002	0.001	0.003	0.004	0.003	0.001	0.002	
	1.2·PP		N	0.000	0.000	0.000	0.000	0.000	0.000	0.000	0.000	
			Vy	0.000	0.000	0.000	0.000	0.000	0.000	0.000	0.000	
			Vz	-	-	-	-	0.000	0.003	0.006	0.009	
			Mt	0.000	0.000	0.000	0.000	0.000	0.000	0.000	0.000	
			My	-	-	0.001	0.002	0.003	0.002	0.001	-	
			Mz	0.000	0.000	0.000	0.000	0.000	0.000	0.000	0.000	
	0.9·PP		N	0.000	0.000	0.000	0.000	0.000	0.000	0.000	0.000	
			Vy	0.000	0.000	0.000	0.000	0.000	0.000	0.000	0.000	
			Vz	-	-	-	-	0.000	0.002	0.004	0.006	
			Mt	0.000	0.000	0.000	0.000	0.000	0.000	0.000	0.000	
			My	-	-	0.001	0.002	0.003	0.002	0.001	-	
			Mz	0.005	0.002	0.001	0.002	0.003	0.002	0.001	0.002	

Esfuerzos en barras, por combinación											
Barra	Combinación		Esfuerzo	Posiciones en la barra							
	Tipo	Descripción		0.000 m	0.150 m	0.300 m	0.450 m	0.600 m	0.750 m	0.900 m	1.050 m
N1/N28	Acero laminado	1.4·PP	N	0.000	0.000	0.000	0.000	0.000	0.000	0.000	0.000
			Vy	-0.002	0.000	0.002	-	-	-	-	-
			Vz	0.000	0.000	0.000	-	-	-	-	-
			Mt	0.000	0.000	0.000	-	-	-	-	-
			My	0.000	0.000	0.000	-	-	-	-	-
			Mz	0.000	0.000	0.000	-	-	-	-	-
		1.2·PP	N	0.000	0.000	0.000	-	-	-	-	-
			Vy	-0.002	0.000	0.002	-	-	-	-	-
			Vz	0.000	0.000	0.000	-	-	-	-	-
			Mt	0.000	0.000	0.000	-	-	-	-	-

Esfuerzos en barras, por combinación						
Barra	Combinación		Esfuerzo	Posiciones en la barra		
	Tipo	Descripción		0.000 m	0.150 m	0.300 m
			My	0.000	0.000	0.000
			Mz	0.000	0.000	0.000
		0.9·PP	N	0.000	0.000	0.000
			Vy	-0.001	0.000	0.001
			Vz	0.000	0.000	0.000
			Mt	0.000	0.000	0.000
			My	0.000	0.000	0.000
			Mz	0.000	0.000	0.000

Esfuerzos en barras, por combinación						
Barra	Combinación		Esfuerzo	Posiciones en la barra		
	Tipo	Descripción		0.000 m	0.150 m	0.300 m
N28/N26	Acero laminado	1.4·PP	N	0.000	0.000	0.000
			Vy	-0.002	0.000	0.002
			Vz	0.000	0.000	0.000
			Mt	0.000	0.000	0.000
			My	0.000	0.000	0.000
			Mz	0.000	0.000	0.000
		1.2·PP	N	0.000	0.000	0.000
			Vy	-0.002	0.000	0.002
			Vz	0.000	0.000	0.000
			Mt	0.000	0.000	0.000
			My	0.000	0.000	0.000
			Mz	0.000	0.000	0.000
		0.9·PP	N	0.000	0.000	0.000
			Vy	-0.001	0.000	0.001
			Vz	0.000	0.000	0.000
			Mt	0.000	0.000	0.000
			My	0.000	0.000	0.000
			Mz	0.000	0.000	0.000

Esfuerzos en barras, por combinación						
Barra	Combinación		Esfuerzo	Posiciones en la barra		
	Tipo	Descripción		0.000 m	0.150 m	0.300 m
N26/N24	Acero laminado	1.4·PP	N	0.000	0.000	0.000
			Vy	-0.002	0.000	0.002
			Vz	0.000	0.000	0.000
			Mt	0.000	0.000	0.000



Barra	Combinación		Esfuerzo	Posiciones en la barra		
	Tipo	Descripción		0.000 m	0.150 m	0.300 m
			My	0.000	0.000	0.000
			Mz	0.000	0.000	0.000
		1.2·PP	N	0.000	0.000	0.000
			Vy	-0.002	0.000	0.002
			Vz	0.000	0.000	0.000
			Mt	0.000	0.000	0.000
		0.9·PP	My	0.000	0.000	0.000
			Mz	0.000	0.000	0.000
			N	0.000	0.000	0.000
			Vy	-0.001	0.000	0.001
			Vz	0.000	0.000	0.000
			Mt	0.000	0.000	0.000
			My	0.000	0.000	0.000
			Mz	0.000	0.000	0.000

Barra	Combinación		Esfuerzo	Posiciones en la barra		
	Tipo	Descripción		0.000 m	0.150 m	0.300 m
N24/N22	Acero laminado	1.4·PP	N	0.000	0.000	0.000
			Vy	-0.002	0.000	0.002
			Vz	0.000	0.000	0.000
			Mt	0.000	0.000	0.000
			My	0.000	0.000	0.000
			Mz	0.000	0.000	0.000
	0.9·PP		N	0.000	0.000	0.000
			Vy	-0.002	0.000	0.002
			Vz	0.000	0.000	0.000
			Mt	0.000	0.000	0.000
			My	0.000	0.000	0.000
			Mz	0.000	0.000	0.000

Esfuerzos en barras, por combinaciòn						
Barra	Combinaciòn		Esfuerzo	Posiciones en la barra		
	Tipo	Descripción		0.000 m	0.150 m	0.300 m
N22/N20	Acero laminado	1.4-PP	N	0.000	0.000	0.000
			Vy	-0.002	0.000	0.002
			Vz	0.000	0.000	0.000
			Mt	0.000	0.000	0.000
			My	0.000	0.000	0.000
			Mz	0.000	0.000	0.000
	1.2-PP		N	0.000	0.000	0.000
			Vy	-0.002	0.000	0.002
			Vz	0.000	0.000	0.000
N20/N29	Acero laminado	1.4-PP	Mt	0.000	0.000	0.000
			My	0.000	0.000	0.000
			Mz	0.000	0.000	0.000
			N	0.000	0.000	0.000
			Vy	-0.001	0.000	0.001
			Vz	0.000	0.000	0.000
	1.2-PP		Mt	0.000	0.000	0.000
			My	0.000	0.000	0.000
			Mz	0.000	0.000	0.000
N20/N29	Acero laminado	0.9-PP	N	0.000	0.000	0.000
			Vy	-0.001	0.000	0.001
			Vz	0.000	0.000	0.000
			Mt	0.000	0.000	0.000
	0.9-PP		My	0.000	0.000	0.000
			Mz	0.000	0.000	0.000
			N	0.000	0.000	0.000
			Vy	-0.001	0.000	0.001
			Vz	0.000	0.000	0.000

Esfuerzos en barras, por combinaciòn						
Barra	Combinaciòn		Esfuerzo	Posiciones en la barra		
	Tipo	Descripción		0.000 m	0.100 m	0.200 m
N20/N29	Acero laminado	1.4-PP	N	0.000	0.000	0.000
			Vy	-0.001	0.000	0.001
			Vz	0.000	0.000	0.000
			Mt	0.000	0.000	0.000
			My	0.000	0.000	0.000
			Mz	0.000	0.000	0.000
	1.2-PP		N	0.000	0.000	0.000
			Vy	-0.001	0.000	0.001
			Vz	0.000	0.000	0.000
N20/N29	Acero laminado	1.2-PP	Mt	0.000	0.000	0.000
			My	0.000	0.000	0.000
			Mz	0.000	0.000	0.000
			N	0.000	0.000	0.000
	0.9-PP		Vy	-0.001	0.000	0.001
			Vz	0.000	0.000	0.000
			Mt	0.000	0.000	0.000
			My	0.000	0.000	0.000
			Mz	0.000	0.000	0.000

Esfuerzos en barras, por combinación						
Barra	Combinación		Esfuerzo	Posiciones en la barra		
	Tipo	Descripción		0.000 m	0.100 m	0.200 m
			My	0.000	0.000	0.000
			Mz	0.000	0.000	0.000

Esfuerzos en barras, por combinación						
Barra	Combinación		Esfuerzo	Posiciones en la barra		
	Tipo	Descripción		0.000 m	0.100 m	0.200 m
N29/N18	Acero laminado	1.4·PP	N	0.000	0.000	0.000
			Vy	-0.001	0.000	0.001
			Vz	0.000	0.000	0.000
			Mt	0.000	0.000	0.000
			My	0.000	0.000	0.000
			Mz	0.000	0.000	0.000
	1.2·PP		N	0.000	0.000	0.000
			Vy	-0.001	0.000	0.001
			Vz	0.000	0.000	0.000
	0.9·PP		Mt	0.000	0.000	0.000
			My	0.000	0.000	0.000
			Mz	0.000	0.000	0.000

Barra	Combinación		Esfuerzo	Posiciones en la barra								
	Tipo	Descripción		0.000 m	0.400 m	0.800 m	1.200 m	1.600 m	2.000 m	2.400 m	2.800 m	3.200 m
N29/N30	Acero laminado	1.4·PP	N	0.000	0.000	0.000	0.000	0.000	0.000	0.000	0.000	0.000
			Vy	0.000	0.000	0.000	0.000	0.000	0.000	0.000	0.000	0.000
			Vz	-0.013	0.010	0.007	0.003	0.000	0.003	0.007	0.010	0.013
			Mt	0.000	0.000	0.000	0.000	0.000	0.000	0.000	0.000	0.000
			My	-0.007	0.002	0.001	0.003	0.004	0.003	0.001	-0.002	0.007
			Mz	0.000	0.000	0.000	0.000	0.000	0.000	0.000	0.000	0.000
			1.2·PP	N	0.000	0.000	0.000	0.000	0.000	0.000	0.000	0.000



Esfuerzos en barras, por combinación												
Barra	Combinación		Esfuerzo	Posiciones en la barra								
	Tipo	Descripción		0.000 m	0.400 m	0.800 m	1.200 m	1.600 m	2.000 m	2.400 m	2.800 m	3.200 m
			Vy	0.000	0.000	0.000	0.000	0.000	0.000	0.000	0.000	
			Vz	-	-	-	-	0.000	0.003	0.006	0.009	
			Mt	0.000	0.000	0.000	0.000	0.000	0.000	0.000	0.000	
			My	-	0.006	0.002	0.001	0.002	0.003	0.002	0.001	-
			Mz	0.000	0.000	0.000	0.000	0.000	0.000	0.000	0.000	
	0.9-PP		N	0.000	0.000	0.000	0.000	0.000	0.000	0.000	0.000	
			Vy	0.000	0.000	0.000	0.000	0.000	0.000	0.000	0.000	
			Vz	-	0.009	0.006	0.004	0.002	0.000	0.002	0.004	0.006
			Mt	0.000	0.000	0.000	0.000	0.000	0.000	0.000	0.000	
			My	-	0.005	0.002	0.001	0.002	0.002	0.002	0.001	-
			Mz	0.000	0.000	0.000	0.000	0.000	0.000	0.000	0.000	

2.3.2.1.3.- Envolventes

Envolventes de los esfuerzos en barras					
Barra	Tipo de combinación	Esfuerzo	Posiciones en la barra		
			0.000 m	0.200 m	0.400 m
N1/N16	Acero laminado	N_{\min}	0.000	0.000	0.000
		N_{\max}	0.000	0.000	0.000
		Vy_{\min}	0.000	0.000	0.000
		Vy_{\max}	0.000	0.000	0.000
		Vz_{\min}	0.002	0.000	-0.002
		Vz_{\max}	0.002	0.000	-0.002
		Mt_{\min}	0.000	0.000	0.000
		Mt_{\max}	0.000	0.000	0.000
		My_{\min}	0.000	0.000	0.000
		My_{\max}	0.000	0.000	0.000
		Mz_{\min}	0.000	0.000	0.000
		Mz_{\max}	0.000	0.000	0.000

Envolventes de los esfuerzos en barras					
Barra	Tipo de combinación	Esfuerzo	Posiciones en la barra		
			0.000 m	0.200 m	0.400 m
N16/N14	Acero laminado	N_{\min}	0.000	0.000	0.000



Envolventes de los esfuerzos en barras						
Barra	Tipo de combinación	Esfuerzo	Posiciones en la barra			
			0.000 m	0.200 m	0.400 m	
		$N_{\text{máx}}$	0.000	0.000	0.000	
		$Vy_{\text{mín}}$	0.000	0.000	0.000	
		$Vy_{\text{máx}}$	0.000	0.000	0.000	
		$Vz_{\text{mín}}$	0.002	0.000	-0.002	
		$Vz_{\text{máx}}$	0.002	0.000	-0.002	
		$Mt_{\text{mín}}$	0.000	0.000	0.000	
		$Mt_{\text{máx}}$	0.000	0.000	0.000	
		$My_{\text{mín}}$	0.000	0.000	0.000	
		$My_{\text{máx}}$	0.000	0.000	0.000	
		$Mz_{\text{mín}}$	0.000	0.000	0.000	
		$Mz_{\text{máx}}$	0.000	0.000	0.000	

Envolventes de los esfuerzos en barras						
Barra	Tipo de combinación	Esfuerzo	Posiciones en la barra			
			0.000 m	0.200 m	0.400 m	
N14/N12	Acero laminado	$N_{\text{mín}}$	0.000	0.000	0.000	
		$N_{\text{máx}}$	0.000	0.000	0.000	
		$Vy_{\text{mín}}$	0.000	0.000	0.000	
		$Vy_{\text{máx}}$	0.000	0.000	0.000	
		$Vz_{\text{mín}}$	0.002	0.000	-0.002	
		$Vz_{\text{máx}}$	0.002	0.000	-0.002	
		$Mt_{\text{mín}}$	0.000	0.000	0.000	
		$Mt_{\text{máx}}$	0.000	0.000	0.000	
		$My_{\text{mín}}$	0.000	0.000	0.000	
		$My_{\text{máx}}$	0.000	0.000	0.000	
		$Mz_{\text{mín}}$	0.000	0.000	0.000	
		$Mz_{\text{máx}}$	0.000	0.000	0.000	

Envolventes de los esfuerzos en barras						
Barra	Tipo de combinación	Esfuerzo	Posiciones en la barra			
			0.000 m	0.200 m	0.400 m	
N12/N10	Acero laminado	$N_{\text{mín}}$	0.000	0.000	0.000	
		$N_{\text{máx}}$	0.000	0.000	0.000	
		$Vy_{\text{mín}}$	0.000	0.000	0.000	
		$Vy_{\text{máx}}$	0.000	0.000	0.000	
		$Vz_{\text{mín}}$	0.002	0.000	-0.002	
		$Vz_{\text{máx}}$	0.002	0.000	-0.002	
		$Mt_{\text{mín}}$	0.000	0.000	0.000	
		$Mt_{\text{máx}}$	0.000	0.000	0.000	
		$My_{\text{mín}}$	0.000	0.000	0.000	
		$My_{\text{máx}}$	0.000	0.000	0.000	
		$Mz_{\text{mín}}$	0.000	0.000	0.000	



Envolventes de los esfuerzos en barras					
Barra	Tipo de combinación	Esfuerzo	Posiciones en la barra		
			0.000 m	0.200 m	0.400 m
		$M_{t\text{máx}}$	0.000	0.000	0.000
		$M_{y\text{mín}}$	0.000	0.000	0.000
		$M_{y\text{máx}}$	0.000	0.000	0.000
		$M_{z\text{mín}}$	0.000	0.000	0.000
		$M_{z\text{máx}}$	0.000	0.000	0.000

Envolventes de los esfuerzos en barras					
Barra	Tipo de combinación	Esfuerzo	Posiciones en la barra		
			0.000 m	0.200 m	0.400 m
N10/N8	Acero laminado	$N_{\text{mín}}$	0.000	0.000	0.000
		$N_{\text{máx}}$	0.000	0.000	0.000
		$V_{y\text{mín}}$	0.000	0.000	0.000
		$V_{y\text{máx}}$	0.000	0.000	0.000
		$V_{z\text{mín}}$	0.002	0.000	-0.002
		$V_{z\text{máx}}$	0.002	0.000	-0.002
		$M_{t\text{mín}}$	0.000	0.000	0.000
		$M_{t\text{máx}}$	0.000	0.000	0.000
		$M_{y\text{mín}}$	0.000	0.000	0.000
		$M_{y\text{máx}}$	0.000	0.000	0.000
		$M_{z\text{mín}}$	0.000	0.000	0.000
		$M_{z\text{máx}}$	0.000	0.000	0.000

Envolventes de los esfuerzos en barras					
Barra	Tipo de combinación	Esfuerzo	Posiciones en la barra		
			0.000 m	0.200 m	0.400 m
N8/N6	Acero laminado	$N_{\text{mín}}$	0.000	0.000	0.000
		$N_{\text{máx}}$	0.000	0.000	0.000
		$V_{y\text{mín}}$	0.000	0.000	0.000
		$V_{y\text{máx}}$	0.000	0.000	0.000
		$V_{z\text{mín}}$	0.002	0.000	-0.002
		$V_{z\text{máx}}$	0.002	0.000	-0.002
		$M_{t\text{mín}}$	0.000	0.000	0.000
		$M_{t\text{máx}}$	0.000	0.000	0.000
		$M_{y\text{mín}}$	0.000	0.000	0.000
		$M_{y\text{máx}}$	0.000	0.000	0.000
		$M_{z\text{mín}}$	0.000	0.000	0.000
		$M_{z\text{máx}}$	0.000	0.000	0.000



Envolventes de los esfuerzos en barras					
Barra	Tipo de combinación	Esfuerzo	Posiciones en la barra		
			0.000 m	0.200 m	0.400 m
N6/N4	Acero laminado	N_{\min}	0.000	0.000	0.000
		N_{\max}	0.000	0.000	0.000
		Vy_{\min}	0.000	0.000	0.000
		Vy_{\max}	0.000	0.000	0.000
		Vz_{\min}	0.002	0.000	-0.002
		Vz_{\max}	0.002	0.000	-0.002
		Mt_{\min}	0.000	0.000	0.000
		Mt_{\max}	0.000	0.000	0.000
		My_{\min}	0.000	0.000	0.000
		My_{\max}	0.000	0.000	0.000
		Mz_{\min}	0.000	0.000	0.000
		Mz_{\max}	0.000	0.000	0.000

Envolventes de los esfuerzos en barras					
Barra	Tipo de combinación	Esfuerzo	Posiciones en la barra		
			0.000 m	0.200 m	0.400 m
N4/N2	Acero laminado	N_{\min}	0.000	0.000	0.000
		N_{\max}	0.000	0.000	0.000
		Vy_{\min}	0.000	0.000	0.000
		Vy_{\max}	0.000	0.000	0.000
		Vz_{\min}	0.002	0.000	-0.002
		Vz_{\max}	0.002	0.000	-0.002
		Mt_{\min}	0.000	0.000	0.000
		Mt_{\max}	0.000	0.000	0.000
		My_{\min}	0.000	0.000	0.000
		My_{\max}	0.000	0.000	0.000
		Mz_{\min}	0.000	0.000	0.000
		Mz_{\max}	0.000	0.000	0.000

Envolventes de los esfuerzos en barras					
Barra	Tipo de combinación	Esfuerzo	Posiciones en la barra		
			0.000 m	0.150 m	0.300 m
N2/N27	Acero laminado	N_{\min}	0.000	0.000	0.000
		N_{\max}	0.000	0.000	0.000
		Vy_{\min}	0.000	0.000	0.000
		Vy_{\max}	0.000	0.000	0.000
		Vz_{\min}	0.001	0.000	-0.002
		Vz_{\max}	0.002	0.000	-0.001
		Mt_{\min}	0.000	0.000	0.000
		Mt_{\max}	0.000	0.000	0.000
		My_{\min}	0.000	0.000	0.000
		My_{\max}	0.000	0.000	0.000
		Mz_{\min}	0.000	0.000	0.000
		Mz_{\max}	0.000	0.000	0.000



Envolventes de los esfuerzos en barras					
Barra	Tipo de combinación	Esfuerzo	Posiciones en la barra		
			0.000 m	0.150 m	0.300 m
		Mt_{\min}	0.000	0.000	0.000
		Mt_{\max}	0.000	0.000	0.000
		My_{\min}	0.000	0.000	0.000
		My_{\max}	0.000	0.000	0.000
		Mz_{\min}	0.000	0.000	0.000
		Mz_{\max}	0.000	0.000	0.000

Envolventes de los esfuerzos en barras					
Barra	Tipo de combinación	Esfuerzo	Posiciones en la barra		
			0.000 m	0.150 m	0.300 m
N27/N25	Acero laminado	N_{\min}	0.000	0.000	0.000
		N_{\max}	0.000	0.000	0.000
		Vy_{\min}	0.000	0.000	0.000
		Vy_{\max}	0.000	0.000	0.000
		Vz_{\min}	0.001	0.000	-0.002
		Vz_{\max}	0.002	0.000	-0.001
		Mt_{\min}	0.000	0.000	0.000
		Mt_{\max}	0.000	0.000	0.000
		My_{\min}	0.000	0.000	0.000
		My_{\max}	0.000	0.000	0.000
		Mz_{\min}	0.000	0.000	0.000
		Mz_{\max}	0.000	0.000	0.000

Envolventes de los esfuerzos en barras					
Barra	Tipo de combinación	Esfuerzo	Posiciones en la barra		
			0.000 m	0.150 m	0.300 m
N25/N23	Acero laminado	N_{\min}	0.000	0.000	0.000
		N_{\max}	0.000	0.000	0.000
		Vy_{\min}	0.000	0.000	0.000
		Vy_{\max}	0.000	0.000	0.000
		Vz_{\min}	0.001	0.000	-0.002
		Vz_{\max}	0.002	0.000	-0.001
		Mt_{\min}	0.000	0.000	0.000
		Mt_{\max}	0.000	0.000	0.000
		My_{\min}	0.000	0.000	0.000
		My_{\max}	0.000	0.000	0.000
		Mz_{\min}	0.000	0.000	0.000
		Mz_{\max}	0.000	0.000	0.000



Envolventes de los esfuerzos en barras						
Barra	Tipo de combinación	Esfuerzo	Posiciones en la barra			
			0.000 m	0.150 m	0.300 m	
N23/N21	Acero laminado	N_{\min}	0.000	0.000	0.000	
		N_{\max}	0.000	0.000	0.000	
		Vy_{\min}	0.000	0.000	0.000	
		Vy_{\max}	0.000	0.000	0.000	
		Vz_{\min}	0.001	0.000	-0.002	
		Vz_{\max}	0.002	0.000	-0.001	
		Mt_{\min}	0.000	0.000	0.000	
		Mt_{\max}	0.000	0.000	0.000	
		My_{\min}	0.000	0.000	0.000	
		My_{\max}	0.000	0.000	0.000	
		Mz_{\min}	0.000	0.000	0.000	
		Mz_{\max}	0.000	0.000	0.000	

Envolventes de los esfuerzos en barras						
Barra	Tipo de combinación	Esfuerzo	Posiciones en la barra			
			0.000 m	0.150 m	0.300 m	
N21/N19	Acero laminado	N_{\min}	0.000	0.000	0.000	
		N_{\max}	0.000	0.000	0.000	
		Vy_{\min}	0.000	0.000	0.000	
		Vy_{\max}	0.000	0.000	0.000	
		Vz_{\min}	0.001	0.000	-0.002	
		Vz_{\max}	0.002	0.000	-0.001	
		Mt_{\min}	0.000	0.000	0.000	
		Mt_{\max}	0.000	0.000	0.000	
		My_{\min}	0.000	0.000	0.000	
		My_{\max}	0.000	0.000	0.000	
		Mz_{\min}	0.000	0.000	0.000	
		Mz_{\max}	0.000	0.000	0.000	

Envolventes de los esfuerzos en barras						
Barra	Tipo de combinación	Esfuerzo	Posiciones en la barra			
			0.000 m	0.100 m	0.200 m	
N19/N30	Acero laminado	N_{\min}	0.000	0.000	0.000	
		N_{\max}	0.000	0.000	0.000	
		Vy_{\min}	0.000	0.000	0.000	
		Vy_{\max}	0.000	0.000	0.000	
		Vz_{\min}	0.001	0.000	-0.001	



Envolventes de los esfuerzos en barras						
Barra	Tipo de combinación	Esfuerzo	Posiciones en la barra			
			0.000 m	0.100 m	0.200 m	
		VZmáx	0.001	0.000	-0.001	
		Mtmin	0.000	0.000	0.000	
		Mtmáx	0.000	0.000	0.000	
		Mymin	0.000	0.000	0.000	
		Mymáx	0.000	0.000	0.000	
		Mzmin	0.000	0.000	0.000	
		Mzmáx	0.000	0.000	0.000	

Envolventes de los esfuerzos en barras						
Barra	Tipo de combinación	Esfuerzo	Posiciones en la barra			
			0.000 m	0.100 m	0.200 m	
N30/N3	Acero laminado	Nmin	0.000	0.000	0.000	
		Nmáx	0.000	0.000	0.000	
		Vymín	0.000	0.000	0.000	
		Vymáx	0.000	0.000	0.000	
		VZmin	0.001	0.000	-0.001	
		VZmáx	0.001	0.000	-0.001	
		Mtmin	0.000	0.000	0.000	
		Mtmáx	0.000	0.000	0.000	
		Mymin	0.000	0.000	0.000	
		Mymáx	0.000	0.000	0.000	
		Mzmin	0.000	0.000	0.000	
		Mzmáx	0.000	0.000	0.000	

Barr a	Tipo de combinación	Esfuer zo	Posiciones en la barra								
			0.000 m	0.190 m	0.380 m	0.760 m	0.950 m	1.140 m	1.520 m	1.710 m	1.900 m
N4/ N5	Acero laminado	Nmin	0.080	0.080	0.080	0.080	0.080	0.080	0.080	0.080	0.080
		Nmáx	0.124	0.124	0.124	0.124	0.124	0.124	0.124	0.124	0.124
		Vymín	-0.938	-0.686	-0.460	-0.087	0.038	0.115	0.218	0.243	0.252
		Vymáx	-0.603	-0.441	-0.295	-0.056	0.059	0.179	0.338	0.378	0.392
		VZmin	-0.030	-0.028	-0.025	-0.019	-0.017	-0.014	-0.008	-0.006	-0.003
		VZmáx	-0.020	-0.018	-0.016	-0.013	-0.011	-0.009	-0.005	-0.004	-0.002
		Mtmin	0.000	0.000	0.000	0.000	0.000	0.000	0.000	0.000	0.000
		Mtmáx	0.000	0.000	0.000	0.000	0.000	0.000	0.000	0.000	0.000
		Mymin	-0.016	-0.010	-0.005	0.002	0.004	0.006	0.009	0.010	0.010



Envolventes de los esfuerzos en barras											
Barr a	Tipo de combinación	Esfuer zo	Posiciones en la barra								
			0.000 m	0.190 m	0.380 m	0.760 m	0.950 m	1.140 m	1.520 m	1.710 m	
		My_{\max}	-0.010	-0.007	-0.003	0.003	0.007	0.010	0.014	0.015	0.016
		Mz_{\min}	-0.257	-0.103	0.003	0.068	0.069	0.054	-0.017	-0.086	-0.159
		Mz_{\max}	-0.165	-0.067	0.005	0.105	0.108	0.085	-0.011	-0.055	-0.102

Envolventes de los esfuerzos en barras											
Barr a	Tipo de combinación	Esfuer zo	Posiciones en la barra								
			0.000 m	0.190 m	0.380 m	0.760 m	0.950 m	1.140 m	1.520 m	1.710 m	
N6/ N7	Acero laminado	N_{\min}	-0.003	-0.003	-0.003	-0.003	-0.003	-0.003	-0.003	-0.003	-0.003
		N_{\max}	-0.002	-0.002	-0.002	-0.002	-0.002	-0.002	-0.002	-0.002	-0.002
		Vy_{\min}	-0.937	-0.685	-0.459	-0.086	0.039	0.116	0.218	0.244	0.252
		Vy_{\max}	-0.603	-0.440	-0.295	-0.055	0.060	0.180	0.339	0.379	0.393
		Vz_{\min}	-0.019	-0.016	-0.013	-0.008	-0.005	-0.002	0.002	0.004	0.006
		Vz_{\max}	-0.012	-0.010	-0.009	-0.005	-0.003	-0.002	0.003	0.006	0.009
		Mt_{\min}	0.000	0.000	0.000	0.000	0.000	0.000	0.000	0.000	0.000
		Mt_{\max}	0.000	0.000	0.000	0.000	0.000	0.000	0.000	0.000	0.000
		My_{\min}	-0.010	-0.007	-0.004	0.000	0.001	0.001	0.001	0.001	0.000
		My_{\max}	-0.007	-0.004	-0.003	0.000	0.001	0.002	0.002	0.001	0.000
		Mz_{\min}	-0.257	-0.103	0.003	0.068	0.069	0.054	-0.018	-0.087	-0.160
		Mz_{\max}	-0.165	-0.066	0.005	0.105	0.107	0.084	-0.012	-0.056	-0.103

Envolventes de los esfuerzos en barras											
Barr a	Tipo de combinación	Esfuer zo	Posiciones en la barra								
			0.000 m	0.190 m	0.380 m	0.760 m	0.950 m	1.140 m	1.520 m	1.710 m	
N8/ N9	Acero laminado	N_{\min}	-0.004	-0.004	-0.004	-0.004	-0.004	-0.004	-0.004	-0.004	-0.004
		N_{\max}	-0.002	-0.002	-0.002	-0.002	-0.002	-0.002	-0.002	-0.002	-0.002
		Vy_{\min}	-0.937	-0.685	-0.458	-0.086	0.039	0.116	0.218	0.244	0.252
		Vy_{\max}	-0.603	-0.440	-0.295	-0.055	0.060	0.180	0.340	0.379	0.393
		Vz_{\min}	-0.020	-0.017	-0.014	-0.009	-0.006	-0.003	0.002	0.003	0.005
		Vz_{\max}	-0.013	-0.011	-0.009	-0.006	-0.004	-0.002	0.002	0.005	0.008
		Mt_{\min}	0.000	0.000	0.000	0.000	0.000	0.000	0.000	0.000	0.000
		Mt_{\max}	0.000	0.000	0.000	0.000	0.000	0.000	0.000	0.000	0.000
		My_{\min}	-0.012	-0.008	-0.005	-0.001	0.000	0.001	0.001	0.000	0.000
		My_{\max}	-0.007	-0.005	-0.003	-0.001	0.001	0.001	0.001	0.001	0.000
		Mz_{\min}	-0.257	-0.103	0.003	0.068	0.069	0.054	-0.018	-0.087	-0.161

Envolventes de los esfuerzos en barras											
Barra	Tipo de combinación	Esfuerzo	Posiciones en la barra								
			0.000 m	0.190 m	0.380 m	0.760 m	0.950 m	1.140 m	1.520 m	1.710 m	
		Mz _{máx}	-0.165	-0.066	0.005	0.105	0.107	0.084	-0.012	-0.056	-0.103

Envolventes de los esfuerzos en barras											
Barra	Tipo de combinación	Esfuerzo	Posiciones en la barra								
			0.000 m	0.190 m	0.380 m	0.760 m	0.950 m	1.140 m	1.520 m	1.710 m	
N10/N 11	Acero laminado	N _{mín}	0.000	0.000	0.000	0.000	0.000	0.000	0.000	0.000	0.000
		N _{máx}	0.000	0.000	0.000	0.000	0.000	0.000	0.000	0.000	0.000
		Vy _{mín}	-0.937	-0.685	-0.459	-0.086	0.039	0.116	0.218	0.244	0.252
		Vy _{máx}	-0.603	-0.440	-0.295	-0.055	0.060	0.180	0.339	0.379	0.393
		VZ _{mín}	-0.020	-0.017	-0.015	-0.009	-0.006	-0.004	0.001	0.003	0.005
		VZ _{máx}	-0.013	-0.011	-0.009	-0.006	-0.004	-0.002	0.002	0.005	0.007
		Mt _{mín}	0.000	0.000	0.000	0.000	0.000	0.000	0.000	0.000	0.000
		Mt _{máx}	0.000	0.000	0.000	0.000	0.000	0.000	0.000	0.000	0.000
		My _{mín}	-0.012	-0.009	-0.005	-0.001	0.000	0.001	0.001	0.001	0.000
		My _{máx}	-0.008	-0.005	-0.004	-0.001	0.001	0.001	0.002	0.001	0.000
		Mz _{mín}	-0.257	-0.103	0.003	0.068	0.069	0.054	-0.018	-0.087	-0.161
		Mz _{máx}	-0.165	-0.066	0.005	0.105	0.107	0.084	-0.012	-0.056	-0.103

Envolventes de los esfuerzos en barras											
Barra	Tipo de combinación	Esfuerzo	Posiciones en la barra								
			0.000 m	0.190 m	0.380 m	0.760 m	0.950 m	1.140 m	1.520 m	1.710 m	
N12/N 13	Acero laminado	N _{mín}	0.003	0.003	0.003	0.003	0.003	0.003	0.003	0.003	0.003
		N _{máx}	0.004	0.004	0.004	0.004	0.004	0.004	0.004	0.004	0.004
		Vy _{mín}	-0.937	-0.685	-0.459	-0.086	0.039	0.116	0.218	0.244	0.252
		Vy _{máx}	-0.603	-0.440	-0.295	-0.055	0.060	0.180	0.339	0.379	0.393
		VZ _{mín}	-0.020	-0.017	-0.015	-0.009	-0.006	-0.003	0.001	0.003	0.005
		VZ _{máx}	-0.013	-0.011	-0.009	-0.006	-0.004	-0.002	0.002	0.005	0.008
		Mt _{mín}	0.000	0.000	0.000	0.000	0.000	0.000	0.000	0.000	0.000
		Mt _{máx}	0.000	0.000	0.000	0.000	0.000	0.000	0.000	0.000	0.000
		My _{mín}	-0.011	-0.008	-0.005	0.000	0.001	0.001	0.002	0.001	0.000
		My _{máx}	-0.007	-0.005	-0.003	0.000	0.001	0.002	0.002	0.002	0.001
		Mz _{mín}	-0.257	-0.103	0.003	0.068	0.069	0.054	-0.018	-0.087	-0.161
		Mz _{máx}	-0.165	-0.066	0.005	0.105	0.107	0.084	-0.012	-0.056	-0.103

Barra	Tipo de combinación	Esfuerzo	Envolventes de los esfuerzos en barras								
			Posiciones en la barra								
0.000 m	0.190 m	0.380 m	0.760 m	0.950 m	1.140 m	1.520 m	1.710 m	1.900 m			
N14/N 15	Acero laminado	N_{\min}	0.003	0.003	0.003	0.003	0.003	0.003	0.003	0.003	0.003
		N_{\max}	0.005	0.005	0.005	0.005	0.005	0.005	0.005	0.005	0.005
		Vy_{\min}	-0.937	-0.685	-0.459	-0.086	0.039	0.116	0.218	0.244	0.252
		Vy_{\max}	-0.603	-0.440	-0.295	-0.055	0.060	0.180	0.339	0.379	0.393
		Vz_{\min}	-0.019	-0.016	-0.014	-0.008	-0.005	-0.003	0.002	0.004	0.005
		Vz_{\max}	-0.012	-0.010	-0.009	-0.005	-0.003	-0.002	0.003	0.006	0.009
		Mt_{\min}	0.000	0.000	0.000	0.000	0.000	0.000	0.000	0.000	0.000
		Mt_{\max}	0.000	0.000	0.000	0.000	0.000	0.000	0.000	0.000	0.000
		My_{\min}	-0.009	-0.006	-0.003	0.001	0.001	0.002	0.002	0.001	0.000
		My_{\max}	-0.006	-0.004	-0.002	0.001	0.002	0.003	0.003	0.002	0.001
		Mz_{\min}	-0.257	-0.103	0.003	0.068	0.069	0.054	-0.018	-0.087	-0.160
		Mz_{\max}	-0.165	-0.066	0.005	0.105	0.107	0.084	-0.012	-0.056	-0.103

Barra	Tipo de combinación	Esfuerzo	Envolventes de los esfuerzos en barras								
			Posiciones en la barra								
0.000 m	0.190 m	0.380 m	0.760 m	0.950 m	1.140 m	1.520 m	1.710 m	1.900 m			
N16/N 17	Acero laminado	N_{\min}	-0.131	-0.131	-0.131	-0.131	-0.131	-0.131	-0.131	-0.131	-0.131
		N_{\max}	-0.084	-0.084	-0.084	-0.084	-0.084	-0.084	-0.084	-0.084	-0.084
		Vy_{\min}	-0.939	-0.686	-0.460	-0.087	0.038	0.115	0.217	0.243	0.252
		Vy_{\max}	-0.603	-0.441	-0.296	-0.056	0.059	0.179	0.338	0.378	0.391
		Vz_{\min}	-0.004	-0.002	0.001	0.004	0.006	0.008	0.011	0.013	0.015
		Vz_{\max}	-0.003	-0.001	0.001	0.007	0.009	0.012	0.018	0.020	0.023
		Mt_{\min}	0.000	0.000	0.000	0.000	0.000	0.000	0.000	0.000	0.000
		Mt_{\max}	0.000	0.000	0.000	0.000	0.000	0.000	0.000	0.000	0.000
		My_{\min}	0.001	0.001	0.001	0.000	-0.001	-0.004	-0.009	-0.013	-0.017
		My_{\max}	0.001	0.001	0.001	0.000	-0.001	-0.002	-0.006	-0.008	-0.011
		Mz_{\min}	-0.257	-0.104	0.003	0.068	0.069	0.054	-0.017	-0.085	-0.159
		Mz_{\max}	-0.166	-0.067	0.005	0.105	0.108	0.085	-0.011	-0.055	-0.102

Envolventes de los esfuerzos en barras											
Barra	Tipo de combinación	Esfuerzo	Posiciones en la barra								
			0.000 m	0.200 m	0.400 m						
N18/N17	Acero laminado	N_{\min}	0.883	0.883	0.883						
		N_{\max}	1.373	1.373	1.373						
		Vy_{\min}	-0.279	-0.279	-0.279						

Envolventes de los esfuerzos en barras						
Barra	Tipo de combinación	Esfuerzo	Posiciones en la barra			
			0.000 m	0.200 m	0.400 m	
		V_y máx	-0.179	-0.179	-0.179	
		V_z mín	0.033	0.035	0.037	
		V_z máx	0.051	0.055	0.058	
		M_t mín	0.000	0.000	0.000	
		M_t máx	0.000	0.000	0.000	
		M_y mín	-0.020	-0.030	-0.042	
		M_y máx	-0.013	-0.019	-0.027	
		M_z mín	-0.038	0.012	0.048	
		M_z máx	-0.024	0.018	0.074	

Envolventes de los esfuerzos en barras						
Barra	Tipo de combinación	Esfuerzo	Posiciones en la barra			
			0.000 m	0.200 m	0.400 m	
N17/N15	Acero laminado	N mín	0.631	0.631	0.631	
		N máx	0.982	0.982	0.982	
		V_y mín	-0.410	-0.410	-0.410	
		V_y máx	-0.264	-0.264	-0.264	
		V_z mín	0.052	0.055	0.057	
		V_z máx	0.081	0.085	0.089	
		M_t mín	0.000	0.000	0.000	
		M_t máx	0.000	0.000	0.000	
		M_y mín	0.006	-0.007	-0.025	
		M_y máx	0.009	-0.005	-0.016	
		M_z mín	-0.085	-0.003	0.051	
		M_z máx	-0.055	-0.002	0.079	

Envolventes de los esfuerzos en barras						
Barra	Tipo de combinación	Esfuerzo	Posiciones en la barra			
			0.000 m	0.200 m	0.400 m	
N15/N13	Acero laminado	N mín	0.379	0.379	0.379	
		N máx	0.589	0.589	0.589	
		V_y mín	-0.405	-0.405	-0.405	
		V_y máx	-0.260	-0.260	-0.260	
		V_z mín	0.062	0.065	0.067	
		V_z máx	0.097	0.101	0.104	
		M_t mín	0.000	0.000	0.000	
		M_t máx	0.000	0.000	0.000	
		M_y mín	0.017	0.004	-0.014	



Envolventes de los esfuerzos en barras					
Barra	Tipo de combinación	Esfuerzo	Posiciones en la barra		
			0.000 m	0.200 m	0.400 m
		$M_{y\text{máx}}$	0.026	0.007	-0.009
		$M_{z\text{mín}}$	-0.081	0.000	0.052
		$M_{z\text{máx}}$	-0.052	0.000	0.081

Envolventes de los esfuerzos en barras					
Barra	Tipo de combinación	Esfuerzo	Posiciones en la barra		
			0.000 m	0.200 m	0.400 m
N13/N11	Acero laminado	$N_{\text{mín}}$	0.126	0.126	0.126
		$N_{\text{máx}}$	0.196	0.196	0.196
		$V_{y\text{mín}}$	-0.401	-0.401	-0.401
		$V_{y\text{máx}}$	-0.258	-0.258	-0.258
		$V_{z\text{mín}}$	0.072	0.074	0.077
		$V_{z\text{máx}}$	0.112	0.116	0.119
		$M_{t\text{mín}}$	0.000	0.000	0.000
		$M_{t\text{máx}}$	0.000	0.000	0.000
		$M_{y\text{mín}}$	0.024	0.009	-0.009
		$M_{y\text{máx}}$	0.037	0.014	-0.006
		$M_{z\text{mín}}$	-0.080	0.000	0.052
		$M_{z\text{máx}}$	-0.051	0.000	0.080

Envolventes de los esfuerzos en barras					
Barra	Tipo de combinación	Esfuerzo	Posiciones en la barra		
			0.000 m	0.200 m	0.400 m
N11/N9	Acero laminado	$N_{\text{mín}}$	-0.196	-0.196	-0.196
		$N_{\text{máx}}$	-0.126	-0.126	-0.126
		$V_{y\text{mín}}$	-0.401	-0.401	-0.401
		$V_{y\text{máx}}$	-0.258	-0.258	-0.258
		$V_{z\text{mín}}$	0.081	0.084	0.086
		$V_{z\text{máx}}$	0.127	0.130	0.134
		$M_{t\text{mín}}$	0.000	0.000	0.000
		$M_{t\text{máx}}$	0.000	0.000	0.000
		$M_{y\text{mín}}$	0.027	0.010	-0.010
		$M_{y\text{máx}}$	0.042	0.016	-0.007
		$M_{z\text{mín}}$	-0.080	0.000	0.052
		$M_{z\text{máx}}$	-0.051	0.000	0.080

Envolventes de los esfuerzos en barras						
Barra	Tipo de combinación	Esfuerzo	Posiciones en la barra			
			0.000 m	0.200 m	0.400 m	
N9/N7	Acero laminado	N_{\min}	-0.589	-0.589	-0.589	
		N_{\max}	-0.379	-0.379	-0.379	
		Vy_{\min}	-0.405	-0.405	-0.405	
		Vy_{\max}	-0.260	-0.260	-0.260	
		Vz_{\min}	0.091	0.093	0.096	
		Vz_{\max}	0.142	0.145	0.149	
		Mt_{\min}	0.000	0.000	0.000	
		Mt_{\max}	0.000	0.000	0.000	
		My_{\min}	0.026	0.008	-0.017	
		My_{\max}	0.041	0.012	-0.011	
		Mz_{\min}	-0.080	0.000	0.052	
		Mz_{\max}	-0.052	0.001	0.082	

Envolventes de los esfuerzos en barras						
Barra	Tipo de combinación	Esfuerzo	Posiciones en la barra			
			0.000 m	0.200 m	0.400 m	
N7/N5	Acero laminado	N_{\min}	-0.982	-0.982	-0.982	
		N_{\max}	-0.631	-0.631	-0.631	
		Vy_{\min}	-0.408	-0.408	-0.408	
		Vy_{\max}	-0.262	-0.262	-0.262	
		Vz_{\min}	0.101	0.104	0.106	
		Vz_{\max}	0.158	0.161	0.165	
		Mt_{\min}	0.000	0.000	0.000	
		Mt_{\max}	0.000	0.000	0.000	
		My_{\min}	0.022	0.001	-0.031	
		My_{\max}	0.034	0.002	-0.020	
		Mz_{\min}	-0.079	0.002	0.054	
		Mz_{\max}	-0.051	0.003	0.084	

Envolventes de los esfuerzos en barras						
Barra	Tipo de combinación	Esfuerzo	Posiciones en la barra			
			0.000 m	0.200 m	0.400 m	
N5/N3	Acero laminado	N_{\min}	-1.373	-1.373	-1.373	
		N_{\max}	-0.883	-0.883	-0.883	
		Vy_{\min}	-0.284	-0.284	-0.284	
		Vy_{\max}	-0.182	-0.182	-0.182	
		Vz_{\min}	0.104	0.106	0.109	
		Vz_{\max}	0.162	0.165	0.169	
		Mt_{\min}	0.000	0.000	0.000	
		Mt_{\max}	0.000	0.000	0.000	
		My_{\min}	0.022	0.001	-0.031	
		My_{\max}	0.034	0.002	-0.020	
		Mz_{\min}	-0.079	0.002	0.054	
		Mz_{\max}	-0.051	0.003	0.084	

Envolventes de los esfuerzos en barras						
Barra	Tipo de combinación	Esfuerzo	Posiciones en la barra			
			0.000 m	0.200 m	0.400 m	
		Mt _{mín}	0.000	0.000	0.000	
		Mt _{máx}	0.000	0.000	0.000	
		My _{mín}	0.013	-0.012	-0.046	
		My _{máx}	0.020	-0.008	-0.030	
		Mz _{mín}	-0.075	-0.018	0.025	
		Mz _{máx}	-0.048	-0.012	0.039	

Envolventes de los esfuerzos en barras										
Barra	Tipo de combinación	Esfuerzo	Posiciones en la barra							
			0.000 m	0.400 m	0.800 m	1.200 m	1.600 m	2.000 m	2.400 m	2.800 m
N20/N 19	Acero laminado	N _{mín}	0.000	0.000	0.000	0.000	0.000	0.000	0.000	0.000
		N _{máx}	0.000	0.000	0.000	0.000	0.000	0.000	0.000	0.000
		Vy _{mín}	0.000	0.000	0.000	0.000	0.000	0.000	0.000	0.000
		Vy _{máx}	0.000	0.000	0.000	0.000	0.000	0.000	0.000	0.000
		Vz _{mín}	-0.013	-0.010	-0.007	-0.003	0.000	0.002	0.004	0.006
		Vz _{máx}	-0.009	-0.006	-0.004	-0.002	0.000	0.003	0.007	0.010
		Mt _{mín}	0.000	0.000	0.000	0.000	0.000	0.000	0.000	0.000
		Mt _{máx}	0.000	0.000	0.000	0.000	0.000	0.000	0.000	0.000
		My _{mín}	-0.007	-0.002	0.001	0.002	0.002	0.002	0.001	-0.002
		My _{máx}	-0.005	-0.002	0.001	0.003	0.004	0.003	0.001	-0.002
		Mz _{mín}	0.000	0.000	0.000	0.000	0.000	0.000	0.000	0.000
		Mz _{máx}	0.000	0.000	0.000	0.000	0.000	0.000	0.000	0.000

Envolventes de los esfuerzos en barras										
Barra	Tipo de combinación	Esfuerzo	Posiciones en la barra							
			0.000 m	0.400 m	0.800 m	1.200 m	1.600 m	2.000 m	2.400 m	2.800 m
N22/N 21	Acero laminado	N _{mín}	0.000	0.000	0.000	0.000	0.000	0.000	0.000	0.000
		N _{máx}	0.000	0.000	0.000	0.000	0.000	0.000	0.000	0.000
		Vy _{mín}	0.000	0.000	0.000	0.000	0.000	0.000	0.000	0.000
		Vy _{máx}	0.000	0.000	0.000	0.000	0.000	0.000	0.000	0.000
		Vz _{mín}	-0.013	-0.010	-0.007	-0.003	0.000	0.002	0.004	0.006
		Vz _{máx}	-0.009	-0.006	-0.004	-0.002	0.000	0.003	0.007	0.010
		Mt _{mín}	0.000	0.000	0.000	0.000	0.000	0.000	0.000	0.000
		Mt _{máx}	0.000	0.000	0.000	0.000	0.000	0.000	0.000	0.000
		My _{mín}	-0.007	-0.002	0.001	0.002	0.002	0.002	0.001	-0.002
		My _{máx}	-0.005	-0.002	0.001	0.003	0.004	0.003	0.001	-0.002
		Mz _{mín}	0.000	0.000	0.000	0.000	0.000	0.000	0.000	0.000
		Mz _{máx}	0.000	0.000	0.000	0.000	0.000	0.000	0.000	0.000

Envolventes de los esfuerzos en barras											
Barra	Tipo de combinación	Esfuerzo	Posiciones en la barra								
			0.000 m	0.400 m	0.800 m	1.200 m	1.600 m	2.000 m	2.400 m	2.800 m	
		M_y^{\max}	-0.005	-0.002	0.001	0.003	0.004	0.003	0.001	-0.002	-0.005
		M_z^{\min}	0.000	0.000	0.000	0.000	0.000	0.000	0.000	0.000	0.000
		M_z^{\max}	0.000	0.000	0.000	0.000	0.000	0.000	0.000	0.000	0.000

Envolventes de los esfuerzos en barras											
Barra	Tipo de combinación	Esfuerzo	Posiciones en la barra								
			0.000 m	0.400 m	0.800 m	1.200 m	1.600 m	2.000 m	2.400 m	2.800 m	
N24/N 23	Acero laminado	N_{\min}	0.000	0.000	0.000	0.000	0.000	0.000	0.000	0.000	0.000
		N_{\max}	0.000	0.000	0.000	0.000	0.000	0.000	0.000	0.000	0.000
		V_y^{\min}	0.000	0.000	0.000	0.000	0.000	0.000	0.000	0.000	0.000
		V_y^{\max}	0.000	0.000	0.000	0.000	0.000	0.000	0.000	0.000	0.000
		V_z^{\min}	-0.013	-0.010	-0.007	-0.003	0.000	0.002	0.004	0.006	0.009
		V_z^{\max}	-0.009	-0.006	-0.004	-0.002	0.000	0.003	0.007	0.010	0.013
		M_t^{\min}	0.000	0.000	0.000	0.000	0.000	0.000	0.000	0.000	0.000
		M_t^{\max}	0.000	0.000	0.000	0.000	0.000	0.000	0.000	0.000	0.000
		M_y^{\min}	-0.007	-0.002	0.001	0.002	0.002	0.002	0.001	-0.002	-0.007
		M_y^{\max}	-0.005	-0.002	0.001	0.003	0.004	0.003	0.001	-0.002	-0.005
		M_z^{\min}	0.000	0.000	0.000	0.000	0.000	0.000	0.000	0.000	0.000
		M_z^{\max}	0.000	0.000	0.000	0.000	0.000	0.000	0.000	0.000	0.000

Envolventes de los esfuerzos en barras											
Barra	Tipo de combinación	Esfuerzo	Posiciones en la barra								
			0.000 m	0.400 m	0.800 m	1.200 m	1.600 m	2.000 m	2.400 m	2.800 m	
N26/N 25	Acero laminado	N_{\min}	0.000	0.000	0.000	0.000	0.000	0.000	0.000	0.000	0.000
		N_{\max}	0.000	0.000	0.000	0.000	0.000	0.000	0.000	0.000	0.000
		V_y^{\min}	0.000	0.000	0.000	0.000	0.000	0.000	0.000	0.000	0.000
		V_y^{\max}	0.000	0.000	0.000	0.000	0.000	0.000	0.000	0.000	0.000
		V_z^{\min}	-0.013	-0.010	-0.007	-0.003	0.000	0.002	0.004	0.006	0.009
		V_z^{\max}	-0.009	-0.006	-0.004	-0.002	0.000	0.003	0.007	0.010	0.013
		M_t^{\min}	0.000	0.000	0.000	0.000	0.000	0.000	0.000	0.000	0.000
		M_t^{\max}	0.000	0.000	0.000	0.000	0.000	0.000	0.000	0.000	0.000
		M_y^{\min}	-0.007	-0.002	0.001	0.002	0.002	0.002	0.001	-0.002	-0.007
		M_y^{\max}	-0.005	-0.002	0.001	0.003	0.004	0.003	0.001	-0.002	-0.005
		M_z^{\min}	0.000	0.000	0.000	0.000	0.000	0.000	0.000	0.000	0.000

Envolventes de los esfuerzos en barras										
Barra	Tipo de combinación	Esfuerzo	Posiciones en la barra							
			0.000 m	0.400 m	0.800 m	1.200 m	1.600 m	2.000 m	2.400 m	2.800 m
		Mz _{máx}	0.000	0.000	0.000	0.000	0.000	0.000	0.000	0.000

Envolventes de los esfuerzos en barras											
Barra	Tipo de combinación	Esfuerzo	Posiciones en la barra								
			0.000 m	0.400 m	0.800 m	1.200 m	1.600 m	2.000 m	2.400 m	2.800 m	
N28/N27	Acero laminado	N _{mín}	0.000	0.000	0.000	0.000	0.000	0.000	0.000	0.000	
		N _{máx}	0.000	0.000	0.000	0.000	0.000	0.000	0.000	0.000	
		Vy _{mín}	0.000	0.000	0.000	0.000	0.000	0.000	0.000	0.000	
		Vy _{máx}	0.000	0.000	0.000	0.000	0.000	0.000	0.000	0.000	
		Vz _{mín}	-0.013	-0.010	-0.007	-0.003	0.000	0.002	0.004	0.006	0.009
		Vz _{máx}	-0.009	-0.006	-0.004	-0.002	0.000	0.003	0.007	0.010	0.013
		Mt _{mín}	0.000	0.000	0.000	0.000	0.000	0.000	0.000	0.000	0.000
		Mt _{máx}	0.000	0.000	0.000	0.000	0.000	0.000	0.000	0.000	0.000
		My _{mín}	-0.007	-0.002	0.001	0.002	0.002	0.002	0.001	-0.002	-0.007
		My _{máx}	-0.005	-0.002	0.001	0.003	0.004	0.003	0.001	-0.002	-0.005
		Mz _{mín}	0.000	0.000	0.000	0.000	0.000	0.000	0.000	0.000	0.000
		Mz _{máx}	0.000	0.000	0.000	0.000	0.000	0.000	0.000	0.000	0.000

Envolventes de los esfuerzos en barras										
Barra	Tipo de combinación	Esfuerzo	Posiciones en la barra							
			0.000 m	0.150 m	0.300 m					
N1/N28	Acero laminado	N _{mín}	0.000	0.000	0.000					
		N _{máx}	0.000	0.000	0.000					
		Vy _{mín}	-0.002	0.000	0.001					
		Vy _{máx}	-0.001	0.000	0.002					
		Vz _{mín}	0.000	0.000	0.000					
		Vz _{máx}	0.000	0.000	0.000					
		Mt _{mín}	0.000	0.000	0.000					
		Mt _{máx}	0.000	0.000	0.000					
		My _{mín}	0.000	0.000	0.000					
		My _{máx}	0.000	0.000	0.000					
		Mz _{mín}	0.000	0.000	0.000					
		Mz _{máx}	0.000	0.000	0.000					

Envolventes de los esfuerzos en barras					
Barra	Tipo de combinación	Esfuerzo	Posiciones en la barra		
			0.000 m	0.150 m	0.300 m
N28/N26	Acero laminado	N_{\min}	0.000	0.000	0.000
		N_{\max}	0.000	0.000	0.000
		Vy_{\min}	-0.002	0.000	0.001
		Vy_{\max}	-0.001	0.000	0.002
		Vz_{\min}	0.000	0.000	0.000
		Vz_{\max}	0.000	0.000	0.000
		Mt_{\min}	0.000	0.000	0.000
		Mt_{\max}	0.000	0.000	0.000
		My_{\min}	0.000	0.000	0.000
		My_{\max}	0.000	0.000	0.000
		Mz_{\min}	0.000	0.000	0.000
		Mz_{\max}	0.000	0.000	0.000

Envolventes de los esfuerzos en barras					
Barra	Tipo de combinación	Esfuerzo	Posiciones en la barra		
			0.000 m	0.150 m	0.300 m
N26/N24	Acero laminado	N_{\min}	0.000	0.000	0.000
		N_{\max}	0.000	0.000	0.000
		Vy_{\min}	-0.002	0.000	0.001
		Vy_{\max}	-0.001	0.000	0.002
		Vz_{\min}	0.000	0.000	0.000
		Vz_{\max}	0.000	0.000	0.000
		Mt_{\min}	0.000	0.000	0.000
		Mt_{\max}	0.000	0.000	0.000
		My_{\min}	0.000	0.000	0.000
		My_{\max}	0.000	0.000	0.000
		Mz_{\min}	0.000	0.000	0.000
		Mz_{\max}	0.000	0.000	0.000

Envolventes de los esfuerzos en barras					
Barra	Tipo de combinación	Esfuerzo	Posiciones en la barra		
			0.000 m	0.150 m	0.300 m
N24/N22	Acero laminado	N_{\min}	0.000	0.000	0.000
		N_{\max}	0.000	0.000	0.000
		Vy_{\min}	-0.002	0.000	0.001
		Vy_{\max}	-0.001	0.000	0.002
		Vz_{\min}	0.000	0.000	0.000
		Vz_{\max}	0.000	0.000	0.000
		Mt_{\min}	0.000	0.000	0.000
		Mt_{\max}	0.000	0.000	0.000
		My_{\min}	0.000	0.000	0.000
		My_{\max}	0.000	0.000	0.000
		Mz_{\min}	0.000	0.000	0.000
		Mz_{\max}	0.000	0.000	0.000



Envolventes de los esfuerzos en barras						
Barra	Tipo de combinación	Esfuerzo	Posiciones en la barra			
			0.000 m	0.150 m	0.300 m	
		Mt_{\min}	0.000	0.000	0.000	
		Mt_{\max}	0.000	0.000	0.000	
		My_{\min}	0.000	0.000	0.000	
		My_{\max}	0.000	0.000	0.000	
		Mz_{\min}	0.000	0.000	0.000	
		Mz_{\max}	0.000	0.000	0.000	

Envolventes de los esfuerzos en barras						
Barra	Tipo de combinación	Esfuerzo	Posiciones en la barra			
			0.000 m	0.150 m	0.300 m	
N22/N20	Acero laminado	N_{\min}	0.000	0.000	0.000	
		N_{\max}	0.000	0.000	0.000	
		Vy_{\min}	-0.002	0.000	0.001	
		Vy_{\max}	-0.001	0.000	0.002	
		Vz_{\min}	0.000	0.000	0.000	
		Vz_{\max}	0.000	0.000	0.000	
		Mt_{\min}	0.000	0.000	0.000	
		Mt_{\max}	0.000	0.000	0.000	
		My_{\min}	0.000	0.000	0.000	
		My_{\max}	0.000	0.000	0.000	
		Mz_{\min}	0.000	0.000	0.000	
		Mz_{\max}	0.000	0.000	0.000	

Envolventes de los esfuerzos en barras						
Barra	Tipo de combinación	Esfuerzo	Posiciones en la barra			
			0.000 m	0.100 m	0.200 m	
N20/N29	Acero laminado	N_{\min}	0.000	0.000	0.000	
		N_{\max}	0.000	0.000	0.000	
		Vy_{\min}	-0.001	0.000	0.001	
		Vy_{\max}	-0.001	0.000	0.001	
		Vz_{\min}	0.000	0.000	0.000	
		Vz_{\max}	0.000	0.000	0.000	
		Mt_{\min}	0.000	0.000	0.000	
		Mt_{\max}	0.000	0.000	0.000	
		My_{\min}	0.000	0.000	0.000	
		My_{\max}	0.000	0.000	0.000	
		Mz_{\min}	0.000	0.000	0.000	
		Mz_{\max}	0.000	0.000	0.000	



Envolventes de los esfuerzos en barras						
Barra	Tipo de combinación	Esfuerzo	Posiciones en la barra			
			0.000 m	0.100 m	0.200 m	
N29/N18	Acero laminado	N_{\min}	0.000	0.000	0.000	
		N_{\max}	0.000	0.000	0.000	
		Vy_{\min}	-0.001	0.000	0.001	
		Vy_{\max}	-0.001	0.000	0.001	
		Vz_{\min}	0.000	0.000	0.000	
		Vz_{\max}	0.000	0.000	0.000	
		Mt_{\min}	0.000	0.000	0.000	
		Mt_{\max}	0.000	0.000	0.000	
		My_{\min}	0.000	0.000	0.000	
		My_{\max}	0.000	0.000	0.000	
		Mz_{\min}	0.000	0.000	0.000	
		Mz_{\max}	0.000	0.000	0.000	

Envolventes de los esfuerzos en barras										
Barra	Tipo de combinación	Esfuerzo	Posiciones en la barra							
			0.000 m	0.400 m	0.800 m	1.200 m	1.600 m	2.000 m	2.400 m	2.800 m
N29/N30	Acero laminado	N_{\min}	0.000	0.000	0.000	0.000	0.000	0.000	0.000	0.000
		N_{\max}	0.000	0.000	0.000	0.000	0.000	0.000	0.000	0.000
		Vy_{\min}	0.000	0.000	0.000	0.000	0.000	0.000	0.000	0.000
		Vy_{\max}	0.000	0.000	0.000	0.000	0.000	0.000	0.000	0.000
		Vz_{\min}	-0.013	-0.010	-0.007	-0.003	0.000	0.002	0.004	0.006
		Vz_{\max}	-0.009	-0.006	-0.004	-0.002	0.000	0.003	0.007	0.010
		Mt_{\min}	0.000	0.000	0.000	0.000	0.000	0.000	0.000	0.000
		Mt_{\max}	0.000	0.000	0.000	0.000	0.000	0.000	0.000	0.000
		My_{\min}	-0.007	-0.002	0.001	0.002	0.002	0.002	0.001	-0.002
		My_{\max}	-0.005	-0.002	0.001	0.003	0.004	0.003	0.001	-0.002
		Mz_{\min}	0.000	0.000	0.000	0.000	0.000	0.000	0.000	0.000
		Mz_{\max}	0.000	0.000	0.000	0.000	0.000	0.000	0.000	0.000

2.3.2.2.- Resistencia

Referencias:

N: Esfuerzo axil (t)

Vy: Esfuerzo cortante según el eje local Y de la barra. (t)

Vz: Esfuerzo cortante según el eje local Z de la barra. (t)

Mt: Momento torsor (t·m)



My: Momento flector en el plano 'XZ' (giro de la sección respecto al eje local 'Y' de la barra).
(t·m)

Mz: Momento flector en el plano 'XY' (giro de la sección respecto al eje local 'Z' de la barra).
(t·m)

Los esfuerzos indicados son los correspondientes a la combinación pésima, es decir, aquella que demanda la máxima resistencia de la sección.

Origen de los esfuerzos pésimos:

- G: Sólo gravitatorias
- GV: Gravitatorias + viento
- GS: Gravitatorias + sismo
- GVS: Gravitatorias + viento + sismo

□: Aprovechamiento de la resistencia. La barra cumple con las condiciones de resistencia de la norma si se cumple que □ □ 100 %.

Comprobación de resistencia										
Barra	□ (%)	Posición (m)	Esfuerzos pésimos						Origen	Estado
			N (t)	Vy (t)	Vz (t)	Mt (t·m)	My (t·m)	Mz (t·m)		
N1/N16	0.05	0.000	0.000	0.000	0.002	0.000	0.000	0.000	G	Cumple
N16/N14	0.05	0.000	0.000	0.000	0.002	0.000	0.000	0.000	G	Cumple
N14/N12	0.05	0.000	0.000	0.000	0.002	0.000	0.000	0.000	G	Cumple
N12/N10	0.05	0.000	0.000	0.000	0.002	0.000	0.000	0.000	G	Cumple
N10/N8	0.05	0.000	0.000	0.000	0.002	0.000	0.000	0.000	G	Cumple
N8/N6	0.05	0.000	0.000	0.000	0.002	0.000	0.000	0.000	G	Cumple
N6/N4	0.05	0.000	0.000	0.000	0.002	0.000	0.000	0.000	G	Cumple
N4/N2	0.05	0.000	0.000	0.000	0.002	0.000	0.000	0.000	G	Cumple
N2/N27	0.02	0.000	0.000	0.000	0.002	0.000	0.000	0.000	G	Cumple
N27/N25	0.02	0.000	0.000	0.000	0.002	0.000	0.000	0.000	G	Cumple
N25/N23	0.02	0.000	0.000	0.000	0.002	0.000	0.000	0.000	G	Cumple
N23/N21	0.02	0.000	0.000	0.000	0.002	0.000	0.000	0.000	G	Cumple
N21/N19	0.02	0.000	0.000	0.000	0.002	0.000	0.000	0.000	G	Cumple
N19/N30	0.01	0.000	0.000	0.000	0.001	0.000	0.000	0.000	G	Cumple
N30/N3	0.01	0.000	0.000	0.000	0.001	0.000	0.000	0.000	G	Cumple
N4/N5	83.83	0.000	0.124	-0.938	-0.030	0.000	-0.016	-0.257	G	Cumple
N6/N7	83.05	0.000	-0.003	-0.937	-0.019	0.000	-0.010	-0.257	G	Cumple
N8/N9	83.14	0.000	-0.004	-0.937	-0.020	0.000	-0.012	-0.257	G	Cumple
N10/N11	82.33	0.000	0.000	-0.937	-0.020	0.000	-0.012	-0.257	G	Cumple



Barra	□ (%)	Posición (m)	Comprobación de resistencia							Origen	Estado
			Esfuerzos pésimos								
N12/N13	83.14	0.000	0.004	-0.937	-0.020	0.000	-0.011	-0.257	G	Cumple	
N14/N15	83.03	0.000	0.005	-0.937	-0.019	0.000	-0.009	-0.257	G	Cumple	
N16/N17	82.95	0.000	-0.131	-0.939	-0.004	0.000	0.001	-0.257	G	Cumple	
N18/N17	20.58	0.400	1.373	-0.279	0.058	0.000	-0.042	0.074	G	Cumple	
N17/N15	20.98	0.000	0.982	-0.410	0.081	0.000	0.009	-0.085	G	Cumple	
N15/N13	20.48	0.000	0.589	-0.405	0.097	0.000	0.026	-0.081	G	Cumple	
N13/N11	20.15	0.000	0.196	-0.401	0.112	0.000	0.037	-0.080	G	Cumple	
N11/N9	20.43	0.000	-0.196	-0.401	0.127	0.000	0.042	-0.080	G	Cumple	
N9/N7	20.97	0.000	-0.589	-0.405	0.142	0.000	0.041	-0.080	G	Cumple	
N7/N5	21.88	0.400	-0.982	-0.408	0.165	0.000	-0.031	0.084	G	Cumple	
N5/N3	19.81	0.000	-1.373	-0.284	0.162	0.000	0.020	-0.075	G	Cumple	
N20/N19	1.35	0.000	0.000	0.000	-0.013	0.000	-0.007	0.000	G	Cumple	
N22/N21	1.35	0.000	0.000	0.000	-0.013	0.000	-0.007	0.000	G	Cumple	
N24/N23	1.35	0.000	0.000	0.000	-0.013	0.000	-0.007	0.000	G	Cumple	
N26/N25	1.35	0.000	0.000	0.000	-0.013	0.000	-0.007	0.000	G	Cumple	
N28/N27	1.35	0.000	0.000	0.000	-0.013	0.000	-0.007	0.000	G	Cumple	
N1/N28	0.03	0.000	0.000	-0.002	0.000	0.000	0.000	0.000	G	Cumple	
N28/N26	0.03	0.000	0.000	-0.002	0.000	0.000	0.000	0.000	G	Cumple	
N26/N24	0.03	0.000	0.000	-0.002	0.000	0.000	0.000	0.000	G	Cumple	
N24/N22	0.03	0.000	0.000	-0.002	0.000	0.000	0.000	0.000	G	Cumple	
N22/N20	0.03	0.000	0.000	-0.002	0.000	0.000	0.000	0.000	G	Cumple	
N20/N29	0.02	0.000	0.000	-0.001	0.000	0.000	0.000	0.000	G	Cumple	
N29/N18	0.02	0.000	0.000	-0.001	0.000	0.000	0.000	0.000	G	Cumple	
N29/N30	1.35	0.000	0.000	0.000	-0.013	0.000	-0.007	0.000	G	Cumple	

2.3.2.3.- Flechas

Referencias:

Pos.: Valor de la coordenada sobre el eje 'X' local del grupo de flecha en el punto donde se produce el valor pésimo de la flecha.

L.: Distancia entre dos puntos de corte consecutivos de la deformada con la recta que une los nudos extremos del grupo de flecha.



Grupo	Flechas							
	Flecha máxima absoluta xy Flecha máxima relativa xy		Flecha máxima absoluta xz Flecha máxima relativa xz		Flecha activa absoluta xy Flecha activa relativa xy		Flecha activa absoluta xz Flecha activa relativa xz	
	Pos. (m)	Flecha (mm)	Pos. (m)	Flecha (mm)	Pos. (m)	Flecha (mm)	Pos. (m)	Flecha (mm)
N1/N2	3.000	0.00	0.200	0.00	0.000	0.00	0.000	0.00
	3.000	L/(>1000)	3.000	L/(>1000)	-	L/(>1000)	-	L/(>1000)
N2/N3	0.150	0.00	0.150	0.00	0.000	0.00	0.000	0.00
	0.150	L/(>1000)	0.150	L/(>1000)	-	L/(>1000)	-	L/(>1000)
N4/N5	0.950	3.19	1.140	0.03	0.000	0.00	0.000	0.00
	0.950	L/596.2	1.140	L/(>1000)	-	L/(>1000)	-	L/(>1000)
N6/N7	0.950	3.17	1.330	0.00	0.000	0.00	0.000	0.00
	0.950	L/599.9	0.380	L/(>1000)	-	L/(>1000)	-	L/(>1000)
N8/N9	0.950	3.16	0.380	0.01	0.000	0.00	0.000	0.00
	0.950	L/600.7	0.380	L/(>1000)	-	L/(>1000)	-	L/(>1000)
N10/N11	0.950	3.16	0.380	0.01	0.000	0.00	0.000	0.00
	0.950	L/600.8	0.380	L/(>1000)	-	L/(>1000)	-	L/(>1000)
N12/N13	0.950	3.16	1.330	0.00	0.000	0.00	0.000	0.00
	0.950	L/601.1	0.380	L/(>1000)	-	L/(>1000)	-	L/(>1000)
N14/N15	0.950	3.16	1.140	0.01	0.000	0.00	0.000	0.00
	0.950	L/600.5	1.140	L/(>1000)	-	L/(>1000)	-	L/(>1000)
N16/N17	0.950	3.19	1.330	0.02	0.000	0.00	0.000	0.00
	0.950	L/596.3	1.330	L/(>1000)	-	L/(>1000)	-	L/(>1000)
N18/N3	3.000	0.04	1.800	0.08	0.000	0.00	0.000	0.00
	3.000	L/(>1000)	1.800	L/(>1000)	-	L/(>1000)	-	L/(>1000)
N20/N19	0.000	0.00	1.600	0.10	0.000	0.00	0.000	0.00
	-	L/(>1000)	1.600	L/(>1000)	-	L/(>1000)	-	L/(>1000)
N22/N21	0.000	0.00	1.600	0.10	0.000	0.00	0.000	0.00
	-	L/(>1000)	1.600	L/(>1000)	-	L/(>1000)	-	L/(>1000)
N24/N23	0.000	0.00	1.600	0.10	0.000	0.00	0.000	0.00
	-	L/(>1000)	1.600	L/(>1000)	-	L/(>1000)	-	L/(>1000)
N26/N25	0.000	0.00	1.600	0.10	0.000	0.00	0.000	0.00
	-	L/(>1000)	1.600	L/(>1000)	-	L/(>1000)	-	L/(>1000)
N28/N27	0.000	0.00	1.600	0.10	0.000	0.00	0.000	0.00
	-	L/(>1000)	1.600	L/(>1000)	-	L/(>1000)	-	L/(>1000)
N1/N18	0.150	0.00	0.150	0.00	0.000	0.00	0.000	0.00
	0.150	L/(>1000)	0.150	L/(>1000)	-	L/(>1000)	-	L/(>1000)
N29/N30	0.000	0.00	1.600	0.10	0.000	0.00	0.000	0.00
	-	L/(>1000)	1.600	L/(>1000)	-	L/(>1000)	-	L/(>1000)

2.3.2.4.- Comprobaciones E.L.U. (Completo)

Nota: Se muestra el listado completo de comprobaciones realizadas para las 10 barras con mayor coeficiente de aprovechamiento.

Barra N4/N5

Perfil: IPE 120 Material: Acero (A36)						
Nudos		Longitud (m)	Características mecánicas			
Inicial	Final		Área (cm ²)	I _x ⁽¹⁾ (cm ⁴)	I _y ⁽¹⁾ (cm ⁴)	I _t ⁽²⁾ (cm ⁴)
N4	N5	1.900	13.20	318.00	27.70	1.74

Notas:

(¹) Inercia respecto al eje indicado
(2) Momento de inercia a torsión uniforme

	Pandeo		Pandeo lateral	
	Plano ZX	Plano ZY	Ala sup.	Ala inf.
<input type="checkbox"/>	0.70	0.70	0.00	0.00
L _K	1.330	1.330	0.000	0.000
C _b	-		1.000	

Notación:

: Coeficiente de pandeo
L_K: Longitud de pandeo (m)
C_b: Factor de modificación para el momento crítico

Resistencia a tracción (Capítulo D)

Se debe satisfacer:

$$\square_T : 0.004 \quad \checkmark$$

El axil de tracción solicitante de cálculo pésimo P_r se produce para la combinación de hipótesis 1.4-PP.

Donde:

P_r: Resistencia a tracción requerida para las combinaciones de carga LRFD

P_c: Resistencia de diseño a tracción

$$P_r : 0.124 \ t$$

$$P_c : 30.275 \ t$$

La resistencia de diseño a tracción es el menor valor de los obtenidos según el estado límite de fluencia a tracción de la sección bruta y el de rotura a tracción de la sección neta



Donde:

\square_t : Factor de resistencia a tracción, tomado como:

a) Para fluencia bajo tracción en la sección bruta:

$\square_t : 0.90$

$P_n : 33.639 \text{ t}$

Donde:

A : Área bruta de la sección de la barra.

F_y : Límite elástico mínimo especificado

$A : 13.20 \text{ cm}^2$

$F_y : 2548.42 \text{ kp/cm}^2$

Limitación de esbeltez para compresión (Capítulo E)

La comprobación no procede, ya que no hay axil de compresión.

Resistencia a compresión (Capítulo E)

La comprobación no procede, ya que no hay axil de compresión.

Resistencia a flexión eje X (Capítulo F)

Todas las secciones deben cumplir con las especificaciones LRFD desarrolladas en Capítulo F de ANSI/AISC 360-10 (LRFD).

Se debe satisfacer el siguiente criterio:

$\square_M : 0.011 \quad \checkmark$

El momento flector solicitante de cálculo pésimo, M_r , se produce en el nudo N5, para la combinación de acciones 1.4·PP.

Donde:

M_r : Resistencia a flexión requerida para las combinaciones de carga LRFD

M_c : Resistencia de diseño a flexión

$M_r : 0.016 \text{ t}\cdot\text{m}$

$M_c : 1.392 \text{ t}\cdot\text{m}$

La resistencia de diseño a flexión para secciones sometidas a momento flector es el menor valor de los obtenidos según los estados límite descritos en el Capítulo F:

Donde:



\square_b : Factor de resistencia a flexión

\square_b : 0.90

M_n : La resistencia nominal a flexión calculada según
Artículo 2, Sección 1

M_n : 1.547 t·m

1. Fluencia

M_n : 1.547 t·m

Donde:

F_y : Límite elástico mínimo especificado

F_y : 2548.42 kp/cm²

Z_x : Módulo resistente plástico respecto al eje X

Z_x : 60.70 cm³

2. Pandeo lateral

- a) Si $L_b \leq L_p$, el estado límite de pandeo lateral no es de aplicación

Donde:

L_b : Distancia entre puntos de arriostramiento al desplazamiento lateral del ala comprimida o de la torsión de la sección transversal

L_b : 0 mm

L_p : 721.13 mm

Donde:

E : Módulo de elasticidad del acero

E : 2038735.98 kp/cm²

F_y : Límite elástico mínimo especificado

F_y : 2548.42 kp/cm²

r_y : 1.45 cm

Donde:

I_y : Momento de inercia respecto al eje Y

I_y : 27.70 cm⁴

A: Área total de la sección transversal de la barra.

A : 13.20 cm²

Resistencia a flexión eje Y (Capítulo F)

Todas las secciones deben cumplir con las especificaciones LRFD desarrolladas en Capítulo F de ANSI/AISC 360-10 (LRFD).

Se debe satisfacer el siguiente criterio:

\square_M : 0.825 ✓

El momento flector solicitante de cálculo pésimo, M_r , se produce en el nudo N4, para la combinación de acciones 1.4·PP.

Donde:

M_r : Resistencia a flexión requerida para las combinaciones de carga LRFD

M_c : Resistencia de diseño a flexión

$$M_r : 0.257 \text{ t} \cdot \text{m}$$

$$M_c : 0.312 \text{ t} \cdot \text{m}$$

La resistencia de diseño a flexión para secciones sometidas a momento flector es el menor valor de los obtenidos según los estados límite descritos en el Capítulo F:

Donde:

α_b : Factor de resistencia a flexión

$$\alpha_b : 0.90$$

M_n : La resistencia nominal a flexión calculada según Artículo 6, Sección 1

$$M_n : 0.347 \text{ t} \cdot \text{m}$$

1. Fluencia

$$M_n : 0.347 \text{ t} \cdot \text{m}$$

Donde:

F_y : Límite elástico mínimo especificado

$$F_y : 2548.42 \text{ kp/cm}^2$$

Z_y : Módulo resistente plástico respecto al eje Y

$$Z_y : 13.60 \text{ cm}^3$$

S_y : Módulo resistente elástico respecto al eje Y

$$S_y : 8.66 \text{ cm}^3$$

Donde:

I_y : Momento de inercia respecto al eje Y

$$I_y : 27.70 \text{ cm}^4$$

x : Distancia a la fibra extrema en flexión desde el baricentro

$$x : 32.00 \text{ mm}$$

2. Pandeo local del ala

- a) Para secciones con alas compactas el estado límite de fluencia es de aplicación

Resistencia a corte X (Capítulo G)

Todas las secciones deben cumplir con las especificaciones LRFD desarrolladas en Capítulo G de ANSI/AISC 360-10 (LRFD).

Se debe satisfacer el siguiente criterio:

$$\alpha_v : 0.085 \quad \checkmark$$



El esfuerzo cortante solicitante de cálculo pésimo V_r se produce en el nudo N4, para la combinación de hipótesis 1.4-PP.

Donde:

V_r : Resistencia a cortante requerida para las combinaciones de carga LRFD

$$V_r : \underline{0.938} \quad t$$

V_c : Resistencia de diseño a cortante

$$V_c : \underline{11.097} \quad t$$

La resistencia de diseño a cortante viene dada por:

Donde:

α_v : Factor de resistencia a cortante

$$\alpha_v : \underline{0.90}$$

V_n : se define según lo detallado en el Capítulo G, de la siguiente forma:

para secciones con simetría simple y doble cargadas en el eje débil, la resistencia nominal a cortante se calcula de la siguiente forma (ANSI/AISC 360-10 (LRFD), Capítulo G - G-7).

$$V_n : \underline{12.330} \quad t$$

Donde:

F_y : Límite elástico mínimo especificado

$$F_y : \underline{2548.42} \quad kp/cm^2$$

$$A_w : \underline{8.06} \quad cm^2$$

Donde:

b_f : Anchura total del ala

$$b_f : \underline{64.00} \quad mm$$

t_f : Espesor del ala

$$t_f : \underline{6.30} \quad mm$$

b) para todas las demás secciones con simetría doble o simple y secciones en U, excepto tubos redondos, el coeficiente de cortante del alma, C_v , se calcula de la siguiente forma:

i)

$$C_v : \underline{1.00}$$



Donde:

- b**: La mitad del ancho total del ala
- t_f**: Espesor del ala
- E**: Módulo de elasticidad del acero
- K_v**: Coeficiente de abolladura del alma

b : 32.00 mm
t_f : 6.30 mm
E : 2038735.98 kp/cm²
K_v : 1.20

Resistencia a corte Y (Capítulo G)

Todas las secciones deben cumplir con las especificaciones LRFD desarrolladas en Capítulo G de ANSI/AISC 360-10 (LRFD).

Se debe satisfacer el siguiente criterio:

$$\square_v : \underline{0.004} \quad \checkmark$$

El esfuerzo cortante solicitante de cálculo pésimo V_r se produce en el nudo N4, para la combinación de hipótesis 1.4-PP.

Donde:

- V_r**: Resistencia a cortante requerida para las combinaciones de carga LRFD
- V_c**: Resistencia de diseño a cortante

$$V_r : \underline{0.030} \quad t$$

$$V_c : \underline{8.073} \quad t$$

La resistencia de diseño a cortante viene dada por:

Donde:

En la Sección G2.1 a:

$$\square_v: \text{Factor de resistencia a cortante} \quad \square_v : \underline{1.00}$$

V_n: se define según lo detallado en el Capítulo G, de la siguiente forma:

para almas de secciones con simetría simple o doble y en U sometidas a cortante en el plano del alma (ANSI/AISC 360-10 (LRFD), Capítulo G - G2).

$$V_n : \underline{8.073} \quad t$$



Donde:

F_y : Límite elástico mínimo especificado

F_y : 2548.42 kp/cm²

A_w : 5.28 cm²

Donde:

d : Canto total

d : 120.00 mm

t_w : Espesor del alma

t_w : 4.40 mm

1. Resistencia nominal a cortante

- a) para almas de perfiles laminados de sección en doble T
cuando se cumple:

C_v : Coeficiente de cortante del alma

C_v : 1.00

Donde:

h : Distancia libre entre alas, menos el radio de acuerdo

h : 107.40 mm

E : Módulo de elasticidad del acero

E : 2038735.98 kp/cm²

2. Comprobación de rigidizadores transversales

- (a) si

No son necesarios rigidizadores transversales.

Donde:

h : Distancia libre entre alas, menos el radio de acuerdo

h : 107.40 mm

t_w : Espesor del alma

t_w : 4.40 mm

E : Módulo de elasticidad del acero

E : 2038735.98 kp/cm²

F_y : Límite elástico mínimo especificado

F_y : 2548.42 kp/cm²

Esfuerzos combinados y torsión (Capítulo H)

Se debe cumplir el siguiente criterio:

\square : 0.838 ✓

Los esfuerzos solicitantes de cálculo pésimos se producen en el nudo N4, para la combinación de acciones 1.4·PP.

Donde:



calculado según Artículo 1, Sección 2

2. Secciones con simetría doble y simple sometidas a flexión y tracción

b) Para

: 0.84

Donde:

P_r: Resistencia requerida a tracción

P_r : 0.124 t

P_c: Resistencia de diseño a tracción, calculado según el Capítulo D, Sección D2

P_c : 30.275 t

M_{rx}: Resistencia a flexión requerida en el eje fuerte

M_{rx} : 0.016 t·m

M_{cx}: Resistencia de diseño a flexión en el eje fuerte, calculado según el Capítulo F

M_{cx} : 1.392 t·m

M_{ry}: Resistencia a flexión requerida en el eje débil

M_{ry} : 0.257 t·m

M_{cy}: Resistencia de diseño a flexión en el eje débil, calculado según el Capítulo F

M_{cy} : 0.312 t·m

Barra N12/N13

Perfil: IPE 120 Material: Acero (A36)							
		Nudos		Longitud (m)	Características mecánicas		
Inicial	Final	Área (cm ²)	I _x ⁽¹⁾ (cm ⁴)		I _y ⁽¹⁾ (cm ⁴)	I _t ⁽²⁾ (cm ⁴)	
N12	N13	1.900	13.20	318.00	27.70	1.74	
Notas:							
(1) Inercia respecto al eje indicado							
(2) Momento de inercia a torsión uniforme							
		Pandeo		Pandeo lateral			
		Plano ZX	Plano ZY	Ala sup.	Ala inf.		
<input type="checkbox"/>		0.70	0.70	0.00	0.00		
L _K		1.330	1.330	0.000	0.000		
C _b		-		1.000			
Notación:							
<input type="checkbox"/> : Coeficiente de pandeo							
L _K : Longitud de pandeo (m)							
C _b : Factor de modificación para el momento crítico							

Resistencia a tracción (Capítulo D)

Se debe satisfacer:

$$\square_t < \underline{0.001} \quad \checkmark$$

El axil de tracción solicitante de cálculo pésimo P_r se produce para la combinación de hipótesis 1.4-PP.

Donde:

P_r: Resistencia a tracción requerida para las combinaciones de carga LRFD

$$P_r : \underline{0.004} \text{ t}$$

P_c: Resistencia de diseño a tracción

$$P_c : \underline{30.275} \text{ t}$$

La resistencia de diseño a tracción es el menor valor de los obtenidos según el estado límite de fluencia a tracción de la sección bruta y el de rotura a tracción de la sección neta

Donde:

_t: Factor de resistencia a tracción, tomado como:

$$\square_t : \underline{0.90}$$

a) Para fluencia bajo tracción en la sección bruta:



P_n : 33.639 t

Donde:

A : Área bruta de la sección de la barra.

F_y : Límite elástico mínimo especificado

A : 13.20 cm²

F_y : 2548.42 kp/cm²

Limitación de esbeltez para compresión (Capítulo E)

La comprobación no procede, ya que no hay axil de compresión.

Resistencia a compresión (Capítulo E)

La comprobación no procede, ya que no hay axil de compresión.

Resistencia a flexión eje X (Capítulo F)

Todas las secciones deben cumplir con las especificaciones LRFD desarrolladas en Capítulo F de ANSI/AISC 360-10 (LRFD).

Se debe satisfacer el siguiente criterio:

\square_M : 0.008 ✓

El momento flector solicitante de cálculo pésimo, M_r , se produce en el nudo N12, para la combinación de acciones 1.4-PP.

Donde:

M_r : Resistencia a flexión requerida para las combinaciones de carga LRFD

M_c : Resistencia de diseño a flexión

M_r : 0.011 t·m

M_c : 1.392 t·m

La resistencia de diseño a flexión para secciones sometidas a momento flector es el menor valor de los obtenidos según los estados límite descritos en el Capítulo F:

Donde:

\square_b : Factor de resistencia a flexión

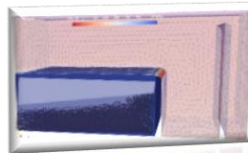
M_n : La resistencia nominal a flexión calculada según Artículo 2, Sección 1

\square_b : 0.90

M_n : 1.547 t·m

1. Fluencia





M_n : 1.547 t·m

Donde:

F_y: Límite elástico mínimo especificado

Z_x: Módulo resistente plástico respecto al eje X

F_y : 2548.42 kp/cm²

Z_x : 60.70 cm³

2. Pandeo lateral

- a) Si L_b \leq L_p, el estado límite de pandeo lateral no es de aplicación

Donde:

L_b: Distancia entre puntos de arriostramiento al desplazamiento lateral del ala comprimida o de la torsión de la sección transversal

L_b : 0 mm

L_p : 721.13 mm

Donde:

E: Módulo de elasticidad del acero

F_y: Límite elástico mínimo especificado

E : 2038735.98 kp/cm²

F_y : 2548.42 kp/cm²

r_y : 1.45 cm

Donde:

I_y: Momento de inercia respecto al eje Y

A: Área total de la sección transversal de la barra.

I_y : 27.70 cm⁴

A : 13.20 cm²

Resistencia a flexión eje Y (Capítulo F)

Todas las secciones deben cumplir con las especificaciones LRFD desarrolladas en Capítulo F de ANSI/AISC 360-10 (LRFD).

Se debe satisfacer el siguiente criterio:

$\square M$: 0.823 ✓

El momento flector solicitante de cálculo pésimo, M_r, se produce en el nudo N12, para la combinación de acciones 1.4·PP.

Donde:

M_r: Resistencia a flexión requerida para las combinaciones de carga LRFD

M_c: Resistencia de diseño a flexión

M_r : 0.257 t·m

M_c : 0.312 t·m



La resistencia de diseño a flexión para secciones sometidas a momento flector es el menor valor de los obtenidos según los estados límite descritos en el Capítulo F:

Donde:

\square_b : Factor de resistencia a flexión

\square_b : 0.90

M_n : La resistencia nominal a flexión calculada según Artículo 6, Sección 1

M_n : 0.347 t·m

1. Fluencia

M_n : 0.347 t·m

Donde:

F_y : Límite elástico mínimo especificado

F_y : 2548.42 kp/cm²

Z_y : Módulo resistente plástico respecto al eje Y

Z_y : 13.60 cm³

S_y : Módulo resistente elástico respecto al eje Y

S_y : 8.66 cm³

Donde:

I_y : Momento de inercia respecto al eje Y

I_y : 27.70 cm⁴

x : Distancia a la fibra extrema en flexión desde el baricentro

x : 32.00 mm

2. Pandeo local del ala

- a) Para secciones con alas compactas el estado límite de fluencia es de aplicación

Resistencia a corte X (Capítulo G)

Todas las secciones deben cumplir con las especificaciones LRFD desarrolladas en Capítulo G de ANSI/AISC 360-10 (LRFD).

Se debe satisfacer el siguiente criterio:

\square_v : 0.084 ✓

El esfuerzo cortante solicitante de cálculo pésimo V_r se produce en el nudo N12, para la combinación de hipótesis 1.4·PP.

Donde:



V_r: Resistencia a cortante requerida para las combinaciones de carga LRFD

$$V_r : \underline{0.937} \quad t$$

V_c: Resistencia de diseño a cortante

$$V_c : \underline{11.097} \quad t$$

La resistencia de diseño a cortante viene dada por:

Donde:

□_v: Factor de resistencia a cortante

$$\square_v : \underline{0.90}$$

V_n: se define según lo detallado en el Capítulo G, de la siguiente forma:

para secciones con simetría simple y doble cargadas en el eje débil, la resistencia nominal a cortante se calcula de la siguiente forma (ANSI/AISC 360-10 (LRFD), Capítulo G - G-7).

$$V_n : \underline{12.330} \quad t$$

Donde:

F_y: Límite elástico mínimo especificado

$$F_y : \underline{2548.42} \quad kp/cm^2$$

$$A_w : \underline{8.06} \quad cm^2$$

Donde:

b_f: Anchura total del ala

$$b_f : \underline{64.00} \quad mm$$

t_f: Espesor del ala

$$t_f : \underline{6.30} \quad mm$$

b) para todas las demás secciones con simetría doble o simple y secciones en U, excepto tubos redondos, el coeficiente de cortante del alma, C_v, se calcula de la siguiente forma:

i)

$$C_v : \underline{1.00}$$

Donde:

b: La mitad del ancho total del ala

$$b : \underline{32.00} \quad mm$$

t_f: Espesor del ala

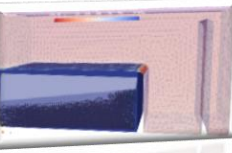
$$t_f : \underline{6.30} \quad mm$$

E: Módulo de elasticidad del acero

$$E : \underline{2038735.98} \quad kp/cm^2$$

K_v: Coeficiente de abolladura del alma

$$K_v : \underline{1.20}$$



Resistencia a corte Y (Capítulo G)

Todas las secciones deben cumplir con las especificaciones LRFD desarrolladas en Capítulo G de ANSI/AISC 360-10 (LRFD).

Se debe satisfacer el siguiente criterio:

$$\square_v : \underline{0.002} \quad \checkmark$$

El esfuerzo cortante solicitante de cálculo pésimo V_r se produce en el nudo N12, para la combinación de hipótesis 1.4-PP.

Donde:

V_r : Resistencia a cortante requerida para las combinaciones de carga LRFD

$$V_r : \underline{0.020} \quad t$$

V_c : Resistencia de diseño a cortante

$$V_c : \underline{8.073} \quad t$$

La resistencia de diseño a cortante viene dada por:

Donde:

En la Sección G2.1 a:

\square_v : Factor de resistencia a cortante

$$\square_v : \underline{1.00}$$

V_n : se define según lo detallado en el Capítulo G, de la siguiente forma:

para almas de secciones con simetría simple o doble y en U sometidas a cortante en el plano del alma (ANSI/AISC 360-10 (LRFD), Capítulo G - G2).

$$V_n : \underline{8.073} \quad t$$

Donde:

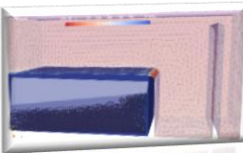
F_y : Límite elástico mínimo especificado

$$F_y : \underline{2548.42} \quad kp/cm^2$$

$$A_w : \underline{5.28} \quad cm^2$$

Donde:





d: Canto total
t_w: Espesor del alma

d : 120.00 mm
t_w : 4.40 mm

1. Resistencia nominal a cortante

- a) para almas de perfiles laminados de sección en doble T
 cuando se cumple:

C_v: Coeficiente de cortante del alma
 Donde:

h: Distancia libre entre alas, menos el radio de acuerdo

E: Módulo de elasticidad del acero

C_v : 1.00

h : 107.40 mm

E : 2038735.98 kp/cm²

2. Comprobación de rigidizadores transversales

- (a) si

No son necesarios rigidizadores transversales.

Donde:

h: Distancia libre entre alas, menos el radio de acuerdo

h : 107.40 mm

t_w: Espesor del alma

t_w : 4.40 mm

E: Módulo de elasticidad del acero

E : 2038735.98 kp/cm²

F_y: Límite elástico mínimo especificado

F_y : 2548.42 kp/cm²

Esfuerzos combinados y torsión (Capítulo H)

Se debe cumplir el siguiente criterio:

: 0.831 ✓

Los esfuerzos solicitantes de cálculo pésimos se producen en el nudo N12, para la combinación de acciones 1.4-PP.

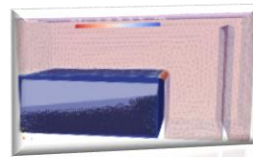
Donde:

: calculado según Artículo 1, Sección 2

2. Secciones con simetría doble y simple sometidas a flexión y tracción

- b) Para





\square : 0.83

Donde:

P_r : Resistencia requerida a tracción

P_r : 0.004 t

P_c : Resistencia de diseño a tracción, calculado según el Capítulo D, Sección D2

P_c : 30.275 t

M_{rx} : Resistencia a flexión requerida en el eje fuerte

M_{rx} : 0.011 t·m

M_{cx} : Resistencia de diseño a flexión en el eje fuerte, calculado según el Capítulo F

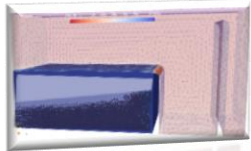
M_{cx} : 1.392 t·m

M_{ry} : Resistencia a flexión requerida en el eje débil

M_{ry} : 0.257 t·m

M_{cy} : Resistencia de diseño a flexión en el eje débil, calculado según el Capítulo F

M_{cy} : 0.312 t·m

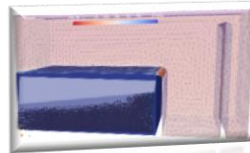


ANEXO IV



ANALISIS DE PRECIOS ESTRUCTURA DE HORMIGON ARMADO:

OBRA: PANTALLA RETENEDORA DE PARTICULAS SOLIDAS DE HORMIGON ARMADO							
ANALISIS DE PRECIO						Nº Items:	1.1
Rubro:	TRABAJOS PRELIMINARES Y ACCESORIOS						Precio Item: \$ 50.800,00
Item:	REPLANTEO						Costo Directo: \$ 55.880,00
Codigo	Materiales	Unidad	Cantidad	Precio Unitario	Unidad	Precio Parcial	TOTALES
						\$ -	\$ -
COSTO TOTAL DE LOS MATERIALES						A	\$ -
Codigo	PERSONAL	Jornada (hs)	Cantidad	Precio Unitario	Unidad	Precio Parcial	Precio Total
Oficial Especializado	8	1	\$ 3.650,00	\$/hs	\$ 29.200,00	\$ 29.200,00	
Oficial					\$ -	\$ -	
Medio Oficial					\$ -	\$ -	
Ayudante	8	1	\$ 2.700,00	\$/hs	\$ 21.600,00	\$ 21.600,00	
COSTO TOTAL DE MANO DE OBRA Y CARGA SOCIAL						B	\$ 50.800,00
COSTO TOTAL DE MATERIALES Y MANO DE OBRA C/CARGA SOCIAL (A+B)							\$ 50.800,00
INCIDENCIA DE EQUIPOS , COMBUSTIBLE Y HERRAMIENTAS (10% Costo)						C	\$ 5.080,00
COSTO DIRECTO (A+B+C)						D	\$ 55.880,00
ANALISIS DE PRECIO						Nº Items:	1.2
Rubro:	TRABAJOS PRELIMINARES Y ACCESORIOS						Precio Item: \$ 1.040.000,00
Item:	OBRADOR, DEPOSITO Y SANITARIOS						Costo Directo: \$ 1.144.000,00
Codigo	Materiales	Unidad	Cantidad	Precio Unitario	Unidad	Precio Parcial	TOTALES
Baño quimico portatil	U	1,000	\$ 140.000,00	\$/Mes	\$ 140.000,00	\$ 140.000,00	
Oficina Movil - Modulo Habitacional (6,00x2,50)	U	1,000	\$ 650.000,00	\$/Mes	\$ 650.000,00	\$ 650.000,00	
Deposito de Chapa Pañol (6,00x2,20x2,00)	U	1,000	\$ 250.000,00	\$/Mes	\$ 250.000,00	\$ 250.000,00	
COSTO TOTAL DE LOS MATERIALES						A	\$ 1.040.000,00
Codigo	PERSONAL	Jornada (hs)	Cantidad	Precio Unitario	Unidad	Precio Parcial	Precio Total
Oficial Especializado					\$ -	\$ -	
Oficial					\$ -	\$ -	
Medio Oficial					\$ -	\$ -	
Ayudante					\$ -	\$ -	
COSTO TOTAL DE MANO DE OBRA Y CARGA SOCIAL						B	\$ -
COSTO TOTAL DE MATERIALES Y MANO DE OBRA C/CARGA SOCIAL (A+B)							\$ 1.040.000,00
INCIDENCIA DE EQUIPOS , COMBUSTIBLE Y HERRAMIENTAS (10% Costo)						C	\$ 104.000,00
COSTO DIRECTO (A+B+C)						D	\$ 1.144.000,00



**Proyecto Final: Aplicaciòn de Software de Cálculo y Diseño en Càmara Rompecarga
CFD - OPEN FOAM**

ANALISIS DE PRECIO							Nº Items:	1.3
Rubro:	TRABAJOS PRELIMINARES Y ACCESORIOS						Precio Item:	\$ 87.600,00
Item:	LIMPIEZA PERIODICA Y FINAL						Costo Directo:	\$ 96.360,00
Codigo	Materiales	Unidad	Cantidad	Precio Unitario	Unidad	Precio Parcial	TOTALES	
						\$ -	\$ -	
COSTO TOTAL DE LOS MATERIALES							A	\$ -
Codigo	PERSONAL	Jornada (hs)	Cantidad	Precio Unitario	Unidad	Precio Parcial	Precio Total	
	Oficial Especializado				\$/hs	\$ -	\$ -	
	Oficial				\$/hs	\$ -	\$ -	
	Medio Oficial	8	1	\$ 2.850,00	\$/hs	\$ 22.800,00	\$ 22.800,00	
	Ayudante	4	6	\$ 2.700,00	\$/hs	\$ 64.800,00	\$ 64.800,00	
COSTO TOTAL DE MANO DE OBRA Y CARGA SOCIAL							B	\$ 87.600,00
COSTO TOTAL DE MATERIALES Y MANO DE OBRA C/CARGA SOCIAL (A+B)								\$ 87.600,00
INCIDENCIA DE EQUIPOS , COMBUSTIBLE Y HERRAMIENTAS (10% Costo)							C	\$ 8.760,00
COSTO DIRECTO (A+B+C)							D	\$ 96.360,00
ANALISIS DE PRECIO							Nº Items:	1.4
Rubro:	TRABAJOS PRELIMINARES Y ACCESORIOS						Precio Item:	\$ 945.742,00
Item:	VIGILANCIA						Costo Directo:	\$ 1.040.316,20
Codigo	Materiales	Unidad	Cantidad	Precio Unitario	Unidad	Precio Parcial	TOTALES	
						\$ -	\$ -	
COSTO TOTAL DE LOS MATERIALES							A	\$ -
Codigo	PERSONAL	Jornada (hs)	Cantidad	Precio Unitario	Unidad	Precio Parcial	Precio Total	
	Sereno	12	2	\$ 472.871,00	\$/mes	\$ 945.742,00	\$ 945.742,00	
COSTO TOTAL DE MANO DE OBRA Y CARGA SOCIAL							B	\$ 945.742,00
COSTO TOTAL DE MATERIALES Y MANO DE OBRA C/CARGA SOCIAL (A+B)								\$ 945.742,00
INCIDENCIA DE EQUIPOS , COMBUSTIBLE Y HERRAMIENTAS (10% Costo)							C	\$ 94.574,20
COSTO DIRECTO (A+B+C)							D	\$ 1.040.316,20





Proyecto Final: Aplicaciòn de Software de Cálculo y Diseño en Càmara Rompecarga
CFD - OPEN FOAM

ANALISIS DE PRECIO						Nº Items:	1.5
Rubro:	TRABAJOS PRELIMINARES Y ACCESORIOS						Precio Item: \$ 522.110,00
Item:	MOVIMIENTO DE SUELO/ESCOMBROS						Costo Directo: \$ 574.321,00
Codigo	Materiales	Unidad	Cantidad	Precio Unitario	Unidad	Precio Parcial	TOTALES
	Palas, Pico , Carretillas	gl	2	\$ 1.855,00	\$/gl	\$ 3.710,00	\$ 3.710,00
	Maquinarias	gl	1	\$ 420.000,00	\$/gl	\$ 420.000,00	\$ 420.000,00
COSTO TOTAL DE LOS MATERIALES						A	\$ 423.710,00
Codigo	PERSONAL	Jornada (hs)	Cantidad	Precio Unitario	Unidad	Precio Parcial	Precio Total
	Oficial Especializado	8	1	\$ 3.650,00	\$/hs	\$ 29.200,00	\$ 29.200,00
	Oficial	8	1	\$ 3.100,00	\$/hs	\$ 24.800,00	\$ 24.800,00
	Medio Oficial	8	1	\$ 2.850,00	\$/hs	\$ 22.800,00	\$ 22.800,00
	Ayudante	8	1	\$ 2.700,00	\$/hs	\$ 21.600,00	\$ 21.600,00
COSTO TOTAL DE MANO DE OBRA Y CARGA SOCIAL						B	\$ 98.400,00
COSTO TOTAL DE MATERIALES Y MANO DE OBRA C/CARGA SOCIAL (A+B)							\$ 522.110,00
INCIDENCIA DE EQUIPOS , COMBUSTIBLE Y HERRAMIENTAS (10% Costo)						C	\$ 52.211,00
COSTO DIRECTO (A+B+C)						D	\$ 574.321,00
ANALISIS DE PRECIO						Nº Items:	2
Rubro:	HORMIGON ARMADO						Precio Item: \$ 885.400,00
Item:	PANTALLA DE HORMIGON ARMADO						Costo Directo: \$ 973.940,00
Codigo	Materiales	Unidad	Cantidad	Precio Unitario	Unidad	Precio Parcial	TOTALES
	Hº Elaborado F'c = 25Mpa	m³	1	\$ 164.800,00	\$/m³	\$ 164.800,00	\$ 164.800,00
	Hierro torsionado 10mm	m	12	\$ 16.800,00	\$/barra 12m	\$ 201.600,00	\$ 201.600,00
	Alambre de atar N°14	kg	0,6	\$ 15.000,00	\$/kg	\$ 9.000,00	\$ 9.000,00
	Acelerador de Frague SIKA	kg	6	\$ 25.000,00	\$/kg	\$ 150.000,00	\$ 150.000,00
COSTO TOTAL DE LOS MATERIALES						A	\$ 525.400,00
Codigo	PERSONAL	Jornada (hs)	Cantidad	Precio Unitario	Unidad	Precio Parcial	Precio Total
	Oficial Especializado	8	3	\$ 3.650,00	\$/hs	\$ 87.600,00	\$ 87.600,00
	Oficial	8	3	\$ 3.100,00	\$/hs	\$ 74.400,00	\$ 74.400,00
	Medio Oficial	8	3	\$ 2.850,00	\$/hs	\$ 68.400,00	\$ 68.400,00
	Ayudante	8	6	\$ 2.700,00	\$/hs	\$ 129.600,00	\$ 129.600,00
COSTO TOTAL DE MANO DE OBRA Y CARGA SOCIAL						B	\$ 360.000,00
COSTO TOTAL DE MATERIALES Y MANO DE OBRA C/CARGA SOCIAL (A+B)							\$ 885.400,00
INCIDENCIA DE EQUIPOS , COMBUSTIBLE Y HERRAMIENTAS (10% Costo)						C	\$ 88.540,00
COSTO DIRECTO (A+B+C)						D	\$ 973.940,00

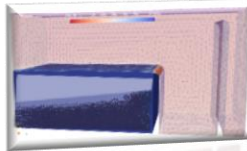




Proyecto Final: Aplicaciòn de Software de Cálculo y Diseño en Càmara Rompecarga
CFD - OPEN FOAM

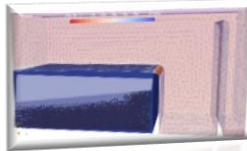
ANALISIS DE PRECIO						Nº Items:	3
Rubro: ENCOFRADO Y DESENCOFRADO						Precio Item:	\$ 371.110,00
Item: PANTALLA DE HORMIGON						Costo Directo:	\$ 408.221,00
Codigo	Materiales	Unidad	Cantidad	Precio Unitario	Unidad	Precio Parcial	TOTALES
	Madera para encofrado 1" x 2 x 3.20m	m ²	2	\$ 1.380,00	\$/m ²	\$ 2.760,00	\$ 2.760,00
	Caja de Clavos 30kg Acindar Punta paris 2" Megamaq	kg	1	\$ 8.350,00	\$/kg	\$ 8.350,00	\$ 8.350,00
COSTO TOTAL DE LOS MATERIALES						A	\$ 11.110,00
Codigo	PERSONAL	Jornada (hs)	Cantidad	Precio Unitario	Unidad	Precio Parcial	Precio Total
	Oficial Especializado	8	3	\$ 3.650,00	\$/hs	\$ 87.600,00	\$ 87.600,00
	Oficial	8	3	\$ 3.100,00	\$/hs	\$ 74.400,00	\$ 74.400,00
	Medio Oficial	8	3	\$ 2.850,00	\$/hs	\$ 68.400,00	\$ 68.400,00
	Ayudante	8	6	\$ 2.700,00	\$/hs	\$ 129.600,00	\$ 129.600,00
COSTO TOTAL DE MANO DE OBRA Y CARGA SOCIAL						B	\$ 360.000,00
COSTO TOTAL DE MATERIALES Y MANO DE OBRA C/CARGA SOCIAL (A+B)							\$ 371.110,00
INCIDENCIA DE EQUIPOS , COMBUSTIBLE Y HERRAMIENTAS (10% Costo)						C	\$ 37.111,00
COSTO DIRECTO (A+B+C)						D	\$ 408.221,00
ANALISIS DE PRECIO						Nº Items:	4
Rubro: HORMIGON ARMADO						Precio Item:	\$ 1.813.097,00
Item: REALIZACION DE ANCLAJES						Costo Directo:	\$ 1.994.406,70
Codigo	Materiales	Unidad	Cantidad	Precio Unitario	Unidad	Precio Parcial	TOTALES
	Sikadur 32 gel - Puente adherente Hº - 5kg	kg	1	\$ 298.897,00	\$/kg	\$ 298.897,00	\$ 298.897,00
	Sikadur 31 - Adhesivo Estructural - 1kg	kg	4	\$ 54.800,00	\$/kg	\$ 219.200,00	\$ 219.200,00
	Anclaje quimico - Ampolla RMII Fischer- 12mm x 12cm (10u)	caja	11	\$ 85.000,00	\$/10U	\$ 935.000,00	\$ 935.000,00
COSTO TOTAL DE LOS MATERIALES						A	\$ 1.453.097,00
Codigo	PERSONAL	Jornada (hs)	Cantidad	Precio Unitario	Unidad	Precio Parcial	Precio Total
	Oficial Especializado	8	3	\$ 3.650,00	\$/hs	\$ 87.600,00	\$ 87.600,00
	Oficial	8	3	\$ 3.100,00	\$/hs	\$ 74.400,00	\$ 74.400,00
	Medio Oficial	8	3	\$ 2.850,00	\$/hs	\$ 68.400,00	\$ 68.400,00
	Ayudante	8	6	\$ 2.700,00	\$/hs	\$ 129.600,00	\$ 129.600,00
COSTO TOTAL DE MANO DE OBRA Y CARGA SOCIAL						B	\$ 360.000,00
COSTO TOTAL DE MATERIALES Y MANO DE OBRA C/CARGA SOCIAL (A+B)							\$ 1.813.097,00
INCIDENCIA DE EQUIPOS , COMBUSTIBLE Y HERRAMIENTAS (10% Costo)						C	\$ 181.309,70
COSTO DIRECTO (A+B+C)						D	\$ 1.994.406,70





Proyecto Final: Aplicaciòn de Software de Cálculo y Diseño en Càmara Rompecarga
CFD - OPEN FOAM

ANALISIS DE PRECIO							Nº Items:	5		
Rubro:	IMPERMEABILIZACION					Precio Item:	\$ 310.975,00			
Item:	PINTURA Y ACABADO					Costo Directo:	\$ 342.072,50			
Codigo	Materiales		Unidad	Cantidad	Precio Unitario	Unidad	Precio Parcial	TOTALES		
	Pintura Epoxi 4040 sin solvente Apta para sup c/agua potabl		kg	5	\$ 38.675,00	\$/kg	\$ 193.375,00	\$ 193.375,00		
COSTO TOTAL DE LOS MATERIALES							A	\$ 193.375,00		
Codigo	PERSONAL		Jornada (hs)	Cantidad	Precio Unitario	Unidad	Precio Parcial	Precio Total		
	Oficial Especializado				\$ 3.650,00	\$/hs	\$ -	\$ -		
	Oficial		8	3	\$ 3.100,00	\$/hs	\$ 74.400,00	\$ 74.400,00		
	Medio Oficial				\$ 2.850,00	\$/hs	\$ -	\$ -		
	Ayudante		8	2	\$ 2.700,00	\$/hs	\$ 43.200,00	\$ 43.200,00		
COSTO TOTAL DE MANO DE OBRA Y CARGA SOCIAL							B	\$ 117.600,00		
COSTO TOTAL DE MATERIALES Y MANO DE OBRA C/CARGA SOCIAL (A+B)								\$ 310.975,00		
INCIDENCIA DE EQUIPOS , COMBUSTIBLE Y HERRAMIENTAS (10% Costo)							C	\$ 31.097,50		
COSTO DIRECTO (A+B+C)							D	\$ 342.072,50		



COMPUTO Y PRESUPUESTO - ESTRUCTURA DE HºAº

OBRA: PANTALLA DE HORMIGON ARMADO - APLICACIÓN SOFTWARE DE DISEÑO Y CALCULO - CFD OPEN FOAM							
COMPUTO Y PRESUPUESTO							
RUBRO	ITEMS	DESIGNACION	COMPUTO		PRESUPUESTO		
			Unidad	Cantidad	Costo Unitario (\$/Un)	Costo Item (\$)	Costo Rubro (\$)
1	TRABAJOS PRELIMINARES						\$ 2.646.252,00 39,99%
	1.1	REPLANTEO	m ²	1	\$ 50.800,00	\$ 50.800,00	
	1.2	OBRADOR, DEPOSITO Y SANITARIOS	gl	1	\$ 1.040.000,00	\$ 1.040.000,00	
	1.3	LIMPIEZA PERIODICA Y FINAL	gl	1	\$ 87.600,00	\$ 87.600,00	
	1.4	VIGILANCIA	gl	1	\$ 945.742,00	\$ 945.742,00	
	1.5	MOVIMIENTO DE SUELO/ESCOMBROS	m ³	1	\$ 522.110,00	\$ 522.110,00	
2	HORMIGON ARMADO						\$ 1.104.979,20 16,70%
	2.1	PANTALLA DE HORMIGON ARMADO	m ²	1,248	\$ 885.400,00	\$ 1.104.979,20	
3	ENCOFRADO Y DESENCOFRADO						\$ 742.220,00 11,22%
	3.1	PANTALLA DE HORMIGON	m ²	2	\$ 371.110,00	\$ 742.220,00	
4	REALIZACION DE ANCLAJES						\$ 1.813.097,00 27,40%
	4.1	ANCLAJES QUIMICOS	m ³	1	\$ 1.813.097,00	\$ 1.813.097,00	
5	IMPERMEABILIZACION						\$ 310.975,00 4,70%
	5.1	PINTURA Y ACABADO	m ²	1	\$ 310.975,00	\$ 310.975,00	
COSTO DE LA OBRA						\$ 6.617.523,20	100%
COSTO TOTAL DE MATERIALES Y MANO DE OBRA C/CARGA SOCIAL						\$ 6.617.523,20	
COSTO INDIRECTO						3%	\$ 198.525,70
GASTOS GENERALES						7%	\$ 463.226,62
GASTOS FINANCIEROS						1,05%	\$ 69.483,99
SUBTOTAL						\$ 7.348.759,51	
BENEFICIO						10%	\$ 661.752,32
SUBTOTAL						\$ 8.010.511,83	
INGRESO BRUTO						3,50%	\$ 280.367,91
IMPUESTO AL CHEQUE						1,20%	\$ 96.126,14
IVA						21%	\$ 1.682.207,49
TOTAL OBRA						\$ 10.069.213,37	



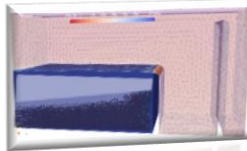
PLAN DE TRABAJO ESTRUCTURA DE HORMIGÓN ARMADO

Nº	DESIGNACION	MONTO	INC%	PLAN DE AVANCE							PLAN DE TRABAJO [DIAS]						
				1	2	3	4	5	6	7	8	9	10	11	12	13	14
1	TRABAJOS PRELIMINARES	\$ 2,646,252,00	39,99%														
	1.1 REPUESTO	\$ 50,800,00	0,77%	100%													
	1.2 OBRADOR, DEPOSITO Y SANITARIOS	\$ 1,040,000,00	15,72%	70%	30%												
	1.3 LIMPIEZA PERIODICA Y FINAL	\$ 87,600,00	1,32%		30%	10%	10%	10%	10%	10%	10%	10%	10%	10%	10%	10%	10%
	1.4 VIGILANCIA	\$ 945,742,00	14,29%	14%	14%	14%	14%	14%	14%	14%	14%	14%	14%	14%	14%	14%	14%
	1.5 MOVIMIENTO DE SUELO/ESCOMBROS	\$ 522,110,00	7,83%	30%	40%												
2	ENCOFRADO Y DESENCOFRADO	\$ 1,104,979,20	16,70%	2,367	33%	33%	33%	33%	33%	33%	33%	33%	33%	33%	33%	33%	33%
	2.1 ARMADO DE ESTRUCTURA	\$ 742,220,00	11,22%		5,566	5,566	5,566	5,566	5,566	5,566	5,566	5,566	5,566	5,566	5,566	5,566	5,566
3	ENCOFRADO Y DESENCOFRADO	\$															
	3.1 PANTALLA DE HORMIGÓN	\$ 1,813,097,00	27,40%	-		5,608	0	0	0	0	0	0	0	0	0	0	0
4	REALIZACION DE ANCIALES	\$															
	4.1 ANCIALES QUÍMICOS	\$															
5	IMPERMEABILIZACION	\$ 310,975,00	4,70%		0	0	0	0	0	0	0	0	0	0	0	0	0
	5.1 PINTURA Y ACABADO	\$															
	COSTO	\$ 6,617,523,20															
	GASTOS GENERALES Y OTROS	\$ 3,451,690,17															
	TOTAL	\$ 10,069,213,37	100,00%														
	% de Avance Diario Previsto																
	% de Avance Diario Acumulado Previsto																
	\$ de Avance Diario Previsto																
	\$ de Avance Diario Acumulado Previsto																



ANALISIS DE PRECIOS ESTRUCTURA METALICA

OBRA: PANTALLA RETENEDORA DE PARTICULAS SOLIDAS							
ANALISIS DE PRECIO						Nº Items:	1.1
Rubro:	TRABAJOS PRELIMINARES Y ACCESORIOS						Precio Item: \$ 50.800,00
Item:	REPLANTEO						Costo Directo: \$ 55.880,00
Codigo	Materiales	Unidad	Cantidad	Precio Unitario	Unidad	Precio Parcial	TOTALES
						\$ -	\$ -
COSTO TOTAL DE LOS MATERIALES						A	\$ -
PERSONAL							
	Oficial Especializado	8	1	\$ 3.650,00	\$/hs	\$ 29.200,00	\$ 29.200,00
	Oficial					\$ -	\$ -
	Medio Oficial					\$ -	\$ -
	Ayudante	8	1	\$ 2.700,00	\$/hs	\$ 21.600,00	\$ 21.600,00
COSTO TOTAL DE MANO DE OBRA Y CARGA SOCIAL						B	\$ 50.800,00
COSTO TOTAL DE MATERIALES Y MANO DE OBRA C/CARGA SOCIAL (A+B)							
INCIDENCIA DE EQUIPOS , COMBUSTIBLE Y HERRAMIENTAS (10% Costo)						C	\$ 5.080,00
COSTO DIRECTO (A+B+C)						D	\$ 55.880,00
ANALISIS DE PRECIO						Nº Items:	1.2
Rubro:	TRABAJOS PRELIMINARES Y ACCESORIOS						Precio Item: \$ 1.040.000,00
Item:	OBRADOR, DEPOSITO Y SANITARIOS						Costo Directo: \$ 1.144.000,00
Codigo	Materiales	Unidad	Cantidad	Precio Unitario	Unidad	Precio Parcial	TOTALES
	Baño químico portatil	U	1,000	\$ 140.000,00	\$/Mes	\$ 140.000,00	\$ 140.000,00
	Oficina Movil - Modulo Habitacional (6,00x2,50)	U	1,000	\$ 650.000,00	\$/Mes	\$ 650.000,00	\$ 650.000,00
	Deposito de Chapa Pañol (6,00x2,20x2,00)	U	1,000	\$ 250.000,00	\$/Mes	\$ 250.000,00	\$ 250.000,00
COSTO TOTAL DE LOS MATERIALES						A	\$ 1.040.000,00
PERSONAL							
	Oficial Especializado					\$ -	\$ -
	Oficial					\$ -	\$ -
	Medio Oficial					\$ -	\$ -
	Ayudante					\$ -	\$ -
COSTO TOTAL DE MANO DE OBRA Y CARGA SOCIAL						B	\$ -
COSTO TOTAL DE MATERIALES Y MANO DE OBRA C/CARGA SOCIAL (A+B)							\$ 1.040.000,00
INCIDENCIA DE EQUIPOS , COMBUSTIBLE Y HERRAMIENTAS (10% Costo)						C	\$ 104.000,00
COSTO DIRECTO (A+B+C)						D	\$ 1.144.000,00



Proyecto Final: Aplicaciòn de Software de Cálculo y Diseño en Càmara Rompecarga
CFD - OPEN FOAM

ANALISIS DE PRECIO							Nº Items:	1.3
Rubro:	TRABAJOS PRELIMINARES Y ACCESORIOS						Precio Item:	\$ 87.600,00
Item:	LIMPIEZA PERIODICA Y FINAL						Costo Directo:	\$ 96.360,00
Codigo	Materiales	Unidad	Cantidad	Precio Unitario	Unidad	Precio Parcial	TOTALES	
						\$ -	\$ -	
COSTO TOTAL DE LOS MATERIALES							A	\$ -
Codigo	PERSONAL	Jornada (hs)	Cantidad	Precio Unitario	Unidad	Precio Parcial	Precio Total	
Oficial Especializado					\$/hs	\$ -	\$ -	
Oficial					\$/hs	\$ -	\$ -	
Medio Oficial	8	1	\$ 2.850,00	\$/hs	\$ 22.800,00	\$ 22.800,00		
Ayudante	4	6	\$ 2.700,00	\$/hs	\$ 64.800,00	\$ 64.800,00		
COSTO TOTAL DE MANO DE OBRA Y CARGA SOCIAL							B	\$ 87.600,00
COSTO TOTAL DE MATERIALES Y MANO DE OBRA C/CARGA SOCIAL (A+B)								\$ 87.600,00
INCIDENCIA DE EQUIPOS , COMBUSTIBLE Y HERRAMIENTAS (10% Costo)							C	\$ 8.760,00
COSTO DIRECTO (A+B+C)							D	\$ 96.360,00
ANALISIS DE PRECIO							Nº Items:	1.4
Rubro:	TRABAJOS PRELIMINARES Y ACCESORIOS						Precio Item:	\$ 945.742,00
Item:	VIGILANCIA						Costo Directo:	\$ 1.040.316,20
Codigo	Materiales	Unidad	Cantidad	Precio Unitario	Unidad	Precio Parcial	TOTALES	
						\$ -	\$ -	
COSTO TOTAL DE LOS MATERIALES							A	\$ -
Codigo	PERSONAL	Jornada (hs)	Cantidad	Precio Unitario	Unidad	Precio Parcial	Precio Total	
Sereno	12	2	\$ 472.871,00	\$/mes	\$ 945.742,00	\$ 945.742,00		
COSTO TOTAL DE MANO DE OBRA Y CARGA SOCIAL							B	\$ 945.742,00
COSTO TOTAL DE MATERIALES Y MANO DE OBRA C/CARGA SOCIAL (A+B)								\$ 945.742,00
INCIDENCIA DE EQUIPOS , COMBUSTIBLE Y HERRAMIENTAS (10% Costo)							C	\$ 94.574,20
COSTO DIRECTO (A+B+C)							D	\$ 1.040.316,20





Proyecto Final: Aplicaciòn de Software de Cálculo y Diseño en Càmara Rompecarga
CFD - OPEN FOAM

ANALISIS DE PRECIO							Nº Items:	1.5
Rubro:	TRABAJOS PRELIMINARES Y ACCESORIOS						Precio Item:	\$ 522.110,00
Item:	MOVIMIENTO DE SUELO/ESCOMBROS						Costo Directo:	\$ 574.321,00
							Unid de Medida:	m³
Codigo	Materiales	Unidad	Cantidad	Precio Unitario	Unidad	Precio Parcial	TOTALS	
	Palas, Pico , Carretillas	gl	2	\$ 1.855,00	\$/gl	\$ 3.710,00	\$ 3.710,00	
	Maquinarias	gl	1	\$ 420.000,00	\$/gl	\$ 420.000,00	\$ 420.000,00	
COSTO TOTAL DE LOS MATERIALES							A	\$ 423.710,00
Codigo	PERSONAL	Jornada (hs)	Cantidad	Precio Unitario	Unidad	Precio Parcial	Precio Total	
	Oficial Especializado	8	1	\$ 3.650,00	\$/hs	\$ 29.200,00	\$ 29.200,00	
	Oficial	8	1	\$ 3.100,00	\$/hs	\$ 24.800,00	\$ 24.800,00	
	Medio Oficial	8	1	\$ 2.850,00	\$/hs	\$ 22.800,00	\$ 22.800,00	
	Ayudante	8	1	\$ 2.700,00	\$/hs	\$ 21.600,00	\$ 21.600,00	
COSTO TOTAL DE MANO DE OBRA Y CARGA SOCIAL							B	\$ 98.400,00
COSTO TOTAL DE MATERIALES Y MANO DE OBRA C/CARGA SOCIAL (A+B)								\$ 522.110,00
INCIDENCIA DE EQUIPOS , COMBUSTIBLE Y HERRAMIENTAS (10% Costo)							C	\$ 52.211,00
COSTO DIRECTO (A+B+C)							D	\$ 574.321,00
ANALISIS DE PRECIO							Nº Items:	2
Rubro:	ARMAZON ESTRUCTURA METALICA						Precio Item:	\$ 1.779.612,00
Item:	PANTALLA METALICA						Costo Directo:	\$ 1.957.573,20
							Unid de Medida:	ml
Codigo	Materiales	Unidad	Cantidad	Precio Unitario	Unidad	Precio Parcial	TOTALS	
	Perfil IPN 80X46X8 x 12m	ml	2	\$ 145.000,00	\$/ml	\$ 290.000,00	\$ 290.000,00	
	Perfil IPN 120X48X8 x 12m	ml	2	\$ 475.698,00	\$/ml	\$ 951.396,00	\$ 951.396,00	
	Perfil L 100x65x7	ml	1	\$ 178.216,00	\$/ml	\$ 178.216,00	\$ 178.216,00	
	Chapa ¾" 9,5mm (1,5x6)m²	m²	1	\$ 1.258.148,00	\$/m²	\$ 1.258.148,00	\$ 1.258.148,00	
COSTO TOTAL DE LOS MATERIALES							A	\$ 1.419.612,00
Codigo	PERSONAL	Jornada (hs)	Cantidad	Precio Unitario	Unidad	Precio Parcial	Precio Total	
	Oficial Especializado	8	3	\$ 3.650,00	\$/hs	\$ 87.600,00	\$ 87.600,00	
	Oficial	8	3	\$ 3.100,00	\$/hs	\$ 74.400,00	\$ 74.400,00	
	Medio Oficial	8	3	\$ 2.850,00	\$/hs	\$ 68.400,00	\$ 68.400,00	
	Ayudante	8	6	\$ 2.700,00	\$/hs	\$ 129.600,00	\$ 129.600,00	
COSTO TOTAL DE MANO DE OBRA Y CARGA SOCIAL							B	\$ 360.000,00
COSTO TOTAL DE MATERIALES Y MANO DE OBRA C/CARGA SOCIAL (A+B)								\$ 1.779.612,00
INCIDENCIA DE EQUIPOS , COMBUSTIBLE Y HERRAMIENTAS (10% Costo)							C	\$ 177.961,20
COSTO DIRECTO (A+B+C)							D	\$ 1.957.573,20

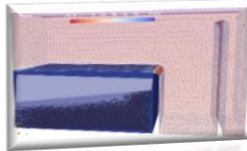




Proyecto Final: Aplicaciòn de Software de Càlculo y Diseño en Càmara Rompecarga
CFD - OPEN FOAM

ANALISIS DE PRECIO							Nº Items:	3
Rubro:	ARMAZON ESTRUCTURA METALICA							Precio Item: \$ 112.140,00
Item:	SOLDADURAS							Costo Directo: \$ 123.354,00
Codigo	Materiales	Unidad	Cantidad	Precio Unitario	Unidad	Precio Parcial	TOTALES	
	Electrodos Soldadura Inoxidable 308 I 3,2mm	Kg	3	\$ 1.380,00	\$/kg	\$ 4.140,00	\$ 4.140,00	
COSTO TOTAL DE LOS MATERIALES							A	\$ 4.140,00
Codigo	PERSONAL	Jornada (hs)	Cantidad	Precio Unitario	Unidad	Precio Parcial	Precio Total	
	Oficial Especializado	8	2	\$ 3.650,00	\$/hs	\$ 58.400,00	\$ 58.400,00	
	Oficial	8	2	\$ 3.100,00	\$/hs	\$ 49.600,00	\$ 49.600,00	
COSTO TOTAL DE MANO DE OBRA Y CARGA SOCIAL							B	\$ 108.000,00
COSTO TOTAL DE MATERIALES Y MANO DE OBRA C/CARGA SOCIAL (A+B)								\$ 112.140,00
INCIDENCIA DE EQUIPOS , COMBUSTIBLE Y HERRAMIENTAS (10% Costo)							C	\$ 11.214,00
COSTO DIRECTO (A+B+C)							D	\$ 123.354,00
ANALISIS DE PRECIO							Nº Items:	4
Rubro:	COLOCACION DE LA ESTRUCTURA METALICA							Precio Item: \$ 1.434.170,00
Item:	REALIZACION DE ANCLAJES							Costo Directo: \$ 1.577.587,00
Codigo	Materiales	Unidad	Cantidad	Precio Unitario	Unidad	Precio Parcial	TOTALES	
	Anclaje quimico de Alta Capacidad de carga - Base Epoxi - Sika AnchorFix 3001	ml	4	\$ 210.000,00	\$/U	\$ 840.000,00	\$ 840.000,00	
	Junta Sika Swell A2010 Hidroexpansible 1,5mm x 3mm (rollo 10mts)	m	2	\$ 29.500,00	\$/rollo	\$ 59.000,00	\$ 59.000,00	
	Anclaje Mecanico - Fischer Broca Perno p/H FWA 16x140mm (10U)	10 U	2	\$ 87.585,00	\$/caja	\$ 175.170,00	\$ 175.170,00	
COSTO TOTAL DE LOS MATERIALES							A	\$ 1.074.170,00
Codigo	PERSONAL	Jornada (hs)	Cantidad	Precio Unitario	Unidad	Precio Parcial	Precio Total	
	Oficial Especializado	8	3	\$ 3.650,00	\$/hs	\$ 87.600,00	\$ 87.600,00	
	Oficial	8	3	\$ 3.100,00	\$/hs	\$ 74.400,00	\$ 74.400,00	
	Medio Oficial	8	3	\$ 2.850,00	\$/hs	\$ 68.400,00	\$ 68.400,00	
	Ayudante	8	6	\$ 2.700,00	\$/hs	\$ 129.600,00	\$ 129.600,00	
COSTO TOTAL DE MANO DE OBRA Y CARGA SOCIAL							B	\$ 360.000,00
COSTO TOTAL DE MATERIALES Y MANO DE OBRA C/CARGA SOCIAL (A+B)								\$ 1.434.170,00
INCIDENCIA DE EQUIPOS , COMBUSTIBLE Y HERRAMIENTAS (10% Costo)							C	\$ 143.417,00
COSTO DIRECTO (A+B+C)							D	\$ 1.577.587,00

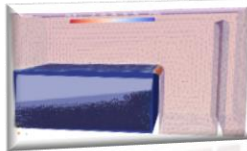




Proyecto Final: Aplicaciòn de Software de Càlculo y Diseño en Càmara Rompecarga
CFD - OPEN FOAM

ANALISIS DE PRECIO							Nº Items:	5		
Rubro:	IMPERMEABILIZACION					Precio Item:	\$ 286.175,00			
Item:	PINTURA Y ACABADO					Costo Directo:	\$ 314.792,50			
Codigo	Materiales		Unidad	Cantidad	Precio Unitario	Unidad	Precio Parcial	TOTALES		
	Pintura Epoxi 4040 sin solvente Apta para sup c/agua potable		kg	5	\$ 38.675,00	\$/kg	\$ 193.375,00	\$ 193.375,00		
COSTO TOTAL DE LOS MATERIALES							A	\$ 193.375,00		
Codigo	PERSONAL		Jornada (hs)	Cantidad	Precio Unitario	Unidad	Precio Parcial	Precio Total		
	Oficial Especializado				\$ 3.650,00	\$/hs	\$ -	\$ -		
	Oficial		8	2	\$ 3.100,00	\$/hs	\$ 49.600,00	\$ 49.600,00		
	Medio Oficial				\$ 2.850,00	\$/hs	\$ -	\$ -		
	Ayudante		8	2	\$ 2.700,00	\$/hs	\$ 43.200,00	\$ 43.200,00		
COSTO TOTAL DE MANO DE OBRA Y CARGA SOCIAL							B	\$ 92.800,00		
COSTO TOTAL DE MATERIALES Y MANO DE OBRA C/CARGA SOCIAL (A+B)								\$ 286.175,00		
INCIDENCIA DE EQUIPOS , COMBUSTIBLE Y HERRAMIENTAS (10% Costo)							C	\$ 28.617,50		
COSTO DIRECTO (A+B+C)							D	\$ 314.792,50		





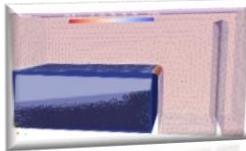
COMPUTO Y PRESUPUESTO - ESTRUCTURA METALICA

OBRA: PANTALLA DE ESTRUCTURA METALICA - APLICACIÓN SOFTWARE DE DISEÑO Y CALCULO - CFD OPEN FOAM							
RUBRO	ITEMS	DESIGNACION	COMPUTO		PRESUPUESTO		
			Unidad	Cantidad	Costo Unitario (\$/Un)	Costo Item (\$)	Costo Rubro (\$)
1	TRABAJOS PRELIMINARES						\$ 2.646.252,00
	1.1	REPLANTEO	m ²	1	\$ 50.800,00	\$ 50.800,00	
	1.2	OBRADOR, DEPOSITO Y SANITARIOS	gl	1	\$ 1.040.000,00	\$ 1.040.000,00	
	1.3	LIMPIEZA PERIODICA Y FINAL	gl	1	\$ 87.600,00	\$ 87.600,00	
	1.4	VIGILANCIA	gl	1	\$ 945.742,00	\$ 945.742,00	
	1.5	MOVIMIENTO DE SUELO/ESCOMBROS	m ³	1	\$ 522.110,00	\$ 522.110,00	
2	ARMAZON ESTRUCTURA METALICA						\$ 1.779.612,00
	2.1	PANTALLA METALICA	m ²	1	\$ 1.779.612,00	\$ 1.779.612,00	
3	ARMAZON ESTRUCTURA METALICA						\$ 224.280,00
	3.1	SOLDADURAS	m ²	2	\$ 112.140,00	\$ 224.280,00	
4	COLOCACION DE LA ESTRUCTURA METALICA						\$ 1.434.170,00
	4.1	ANCLAJES QUIMICOS/FISICOS	m ³	1	\$ 1.434.170,00	\$ 1.434.170,00	
5	IMPERMEABILIZACION						\$ 286.175,00
	5.1	PINTURA Y ACABADO	m ²	1	\$ 286.175,00	\$ 286.175,00	
<u>COSTO DE LA OBRA</u>						\$ 6.370.489,00	100%
COSTO TOTAL DE MATERIALES Y MANO DE OBRA C/CARGA SOCIAL						\$ 6.370.489,00	
COSTO INDIRECTO						3%	\$ 191.114,67
GASTOS GENERALES						7%	\$ 445.934,23
GASTOS FINANCIEROS						1,05%	\$ 66.890,13
<u>SUBTOTAL</u>						\$ 7.074.428,03	
BENEFICIO						10%	\$ 637.048,90
<u>SUBTOTAL</u>						\$ 7.711.476,93	
INGRESO BRUTO						3,50%	\$ 269.901,69
IMPUESTO AL CHEQUE						1,20%	\$ 92.537,72
IVA						21%	\$ 1.619.410,16
<u>TOTAL OBRA</u>						\$ 9.693.326,51	

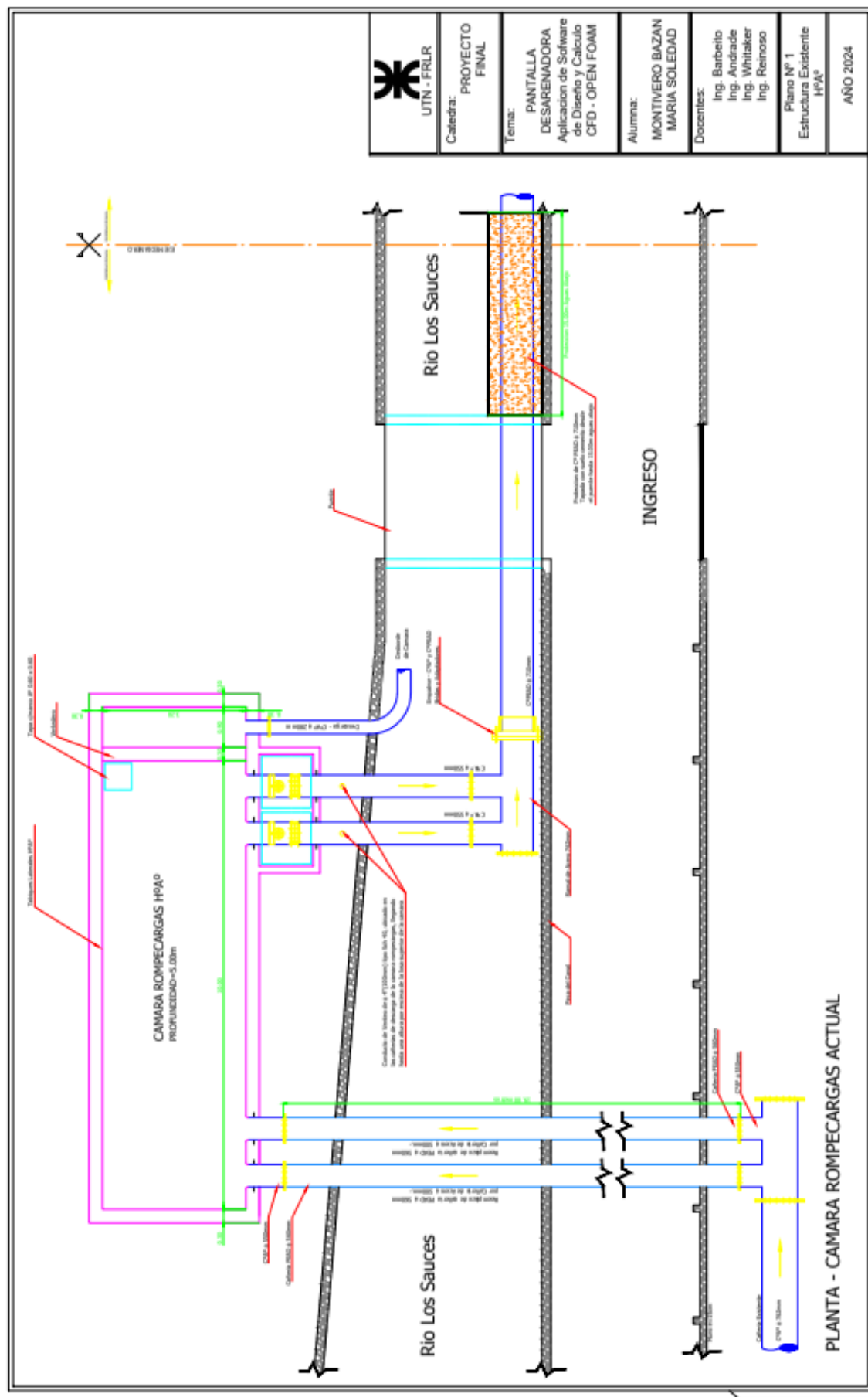


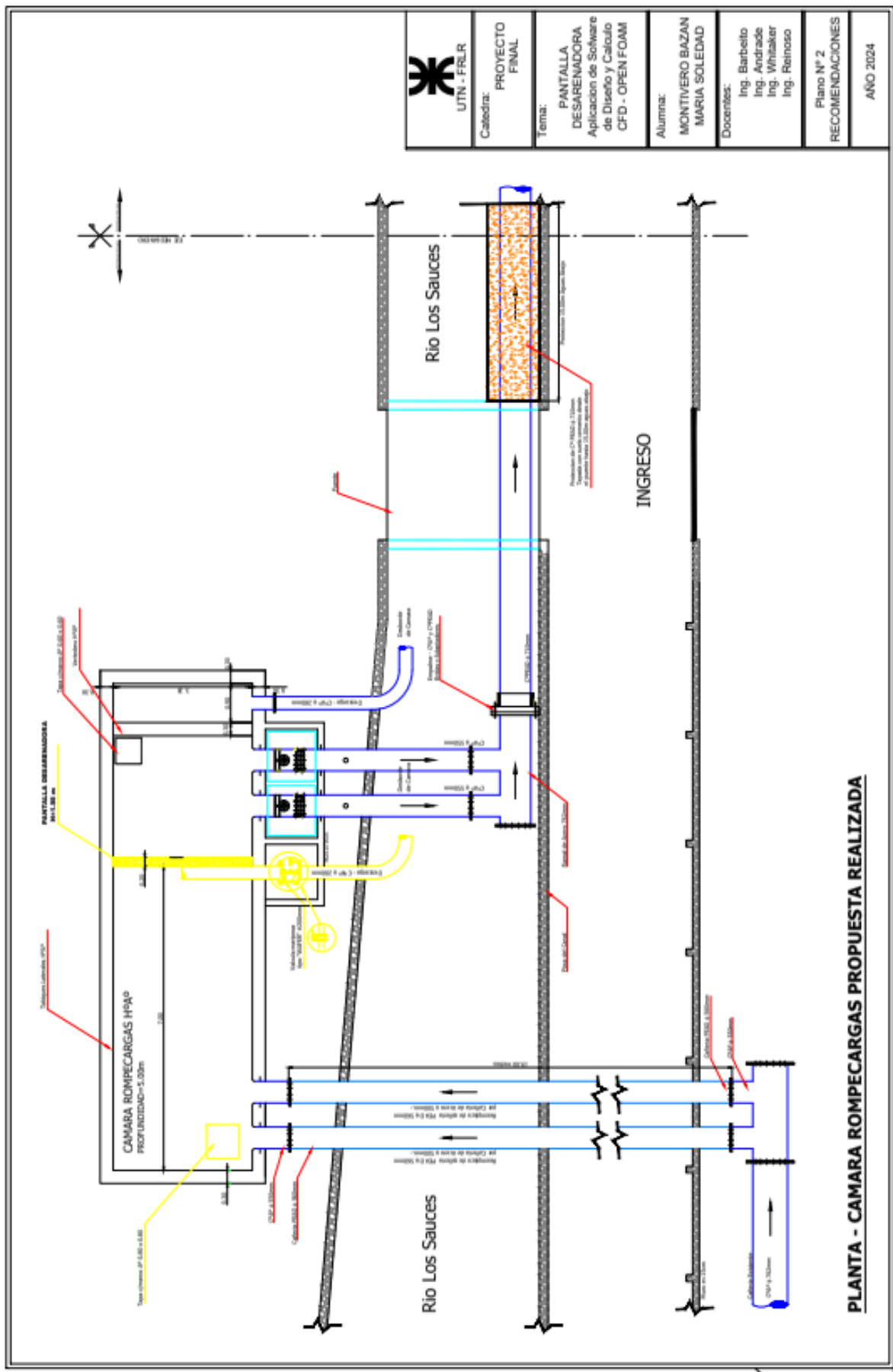
PLAN DE TRABAJO ESTRUCTURA METALICA

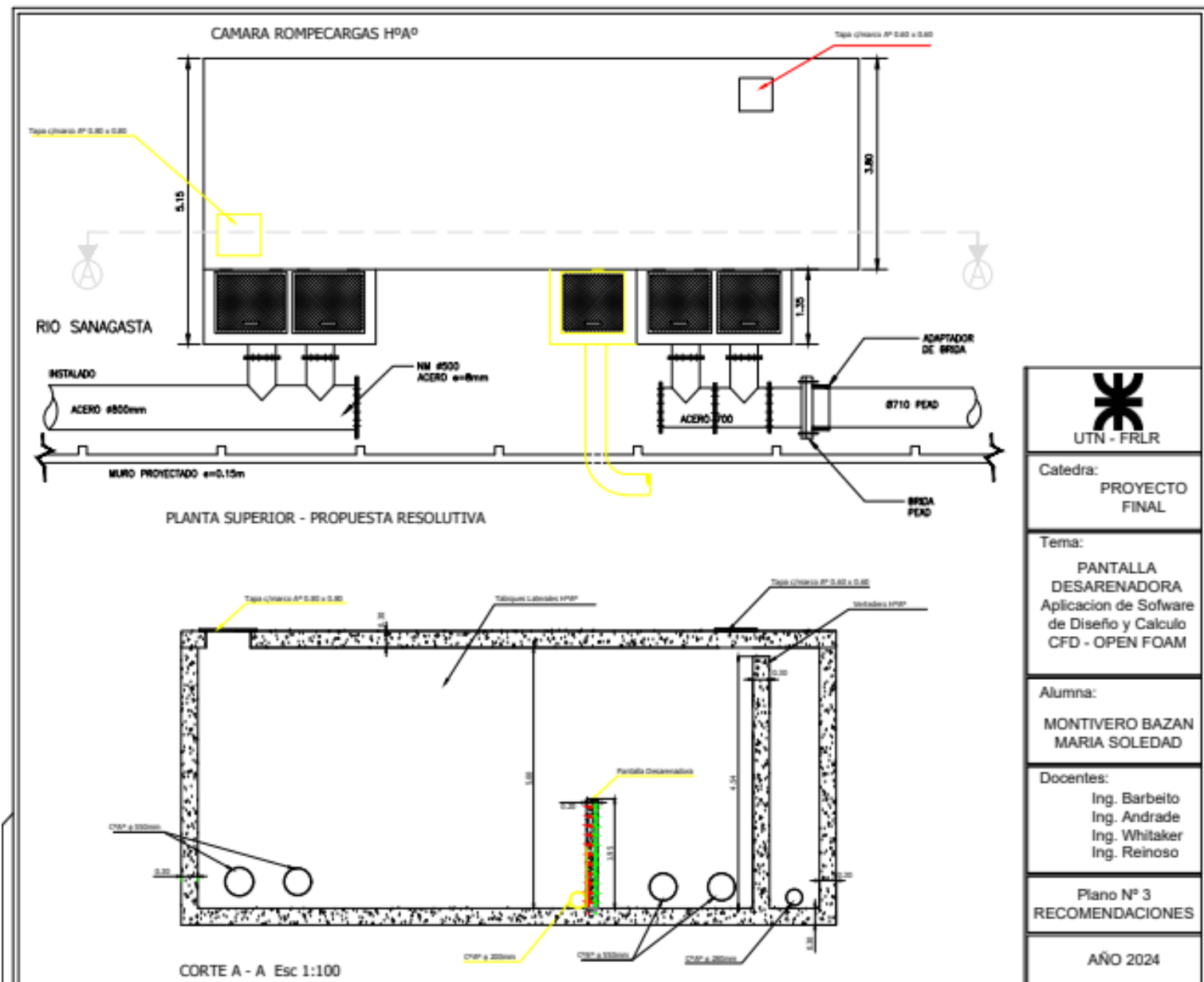
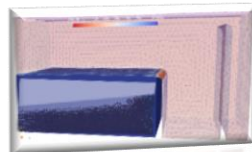
Nº	DESIGNACION	MONTO	INC%	PLAN DE AVANCE						PLAN DE TRABAJO (HS)										
				8	16	24	32	40	48	8	16	24	32	40	48	56				
1	TRABAJOS PRELIMINARES	\$ 2,646,252,00	41,54%																	
1.1	REPLANTEO	\$ 50,900,00	0,90%	100%													100%			
1.2	OBRADOR, DEPOSITO Y SANITARIOS	\$ 1,040,000,00	16,33%	0,797	70%	30%										0	100%			
1.3	LIMPIEZA PERIODICA Y FINAL	\$ 87,600,00	1,38%		11,428	4,888	0	0	0	0	0	0	0	0	0	0	100%			
1.4	VIGILANCIA	\$ 945,742,00	14,85%	0,413	10%	10%	10%	10%	10%	10%	10%	10%	10%	10%	10%	10%	100%			
1.5	MOVIMIENTO DE SUELO/ESCOMBROS	\$ 522,110,00	8,20%		2,121	2,121	2,121	2,121	2,121	2,121	2,121	2,121	2,121	2,121	2,121	2,121	100%			
2	ARMAZON ESTRUCTURA METALICA	\$ 1,779,612,00	27,94%	33%	9,312	9,312	9,312	9,312	9,312	9,312	9,312	9,312	9,312	9,312	9,312	9,312	100%			
2.1	PANTALLA METALICA	\$ 224,280,00	3,52%		33%	33%	33%	33%	33%	33%	33%	33%	33%	33%	33%	33%	33%			
3	ARMAZON ESTRUCTURA METALICA				1,174	1,174	1,174	1,174	1,174	1,174	1,174	1,174	1,174	1,174	1,174	1,174	1,174	100%		
3.1	SOLDADURAS															-	-	0		
4	COLOCACION DE LA ESTRUCTURA METALICA	\$ 1,434,170,00	22,51%	33%	7,504	7,504	7,504	7,504	7,504	7,504	7,504	7,504	7,504	7,504	7,504	7,504	7,504	100%		
4.1	REALIZACION DE ANCLAJES	\$ 286,175,00	4,49%															0		
5	IMPERMEABILIZACION				0	0	0	0	0	0	0	0	0	0	0	0	0	100%		
5.1	PINTURA Y ACABADO																	2,246		
	COSTO	\$ 6,370,489,00																		
	GASTOS GENERALES Y OTROS	\$ 3,322,337,51	100,00%																	
	TOTAL	\$ 9,693,326,51																		
	% de Avance Diario Previsto				35,207	28,424	20,248	3,078	3,078	3,078	3,078	3,078	3,078	3,078	3,078	3,078	3,078	100,00%		
	% de Avance Diario Acumulado Previsto				35,207	63,63	83,88	86,96	90,03	94,54	94,54	94,54	94,54	94,54	94,54	94,54	94,54	94,54	100,00%	
	\$ de Avance Diario Previsto	\$ 3,412,701,47			\$ 2,755,205,07	\$ 1,962,689,62	\$ 298,350,47	\$ 298,350,47	\$ 436,628,02	\$ 436,628,02	\$ 436,628,02	\$ 436,628,02	\$ 436,628,02	\$ 436,628,02	\$ 436,628,02	\$ 436,628,02	\$ 436,628,02	\$ 436,628,02	\$ 436,628,02	100,00%
	\$ de Avance Diario Acumulado Previsto	\$ 3,412,701,47			\$ 6,167,906,54	\$ 8,130,596,16	\$ 8,428,946,03	\$ 8,428,946,03	\$ 8,727,297,05	\$ 9,165,925,11	\$ 9,165,925,11	\$ 9,165,925,11	\$ 9,165,925,11	\$ 9,165,925,11	\$ 9,165,925,11	\$ 9,165,925,11	\$ 9,165,925,11	\$ 9,165,925,11	\$ 9,165,925,11	100,00%

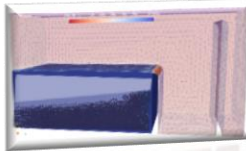


ANEXO V



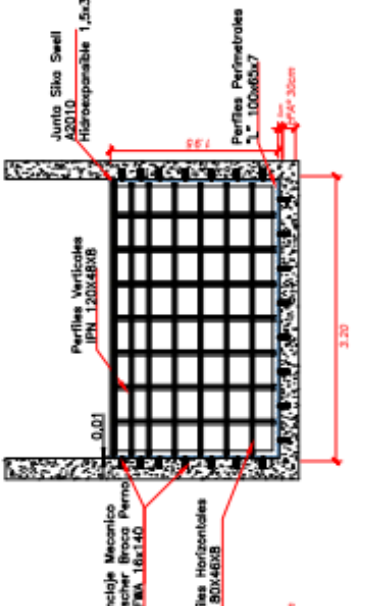
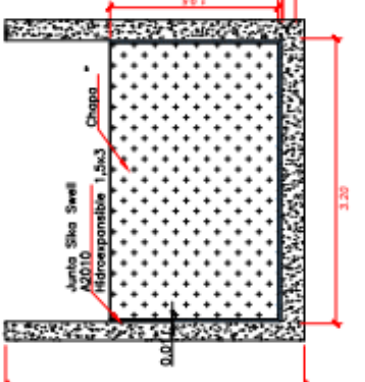
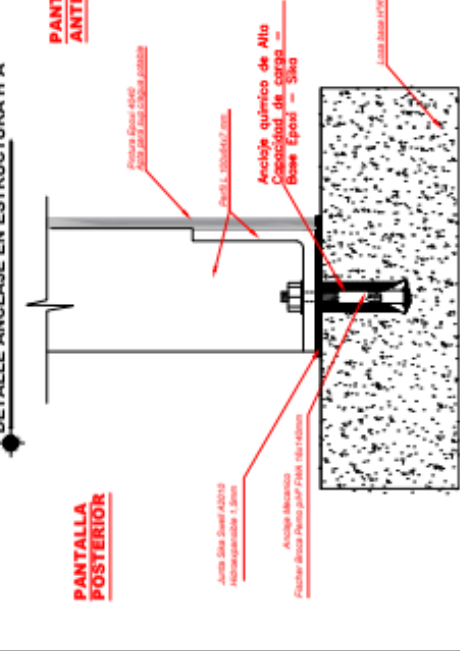
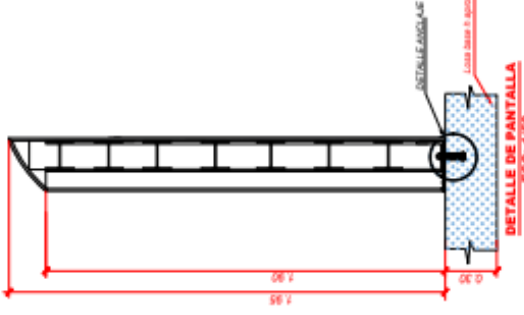
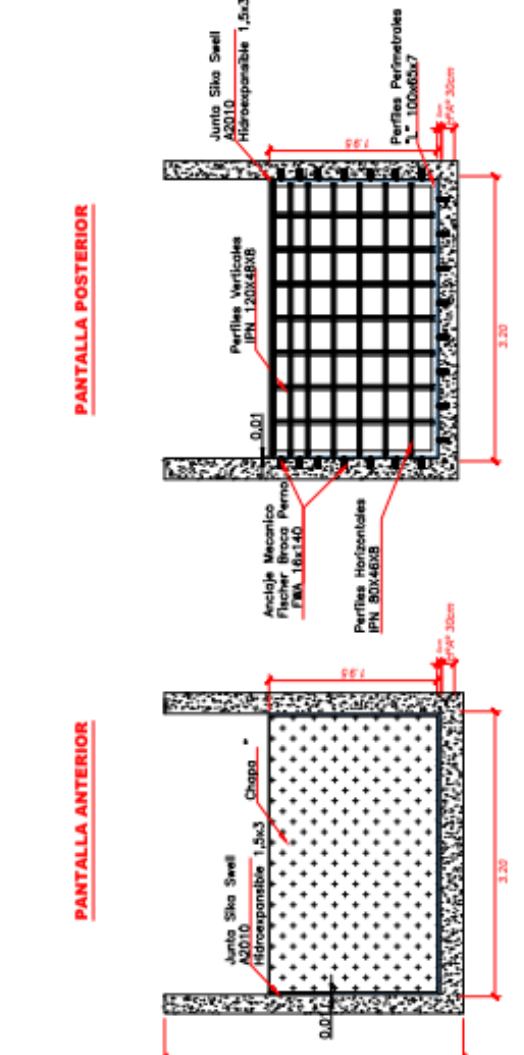


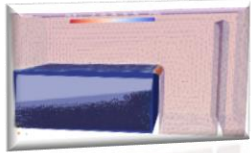




	UTN - FRLR	Catedra: PROYECTO FINAL	Tema: PANTALLA DESARENADORA Aplicación de Software de Diseño y Cálculo CFD - OPENFOAM	Alumna: MONTIVERO BAZAN MARIA SOLEDAD	Docentes: Ing. Barboito Ing. Andrade Ing. Whitaker Ing. Reinoso	Plano N° 4 Estructura de Hº Aº	AÑO 2024
PANTALLA ANTERIOR		PANTALLA POSTERIOR		DETALLE ANCLAJE EN ESTRUCTURA Hº Aº		PANTALLA POSTERIOR	
PANTALLA DE Hº Aº H=1.95 m		DETALLE ANCLAJE A-5		PANTALLA ANTERIOR		ESPECIFICACIONES TECNICAS	<ul style="list-style-type: none"> - PANTALLA : Concreto f'c=250 kg/cm² * RECUBRIMIENTO = 5.0 cm. * ARMADURA:
							<ul style="list-style-type: none"> * UNION ESTRUCTURA EXISTENTE Y PANTALLA Adherente "Sikadur 32 - Gel" espesor de unión: 5cm en todo el perímetro de contacto



 UTN - FRLR Catedra: PROYECTO FINAL Tema: PANTALLA DESARENADORA EN CAMARA ROMPECARGA Aplicación de Software de Diseño y Cálculo CFD - OPEN FOAM	PANTALLA POSTERIOR 	PANTALLA ANTERIOR 	DETALLE ANCLAJE EN ESTRUCTURA HºAº 
Alumna: MONTIVERO BAZÁN MARÍA SOLEDAD Docentes: Ing. Barbeito Ing. Andrade Ing. Whitaker Ing. Reinoso	PANTALLA POSTERIOR 	PANTALLA ANTERIOR 	Plano N° 5 Estructura Metálica AÑO 2024
ESPECIFICACIONES TÉCNICAS <ul style="list-style-type: none"> - PANTALLA : ESTRUCTURA METÁLICA <ul style="list-style-type: none"> * Perfiles Verticales IPN 120x48x8 * Perfiles Horizontales IPN 80x46x8 * Perfiles Perimetrales "L" 100x65x7 * UNION C/ ESTRUCTURA EXISTENTE Y PANTALLA <ul style="list-style-type: none"> Anclaje Mecánico Fischer Broca Perno FWA 16x140 Anclaje químico De Alta Capacidad de carga - Base Epoxi - Sikaflex® * Junta Sikaflex A2010 Hidroexpansible 1.5 x 3 <p>* Impermeabilización: Pintura Epoxi 4040 sin solvente apta para superficie de agua potable</p> <p>* Unión entre perfiles: Electrodos Soldadura Inoxidable 308 / 3.2mm</p>			



Proyecto Final: Aplicaciòn de Software de Càlculo y Diseño en Càmara Rompecarga
CFD - OPEN FOAM

